

OPINTOJAKSON 0.05.115 S.81 VIRTAUSOPPIOSA

E-M. Salonen

SISÄLLYSLUETTELO

1 JOHDANTO

1.1 Yleistä	1.1
1.2 Peruslait	1.13
1.3 Nesteiden ominaisuuksia	1.17
Tiheys	1.17
Tilanyhtälö	1.18
Kokoonpuristuvuus ja lämpö- laajeneminen	1.25
* Lämpökapasiteetti	1.31
* Sisäenergia	1.32
Viskositeetti	1.36
* Lämmönjohtavuus	1.41
Höyrynpaine	1.44
Pintajännitys	1.45
Paineen ja lämpötilan yksiköistä	1.45
Eräitä numeroarvoja	1.47

2 NESTESTATIIKKA

2.1 Yleistä	2.1
2.2 Vakiopainovoimakentässä oleva vakioitiheysneste	2.22
Yleistä	2.22
Pintaan vaikuttava hydro- staattinen voima	2.25
* Noste	2.30
* 2.3 Pintajännitys	2.34

3 KINEMATIikka

3.1 Yleistä	3.1
3.2 Lagrangen esitystapa	3.2
Yleistä	3.2
Ainederivaatta, siirtymä, nopeus, kiihtyvyys ja muodonmuutos	3.2

	0.2
3.3 Eulerin esitystapa	3.9
3.3.1 Yleistä	3.9
3.3.2 Nopeus	3.10
3.3.3 Ainederivaatta	3.13
Yleinen tapaus	3.13
Karteesinen suorakulmainen koordinaatisto	3.16
*Sylinterikoordinaatisto	3.19
3.3.4 Kiihtyvyys	3.20
Yleinen tapaus	3.20
Karteesinen suorakulmainen koordinaatisto	3.21
*Sylinterikoordinaatisto	3.22
Ratakoordinaatit	3.22
3.3.5 Muodonmuutosnopeus	3.24
3.3.6 Tilavuusintegraalin aine-derivaatta	3.33
3.4 Massan säilyminen	3.44
3.4.1 Äärellinen muoto	3.44
Yleinen tapaus	3.44
Standardikontrollialue	3.45
Yleinen yksidimensioinen virtaus	3.54
Avouomavirtaus	3.60
Solmukohta	3.68
3.4.2 Paikallinen muoto	3.70
3.5 Sekalaista	3.75
*3.5.1 Pinnan liike	3.75
Yleistä	3.75
Ainepinnan kinematiikkaa	3.78
3.5.2 Turbulenssi	3.81
4 KINETIIKKA	
4.1 Yleistä	4.1
4.2 Jännitys	4.1
Jännitys	4.1
Deviaatiojännitys	4.6
Newtonin neste	4.7
*Sylinterikoordinaatisto	4.9

	0.3
4.3 Liikemäärän tase	4.10
4.3.1 Äärellinen muoto	4.10
Yleinen tapaus	4.10
Standardikontrollialue	4.12
Yleinen yksidimensioiden virtaus	4.23
Putkivirtaus	4.25
Avouomavirtaus	4.42
4.3.2 Paikallinen muoto	4.51
Cauchy'n liikeyhtälöt	
Navier-Stokesin yhtälöt	4.54
* Turbulenssin vaikutus	4.55
Suora yhdensuuntaisvirtaus	4.61
Eulerin yhtälöt	4.72
Bernoullin yhtälö	4.76
Pyörteetön virtaus	4.84
Nopeuspotentiaali	4.86
Virtafunktio	4.90
* Reunaehdot	4.93
* 4.4 Kulmaliikemäärän tase	4.101
4.5 Mekaanisen energian tase	4.102
4.5.1 Yleistä	4.102
4.5.2 Yleistetty Bernoullin yhtälö	4.111
Yleinen tapaus	4.111
Standardikontrollialue	4.113
Häviötermien laskeminen	4.120
Huomautuksia	4.139
* 4.6 Energian tase	4.143
4.6.1 Äärellinen muoto	4.143
4.6.2 Paikallinen muoto	4.144
KIRJALLISUUTTA	4.147

* LIITTEET

L.1 Gaussin lause

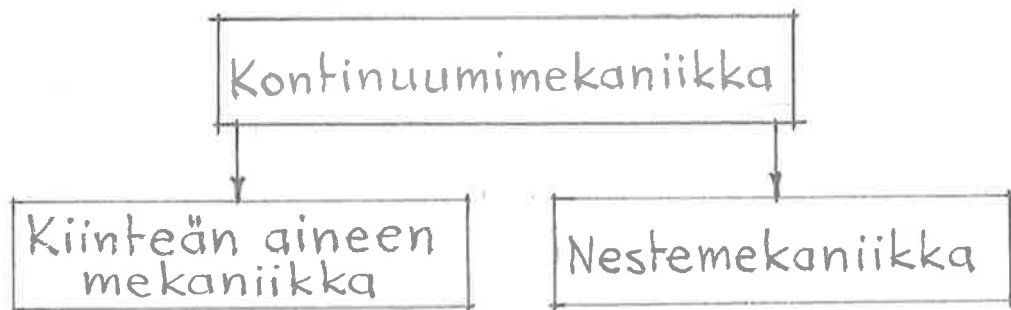
L.1

	0.4
L.2 Yksidimensioinen Reynoldsin lause	L.2
L.3 Termin $\int \vec{f} \cdot \vec{v} dV$ muuntaminen	L.8
L.4 Dissipaatiofunktion Φ lauseke	L.9

1 JOHDANTO

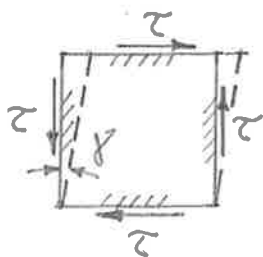
1.1 Yleistä

Ms. jatkuvan aineen mekaniikka eli kontinuumi-
mekaniikka (engl. continuum mechanics) jaetaan
tarkasteltavan kappaleen aineen olomuodon perus-
teella kuvan 1.1.1 mukaisesti: kiinteän aineen
mekaniikkaan (engl. solid mechanics) ja neste-
mekaniikkaan (engl. fluid mechanics). Tässä yhte-



Kuva 1.1.1 Kontinuumimekaniikan pääjako.

teydessä nestellä (engl. fluid) tarkoitetaan
paitri ms. "vorrinaista" nestettä (engl. liquid)
myös "kaasunaista" nestettä eli kaasua (engl.
gas). Yleisnimen fluid suomenkieliseksi vastineeksi
on ehdotettu mm. termiä fluidi (1), mutta tässä
tullaan kuitenkin käyttämään edelleen sanaa
nestä. Mekaniikan kannalta aineen luokittelu joko

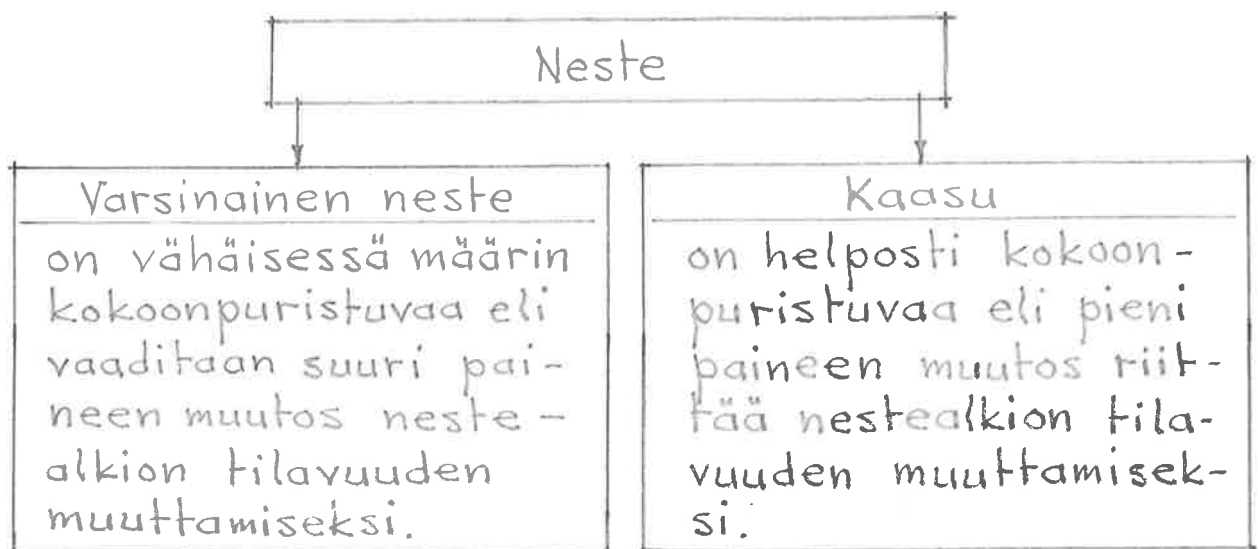


Nesteessä ei voi esiintyä leikkaus-
jännityksiä τ ilman nollasta ero-
avia liukumanopeuksia $\dot{\gamma}$; kiin-
teässä aineessa voi.

Kuva 1.1.2 Kiinteän aineen ja nesteen ero.

kiinteäki aineeksi tai nesteeksi tapahtuu tavallisesti kuvan 1.1.2 esittämällä perusteella. Täten siis leikkauksenjännitykset häviävät jatkuvassa lepotilassa olevassa nesteessä, sillä siinä kaikki muodonmuutosnopeuskomponentit $\equiv 0$. Rajatapauksissa sama aine voi olla käytännön kannalta eri tilanteissa kiinteää ainetta tai nestettä riippuen tarkasteltavasta aikavälistä ja käytetyistä mittaus- tarkkuudesta. Esimerkiksi piki käyttäytyy suuren muodonmuutosnopeuksien yhteydessä kuten kiinteä aine hajoten hauraasti vaaran iskun johdosta, mutta toisaalta se valuu oman painonsa vaikutuksesta astian sivussa olevasta reiästä ulos pitkän aikavälin kuluessa. Mekanikan haaraa, joka liikkuu kiinteän aineen mekaniikan ja nestemekanikan välimaastossa, nimitetään reologi-akri (engl. rheology). Esimerkiksi betonin, puun ja muovien sekä korkeissa lämpötiloissa olevien metallien pitkäaikaiskäyttäytyminen liittyy läheisesti reologiaan. Eräs reologian alue on ms. viskokiinnisuus- tai viskoelastisuusteoria.

Varsinaisen nesteen ja kaasun mekaaninen ero ilmenee niiden kokoonpuristuvuudessa (kuva 1.1.3).



Kuva 1.1.3 Varsinaisen nesteen ja kaasun ero.

Varsinaisten nesteiden virtauksessa voidaan kokoonpuristuvuus jättää usein kokonaan huomiotta, jolloin puhutaan ns. kokoonpuristumattomasta nesteestä tai kokoonpuristumattomasta virtauksesta (engl. incompressible flow). Koska vesi (kreik. hydor) on yleisimmän esiintyvän varsinaisen nesteen mekaniikkaa nimitetään usein hydromekaniikaksi ja erityisesti rakennustekniikan sovellutusten yhteydessä myös hydrauliikaksi. Kuitenkin tietyissä ilmiöissä varsinaisten nesteidenkin kokoonpuristuvuus on otettava huomioon; esimerkiksi ääniaaltojen eteneminen nesteessä tai lämpötilaeroista johtuvien tiheyserojen synnyttämä ns. vapaa konvektiovirtaus.

Kaasujen liike on käsiteltävä yleisessä tapauksessa kokoonpuristuvana virtauksena (engl. compressible flow). Koska taas ilma (kreik. aer) on yleisimmän esiintyvän kaasun, kokoonpuristuvan nesteen mekaniikkaa nimitetään usein myös aeromekaniikaksi tai yleisemmin kaasumekaniikaksi. Kokoonpuristuvan virtauksen tyyppi riippuu ns. Machin luvusta

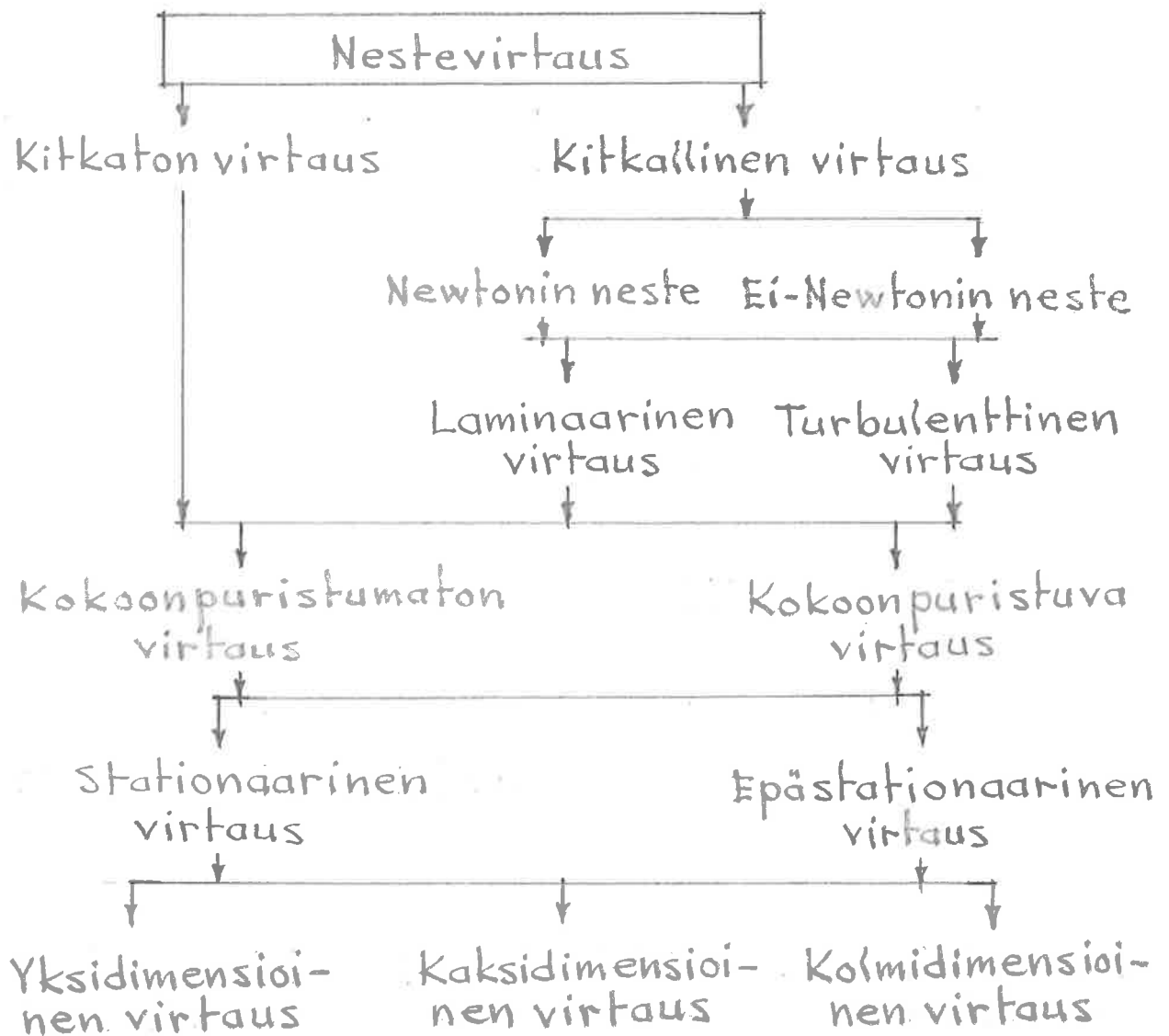
$$\boxed{Ma = \frac{v}{c}}$$

(1.1.1)

jossa v on virtausnopeus (itseisarvo) ja c äänen etenemisnopeus (itseisarvo) ko. nesteessä ko. paikassa. Virtaus luokitellaan subsoniseen, transsoniseen, supersoniseen ja hypersoniseen virtaukseen sen mukaan, onko koko alueella $Ma < 1$, vaihtelee se arvoin 1 molemmin puolin, onko koko alueella $Ma > 1$ tai $Ma > 5$ (2). Nämä virtauslajit johtavat kukin matemaattiselta kannalta erityyppiseen käsitteelyyn. Voidaan osoittaa, että Machin luvun ollessa riittävästi pieni — luokkaa $< 0,3$ — virtauksessa esiintyvät nopeuserot aiheuttavat normaali-

oloissa siksi pieniä paine-eroja, että virtaus voidaan käsitellä riittävällä tarkkuudella kokoonpuristumattomana.

Nesteen virtaus voidaan edelleen luokitella esimerkiksi kuvan 1.1.4 esittämällä tavalla.



Kuva 1.1.4 Virtauksen luokittelu käytetyn mallin mukaan.

Virtauksen matemaattinen käsittely on yleisesti ottaen sitä vaikeampaa, mitä enemmän oikealta joudutaan kulkemaan kuvan kulkukaaviossa. Täten helpoin tapaus on kitkattoman kokoonpuristumattoman nesteen stationaarinen yksidimensioinen virtaus ja vaikein kitkallisen ei-

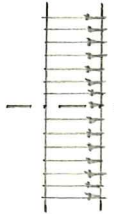
(engl. specific volume) $V/m = 1/\rho$ avulla.)
 Kontinuummekaniikassa voidaan ajatella, että
 kukin pieni erillinen ainealkio vastaa liik-
 kuessaan ja muotoaan muuttaessaankin em. sys-
 teemiä; ts. otaksutaan, että ainealkion alu-
 sella vallitsee riittäväällä tarkkuudella
 ns. termodynaaminen tasapainotila siten,
 että äärelliselle systeemille tasapainotilassa
 mitattu tilaoyhtälö pätee samantapaisena
 ainealkiollekin. Tästä menettelytavasta käy-
 tetään joskus nimitystä Lokaalisen tasa-
painon postulaatti (engl. postulation of
 local equilibrium) (4). Todettakoon vielä,
 että kontinuummekanikan lopulliset
 riippumattomat muuttujat ovat paikka-
 koordinaatit x, y, z ja aika t . Kun edellä
 puhuttiin riippumattomista muuttujista —
 esimerkiksi $g = g(p, T)$ —, oli kysymys näistä
 suureista jonkin konstitutiivisen yhteyden
 kannalta. Mutta koska esimerkiksi
 $p = p(x, y, z, t)$, $T = T(x, y, z, t)$, on siis lo-
 puki myös $g = g(x, y, z, t)$.

Termodynamiikassa tutkitaan systeemien käyt-
 täytymistä erityisesti tapauksissa, joissa
 lämmöllä ja lämpötilan muutoksilla on
 paljon merkitystä. Nämä käsitteethän eivät
 tulleet millään lailla mukaan partikkelii-
 mekaniikan teoriassa. Kontinuummekanii-
 kassa ne täytyy ottaa yleisessä tapa-
 uksessa huomioon ja näin käsiteltynä

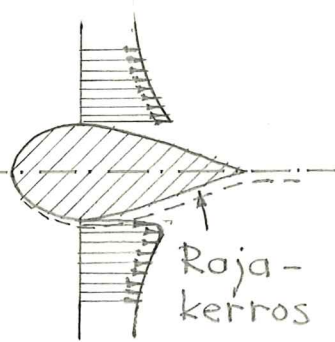
Newtonin nesteeseen turbulენტtinen kokoonpuristuva epästationaarinen kolmidimensionoinen virtaus.

Ms. Kitkattomassa virtauksessa (engl. inviscid flow) eli ideaalinesteeseen (engl. ideal fluid, perfect fluid) virtauksessa otakutaan, että nesteessä ei esiinny lainkaan leikkajännityksiä, vaikka liukuma-
mopendet olisivat moolarta eroavia. Todellisuudessa näin ei ole ja siis ms. todellisen nesteeseen eli reaalisen nesteeseen (engl. real fluid) yhteydessä syntyvät tällöin leikkajännityksiä ja puhutaan vastaavasti kitkallisesta tai viskoosista virtauksesta (engl. viscous flow). Myös virtauksen käyttäytyminen seinämien läheisyydessä eroaa kuvitellussa kitkattomassa ja todellisessa kitkallisessa virtauksessa oleellisella tavalla. Kuva 1.1.5 esittää kaaviollisesti vaakanope-

Kitkaton
virtaus



Kitkallinen
virtaus



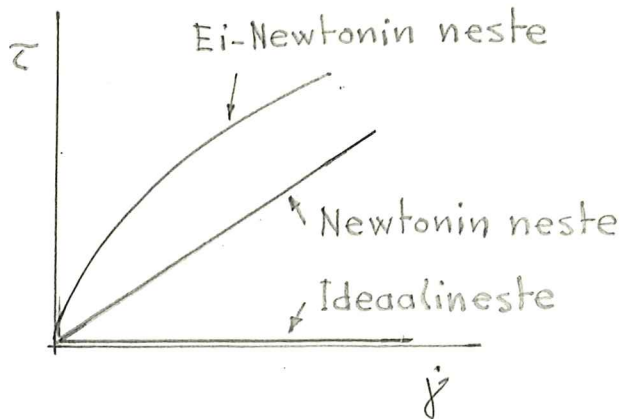
Kuva 1.1.5 Kitkattoman ja kitkallisen virtauksen ero reunaehtojen suhteeseen.

vektorin arvo näillä pinnoilla on sama kuin vastaavien kappaleiden partikkelien nopeus ja siis nolla, jos kappaleet ovat liikkumattomia. Kitkattomassa virtauksessa ideaalinesteeseen malli edellyttää sitä vastoin vain pinnan normaalin suuntaisten nopeuskomponenttien yhtä-

ukrien jakautumista kaksidimensionoisessa tapauksessa tasaisessa virtauksentässä olevan kiinteän kappaleen läheisyydessä tietyssä pytyleikkauksessa. Kaikki todelliset nesteet tarttuvat tehtyjen havaintojen mukaan kiinni nesteeseen koskemien kappaleiden pintoihin, joten nesteen nopeus-

suureutta, mutta pinnan tangenttitason suunnassa nesteen ja seinämän vastinpartikkeleilla on yleensä eri nopeuskomponentit eli siis ideaalinesteen ajatteluaan liukuvan vapaasti pintaa pitkin. Vaikka ideaalinesteen käyttäytyminen on siis reunaehto-kin suhteen epärealistista, tämä malli on kuitenkin käytökelpoinen tietyissä tapauksissa kuten esimerkiksi siipiprofilien käsitelyssä. Tällöin nimittäin voimakkaasti kitkallinen virtaus on rajoittunut vain ohueen siiven pinnan läheiseen alueeseen eli ns. rajakerrokseen (engl. boundary layer), jonka ulkopuolisessa alueessa virtaus on likimain kitkatonta.

Olakauten jännitys - muodonmuutosnopeusyhteyden perusteella puhutaan ns. Newtonin nesteestä (engl. Newtonian fluid), mikäli leikkausjännityksen τ



Kuva 1.1.6 τ - $\dot{\gamma}$ riippuvuus.

ja liukumanopeuden $\dot{\gamma}$ (vt. kuva 1.1.2) välinen riippuvuus on lineaarista muotoa (kuva 1.1.6)

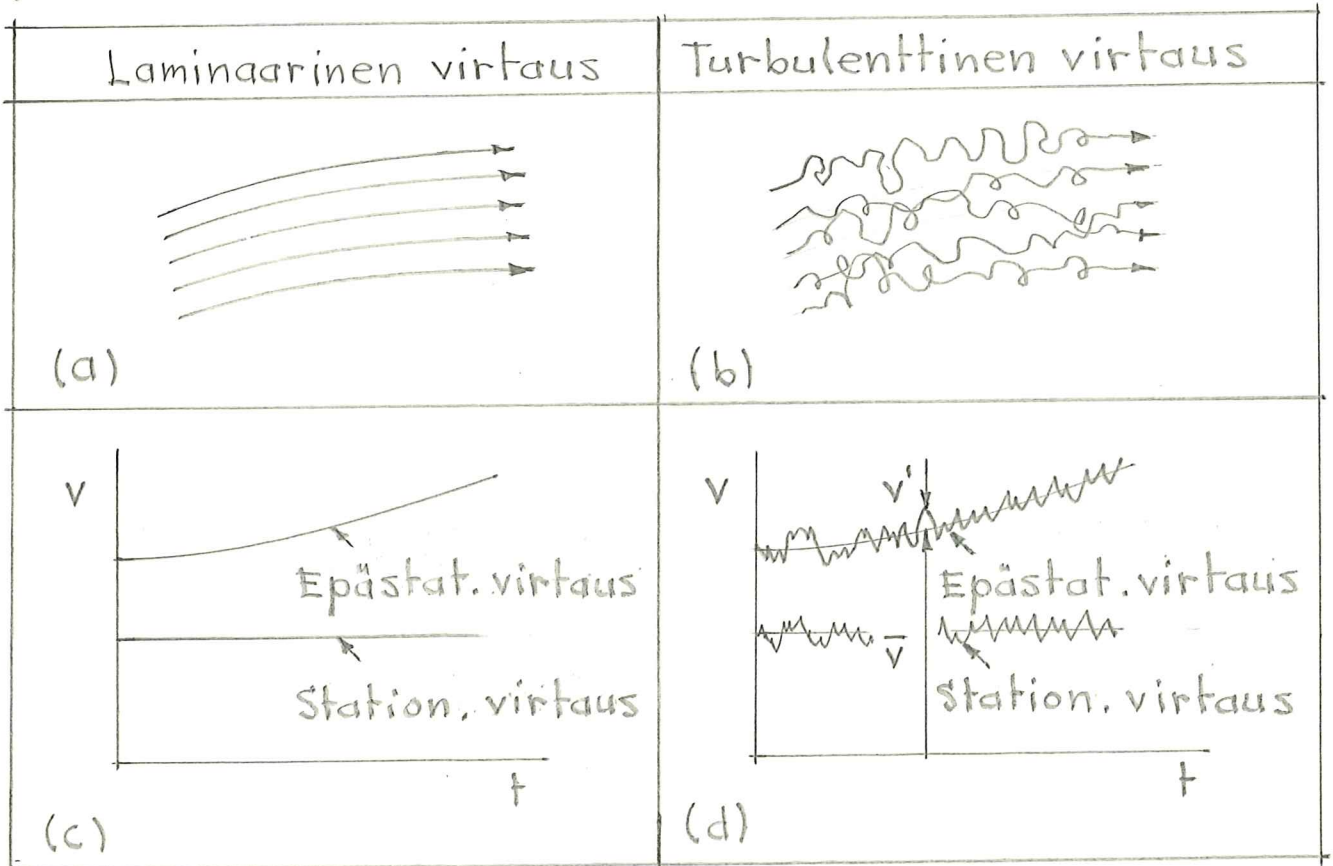
$$\tau = \mu \dot{\gamma}. \quad (1.1.2)$$

Kerroin μ on ko. nesteen ns. viskositeetti (engl. viscosity) tai tarkemmin

ns. dynaaminen molekylaarinen viskositeetti. Useat nesteet, kuten mm. vesi ja ilma, noudattavat melko tarkasti tätä kaavaa. Jos kaava ei päde riittäväällä tarkkuudella, puhutaan ei-Newtonin nesteestä (engl. non-Newtonian fluid). Sen käsitelyyn katsotaan yleensä kuuluvan reologian piiriin. Esimerkiksi veri ja sulaa metalli ovat ei-Newtonin nesteitä. Ideaalineste saadaan

muodollisesti Newtonin nesteen erikoistapauksena asettamalla $\mu = 0$. Huomautettakoon, että kiinteän aineen mekaniikassa otakutsaan ns. lineaarisesti kimmuisen aineen mallin yhteydessä leikkausjännityksen τ ja liukumän γ välille kaavan (1.1.2) kanssa analoginen yhteys $\tau = G\gamma$, jossa G on ko. aineen ns. liukukerroin.

Nesteen virtauksen sanotaan olevan Laminaarista (engl. Laminar), kun virtaus tapahtuu kuvi-
telliissa keroksissa ilman kerosten välistä makroskooppista sekoittumista (kuva 1.1.7 (a) ja (c)). Turbulenttinen (engl. turbulent) virtaus-



Kuva 1.1.7 Nestealkioiden ratoja (a) laminaarissa ja (b) turbulenttisessa virtauksessa. Tietyn virtausnopeuskomponentin v kuvaaja ajan t funktiona tietyssä pisteessä (c) laminaarissa ja (b) turbulenttisessa virtauksessa.

uksessa nestealkioiden radat ovat voimakkaasti

mutkittuvia ja kerrosten sekoittumista tapahtuu (kuva 1.1.7 (b) ja (d)). Turbulenttisen virtauksen voidaan ajatella muodostuvan päävirtauksesta (virtaus tunnuksella (\bar{v})), joka kuvaa keskimääräistä tietyllä lyhyellä aikavälillä otettua arvoa sekä tähän lisätystä satunnaisesti vaihtelevasta virtauksesta (virtaus tunnuksella (v')). Täten esimerkiksi virtausnopeus \vec{v} esitetään muodossa (vt. kuva 1.1.7 (d))

$$\vec{v} = \vec{\bar{v}} + \vec{v}' \quad (1.1.3)$$

Yleensä ollaan kiinnostuneita vain keskimääräisestä arvosta $\vec{\bar{v}}$, mutta vallitseviin yhtälöihin jää mukaan satunnaistermi \vec{v}' osuus, jonka käsittely johtaa matemaattiselta kannalta tavattoman vaikeisiin tehtäviin. Mitään yleispätevää käyttökelpoista turbulenttisen virtauksen analysointitapaa ei ole vielä edes olemassaakaan — eikä ehkä koskaan tule olemaanakaan — vaan joudutaan turvautumaan kokeiden perusteella saatuinkin puolimpiin teorioihin. Turbulenssi lisää oleellisesti esimerkiksi merkkiaineiden tai saasteiden konsentraation pienenemistä voimakkaan sekoittumisen kautta laminaariseen tapaukseen verrattuna. Esimerkiksi putkivirtauksessa virtaus on laminaarista tai turbulenttista sen mukaan, onko ns. Reynoldsin luku

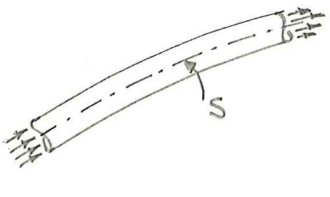
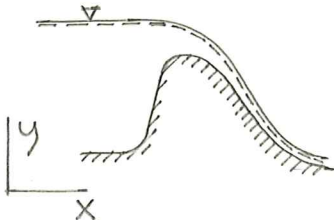
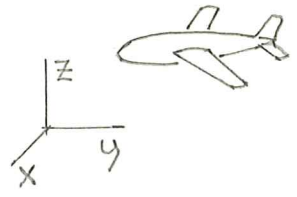
$$\boxed{Re = \frac{\rho L v}{\mu}} \quad (1.1.4)$$

pienempi tai suurempi kuin tietty kriittinen arvo. Edellä ρ on nesteen tiheys, μ viskositeetti, L sovitun karakteristinen pituus (esimerkiksi putken halkaisija) ja v sovitun karakteristinen virtausnopeus. Luonnossa esiintyvää virtaus on tavallisimmin turbulenttista.

Nesteen liike tilan ajallisen riippuvuuden mukaan

virtauksen sanotaan olevan stationaarista eli pyrpyää (engl. steady), mikäli nopeus, paine, lämpötila jne. kussakin alueen pisteessä eivät muutu ajan mukana; muulloin virtaus on epästationaarista (engl. unsteady) eli transienttia (vt. kuva 1.1.7). Tulos riippuu joskus koordinaatiston valinnasta. Jos lentokone lentää maanpinnan suhteen vakionopeudella maanpinnan suhteen lepotilassa olevassa ilmassa, lentokoneen liikkeestä syntyvä virtaus on epästationaarinen maanpintaan kiinnitetyn koordinaatiston kannalta. Tarkastelemalla virtausta lentokoneeseen kiinnitetyn ja sen mukana liikkuvan koordinaatiston kannalta saadaankin sitä vastoin stationaarinen tilanne. Turbulenttinen virtaus ei ole tarkasti ottaen koskaan stationaarista; ko. termiä käytetään viittaamaan keskimääräiseen virtaukseen käyttäytymiseen (vt. kuva 1.1.7(d)). Pyrpyvän virtauksen erikoistapauksena saadaan tilanne, jossa virtausnopeus häviää kaikkialla alueessa; tätä tapausa käsitellään nestestatikassa.

Kuvan 1.1.4 esittämä alin luokittelu liittyy niiden riippumattomien paikkakoordinaattien lukumäärään, jotka ovat tarpeen virtausilmion matemaattisessa kuvaamisessa; kuvassa 1.1.8 on

Yksidimensioiden virtaus	Kaksidimensioiden virtaus	Kolmidimensioiden virtaus
		
(a)	(b)	(c)

Kuva 1.1.8 (a) Virtaus putkessa. (b) Virtaus äärettömän pitkän padon yli. (c) Lentokoneen liikkeen synnyttämä virtaus.

eritetty joitakin esimerkkejä. Todellisuudessa kaikki virtaukset ovat kolmidimensioisia. On kuitenkin paljon tapauksia, joissa yksi- tai kaksidimensioinen kärittely on käytännön tarpeiden kannalta riittävän tarkka tai ainakin parempi kuin ei mitään. Vastaava tilanne esiintyy analogisena rakenteiden mekaniikassa, jossa käytetään esimerkiksi sauvojen ja palkkien yhteydessä yleensä yhtä riippumatonta muuttujaa ja taas levyjen, laattojen ja kuorien yhteydessä kahta muuttujaa. Neste-
mekaniikassa riittää yksidimensioinen kärittely esimerkiksi putkivirtauksessa ja avoimavirtauksessa yleensä, mikäli uoman poikkileikkaus muuttuu hitaasti ja uoman kaarevuudet ovat pienikokoja. Riippumattomana paikkakoordinaattina voi olla esimerkiksi uoman pohjaa pitkin mitattu kaarenpituus s (vt. kuva 1.1.8 (a)). Kuvan 1.1.8 (b) esittämässä tapauksessa kysymyksessä on ns. tasovirtaus (engl. plane flow), jossa kaikki nopeusvektorit ovat tietyn tason — kuvassa xy -tason — suuntaisia ja yhtäsuuria tämän tason normaalilla. Todellisuudessa kuvan äärettömän pitkää patoa ei tietenkään voi olla olemassa, mutta virtaus voi olla pitkähkön padon keskialueella lähellä tasovirtausta ja padon päistä johtuvat häiriöt tähän on arvioitava erikseen. Pyörähdysymmetrinen virtaus (engl. axially symmetric flow), jossa virtausnopeus riippuu vain sylinterikoordinaatiston muuttujista z ja r , mutta ei muuttujasta ϕ (vt. kuva D 2.2.11) on toinen esimerkki kaksidimensioisesta virtauksesta. Kolmantena esimerkkinä mainittakoon ns. voiteluprobleemat (engl. lubrication problems), joissa tutkitaan laitteiden liikkuvien osien välisissä hyvin ohuissa nestekalvoissa tapahtuvia virtauksia ja paineen jakautumista. Nämä tehtävät käsitellään yleensä kaksidimensioisina.

Todetaan vielä jotakin tämän monisteen sisäl-
 löstä sekä nestemekanikkaan kuuluvista so-
 vellutuksista. Opintojakson nimessä esiintyy
 nestemekanikka - sanan sijasta ehkä hieman ta-
 vallista suppeampaan käsitteelyyn viittaava
 mimitys viitausoppi. Tämä siksi, että käy-
 tettävissä olevan ajan miukkuden vuoksi
 tässä opintojaksossa voidaan tarkastella
 vain joitakin nestemekanikan osa-alueita.
 Pääpaino on pantu Lagrangen ja Eulerin
 erityyppöjen vertailulle, aineellisen aika-
 derivaatan ja kontrollialueen käsitteille
 sekä sitten näiden avulla johdetuille kon-
 tinuumimekanikan yleisten peruslakien saa-
 mille eri muodoille. Toisin sanoen kerki-
 tyään tiettyjen nestemekanikassa tarvitta-
 vien matemaattisten apuvälineiden eritte-
 lyyn ja käyttöön.

Nestemekanikka voidaan jakaa neste-
statiikkaan (engl. fluid statics) ja neste-
dynamiikkaan (engl. fluid dynamics) vas-
 taavasti kuin mekaniikassa yleensä.
 Nestestatiikan tehtävät ovat — joh-
 tuen jatkuwassa lepotilassa olevan nesteen
 jännitystilaa yksinkertaisuudesta
 — tavallisesti hyvin helppoja rat-
 kaista.

Joitakin tyypillisiä rakennusinsinööriin työhön
 liittyviä tehtäviä voisivat kuvata seura-
 vat esimerkit:

(1) Tietyn luonnonuoman virtaussuhteet tunnetaan. Miten uoman yli rakennettavan sillan maatuet ja vintariparit tulevat muuttamaan virtausta; syntyvä padotus?

(2) Miten tietyn putkiverkoston putkien mitat sekä mahdollisten pumppujen tehot on valittava, jotta tietyissä kohdissa saavutettaisiin halutut paineen ja virtaaman arvot?

(3) Tuulikuormitusten määrittäminen koikissa rakenteissa; aiheuttaako tuuli vaarallisia värähtelyjä?

(4) Mikä on tietyn suunnitellun maapadon läpi tapahtuvan suotovirtauksen kokonaisvirtaama ja huokosnersteen painejakautuma? Joskus esiintyy myös yhtäaikaista eli kytkettyä kiinteän aineen mekaniikan ja nestemekanikan tehtäviä kuten esimerkiksi maaperän kansolidaatio tai padon ja sen pidättämän veden yhteinen värähtely maanjäristyskuormituksen johdosta. Sienee tarpeetonta todeta, että tämän opintojakson antamalla tiedoilla yllämainittuihin tehtäviin ei vielä pystytä antamaan tyydyttäviä ratkaisuja.

1.2 Peruslait

Tässä monisteessa tarvittavat kontinuumi-
mekanikan aksioomat ovat:

(1) Massan säilymisen periaate (engl. principle of con-
servation of mass). Kappaleen massa

$$m = \text{vakio} \quad (1.2.1)$$

eli

$$\dot{m} = 0. \quad (1.2.2)$$

(2) Liikemäärän taseen periaate (engl. principle of
balance of momentum). Kappaleeseen vaikuttavien
ulkoisten voimien resultantti \vec{F} on yhtä suuri
kuin kappaleen liikemäärän \vec{p} muutosnopeus eli

$$\vec{F} = \dot{\vec{p}}. \quad (1.2.3)$$

(3) Kulmalikemäärän taseen periaate (engl. principle
of balance of angular momentum). Kappaleeseen vai-
kuttavien ulkoisten voimien momentti \vec{M} on yhtä
suuri kuin kappaleen kulmalikemäärän \vec{L} muutos-
nopeus eli

$$\vec{M} = \dot{\vec{L}}. \quad (1.2.4)$$

(4) Energian taseen periaate (engl. principle of balance
of energy). Kappaleeseen vaikuttavien ulkoisten voimien
tekemä työ W_{ext} plus kappaleen saama lämpö W_Q
on yhtä suuri kuin kappaleen liike-energian T
ja sisäisen energian U muutos eli

$$W_{\text{ext}} + W_Q = \Delta T + \Delta U \quad (1.2.5)$$

eli

$$P_{\text{ext}} + P_Q = \dot{T} + \dot{U}. \quad (1.2.6)$$

Näiden lisäksi on olemassa mm. entropian kasvun periaate (engl. principle of entropy growth) sekä joukko konstitutiivisia yhteyksiä korkevia periaatteita. Lait (2), (3) ja (4) pätevät vain inertiaalikoordinaatistossa, joten jos niitä sovelletaan mielivaltaisessa koordinaatistossa, kohdassa D 5.1.5 esitettyjen näennäisvoimien antamat termit on otettava mukaan. Periaatteet (1), (2) ja (3) ovat olleet jo erillä dynamiikkaosassa partikkelimekaniikan akrioomeista johdettuina lauseina. Tässä ne siis otetaan käänntäen akrioomeiksi. Periaatetta (4) on myös jo käsitelty esimerkissä D 6.3.4. Täysin yleisessä muodossaan yhtälön (1.2.5) tai (1.2.6) vasen puoli on täydennettävä muilla mahdollisilla kappaleen ulkopuoleltaan saamallaan energia- tai teho-osuuksilla; esimerkiksi sähköenergian osuus. Periaate (4) kulkee myös nimellä energian häviämättömyyden laki tai termodynamiikan ensimmäinen pääsääntö.

Esitetyt lait ovat voimassa mielivaltaisesta aineesta olevalle kappaleelle ja ovat täten perustana sekä kiinteän aineen mekaniikassa että nestemekaniikassa. Lagrangen ja Eulerin esitystapojen erosta johtuen periaatteista syntyvät yhtälöt tulevat kuitenkin poikkeamaan ulko näöltään toisistaan, vaikka ne siis kuvaavat vastavuoraisesti samaa fyysikaalista lakia. Koska akrioomeissa (1)... (4) puhutaan kappaleesta, ne on siis muotoiltu koskemaan ns. suljettua systeemiä eli koko ajan samoista partikkeleista muodostunutta kokonaisuutta; vrt kohta D 6.9. Eulerin esitystavan lähtökohdana on ns. kontrollialue ja siihen liittyvä ns. avoin systeemi. Tämän johdosta akrioomien muuntaminen nestemekaniikkaan sopivaan muotoon vaatii kine-

matikkaan liittyviä esivalmisteluja.

Peruslait koskevat äärellisen kokoisia kappa-
leita (ei partikkeleita) ja näin ollen niistä
kustakin saadaan johdettua yhtälö, jota nimitetään ko. lain integraalimuodoksi tai äärel-
lisiksi muodoksi (engl. integral form, finite
form, global form). Tiettyjen matemaattisten mani-
pulaatioiden avulla kustakin äärellisestä muo-
dosta saadaan lisäksi jokoista kontinuumin alki-
ota koskeva ko. lain differentiaaliyhtälömuoto
eli paikallinen muoto (engl. local form). Paikal-
linen muoto voidaan myös johtaa vaihtoehtoi-
sella tavalla soveltamalla peruslakeja suoraan
differentiaaliseen kontinuumialkioon.

Tehtävien käsitelyssä periaatteiden äärellisillä
muodoilla saadaan selvitettyä vain joita-
kin kokonaisvaikutuksia kuten vintauksen
aiheuttama voima ja momentti tiettyä pin-
taa vastaan jne. muttei vintauksen yksityis-
kohtia. Jos äärellismuotoilla yhtälöillä yleensä
saadaan jotain järkevää aikaan, se onnistuu
tavallisesti melko pienellä työmäärällä. Paikal-
liset muodot johtavat osittaisdifferentiaali-
yhtälöryhmien käsitelyyn, joiden ratkaisuna
saadaan periaatteessa täydellinen selvitys
vintausnopeudesta, paineesta, lämpötilasta
jne. kaikkialla tutkittavassa alueessa. Käytän-
nössä syntyvän yhtälösystemin ratkaisu on-
nistuu analyttisesti äärimmäisen harvoissa
tapauksissa. Tietokoneiden ja numeeristen
menetelmien voimakas kehittyminen lisää kui-
tenkin ratkaisumahdollisuuksia jatkuvasti
vähentäen samalla pienoismallikokeiden tar-
vetta.

Pelkät peruslait eivät vielä riitä tehtävien ratkaisemiseen, sillä kulloinkin tarkasteltavan kappaleen aineen fysikaaliset ominaisuudet eivät ole miissä mukana, joten syntyyä matemaattista mallia on täydennettävä aineen käyttäytymistä kuvaavien ns. konstitutiivisten yhteyksien kuten nesteen tilanyhtälö, Stokerin kitkalaki, ideaaliersteen otaksuma, Fourierin lämmönjohtumislaki jne. avulla. Nimistään huolimatta nämä yhteydet eivät ole mitään luonnollisia eli aksioomia vaan tilanteesta riippuen enemmän tai vähemmän tarkasti todellisen aineen käyttäytymistä matkivia malleja, joiden oikeutus tulee todeta kokeiden avulla.

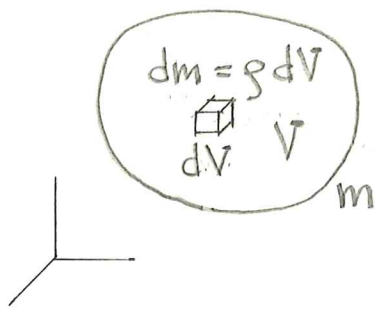
Peruslakien yksityiskohtien palataan tarkemmin myöhemmin. Fysiikan teoriassa ilman määritelmää jäävien perussuureiden (engl. primitive concept) kuten massa, pituus, aika ja lämpötila kuvailuun ei kuitenkaan ryhdytä, vaan otakrutaan, että lukijalla on koulu-yms. fysiikan kautta kokemusta näiden termien merkityksestä.

1.3 Nesteiden ominaisuuksia

Eri nesteet käyttäytyvät mekaanisten rasitusten ja lämpötilamuutosten alaisina eri tavoin. Tämän laskennalliseksi esittämiseksi tarvitaan kunkin nesteen fysikaalisia ominaisuuksia kuvaavia tunnuslukuja sekä näiden riippuvuuksia toisistaan eli ns. konstitutiivisia yhteyksiä. Nämä ominaisuudet määritetään mittausten avulla ja alan kirjallisuudesta löytyy tavallisimpia tapauksia varten valmiita taulukoituja tuloja. Jatkossa puhutaan nesteistä, mutta vastaavat käsitteet ovat monin paikoin samoja myös kiinteän aineen tapauksessa.

Tiheys. Nesteen tiheys ρ ($[\rho] = \text{kg}/\text{m}^3$) saadaan suhteena

$$\rho = \frac{m}{V} \quad (1.3.1)$$



Kuva 1.3.1

jossa m ($[m] = \text{kg}$) on tietyn nestemäärän massa ja V ($[V] = \text{m}^3$) on tämän nestemäärän tilavuus (kuva 1.3.1). Kaava on kirjoitettu otakseen nesteen tila vakioiksi koko alueessa V . Jos näin ei ole, kaava on tarkennettava määritysmän D (4.2.1) mukaiseksi eli paikallinen tiheys $\rho = dm/dV$. Tässä luvussa käytetään kuitenkin mukavuussyistä kaavan (1.3.1) merkintöjä ymmärtäen samalla, että jos tila ei ole vakio paikallisen suhteen, m ja V on tulkittava differentiaaliksi suureiksi. Näin menetellen välttyään kompleksin merkinnän $d(dV)$ (tilavuusalkion differentiaalinen muutos) käytöltä ja voidaan kirjoittaa sen sijasta pelkästään dV (myös ei asia kuin kuvassa 1.3.1 esitetty dV). Koska tietyn nestealkion eli nestekappaleen massa on massan säilymisen periaatteen nojalla vakio, tiheyden

muutos voi siis tapahtua kaavan (1.3.1) perusteella ainoastaan nestealkioon liittyvän tilavuuden muutoksen johdosta.

Tilanyhtälö. depotilassa olevassa nestealki-
ona esiintyviä oleellisia suureita ovat tiheys
 ρ , paine p ($[p] = N/m^2 = Pa$) ja lämpötila (engl. temper-
ature) T ($[T] = K$ tai $^{\circ}C$). Nämä riippuvat toisistaan
ja voidaan ainakin periaatteessa kirjoittaa mitä-
sitova ns. tilanyhtälö (engl. equation of state)

$$f(\rho, p, T) = 0. \quad (1.3.2)$$

Taas ainakin periaatteessa tästä voidaan rat-
kaista aina yksi muuttuja muissa lausuttuna,
jolloin tilanyhtälö saa muodot

$$\rho = \rho(p, T), \quad p = p(T, \rho), \quad T = T(\rho, p). \quad (1.3.3)$$

Juhlallinen nimitys tilanyhtälö — joskus käy-
tetään myös nimitystä terminen tilanyhtälö
(engl. thermal equation of state) erotuksena
myöhemmin esitettävästä ns. kalorisesta tilan-
yhtälöstä — tarkoittaa siis vain erästä
konstitutivista yhteyttä. Tilanyhtälöä ei
pysty yleensä erittämään yksinkertaisten
kaavojen avulla vaan on käytettävä taulu-
koituja arvoja.

Todetaan tässä yhteydessä joitakin yleisiä
ns. termodynamiikan käsitteisiin liittyviä
seikkoja. Tilanyhtälöä on jo käsitelty fy-
sikassa lämpöopin yhteydessä, joten tässä
esitetyt seikat lienevät lukijalle osittain
tuttuja samoin kuin käsitteet termodynaa-
minen tila (engl. thermodynamic state),

tilan muutos eli prosessi (engl. change of state, process) sekä ns. tilamuuttujat tai tilamuuttujat (engl. state variable) kuten tiheys, paine, lämpötila, ominaisenergia, ominaisentropia jne.

Tavanomaisten nesteiden yhteydessä otakrutataan, että riittää, kun aina vain kaksi tilamuuttujaa valitaan riippumattomiksi (esimerkiksi p ja T), jonka jälkeen muut tilamuuttujat ovat niiden funktioita eli tilafunktioita (engl. state function). Siis, jonka suhteen voidaan tehdä riittävässä tarkkuudessa em. otakrutaus, mimitetään joskus yksinkertaiseksi kokoonpuristuvaksi aineksi (engl. simple compressible substance) (3). Tässä tullaan käsittelemään vain ko. ainetta, kuten yhtälöt (1.3.2) ja (1.3.3) jo osoittavat. Esimerkiksi kiinteän aineen mekaniikassa esiintyvä ns. kimmoinen aine olisi jo paljon monimutkaisempi tapaus: riippumattomina tilamuuttujina voisivat esiintyä mm. kaikki kuuri muodonmuutoskomponentit ja lämpötila.

Lämpöpöissa tilayhtälöä ja prosesseja tarkastellaan yleensä systeemissä, joka muodostuu äärellisessä säiliössä olevasta kaasumäärästä, jonka tilaa kontrolloidaan siirtämällä yhden seinämän muodostavaa määrää ja antamalla systeemin saada tai luovuttaa lämpöä. (Usein operoidaan lisäksi suuren g sijasta ns. ominaistilavuuden

(engl. specific volume) $V/m = 1/\rho$ avulla.)
 Kontinuummekaniikassa voidaan ajatella, että
 kukin pieni erillinen ainealkio vastaa liik-
 kuessaan ja muotoaan muuttaessaankin em. sys-
 teemiä; ts. otaksutaan, että ainealkion alu-
 sella vallitsee riittäväällä tarkkuudella
 ns. termodynaaminen tasapainotila siten,
 että äärelliselle systeemille tasapainotilassa
 mitattu tilaoyhtälö pätee samantapaisena
 ainealkiollekin. Tästä menettelytavasta käy-
 tetään joskus nimitystä Lokaalisen tasa-
painon postulaatti (engl. postulation of
 local equilibrium) (4). Todettakoon vielä,
 että kontinuummekanikan lopulliset
 riippumattomat muuttujat ovat paikka-
 koordinaatit x, y, z ja aika t . Kun edellä
 puhuttiin riippumattomista muuttujista —
 esimerkiksi $g = g(p, T)$ —, oli kysymys näistä
 suureista jonkin konstitutiivisen yhteyden
 kannalta. Mutta koska esimerkiksi
 $p = p(x, y, z, t)$, $T = T(x, y, z, t)$, on siis lo-
 puki myös $g = g(x, y, z, t)$.

Termodynamiikassa tutkitaan systeemien käyt-
 täytymistä erityisesti tapauksissa, joissa
 lämmöllä ja lämpötilan muutoksilla on
 paljon merkitystä. Nämä käsitteethän eivät
 tulleet millään lailla mukaan partikkelii-
 mekaniikan teoriassa. Kontinuummekanii-
 kassa ne täytyy ottaa yleisessä tapa-
 uksessa huomioon ja näin käsitellyä

teoriaa nimitetään joskus termomekaniikaksi (engl. thermomechanics) (5).

lyhyesti sanottuna aksioomat (1), (2) ja (3) kuvaavat puhtaasti mekaanisia ilmiöitä ja aksiooma (4) kuvaa taas ns. termisiä (engl. thermal) ilmiöitä. Yleisessä termomekaniikan probleemassa aksioomista (1)...(4) syntyvät yhtälöt ovat kytkettyjä ja ne on ratkaistava samanaikaisesti mikä tekee käsitteilyä hyvin vaikeaksi. Kuitenkin on tapauksia, joissa kytkentä mekaanisten ja termisten ilmiöiden välillä on niin heikko, että ne voidaan käsitellä erillisinä, jolloin laskelmat helpottuvat ratkaisemiksi. Näin on laita melkein aina rakenteiden mekaniikassa. Esimerkiksi lämpöjännitysten teoriassa lasketaan ensin aksioomasta (4) johdetun ns. lämmönjohtumistehtävän avulla lämpötilajakautuma rakenteessa. Tämän jälkeen suoritetaan erillinen jännitysanalyysi tavalliseen tapaan ottaen vain huomioon lämpötilajakautumasta johtuvat alkuvuodennuotokset. Nestemekaniikassa kytkentä voimakas kaasumekaniikassa, jossa tiheyden muutokset ovat huomattavia. Varsinaisten nesteiden tapauksessa kytkentä on heikompaa ja usein puhtaasti mekaaninen ongelma voidaan ratkaista ensin ja tarvittaessa vasta jälkikäteen määritetään aksioomasta (4) johtuvan yhtälön avulla lämpötilajakautuma alueessa.

Palataan takaisin tilanyhtälön eri muotoihin. Ns. ideaalikaasun (engl. perfect gas) — ilma käsitellään tavallisesti ideaalikaasuna — tilanyhtälö on poikkeuksellisesti hyvin yksinkertainen:

trooppista Lakia (engl. polytropic Law)

$$p\bar{v}^n = \text{vakio}, \quad (1.3.8)$$

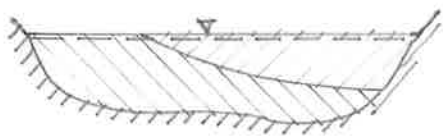
jossa n on vakio, joka valitaan kussakin tapauksessa mahdollisimman sopivaksi. Ideaalikaasun isotermisessä vääntämisessä vakio $n=1$ kaavan (1.3.4) perusteella. Ideaalikaasun adia-
baattisessa (nestekieli ei saa ulkopuoleltaan lämpöä) (engl. adiabatic) kitkattomassa vääntämisessä voidaan osoittaa, että $n = \gamma^* = c_p/c_v$, jossa γ^* ($[\gamma^*] = -$) on ns. adiabaattivakio (esimerkiksi ilmalle $\gamma^* \approx 1,4$); termeihin c palataan myöhemmin. Useissa tapauksissa n valitaan väliltä $[1, \gamma^*]$.

Täysin kokoonpuristumattoman vääntämisen otaksu-
sumassa ensimmäinen kaava (1.3.7) saa muodon

$$g = \text{vakio} \quad (1.3.9)$$

tietylle nestekielle, jälkimmäistä kaavaa (1.3.7) ei voida enää käyttää ja paine on nyt rajoitteen tyypinen suure;
mt. D s. 136.

Tässä monisteessa rajoitetaan pelkästään ns. homo-
geenisten nesteiden käsitteeseen. Nesteen sanotaan olevan homogeenista (engl. homogeneous), jos kukin alueen nestekieli muodostuu "samantyyppisestä" nesteestä; esimerkiksi puhtaasta vedestä. Vastakohtainen tapaus on ns. epähomogeeninen (engl. inhomogeneous) neste, jossa alueen nestekieli voi muodostua "erilaisista" nesteistä; esimerkiksi osa vedestä ja osa öljystä (kuva 1.3.2) tai suolaisesta ja makeasta



Kuva 1.3.2

vedestä tai vielä niiden seoksesta siten, että konsentraatiot eivät ole vakioita. Nestemekanikassa käytetty Eulerin esitystapa ei ole kovin otollinen epähomogeenisten nesteiden yhteydessä, koska siinä kadotetaan tieto kunkin nestealkion liikkeen historiasta. Otaksutaan, että tietyllä hetkellä tunnetaan tietyssä avaruuden pisteessä vaikka paine ja lämpötila. Ensimmäinen tilahtälön muoto (1.3.3) antaa tällöin homogeenisen nesteen tapauksessa heti myös nesteen tiheyden ko. pisteessä. Epähomogeenisella nesteen tapauksessa main ei ole, koska ei tiedetä mitä erityistä tilahtälöä on käytettävä; veden, öljyn vai tietyn seoksen tilahtälö?

Hydrauliikassa veri otaksutaan tavallisesti homogeeniseksi ja kokoonpuristumattomaksi. Tämä merkitsee tapausta, jossa nesteen tiheys on kaikkiialla alueella ja koko ajan sama vakio. Tästä tullaan käyttämään nimitystä vakiotiheysneste (engl. constant-density fluid). Tämä on erotettava tarkasti puhuttaessa kokoonpuristumattoman nesteen määritelmästä (1.3.9), jossa ko. vakio voi olla epähomogeenisen nesteen tapauksessa eri vakio eri nestealkioille.

Kuten jo kohdassa 1.1 todettiin on hydrauliikassakin joissakin tapauksissa luovuttava vakiotiheysnesteen otaksunnasta. Esimerkiksi ns. vapaassa konvektiovirtauksessa (engl. free convection) otetaan varrisaiten nesteiden yhteydessä tavallisesti käyttöön ns. mekaanisesti kokoonpuristumattoman (engl. mechanically incompressible) nesteen malli. Tällä tarkoitetaan nestettä, jonka tiheys otaksu-

22 bar. (1 bar = 0,1 MPa \approx ilmakedellä m. 111 m korkeudella merenpinnasta keuhkimäärin sallitseva paine.) Ilmalla vastaava luku on 0,001 bar sallitsevan paineen ollessa 1 bar.

Voidaan osoittaa, että nesteessä tapahtuvien pienten painevärihtelyjen etenemisnopeus eli ns. äänen nopeus c ($[c] = \text{m/s}$) tai paremmin sanottuna äänen vauhti saadaan kaavasta

$$c = \sqrt{\frac{K'}{\rho}}$$

(1.3.20)

jossa K on ko. nesteen puristuvuuskerroin ja ρ nesteen tiheys. Havainnot ovat osoittaneet, että tällainen värähtely tapahtuu lähes adiabaattisesti, joten kaavassa on käytettävä ns. adiabaattista puristuvuuskerrointa $K_s = 1/\kappa_s$. Kirjallisuudessa käytetään yleensä indeksiä s , koska värähtely tapahtuu myös melkein ilman kitkaa ja taas adiabaattinen kitkaton prosessi on ns. isentrooppinen (engl. isentropic) eli nestealkion ominais-entropia s säilyy muuttumatta. Summet K_T ja K_s ja siis summet K_T ja K_s eroavat toisistaan veden tapauksessa melko vähän (ks. taulukko 1.3.1); kaasuilla ero on huomattava. Kun lämpötila on 20°C ja paine ≈ 1 bar, äänen nopeus on vastaavasti vedessä ja ilmassa 1483 m/s ja 343 m/s .

Jos vielä tarkastellaan tilanyhtälöä muodossa $p = p(T, \rho)$ pitäen siis lämpötilaa ja tiheyttä riippumattomina muuttujina, saadaan

$$dp = \left(\frac{\partial p}{\partial T}\right)_g dT + \left(\frac{\partial p}{\partial g}\right)_T dg.$$

(1.3.21)

Toisaalta kaavasta (1.3.5) seuraa

$$dp = \frac{\gamma_p}{\kappa_T} dT + \frac{1}{g \kappa_T} dg$$

$$= \kappa_T \gamma_p dT + \frac{\kappa_T}{g} dg,$$

(1.3.22)

joten lausekkeen (1.3.21) osittaisderivaatat saadaan aikaisemmin määritellyjen kertoimien avulla kaavoista

$$\left(\frac{\partial p}{\partial T}\right)_g = \kappa_T \gamma_p, \quad \left(\frac{\partial p}{\partial g}\right)_T = \frac{\kappa_T}{g}. \quad (1.3.23)$$

Korostettakoon, että kaikki edellä määritellyt kertoimet on aina ajateltava valittujen riippumattomien muuttujien — kuten T ja p — funktioiksi. Yleensä riippuvuus paineesta on paljon heikompaa kuin riippuvuus lämpötilasta.

Esimerkki 1.3.1. Barotrooppinen neste, johdetaan kokoonpuristuvuuden κ lauseke barotrooppisessa muutoksessa ja lisäksi erityisesti polytrooppisen lain tapauksessa.

Koska tilaoyhtälö on muotoa $g = g(p)$, saadaan heti

$$dg = \frac{dg}{dp} dp \quad (a)$$

ja kaavan (1.3.12) perusteella kokoonpuristuvuus

$$\kappa = \frac{1}{g} \frac{dp}{dg}. \quad (b)$$

Prosessiin viittaavaa indeksiä ei myt tarvita, koska valitun tilaughtatön muodon johdosta κ on yksikärtteinen.

Kirjoitetaan polytrooppinen Laki (1.3.8) tässä muotoon

$$p g^{-n} = p_0 g_0^{-n}, \quad (c)$$

jossa p_0 ja g_0 ovat mielivaltaisia samaan tilaan liittyviä paineen ja tiheyden referenssiarvoja. Saadaan ensin

$$\frac{p}{g^n} = \frac{p_0}{g_0^n}, \quad \frac{p}{p_0} = \left(\frac{g}{g_0}\right)^n, \quad \frac{g}{g_0} = \left(\frac{p}{p_0}\right)^{\frac{1}{n}}, \quad (d)$$

eli

$$g = g_0 \left(\frac{p}{p_0}\right)^{\frac{1}{n}} \quad (e)$$

ja derivointi antaa

$$\begin{aligned} \frac{dg}{dp} &= g_0 \frac{1}{n} \left(\frac{p}{p_0}\right)^{\frac{1}{n}-1} \cdot \frac{1}{p_0} = \frac{1}{n} \frac{g_0}{p_0} \left(\frac{p}{p_0}\right)^{\frac{1}{n}} \cdot \frac{p_0}{p} \\ &= \frac{1}{n} \frac{g_0}{p} \left(\frac{p}{p_0}\right)^{\frac{1}{n}}. \end{aligned} \quad (f)$$

Täten kokoonpistuvuus

$$\begin{aligned} \kappa &= \frac{1}{np} \frac{g_0}{g} \left(\frac{p}{p_0}\right)^{\frac{1}{n}} = \frac{1}{np} \left(\frac{p_0}{p}\right)^{\frac{1}{n}} \cdot \left(\frac{p}{p_0}\right)^{\frac{1}{n}} \\ &= \frac{1}{np}. \end{aligned} \quad (g)$$

Ideaalikaasun isotermisessä prosessissa $n=1$ ja tällöin $\kappa_T = 1/p$ ja $\kappa_T = p$. Ideaalikaasun isentrooppisessa prosessissa $n = \gamma^*$ ja ilmalle $\gamma^* \approx 1,4$. Täten nopeudeksi ilmassa saadaan täten (mt. kaavat (1.3.20), (1.3.4) ja (1.3.40)) 20°C Lämpö-

tilassa

$$c = \sqrt{\frac{K_s}{\rho}} = \sqrt{\frac{1}{K_s \rho}} = \sqrt{\frac{v^* p}{\rho}} = \sqrt{\frac{v^* \rho RT}{\rho}}$$

$$= \left[1,4 \cdot 287 \frac{\text{J}}{\text{kg} \cdot \text{K}} \cdot (273,15 + 20) \text{K} \right]^{\frac{1}{2}}$$

$$\approx (1,4 \cdot 287 \frac{\text{kg} \cdot \text{m}^2}{\text{s}^2 \cdot \text{kg}} \cdot 293)^{\frac{1}{2}} \approx 343 \text{ m/s.} \quad (\text{h})$$

Täysin kokoonpuristumattoman nesteen tapauksessa tila- γ -tälö $\rho = \text{vakio}$ neste-alkiolle antaa tuloksen $d\rho/dp = 0$, joten $K = 0$ ja $K = \infty$. Samoin teoriassa siis $c = \infty$.

* Lämpökapasiteetti. Nesteen ns. ominaislämpökapasiteetti (engl. specific heat capacity) c ($[c] = \text{J}/(\text{kg} \cdot \text{K})$) määritellään kaavalla

$$c = \frac{dW_Q}{m dT} \quad (1.3.24)$$

jossa dW_Q on tietyn nestemäärän saama differentiaalinen Lämpö eli Lämpömäärä (engl. heat, amount of heat) ($[dW_Q] = \text{J}$), dT on vastaava lämpötilan muutos ja m ko. nestemäärän massa. Koska Lämpö ei ole tila- γ -suure, differentiaalista Lämpöä olisi parempi merkitä esimerkiksi tunnukseksi δW_Q (kijällisyydessä yleensä δQ). Suureen c arvo riippuu prosessista. Käytössä ovat isobaariseen prosessiin liittyvä ns. ominaislämpökapasiteetti vakio-paineessa c_p sekä isokooriseen prosessiin liittyvä ns. ominaislämpökapasiteetti vakio-tilavuudessa (tai siis vakio-tiheydessä) c_v . Näiden summeiden välillä on ole-

massa yhteys

$$c_p - c_v = \frac{T \gamma_p^2}{\rho k_T} \quad (1.3.25)$$

Varsinaisilla nesteillä ja kiinteillä aineilla suureen c_p kokeellinen määrittäminen on paljon helpompaa kuin suureen c_v , jonka arvo voidaan sitten laskea kaavan (1.3.25) avulla. Ideaalikaasulle saadaan tämän kaavan eikois-tapauksena tulos

$$c_p - c_v = R \quad (1.3.26)$$

* Sisöenergia. Tietyn nestemäärän sisäenergia U ($[U] = \text{J}$) jaettuna ko. nestemäärän massalla on ko. nesteen ns. ominaissisäenergia (engl. specific internal energy) u ($[u] = \text{J/kg}$). Jos otetaan esimerkiksi T ja ρ riippumattomiksi muuttujiksi, $u = u(T, \rho)$. Tämä on ns. kalorinen tilanyhtälö (engl. caloric equation of state). Yleensä ei olla kiinnostuneita itse suuresta u vaan sen muuttokista. Saadaan ensin

$$du = \left(\frac{\partial u}{\partial T} \right)_\rho dT + \left(\frac{\partial u}{\partial \rho} \right)_T d\rho \quad (1.3.27)$$

Termodynamiikan keinoin (6) tämä voidaan saattaa lopuksi mm. muotoon

$$\boxed{du = c_v dT + (p - T k_T \gamma_p) \frac{1}{\rho^2} d\rho} \quad (1.3.28)$$

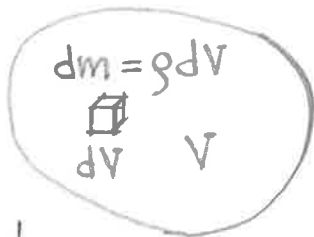
Ideaalikaasun tapauksessa kaavan sulku-lauseke häviää ja saadaan tulos

$$du = c_v dT, \quad (1.3.29)$$

jossa lisäksi c_v on vain lämpötilan funktio; $c_v = c_v(T)$ ja siis myös $u = u(T)$.

Kaava (1.3.28) pätee luonnollisesti vain ainealkion ollessa samassa faasissa; ei siis esimerkiksi veden jäätymis- tai sulamisprosessissa.

Mielivaltaisen kappaleen kokonaisenergia saadaan täten lausekkeena



$$dm = \rho dV$$

$$\left. \begin{aligned} U &= \int u dm \\ &= \int_V \rho u dV, \end{aligned} \right\} (1.3.30)$$



Kuva 1.3.3

jossa edellinen muoto tarkoittaa integraalia yli kappaleen massan ja jälkimmäinen tilavuusintegraalia kappaleen tarkasteltavalla hetkellä täyttämän avaruuden osan yli (kuva 1.3.3). Jos ρ ja u ovat paikan suhteen vakioita, saadaan yksinkertaisempi kaava $U = \rho u V = uM$.

Joskus puhutaan huolimattomasti kappaleen lämpöenergiasta tai kappaleessa olevasta lämmöstä (vt. mm. D, s. 429). Oikea määritelmä on sisäenergia. Lämpö on valittuun kappaleeseen mikroskooppisessa muodossa tehtyä työtä (vt. esimerkki D 6.3.3). Se kuvaa energian siirtymistä. Makroskooppinen työ kuvaa samoin energian siirtymistä. Täten puhuminen kappaleessa olevasta lämmöstä tai lämpö-

määrästä olisi yhtä väärin kuin puhumisen kappaleesta olevasta työstä tai työmäärästä (3).

Usein käytännössä kaavaa (1.3.28) approksimoidaan jättämällä sen jälkimmäinen termi pois olipa sitten kyseessä väärinainen neste tai kiinteä aine. Lisäksi c otakutaan monasti vakioiksi. Tällöin $du = c \Delta T$ aineellisten muutosten du ja ΔT yhteydessä. Esimerkiksi kokoonpuristumattoman nesteen otakuta antaisi tuloksen $dq = 0$, mutta tämä ei ole tässä yhteydessä ajatuksena tyydyttävä, koska useimmissa prosesseissa lämpötilan muutokseen liittyy myös tiheyden muutos. Jos otakutaan vain mekaanisesti kokoonpuristumattoman neste (ks. kaava (1.3.10)), saadaan

$$du = c_v dT + (p - T K_T \gamma_p) \frac{1}{\rho^2} (-\gamma_p \rho) dT$$

$$= [c_v - p \frac{\gamma_p}{\rho} + \frac{T K_T \gamma_p^2}{\rho}] dT$$

$$= [c_v - p \frac{\gamma_p}{\rho} + c_p - c_v] dT$$

$$= (c_p - p \frac{\gamma_p}{\rho}) dT, \quad (1.3.31)$$

jossa on käytetty hyväksi kaavaa (1.3.25).

Mekaanisesti kokoonpuristumattoman neste saatiin muodollisesti aikaan asettamalla kaavassa (1.3.5) $H_T = 0$. Vaihtoehtoinen fyysikaalisesti realistisempi tulkinta on ottaa $dp = 0$ (isobaarinen muutos) tai vielä paremmin: kyseessä on tapaus, jossa $H_T dp \ll \gamma_p dT$.

Esimerkki 1.3.2. Veden sisäenergia. Tarkastellaan kaavassa (1.3.31) esiintyvien termien c_p ja $\rho\gamma_p/\rho$ sekä vielä kaavan (1.3.25) termien c_p ja c_v keskinäistä suuruutta vedelle.

Taulukon 1.3.1 avulla saadaan arvot

$$c_p \approx 4200 \frac{\text{J}}{\text{kg} \cdot \text{K}}, \quad (T = 80^\circ\text{C}) \quad (a)$$

$$\gamma_p = 643 \cdot 10^{-6} \text{ K}^{-1}, \quad (T = 80^\circ\text{C}) \quad (b)$$

$$\rho \approx 972 \frac{\text{kg}}{\text{m}^3}, \quad (T = 80^\circ\text{C})$$

ja

$$\frac{\rho\gamma_p}{\rho} \approx \frac{1 \text{ bar} \cdot 643 \cdot 10^{-6} \text{ K}^{-1}}{972 \text{ kg/m}^3}$$

$$= \frac{0,1 \cdot 10^6 \text{ N} \cdot 643 \cdot 10^{-6} \cdot \text{m}^3}{\text{m}^2 \cdot 972 \text{ kg} \cdot \text{K}} \approx 0,066 \frac{\text{J}}{\text{kg} \cdot \text{K}} \quad (c)$$

Tämä on laskettu lämpötilassa 80°C , jolloin voimakkaimmin muuttuva termi γ_p on suunnilleen. Termi (c) on vain noin $0,02\%$ termistä (a) eli häviävän pieni. Kaava (1.3.31) voitaneen siis käytännössä kirjoittaa muotoon $du = c_p dT$, vaikka paine olisi huomattavasti normaali-ilmapainetta suurempi. (Otaksutaan siis, että γ_p , ρ ja c_p olisivat paineen kaavassa edelleen samaa suuruusluokkaa kuin edellä.)

Kaavan (1.3.25) mukaan

$$c_p - c_v = \frac{T \gamma_p^2}{\rho \kappa_T} \quad (d)$$

Kun otetaan arvot (b) ja vielä

$$T = (273,15 + 80) \text{ K} \approx 353 \text{ K}, \quad (e)$$

$$\kappa_T = 4,48 \cdot 10^{-10} \text{ m}^2/\text{N},$$

saadaan

$$\frac{T \gamma_p^2}{\rho K_T} = \frac{353 \text{ K} \cdot (43 \cdot 10^{-12} \text{ K}^{-2})}{972 \text{ kg/m}^3 \cdot 4,48 \cdot 10^{-10} \text{ m}^2/\text{N}} \approx 340 \frac{\text{J}}{\text{kg} \cdot \text{K}} \quad (\text{f})$$

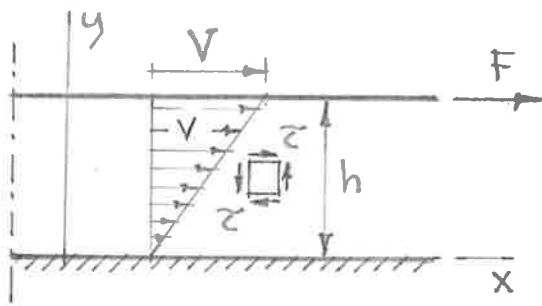
Tämä on noin 8% termistä c_p . Jos lämpötila on 20°C , termin suuruus on enää noin 0,7% termistä c_p ja kun lämpötila on 4°C , $c_p = c_v$ koska tällöin $\gamma_p = 0$.

Usein käytännössä kaava (1.3.31) kirjoitetaan muotoon

$$du = c dT \quad (\text{g})$$

ja jätetään mainitsematta, mistä ominaislämpökapasiteetista on kyse.

Viskositeetti. Kuva 1.3.4



Kuva 1.3.4

vaakasuoraan nopeudella V . Nesteeseen syntyy nopeusjakauma, jossa ainoa nollasta eroava nopeuskomponentti on x -akselin suuntainen kawaan lineaarisesti y -akselin suunnassa:

$$v = \frac{y}{h} V. \quad (1.3.32)$$

Kokeet osoittavat, että tavallisilla nesteillä ylempään levyä liikuttamiseen vaadittava voima F on suoraan verrannollinen nopeuteen V ja levyä pinta-alaan A sekä kääntäen verran-

erittää koejärjestelyä, jossa ohut nestekeho on kahden nestekehoon pakunteen h verrattuna laajan yhden-suuntaisen levyä välissä. Alempi levy on paikoillaan ja ylempiä levyä vedetään x -akselin suunnassa

mollinen pakumteen h eli

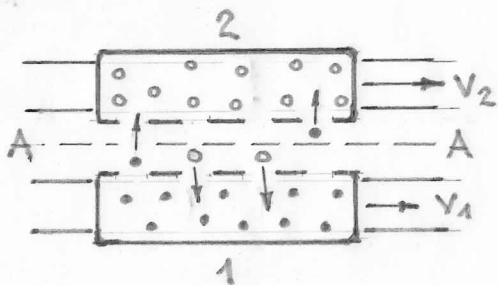
$$F = \mu \frac{VA}{h}, \quad (1.3.33)$$

jossa kerrointa μ ($[\mu] = \text{Pa} \cdot \text{s}$) mimitetään ko. nesteen viskosi-
teetikri. Levyn pintaan vaikuttava keskimääräinen
leikkausjännitys $\tau = F/A$ ja kaavoista (1.3.33)
ja (1.3.32) saadaan tulos

$$\tau = \mu \frac{V}{h} = \mu \frac{dv}{dy}. \quad (1.3.34)$$

Termi dv/dy merkitsee tässä juuri kaavassa
(1.1.2) esiintyvää linkukulman eli linkuman γ
muutosnopeutta eli ns. linkumanopeutta $\dot{\gamma}$.

Käytetään leikkausjännityksen syntyminen selit-



1.3.5 jananvaunu- analogia.

tämisessä mukaelen läh-
teessä (7) esitettyä ver-
tausta, jota mimitetään
tässä jananvaunu-analogiakri.
Kuva 1.3.5 esittää yllääl-
tä katsottuna kahta
yhdensuuntaisilla rai-
teilla kitkettömästi
liikkuvaa jananvaunua.
Vaunun 2 nopeus v_2 on suu-
rempi kuin vaunun 1 nopeus v_1 . Vaunuissa ole-
vat henkilöt huvittelevat heittelemällä pieniä
esineitä suoraan vastakkaisen vaunun avoimista
ikkunoista sisään, jolloin esineet lopuksi tön-
määvät vaunujen seinämiin. Vaunujen liikettä tar-
kastelee ulkopuolinen havaitsija, joka ei pys-
ty huonon näkökykynsä vuoksi lainkaan havait-
semaan ko. pieniä esineitä. Vaunun 2 esineillä on
keskimäärin suurempi nopeus ja siis myös suurempi
liikemäärä vaunujen liikesuunnassa kuin vaunun 1
esineillä. Vaunusta 2 vaunuun 1 siirtyvät esineet
lisäävät tönähtäessään vaunun seinämiin vaunun 1

nopeutta ja vastaavasti vauvon 2. nopeus pyr-
 kii pienenevään törmäyksen johdosta. Ulkopuoli-
 nen havaitsija päättää tästä käyttäytymisestä,
 että vauvat vaikuttavat toinen toisiinsa tie-
 tyllä voimalla eli vauvojen välillä esiintyy
 kitkaa. Vauvoissa olevat henkilöt havaitsivat
 pienten erineiden liikkeen ja selittävät vauvojen
 käyttäytymisen syyksi toisia. Syytä on liikemäärän
 siirtyminen leikkauksen A-A kautta. Jos vauvat
 liikkuvat samalla nopeudella, liikemäärän (netto-)
 siirtyminen katoaa ja samoin myös ulkopuoli-
 sen havaitsijan mittaama kitka; tämä vastaa
 kaavassa (1.3.34) tilannetta $dv/dy=0$. Tässäkin
 tapauksessa ulkopuolinen havaitsija toteaa
 vauvojen vaikuttavan kirkkoihin tiettyillä poi-
 kittairilla voimilla, joten siis hänen mielestään
 vauvojen täytyy vaikuttaa toisiinsa poispäin
 työntävillä voimilla. Vauvoissa olevat henkilöt
 näkevät saman ilmiön selityksenä erineiden tö-
 rmäykset seinämiin. Kun eritetyssä vertauksessa
 korvataan pienet erineet molekyyleillä, juna-
 vauvat pinnan A-A läheisillä suuilla molekyylei-
 joukoilla ja ulkopuolinen havaitsija kontinuumi-
 mekaniikan soveltejalla, päästään lähelle ki-
 neettisessä kaasuteoriassa käytettyä jännityksen
 syntyminen selittämistapaa. Käytetään tässä
 molekyyliden vaeltamisen johdosta syntyvästä
 jännityksestä nimitystä kinettinen jännitys.
 Kuvan D 4.4.7 yhteydessä esitettiin aiwan toinen
 selitys, nimittäin hyvin läheisten molekyyliden
 välisiin voimien perustuva tulkinna. Nimitetään
 tässä main syntyvää jännitystä koheerivoimien
aiheuttamaksi jännitykseksi. Tämä kuvaa paremmin
 tilannetta aineen ollessa kiinteässä olomuodossa,
 jolloin molekyylit ovat lähellä toisiaan ja
 niiden liike on rajoitettua. Yleisessä tapauk-

nessa kokonaisjännitys muodostuu yhteensä ki-
neettisestä jännityksestä ja koheerivoimien ai-
heuttamasta jännityksestä (8).

Nesteen viskositeetti riippuu kokemuksen mukaan
hieman heikosti paineesta mutta huomattavammin
lämpötilasta. Kaasuilla viskositeetti kasvaa
ja vaurinairilla nesteillä se pienenee lämpö-
tilan kohotessa. Tämä selittyy seuraavasti.
Kaasuilla jännitys syntyy miltei yksinomaan
kineettisestä osasta. Lämpötilan kohoaminen
lisää molekyylien liikkumisaktiiviteettiä ja
jumanvaunuanalogian perusteella myös siten
liikemäärän siirtymistä. Vaurinairilla nesteillä
koheerivoimien osuus on tärkeämpi kuin kineettinen
osuus ja lämpötilan nousu pienentää edellistä
osuutta.

Kun turbulentsissa virtauksessa operoidaan keski-
määräisen nopeuden avulla ja muodostetaan
liikelytälöt, mihin ilmestyy eräitä termejä, joita
ei esiinny laminaarisen virtauksen tapauksessa.
Näillä termeillä on jännityksen dimensio ja niistä
käytetään nimityksiä näennäisjännitykset tai
Reynoldsin jännitykset (engl. apparent stress,
Reynolds stress). Näiden jännitysten fyysikaaliseen
selittämiseen voidaan jälleen soveltaa juman-
vaunuanalogiaa. Otaksutaan, että virtausta
tarkkailee havaitsija, joka pystyy tekemään ha-
vaintoja vain keskimääräisestä virtauksesta,
mutta turbulentsinen satunnaisliike pyörteinen
jää häneltä huomaamatta. Pyörteiden mukana
liikkuvat nesteosaset aiheuttavat voimakasta
liikemäärän vaihtoa eri kerrosten välillä samaan
tapaan kuin molekyylien tapauksessa, vaikkakin
kyseessä on nyt eri mittakaavassa tapahtuva
ilmiö; esimerkiksi Lähteessä (9) on mainittu

tietyissä kaarun virtauksissa tyypillisiksi pyönteiden mitoitiksi arvo $0,1 \text{ mm}$. Esitetyn kavaiterijan kannalta liikemäärän vaihto näkyy jännityksinä. Karkein tapa lähestyä Reynoldsin jännityksiä on Boussinesqin aikoinaan esittämä. Esimerkiksi kaavan (1.3.34) tapauksessa kirjoitetaan

$$\bar{\tau} = \mu \frac{d\bar{v}}{dy} + \eta \frac{d\bar{v}}{dy} = (\mu + \eta) \frac{d\bar{v}}{dy} \quad (1.3.35)$$

ja kerrointa η mimitetään pyöröviskositeetiksi tai turbulentsiksi viskositeetiksi (engl. eddy, turbulent viscosity). Tällä tempulla turbulentsin virtauksen käsitteily saadaan näennäisesti samaksi kuin laminaarisessa tapauksessa. η ei ole kuitenkaan nesteen ainevakio kuten $\mu(p, T)$, vaan se riippuu itse virtauksen laadusta kussakin pisteessä ja sen arvo voi vaihdella nolasta lähtien aina tuhansia kertoja μ :tä suuremmaksi. Ongelmaksi siis jää η :n arvon valinta.

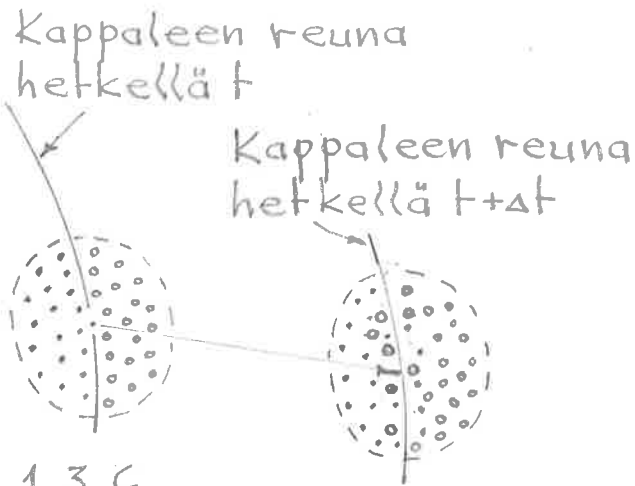
Suureet μ ja ρ esiintyvät tietyissä kaavoissa usein yhdistelmänä μ/ρ , jolle käytetään samoin usein tunnusta

$$\nu = \frac{\mu}{\rho} \quad (1.3.36)$$

ja jota mimitetään kinemaattiseksi viskositeetiksi (engl. kinematic viscosity) ($[\nu] = \text{m}^2/\text{s}$) erotuksena (dynaamisesta) viskositeetista μ . Kaavan (1.3.34) yleistys mielivaltaisen virtauksen tapaukseen tulee esille kohdassa 4.2.

Edellä ja jatkossa korostetaan jatkuvasti sitä seikkaa, että mekaniikan lait koskevat perusmuodoissaan aina tiettyjä kappaleita eli siis koko ajan samoista partikkeleista muodostuneita systeemeitä. Toisaalta viskositeetin selittämis-

tapa osoittaa, että tarkasti ottaen konti-



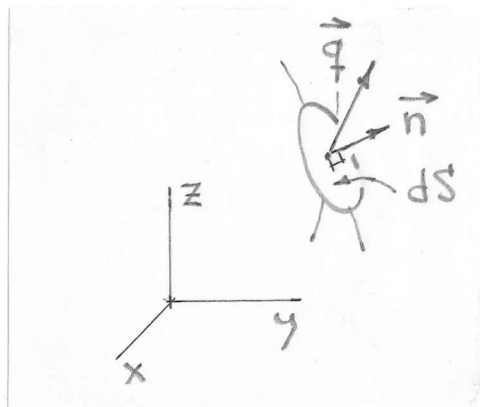
Kuva 1.3.6

muumin yhteydessä tällaista suljettua systeemiä ei voida molekyylien satunnaisliikkeen johdosta koskaan saada aikaan; vrt. kuva 1.3.6. Tämä ei kuitenkaan estä suljetun systeemin käsitteen käyttöä,

sillä makroskooppisen tarkastelun kannalta sellainen on olemassa. Periaatteessa kappaleen reunan aseman hetkellä $t + \Delta t$ määrittelevät reunalla hetkellä t olleiden pienten - suunnattoman määrän molekyyliä sisältävien - nestealkioiden massa-keskiöiden uudet asemat ja makroskooppiselta kannalta voidaan sanoa, että kappaleen reuna muodostuu koko ajan samoista kontinuumi-alkioista. Molekyylien vaellus reunan lävitse ilmenee makroskooppisesti kineettisenä jännityksenä.

* Lämmönjohtavuus. Soveltamalla energian ja liikemäärien taseiden periaatteita pieneen kontinuumikappaleeseen ja antamalla kappaleen koon kutistua kohti nolaa voidaan osoittaa, että voidaan määritellä ns. Lämpösuovektori (engl. heat flux vector) \vec{q} ($[q] = W/m^2$), jolla on seuraava ominaisuus. Lämpösuovektori on suure, jonka avulla mielivaltaisen kontinuumissa (tai sen pinnalla) olevan pinta-alkion dS kautta kulkevan lämpövirran tiheys (engl. density of heat

flow rate) q_n ($[q_n] = W/m^2$) pinta-alkion
yksikkönormaalivektoriin \vec{n}
($[\vec{n}] = -$) osoittamalle puo-
lelle saadaan kaavasta
(kuva 1.3.7)



$$\boxed{q_n = \vec{n} \cdot \vec{q}}$$

$$= n_x q_x + n_y q_y + n_z q_z. \quad (1.3.37)$$

Kuva 1.3.7

Suuret \vec{q} ja q_n ovat keskenään vastaavassa
suhteessa kuin jännitystensori ja jännitys-
vektori. Pinta-alkion dS kautta kulkeva
differentiaalinen lämpövirta $dP_Q = q_n dS$ ja
tietyn kappaleen reunojensa kautta saama
ms. lämpövirta (engl. heat flow rate) P_Q^S
($[P_Q^S] = W$) on täten

$$P_Q^S = - \int_S q_n dS = - \int_S \vec{n} \cdot \vec{q} dS. \quad (1.3.38)$$

jossa integraali otetaan kappaleen reunan yli.
Kaavassa esiintyvä miinusmerkki selittyy siitä,
että tässä ja jatkossa P_Q^S määritellään kappa-
leen saamana lämpövirtona ja taas \vec{n} määri-
tellään kappaleen pinnasta ulospäin suun-
nattuna ulkoisena yksikkönormaalivektorina.

On syytä korostaa, että kaava (1.3.37) ku-
vaa lämpövirran tiheyttä mitattuna ko. pinta-
alkioon liittyvän ms. ainepinnan (engl.
material surface) suhteen. T.s. tulee ajatella,
että kuviteltu ilmiötä mittaava havaitsi-
liikkuu ko. pinta-alkioon liittyvän aine-
pinnan mukana ja tarkastelee lämmön-

siirtymistä tämän suhteen. Kuten on fysiikasta tuttua, tällainen lämmönsiirtyminen voi tapahtua johtamalla (engl. conduction) ja säteilemällä (engl. radiation) ja siis yhteensä

$$\vec{q} = \vec{q}^c + \vec{q}^r, \quad (1.3.39)$$

jossa yläindeksien merkitys on ilmeinen.

Fysiikassa tavallisesti kolmantena lämmönsiirtomuotona mainittu kuljettuminen tai konvektio (engl. convection) liittyy aineen makroskooppisesta liikkeestä johtuvaan energian siirtymiseen paikasta toiseen aineen mukana ja kysymyksessä on aivan eri asia kuin kaavasta (1.3.39). Kuljettuminen tulee automaattisesti mukaan lopullisiin yhtälöihin kohdassa 4.6 esitetyllä tavalla.

Sen sijaan summeiden \vec{q}^c ja \vec{q}^r käsitteily vaatii konstitutiivisia yhteyksiä. Sekä kiinteiden aineiden että nesteiden tapauksessa tavallisin otaksuma lämmönjohtamisen suhteen on ns. Fourierin laki

$$\vec{q}^c = -k \vec{\nabla} T \quad (1.3.40)$$

eli

$$q_x^c = -k \frac{\partial T}{\partial x}, \quad q_y^c = -k \frac{\partial T}{\partial y}, \quad q_z^c = -k \frac{\partial T}{\partial z}. \quad (1.3.41)$$

Tässä $\vec{\nabla} T$ ($[\vec{\nabla} T] = K/m$) on lämpötilan gradientti ja k ($[k] = W/(m \cdot K)$) on ko. nesteen ns. lämmönjohtavuus (engl. thermal conductivity). Summa k on positiivinen, joten miinus-

merkki kaavoissa näyttää siihen, että lämpö
virtaa korkeammasta lämpötilasta alem-
paan päin. Fourierin laki muoto (1.3.40)
liittyy lämmönjohtavuudeltaan ns. isotroop-
pisen aineen tapaukseen, joihin nesteet tavall-
lisesti katsotaan kuuluviksi. Anisotrooppi-
silla aineilla Fourierin laki on monimutkai-
sempi.

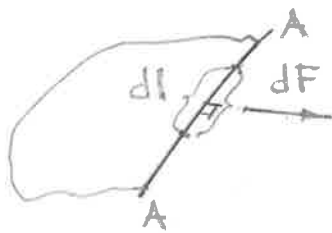
Säteilyn tapauksessa ei voida erittää mitään
yksinkertaisia konstitutiivisia yhteyksiä. Ky-
symyksessä on monimutkainen ilmiö, jossa tie-
tyistä alkiosta emittoitua säteilyä levi-
tessään absorboituu muihin alkioihin, joista
se taas emittoituu jne. Tavallisesti sä-
teily voidaan kuitenkin jättää huomioon
ottamatta kontinuumin sisällä. Poikkeuksia-
kin on: esimerkiksi korkeassa lämpötilassa
olevan lasimassan käsitteleminen tai auringon sä-
teilyn vaikutus veristöjen pintakerroksissa.

Usein säteilyn vaikutus pyritään erittämään
likimääräisesti ilman vektorin \vec{q} käyttöä erään-
laisena sisäenergian lähde-terminä: ks kohta
4.6. Mikrokooppiselta kannalta säteilyn vai-
kutusta voidaan yrittää havainnollistaa fo-
tonitulkinalla: Kappaleen ulkopuolelta saa-
puvat fotonit "syivät" kappaleen molekyylejä
ja muuttavat näin kappaleen sisäenergian
arvoa.

Höyrynpaine. Painetta p_v , jossa vassinainen neste
kiehuu, nimitetään ko. nesteen höyrynpaineeksi.

eli kyllärtymispaineeksi (engl. vapor pressure). Se riippuu lämpötilasta. Taulukossa 1.3.1 on annettu joitakin veden höyrynpaineen arvoja. Jos nesteen paine pääsee laskemaan jossain virtausalueella lähelle vastaavassa lämpötilassa vallitsevaa nesteen höyrynpainetta, on vaarana ms. kavitaatio (engl. cavitation; cavity = onkalo), jossa nesteeseen syntyy höyrykuplia. Tämä ilmiö voi aiheuttaa eri laitteisiin huomattavia vaurioita ja häiritä niiden toimintoja.

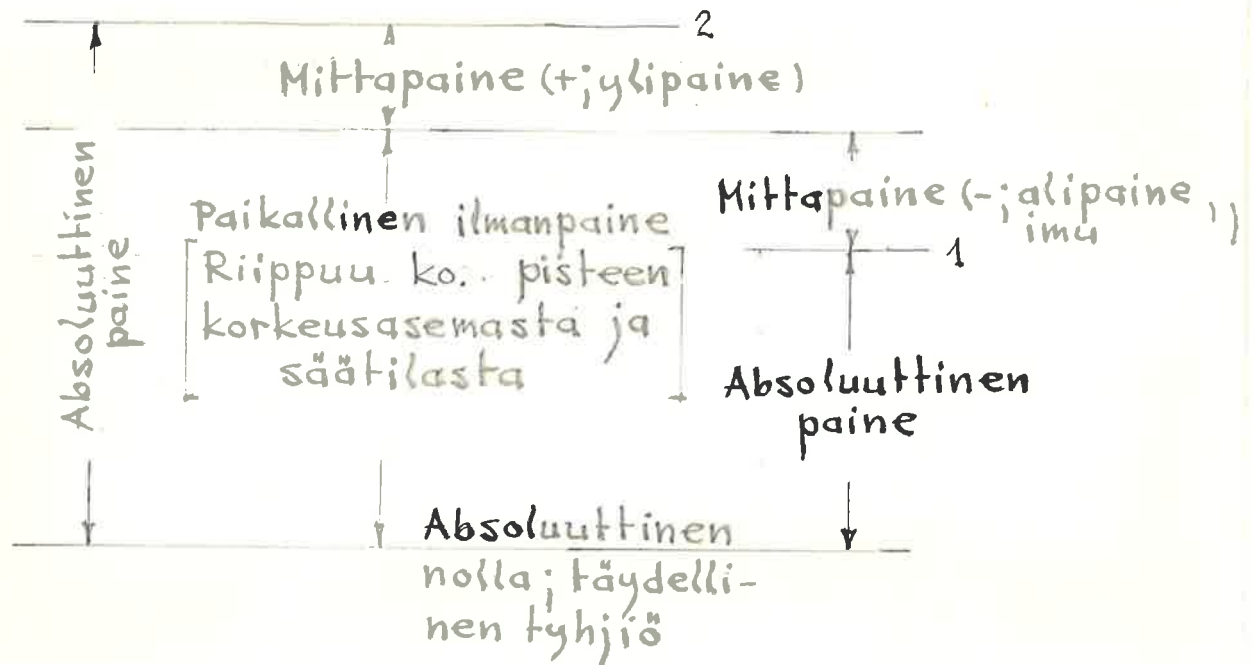
Pintajännitys. Verrinaisen nesteen ja kaasun tai myös kahden sekoittumattoman verrinaisen nesteen rajapinta käyttäytyy tunnetusti - fyrikkassa tarkemmin selostetuista syistä johtuen - kuten jännitetty kalvo. Ms. pintajännitys (engl. surface tension) σ ($[\sigma] = \text{N/m}$) vaikuttaa siis jokaisessa rajapinnan kuvitellussa leikkauksessa A-A siten, että viiva-alkioon dl syntyy rajapinnan tangenttita-rossa kohtisuolassa viiva-alkiota vastaan oleva rezultoiva differentia-



Kuva 1.3.8

linen voima $dF = \sigma dl$ (kuva 1.3.8). Rajapinnan ollessa kaareva paineella on eri arvo pinnan eri puolilla. Pintajännityksellä on merkitystä pienimittakaavaisissa ilmiöissä kuten nesteen nousussa kapillaariputkissa sekä mallikokeissa, kun mallin mitat ovat pieniä.

Paineen ja lämpötilan yksiköistä. Käytännössä nesteen paineen mittauksessa määritetään itse asiassa aina paine-eroja. Kuvarna 1.3.9 on esitetty eräitä määrittelyitä. Kaasujen yhteydessä pelkällä määrittelyllä paine tarkoitetaan yleensä täydellisen tyhjiön suhteen mitattua paine-eroa eli



Kuva 1.3.9 Paineelle käytettyjä nimityksiä (7).

ms. absoluuttista painetta (engl. absolute pressure) Kaasulla absoluuttinen paine on aina ei-negatiivinen suure. (Täydellisessä tyhjiössä ei ole enää molekyylejä painetta synnyttämässä.) Varsinaiset nesteet saattavat kestää hyvin puhtaina jonkin verran vetoa, mutta käytännössä milläkin absoluuttinen paine on positiivinen. Varsinaisilla nesteillä paineen arvo vaikuttaa vähän nesteen ominaisuuksiin, josta johtuen nesteen yhteydessä on usein kätevintä tarkoittaa pelkällä sanalla paine ms. mittapainetta (engl. gauge pressure), joka ilmaisee ko. pisteessä vallitsevan absoluuttisen paineen ja sovitun referenssipaineen eron. Jälkimmäiseksi otetaan tavallisesti ko. pisteessä vallitseva ilmakehän paine. Mittapaine voisi täten olla merkittävästi positiivista tai negatiivista. Yleensä yhteydestä selviää mitä sanalla paine kulloinkin tarkoitetaan. Paineelle käytettyjä vanhentuneita yksiköitä ovat mm:

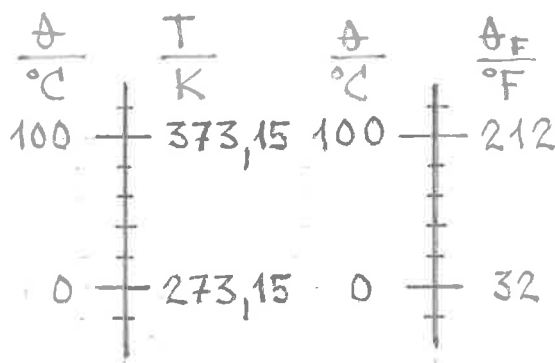
- teknillinen ilmakehä, at
- $1 \text{ at} = 1 \text{ kp/cm}^2 = 0,0980665 \text{ MPa}$
- normaalii-ilmakehä, atm

$$\begin{aligned}
 1 \text{ atm} &= 0,101325 \text{ MPa} \\
 - \text{ elohopeamillimetri, mmHg} \\
 1 \text{ mmHg} &= 1 \text{ torr} = 133,322 \text{ Pa} \\
 - \text{ maulanvoima neliötuumaa kohti, psi} \\
 1 \text{ psi} &= 1 \text{ lbf/in}^2 = 6,89476 \text{ kPa}
 \end{aligned}
 \quad \left. \vphantom{\begin{aligned} 1 \text{ atm} \\ - \text{ elohopeamillimetri} \\ 1 \text{ mmHg} \\ - \text{ maulanvoima} \\ 1 \text{ psi} \end{aligned}} \right\} (1.3.42)$$

Havainnollisiin vielä sallittu yksikkö on baari, bar;

$$1 \text{ bar} = 0,1 \text{ MPa} \approx 1 \text{ at} \approx 1 \text{ atm.} \quad (1.3.43)$$

Jos lämpötila esitetään Celsius-asteina ($^{\circ}\text{C}$), sille käytetään tunnusta θ . Kuvarna 1.3.10 nä-



kyvät celsiustämpötilan θ ja termodynaamisen lämpötilan T sekä celsiustämpötilan θ ja fahrenheitlämpötilan θ_F väliset yhteydet. Saadaan (10) lukuarvoyhtälöt.

Kuva 1.3.10 (10).

$$\left. \begin{aligned}
 \{T\} &= \{T_0\} + \{\theta\}, \\
 \{T\} &= \frac{5}{9} (\{\theta_F\} - 32) + \{T_0\}, \\
 \{\theta\} &= \frac{5}{9} (\{\theta_F\} - 32),
 \end{aligned} \right\} (1.3.44)$$

joissa $T_0 = 273,15 \text{ K}$. Lämpötilanmuutos ΔT tai $\Delta \theta$ voidaan esittää joko yksikköinä kelvin tai Celsius-aste, koska tällöin $1 \text{ K} = 1^{\circ}\text{C}$.

Eräitä numeroarvoja. Taulukoissa 1.3.1 ja 1.3.2 on joitakin tietoja veden ja ilman ominaisuuksista. Pintajännityksen arvo korkea veden ja ilman rajapintaa. Ilman kaasuvakio

$$R = 287 \text{ J}/(\text{kg} \cdot \text{K}). \quad (1.3.45)$$

Taulukko 1.3.1 Veden ominaisuuksia eri lämpötiloissa normaali-ilmanpaineessa (6), (11), (12).

θ $^{\circ}\text{C}$	ρ kg/m^3	μ $\text{Pa}\cdot\text{s}$	ν m^2/s	κ_T Pa^{-1}	κ_S Pa^{-1}
0	999,8	$1,78 \cdot 10^{-3}$	$1,78 \cdot 10^{-6}$	$5,08 \cdot 10^{-10}$	$5,08 \cdot 10^{-10}$
4	1000,0	1,50.	1,50.		
10	999,6	1,30.	1,30.	4,81.	4,80.
20	998,2	1,00.	1,00.	4,58.	4,55.
40	992,2	$6,52 \cdot 10^{-4}$	$6,57 \cdot 10^{-7}$	4,38.	4,27.
60	983,2	4,70.	4,78.	4,37.	4,15.
80	971,8	3,56.	3,66.	4,48.	4,13.
100	958,3	2,82.	2,94.		

θ $^{\circ}\text{C}$	γ_p K^{-1}	c_p $\text{J}/(\text{kg}\cdot\text{K})$	k $\text{W}/(\text{m}\cdot\text{K})$	σ N/m	p_v kPa
0	$-67 \cdot 10^{-6}$	4 218	0,552	0,0754	0,61
4				0,0749	0,81
10	89.	4 192		0,0740.	1,23
20	208.	4 182	0,597	0,0726	2,33
40	390.	4 179	0,628	0,0695	7,38
60	522.	4 184	0,651	0,0662	19,92
80	643.	4 196	0,668	0,0626	47,36
100			0,680	0,0584	101,32

Taulukko 1.3.2 Ilman ominaisuuksia eri lämpötiloissa normaali-ilmanpaineessa (12).

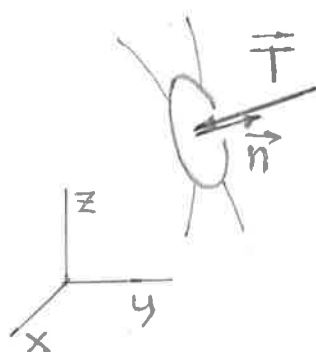
T K	ρ kg/m^3	μ $\text{Pa}\cdot\text{s}$	ν m^2/s	c_p $\text{J}/(\text{kg}\cdot\text{K})$	k $\text{W}/(\text{m}\cdot\text{K})$
100	3,6010	$0,692 \cdot 10^{-5}$	$1,923 \cdot 10^{-6}$	1 027	0,009 25
150	2,3675	1,028.	4,343.	1 010	0,013 74
200	1,7684	1,329.	7,490.	1 006	0,018 09
250	1,4128	1,488.	9,49.	1 005	0,022 27
300	1,1774	1,983.	$1,568 \cdot 10^{-5}$	1 006	0,026 24
350	0,9980	2,075.	2,076.	1 009	0,030 03
400	0,8826	2,286.	2,590.	1 014	0,033 65
450	0,7833	2,484.	2,886.	1 021	0,037 07

2 NESTESTATIikka

2.1 Yleistä

Nestestatikassa tarkastellaan tietyn koordinaatiston suhteen jatkuvaassa lepotilassa olevaa nestettä. Täten ko. aihepiiri ei tarkasti ottaen kuuluvi opintojakson nimen ilmaisemaan mekaniikan alueeseen. Aihetta käsitellään kuitenkin hieman tässä, koska näin voidaan harjoitella tiettyjen matemaattisten keinojen käyttöä ensiin mahdollisimman yksinkertaisissa yhteyksissä. Lisäksi eräitä nestestatikan tuloksia voidaan hyödyntää myös nestedynamiikassa hitausvoima-ajattelua soveltamalla.

Koska neste on levossa, sen muodonmuutosnopeudet häviävät ja nesteen määritelmän perusteella samoin siis myös leikkajännitykset kaikkialla nesteessä. Tällöin jännitysvektori \vec{T} ($[\vec{T}] = \text{N/m}^2 = \text{Pa}$) on aina kohtisuorassa tarkasteltavaa pintaalkiota vastaan ja sen arvo



Kuva 2.1.1

$$\boxed{\vec{T} = -p\vec{n}} \quad (2.1.1)$$

jossa $p(x, y, z)$ ($[p] = \text{Pa}$) on paine ja \vec{n} on pinnan ulkoinen yksikkönormaalivektori (kuva 2.1.1). Jännityksen ja paineen käsitteitä tarkastellaan perusteellisemmin kohdassa 4.2; ks. myös kohta D 4.4.1. Miinusmerkki kaavassa (2.1.1) aihe-

tun siitä, että paine on tapana määritellä positiiviseksi silloin, kun se vaikuttaa puiritavana.

Kartesissa suorakulmaisessa koordinaatistossa

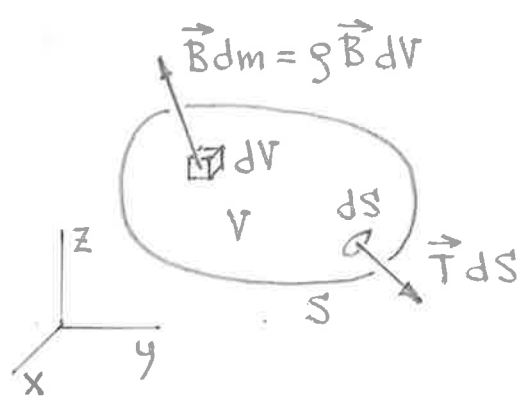
$$\vec{T} = T_x \vec{i} + T_y \vec{j} + T_z \vec{k}, \tag{2.1.2}$$

$$\vec{n} = n_x \vec{i} + n_y \vec{j} + n_z \vec{k} \tag{2.1.3}$$

ja vektoriyhtälö (2.1.1) voidaan kirjoittaa kolmena skalaariyhtälönä

$$T_x = -pn_x, \quad T_y = -pn_y, \quad T_z = -pn_z. \tag{2.1.4}$$

Tarkastellaan lepotilassa olevaa kappalevoimien



massaa kohti tai ns. ominais-
kappalevoiman (engl. specific body force) \vec{B} ($[\vec{B}] = \text{N/kg}$) ja pintavoimien pinta-alaa kohti tai ns. traktion (engl. traction) eli jännitysvektorin \vec{T} ($[\vec{T}] = \text{Pa}$) vaikutuksen alaisena olevaa

Kuva 2.1.2 Kontinuumi-kappale.

mestekappaletta (kuva 2.1.2). Kappaleeseen vaikuttavien ulkoisten voimien resultantti \vec{F} koostuu yleisesti kappalevoimien resultantista \vec{F}^B ja pintavoimien resultantista \vec{F}^S eli

$$\boxed{\vec{F} = \vec{F}^B + \vec{F}^S}, \tag{2.1.5}$$

josta

$$\left. \begin{aligned} \vec{F}^B &= \int g \vec{B} dV \\ &= \int g B_x dV \vec{i} + \int g B_y dV \vec{j} + \int g B_z dV \vec{k} \end{aligned} \right\} \tag{2.1.6}$$

ja

$$\left. \begin{aligned} \vec{F}^s &= \int \vec{T} dS \\ &= \int T_x dS \vec{i} + \int T_y dS \vec{j} + \int T_z dS \vec{k}. \end{aligned} \right\} \quad (2.1.7)$$

Tässä ja jatkossa jätetään yleensä kappaleen täyttämää avaruuden osaa ja kappaleen pintaa kuvaavat tunnuks \vec{V} ja S mukavuus-
syyistä integraalimerkeistä pois. Rakenteiden
mekaniikassa toimitaan usein suuren kappale-
voima / massa = ominaiskappalevoima (joskus
käytetään myös nimitystä kenttävoiman
intensiteetti) \vec{B} sijasta suuren kappale-
voima / tilavuus = $\vec{X} = g\vec{B}$ avulla. Koska
kappalevoimat kohdistuvat nimenomaan mas-
saan eivätkä tilavuuteen, on \vec{B} tavallaan
perustavampaa laatua oleva suure kuin \vec{X} .
Tavallisin kappalevoima on maan paino-
voima, jolloin $\vec{B} = \vec{g}$, jossa \vec{g} on putoamis-
kiihtyvyy \vec{s} . Vanhemmassa kirjallisuudessa
suuresta $|\vec{X}| = |g\vec{g}| = gg$ käytetään tällöin
usein nimitystä ominaispaino (tavallinen
tunnus on γ). Nykyisten ohjeiden (13) mukaan
tämä nimitys on väärä, koska suositukse \vec{n}
on: suure / massa = ominais \vec{s} .

Eityisesti: tässä luvussa käsitellyssä tapa-
uksensa pintavoimien resultantiksi saadaan
kaavan (2.1.1) perusteella

$$\left. \begin{aligned} \vec{F}^s &= - \int p \vec{n} dS \\ &= - \int p n_x dS \vec{i} - \int p n_y dS \vec{j} - \int p n_z dS \vec{k}. \end{aligned} \right\} \quad (2.1.8)$$

Sovelletaan liikemäärän taseen periaatetta (1.2.3), jossa nyt kappaleen lepotilan johdosta kappaleen liikemäärä $\vec{p} \equiv \vec{0}$ ja siis $\dot{\vec{p}} = \vec{0}$. Täten saadaan tasapainoyhtälö $\vec{F} = \vec{0}$ eli

$$\boxed{\int_V \vec{B} dV - \int_S \vec{p} \vec{n} dS = \vec{0}} \quad (2.1.9)$$

tai vielä skalaariyhtälöt

$$\left. \begin{aligned} \int_V B_x dV - \int_S p n_x dS &= 0, \\ \int_V B_y dV - \int_S p n_y dS &= 0, \\ \int_V B_z dV - \int_S p n_z dS &= 0. \end{aligned} \right\} \quad (2.1.10)$$

Näistä äärellistä kappaletta koskevista tasapainoyhtälöistä saadaan paikalliset muodot Gaussin Lauseen ((14), ks. liite L.1) avulla. Gaussin lause toistuu kontinuumimekaniikassa jatkuvasti. Muunnetaan nyt yhtälön (2.1.9) pinta-integraali tilavuusintegraaliksi kaavan (L.1.1) avulla ($* \hat{=} \text{tyhjä}$, $\vec{f} \hat{=} \vec{p}$), jolloin saadaan tulos

$$\int_V (\vec{B} - \vec{\nabla} p) dV = \vec{0}. \quad (2.1.11)$$

Tästä saadaan paikallinen muoto seuraavalla päättelyllä. Yhtälön (2.1.11) tulee olla aina voimassa valittinpa tarkasteltavaksi alueeksi mikä hyvänsä osa-alue ΔV alkuperäisestä alueesta V . (Liikemäärän taseen aksiomahan — kuten muunkin kontinuumimekaniikan aksiomat — pätee millä tavalla hyvänsä valitulle kappaleelle.) Tämä ei ole mahdollista, jollei integrandi ole nollla kaikkialla

koko alueella. Täten lepotilassa olevan nesteen tasapainoyhtälön paikallinen muoto on

$$\boxed{\vec{g}\vec{B} - \vec{\nabla}p = \vec{0}} \quad (2.1.12)$$

eli skalaariyhtälöt

$$gB_x - \frac{\partial p}{\partial x} = 0, \quad gB_y - \frac{\partial p}{\partial y} = 0, \quad gB_z - \frac{\partial p}{\partial z} = 0 \quad (2.1.13)$$

kuten voidaan helposti todeta, kun muistetaan, että karteesisessa suorakulmaisessa koordinaatistossa p :n gradientti

$$\vec{\nabla}p = \left(\vec{i} \frac{\partial}{\partial x} + \vec{j} \frac{\partial}{\partial y} + \vec{k} \frac{\partial}{\partial z} \right) p = \frac{\partial p}{\partial x} \vec{i} + \frac{\partial p}{\partial y} \vec{j} + \frac{\partial p}{\partial z} \vec{k}. \quad (2.1.14)$$

Todettakoon, että yhtälöt (2.1.13) saadaan myös suoraan yhtälöistä (2.1.10) soveltamalla Gaussin lauseen muotoa (2.1.4).

*† Tarkastellaan vielä äskeistä huolellisemmin globaalista muodosta lokaaliseen johtamatta päättelyä. Olkoon kysymyksessä yleinen globaalinen muoto

$$\int_V f(x, y, z, t) dV = 0, \quad (2.1.15)$$

jossa integrandi f on paikan suhteen jatkuva funktio ja voi vielä riippua ajasta; edellä $f \hat{=} g(x, y, z) \vec{B}(x, y, z) - \vec{\nabla}p(x, y, z)$. Jos yhtälö (2.1.15) pätee jokaisen alueesta V valitun osa-alueen ΔV suhteen eli jos

$$\int_{\Delta V} f dV = 0, \quad (2.1.16)$$

seuraa tästä lokaalinen muoto

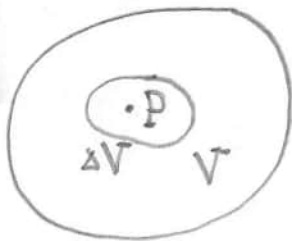
$f = 0$ alueessa V .

2.6
(2.1.17)

Todistus perustuu vastaotakrumaan. Olkoon f nollasta eroava ja vaikka positiivinen alueen tietyssä sisäpisteessä P . Jatkuvana funktiona f on tällöin positiivinen myös pisteen P tietyssä ympäristössä ΔV , jolloin yhtälön (2.1.16) vasen puoli tulisi positiiviseksi. Täten vastaotakruma on väärä ja yhtälö (2.1.17) on voimassa.

Tulos pätee myös, kun f on vektorifunktio (kuten kaavan (2.1.11) erittämässä tapauksessa), sillä kaava (2.1.17) voidaan soveltaa ensin vektorin \vec{f} jokaiseen komponenttiin, jonka jälkeen saadaan yhtälö $\vec{f} = \vec{0}$.

Kaavan (2.1.12) (ja (2.1.17)) johdossa otakritiksiin, että suureen \vec{B} (ja suureen f) arvo tietyssä alueen V pisteessä P (kuva 2.1.3) ei riipu osa-alueen ΔV valinnasta. Kenttävoiman intensiteetin \vec{B} arvo tietyssä pisteessä riippuu kuitenkin tarkasti ottaen ΔV :stä,



Kuva 2.1.3

koska kaavassa (2.1.6) \vec{F}^B tarkoittaa valittuun kappaleeseen — siis tässä alueessa ΔV olevaan kappaleeseen — vaikuttavista ulkoisista kappalevoimista kertuvaa resultanttia. Tavallisissa käytännön tehtävissä \vec{B} :n riippuvuus ΔV :stä on kuitenkin mitätön. Esimerkiksi palkin jännitystilaa laskettaessa ei ole tarpeen ottaa huomioon palkin eri osasten välisiä gravitaatiovoimia koko maapallon

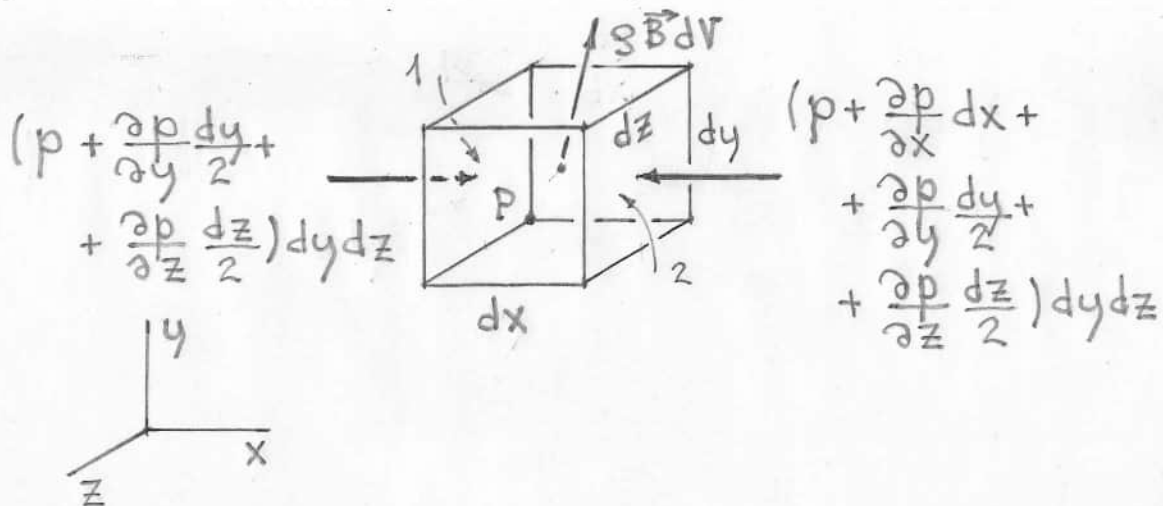
aikenttaman gravitaatiovoiman rinnalla ja \vec{B} voidaan otaksua riippumattomaksi ΔV :stä. Vastakohtainen esimerkki on vaikkapa kaukana avaruudessa leijuva kaasupilvi, jonka analyysissä eri osasten väliset gravitaatiovoimat ovat oleellisia. Suoittamalla kaavojen (2.1.11) ja (2.1.12) välinen johto hieman edellä esitetystä tavasta poiketen, voidaan osoittaa, että kaava (2.1.12) pätee edelleen ja että \vec{B} tarkoittaa siinä sitä raja-avaa, jota ominaiskappalevoima lähentyy, kun ko. pistettä ympäröivä osa-alue ΔV kutistuu kohti tätä pistettä. \vec{B} on siis periaatteensa kaikesta avaruuden massasta ko. pisteeseen kehittyvä kenttävoiman intensiteetti.



Edellä suoritettu paikallisen muodon päättely äärellisestä muodosta lähtemällä tulee toistumaan analogisena eri yhteyksissä jatkossa, jolloin sanallinen selittely tullaan jättämään tarpeettomana pois. Päättely perustuu epähavainnollisen matemaattisen Laureen käyttöön. Vaihtoehtoinen, havainnollisempi, mutta käyräviivaista koordinaatistoa käytettäessä kömpelöksi tuleva johtamistapa perustuu differentiaaligeometriseen tarkasteluun. Viedään johto tässäkin ensin venyttäin huolellisesti lävitse, jonka jälkeen jatkossa voidaan taas jättää selittely vähemmälle.

Tarkastellaan kuvan 2.1.4 esittämää suorakulmaisen suunnaisjärmiön muotoista nestealkiota. Olkoon pisteen P koordinaatit x, y ja

z ja paineen arvo siinä p . Tahkon 1 keskipisteessä



Kuva 2.1.4 deopotilassa oleva nestealkio.

painella on arvo

$$p_1 = p + \frac{\partial p}{\partial y} \frac{dy}{2} + \frac{\partial p}{\partial z} \frac{dz}{2}, \quad (2.1.18)$$

kun rajoitetaan p :n Taylorin kehitelmän lineaarisiiin termeihin ja otetaan huomioon, että pinnan keskipisteen koordinaatit ovat $(x, y + dy/2, z + dz/2)$. Tahkon 2 keskipisteessä painelle saadaan vastaavasti arvo

$$p_2 = p + \frac{\partial p}{\partial x} dx + \frac{\partial p}{\partial y} \frac{dy}{2} + \frac{\partial p}{\partial z} \frac{dz}{2}. \quad (2.1.19)$$

Muihin alkion tahkoihin vaikuttavat painevoimat (ei piirretty kuvaan) ovat kohtisuorassa x -akselia vastaan. Näin alkioon vaikuttavien pintavoimien resultantin komponentti x -akselin suunnassa

$$dF_x^s = (p_1 - p_2) dy dz = \left(-\frac{\partial p}{\partial x} dx\right) dy dz = -\frac{\partial p}{\partial x} dV. \quad (2.1.20)$$

Suunnille dF_y^s ja dF_z^s saadaan vastaavalla tarkastelulla analogiset lausekkeet

$$dF_y^s = -\frac{\partial p}{\partial y} dV, \quad dF_z^s = -\frac{\partial p}{\partial z} dV. \quad (2.1.21)$$

Alkioon vaikuttavien pintavoimien resultantti tulee siis olemaan

$$d\vec{F}^S = \vec{f} dV, \quad (2.1.22)$$

jossa

$$\vec{f} = - \left(\frac{\partial p}{\partial x} \vec{i} + \frac{\partial p}{\partial y} \vec{j} + \frac{\partial p}{\partial z} \vec{k} \right) = -\vec{\nabla} p. \quad (2.1.23)$$

Tässä tarkastelussa on siis myös lauseketta (2.1.18) laskettaessa jätetty korkeamman kertaluvoon termejä huomiotta (pintaan vaikuttava voima ei ole tarkalleen sama kuin paine keskipisteessä kertaa pinta-ala), mutta nämä ykrinkataistukset eivät aiheuta virheitä rajalla, kun dx, dy ja $dz \rightarrow 0$.

Alkioon vaikuttavien kappalevoimien resultantti



$$d\vec{F}^B = \vec{B} dm = \rho \vec{B} dV, \quad (2.1.24)$$

jossa taas jätetään korkeamman kertaluvoon termit huomiotta – jos \vec{B} tai ρ riippuvat paikasta – ilman virheitä rajalla; \vec{B} on siis kappalevoima massaa kohti eli ominaiskappalevoima eli kenttävoiman intensiteetti pisteessä P . Alkion tasapainoyhtälö on täten

$$d\vec{F}^B + d\vec{F}^S = \rho \vec{B} dV + \vec{f} dV = (\rho \vec{B} - \vec{\nabla} p) dV = \vec{0}, \quad (2.1.25)$$

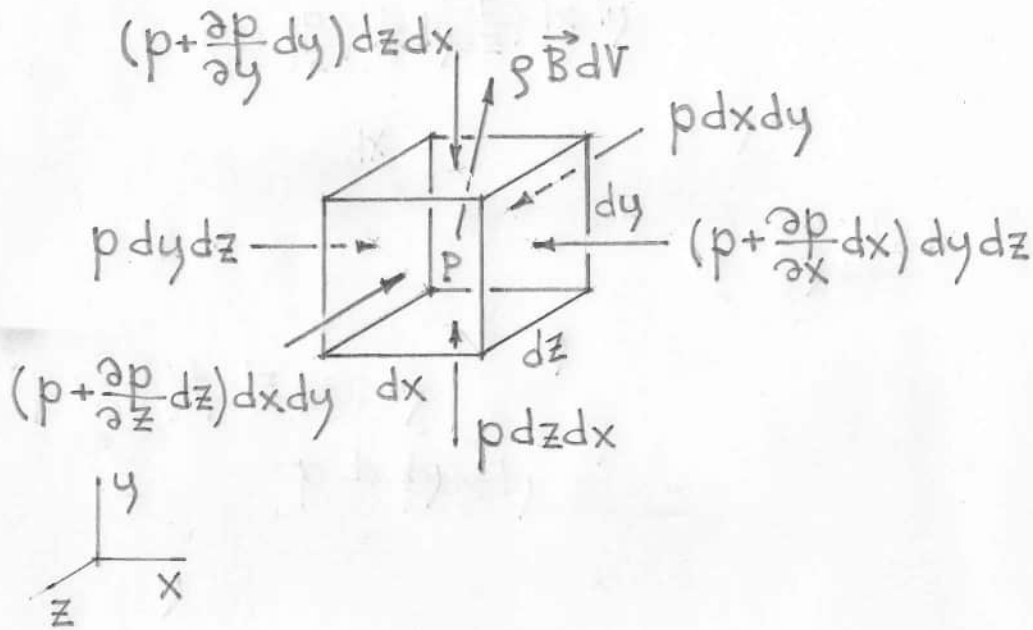
josta saadaan dV :llä jakamalla jälleen yhtälö (2.1.12).

Taulukko 2.1.1

Partikkelisysteemi	Kontinuumi
 $\vec{F}_i = \vec{B} m_i \quad (1)$ $\vec{F}_i = \sum_{\substack{j=1 \\ j \neq i}}^N \vec{F}_{ij} \quad (2)$	 $d\vec{F}^B = \rho \vec{B} dV \quad (1')$ $d\vec{F}^S = \vec{f} dV = -\vec{\nabla} p dV \quad (2')$
<p>Tasapainoyhtälö:</p> $\vec{F}_i + \vec{F}_i = \vec{0} \quad (3)$	<p>Tasapainoyhtälö / dV:</p> $\rho \vec{B} + \vec{f} = \vec{0} \quad (3')$

Taulukossa 2.1.1 on kuvattu vierekkäin partikkelisysteemin tietyn partikkelin i ja nestekontinuumin tietyn massa-alkion tasapainoa. Analogiset termit ovat selvästi havaittavissa.

Huomautettakoon vielä, että differentiaaligeometrisen tarkastelu suoritetaan yleensä käyttäen kuvan 2.1.4 sijasta kuvan 2.1.5 esittämiä yksin-

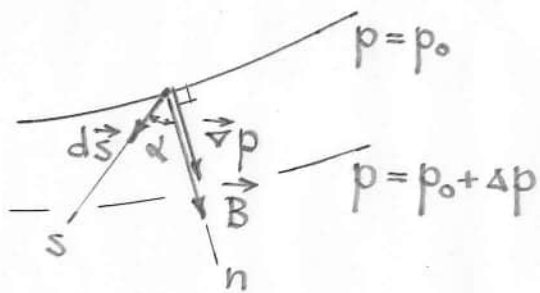


Kuva 2.1.5 Lepotilassa oleva nestealkio.

keittäisempia merkintöjä, jotka ovat muodollisesti väärin, koska paineella ei ole tässä käytetyssä approksimaatiossa samaa arvoa pisteeseen P rajoittuvien tahkojen keskipisteissä, kuten kuva antaa ymmärtää. Huomataan kuitenkin helposti, että näinkin päästään oikeaan lopputulokseen (2.1.12) (mikri näin käy?).

Tarkastellaan tämän jälkeen perusteellisemmin saatua tasapainoyhtälöä (2.1.12). Sen mukaan siis kappalevoimavektori ja paineen gradientti ovat samansuuntaiset. Toisaalta matematiikasta tiedetään, että funktion gradientti on kohtisuorassa tarkasteltavan pisteen

kautta kulkevaa funktion tasa-arvopintaa eli



nivoopintaa vastaan. Täten voidaan todeta, että tasapainotilassa (Tässä luvussa tasapainotilalla tarkoitetaan samaa kuin jatkuva lepotila.) olevassa nesteessä paineen tasa-arvopinnat ovat kohtisuorassa kap-

Kuva 2.1.6

palevoimavektoria vastaan (kuva 2.1.6). Paineen muutos dp siirtyäessä mielivaltaiseen suuntaan s saadaan kertomalla yhtälö (2.1.12) puolittain skalaarisesti vektoreilla $d\vec{s} = dx\vec{i} + dy\vec{j} + dz\vec{k}$:

$$\left. \begin{aligned} g\vec{B} \cdot d\vec{s} - \vec{\nabla}p \cdot d\vec{s} &= 0, \\ gB \cos\alpha ds - \left(\frac{\partial p}{\partial x} dx + \frac{\partial p}{\partial y} dy + \frac{\partial p}{\partial z} dz \right) &= 0, \\ gB_s ds - dp &= 0, \end{aligned} \right\} \quad (2.1.26)$$

eli

$$\frac{dp}{ds} = gB_s, \quad (2.1.27)$$

missä B_s on \vec{B} :n skalaarikomponentti suuntaan s . Täten paine kavaa voimakkaimminkin kappalevoiman vaikutussuunnassa n , jossa $B_s = B_n = |\vec{B}|$. Yllä esitetyt alleviivatut tulokset ovat tuttuja painovoiman alaisena olevan nesteen tapauksesta.

Tuntuu luonnolliselta, että neste ei voi saavuttaa tasapainotilaa täysin mielivaltaisen kenttävoimajakautuman alaisena. Jos otakme taan barotrooppinen tapaus, $g = g(p)$, ja tasapainoyhtälöt (2.1.13) esittävät kolmen orittais-differentiaaliyhtälön muodostamaa systeemiä, joissa esiintyy kuitenkin vain yksi tuntematon: $p(x, y, z)$. Täten systeemi on ns. yli-

määräytyvä (engl. overdetermined) ja jotta sillä olisi ratkaisu, funktion $\vec{B}(x, y, z)$ tulee täyttää tietyt ehdot. Esimerkiksi vakiotiheysten tapauksessa saadaan derivoimalla ensimmäinen yhtälö (2.1.13) y :n suhteen ja toinen yhtälö x :n suhteen ja vähentämällä syntyvät yhtälöt puolittain toisistaan ehto $\partial B_x / \partial y = \partial B_y / \partial x$. Lähteen (15) mukaan yleinen ehto on seuraava. Jotta tasapaino olisi yleensä mahdollinen, kenttävoimajakautuman tulee olla sellainen, että jokaisen pisteen kautta voidaan ajatella kulkevat jatkuva pinta, joka on kaikkialla kohtisuorassa kenttävoiman vastaan (engl. surface normal field). Eityyisen tärkeä tämän ehdon toteuttava tapaus on se, jossa kappalevoimat ovat konservatiivisia siinä mielessä, että on olemassa pelkästään paikan funktio $\Omega(x, y, z)$ siten, että

$$\boxed{\vec{B} = -\vec{\nabla} \Omega} \quad (2.1.28)$$

eli

$$B_x = -\frac{\partial \Omega}{\partial x}, \quad B_y = -\frac{\partial \Omega}{\partial y}, \quad B_z = -\frac{\partial \Omega}{\partial z}. \quad (2.1.29)$$

Tällöinhän Ω :n tasa-arvopinnat ovat kohtisuorassa vektoria $\vec{\nabla} \Omega$ ja siis myös vektoria \vec{B} vastaan. Massa-alkioon $dm = \rho dV$ vaikuttaa kappalevoima

$$dm \vec{B} = dm (-\vec{\nabla} \Omega) = -\vec{\nabla} (dm \Omega), \quad (2.1.30)$$

joten tällä voimalla on kaavan D (5.2.6) perusteella potentiaalienergia

$$dV^* = dm\Omega = g\Omega dV$$

(2.1.31)

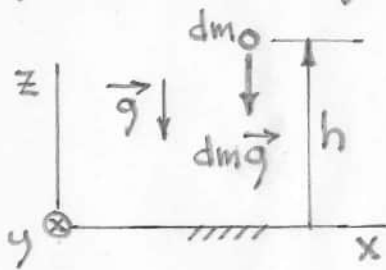
Suure Ω ($[\Omega] = \text{J/kg}$) on siis potentiaalienergia massaa kohti eli ominaispotentiaalienergia. Kirjallisuudessa käytetään kuitenkin usein sen sijasta nimitystä voimapotential tai voimafunktio (engl. force potential, force function). Usein myös kaavassa (2.1.28) esiintyy miinusmerkin sijasta plusmerkki.

Koko kappaleeseen vaikuttavien kappalevoimien potentiaalienergia on täten

$$V^* = \int g\Omega dV. \quad (2.1.32)$$

Pintavoimat ovat taas mekaniikassa tavallisesti luonteeltaan epäkonservatiivisia.

Käytännössä ylivoimaisesti tavallisin ja tärkein konservatiivinen voimakenttä on vakiopainovoimakenttä, jolle saadaan kuvan 2.1.7 merkinnöin ja vertaamalla kaavaan D (5.2.21) tulos $dV^* = dmgh$, joten kaavan (2.1.31) perus-



Kuva 2.1.7

teella saadaan

$$\boxed{\Omega = gh}$$

(2.1.33)

ja koska g on vakio

$$\vec{B} = \vec{g} = -g\vec{\nabla}h$$

(2.1.34)

eli

$$B_x = g_x = -g \frac{\partial h}{\partial x}, \quad B_y = g_y = -g \frac{\partial h}{\partial y}, \quad B_z = g_z = -g \frac{\partial h}{\partial z}. \quad (2.1.35) \quad 2.14$$

Jos vielä xyz -koordinaatisto valitaan kuvan 2.1.7 esittämällä tavalla, $h=z$ ja

$$B_x = g_x = 0, \quad B_y = g_y = 0, \quad B_z = g_z = -g. \quad (2.1.36)$$

Tasapainoyhtälö (2.1.12) saa konservatiivisessa voimakentässä muodon (jaetaan vielä g :lla ja vaihdetaan merkit)

$$\boxed{\vec{\nabla} \Omega + \frac{1}{g} \vec{\nabla} p = \vec{0}.} \quad (2.1.37)$$

Tätä yhtälöstä voidaan päätellä pieneen tarkasteluun jälkeen, että konservatiivisten voimien vaikutuksen alaisessa tasapainotilassa olevassa nesteessä tietyin pisteen kautta kulkevat $p:n$, $\Omega:n$ ja $g:n$ tasa-arvopinnat yhtyvät. Jos neste on homogeenista, sen tilanyhtälöstä $F(g, p, T) = 0$ seuraa myös, että lämpötilankin tasa-arvopinnan tulee yhtyä edellisiin pintoihin.

Barotrooppisen homogeenisen nesteen tapauksessa tilanyhtälö voidaan kirjoittaa muodossa $g = g(p)$, joka pätee samana koko alueessa. Tällöin voidaan määritellä ns. painefunktio (engl. pressure function) Ψ ($[\Psi] = J/kg$) funktion $1/g(p)$ integraalifunktiona:

$$\boxed{\Psi(p) = \int \frac{1}{g(p)} dp.} \quad (2.1.38)$$

Tämän tarkoitus selviää seuraavasta. Ketjuseriivoinnalla saadaan (Integraalifunktion derivaatta on ko. integroitava funktio.)

$$\frac{\partial \Psi(p(x, y, z))}{\partial x} = \frac{d\Psi}{dp} \frac{\partial p}{\partial x} = \frac{1}{g} \frac{\partial p}{\partial x}. \quad (2.1.39)$$

Vastaava tulos saadaan myös y - ja z -koordinaatin suhteen eli

$$\frac{\partial \Psi}{\partial y} = \frac{1}{g} \frac{\partial p}{\partial y}, \quad \frac{\partial \Psi}{\partial z} = \frac{1}{g} \frac{\partial p}{\partial z} \quad (2.1.40)$$

eli yhteisesti (kerotaan yhtälöt vektoreilla \vec{i}, \vec{j} ja \vec{k} ja lasketaan yhtälöt puolittain yhteen)

$$\vec{\nabla} \Psi = \frac{1}{g} \vec{\nabla} p. \quad (2.1.41)$$

Nesteen homogeenisuutta on tarvittu, jotta voidaan kirjoittaa $\Psi = \Psi(p(x, y, z))$. Epähomogeenisessa tapauksessa yhteys $g = g(p)$ riippui paikasta ja tulisi siis kirjoittaa $g = g(x, y, z, p)$, jolloin myös saataisiin riippuvuus $\Psi = \Psi(x, y, z, p(x, y, z))$ eikä $\Psi = \Psi(p(x, y, z))$.

Ottamalla tulos (2.1.41) huomioon yhtälössä (2.1.37) saadaan yhtälö

$$\vec{\nabla} \Omega + \vec{\nabla} \Psi = \vec{\nabla} (\Omega + \Psi) = \vec{0}, \quad (2.1.42)$$

jonka perusteella

$$\boxed{\Psi + \Omega = C} = \text{vakio koko alueessa} \quad (2.1.43)$$

Konservatiivisten voimien alaisena lepotilassa olevassa barotrooppisessa homogeenisessa nestessä, tämä on ns. Bernoullin yhtälön erikoistapaus.

Painefunktio (2.1.38) sisältää mielivallaisen integroimisvakion, jonka valinnalla ei ole merkitystä kunhan se vain pidetään sitten kiinteänä tietyn tarkastelun aikana; vrt. potentiaalienergian vertailupisteen valinta. Painefunktio esitetään usein myös määrätyn integraalin muodossa

$$\Psi(p) = \int_{p_0}^p \frac{1}{\rho(p)} dp, \quad (2.1.44)$$

jossa p_0 on jokin valittu referenssipaine. Tällöin $\Psi(p_0) = 0$.

Vakiotiheysnesteelle saadaan (otetaan $p_0 = 0$)

$$\Psi = \int_0^p \frac{1}{\rho} dp = \frac{1}{\rho} \int_0^p dp = \frac{1}{\rho} \Big|_0^p \quad (2.1.45)$$

eli

$$\boxed{\Psi = \frac{p}{\rho}} \quad (2.1.46)$$

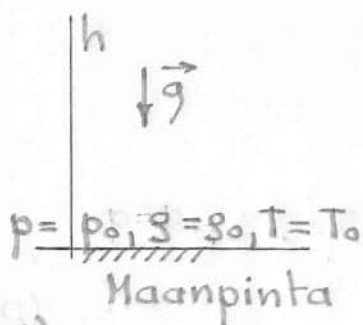
Polytrooppisessa tapauksessa (kaava (1.3.8)) saadaan lopuksi (ρ_0 on referenssipainetta p_0 vastaava tiheys)

$$\Psi = \frac{n}{n-1} \frac{p_0}{\rho_0} \left[\left(\frac{p}{p_0} \right)^{\frac{n-1}{n}} - 1 \right] \quad (2.1.47)$$

Kun $n=1$ eli isotermisessä tapauksessa tämä ei päde, vaan silloin

$$\Psi = \frac{p_0}{\rho_0} \ln \frac{p}{p_0}. \quad (2.1.48)$$

* Esimerkki 2.1.1. Paine ilmakehässä. Tarkastellaan hieman paineen jakautumista ilmakehässä lähellä maanpintaa otakseen vakiovoimakenttä sekä otakseen lisäksi (1) vakioitiheysneste ja sitten (2) polytrooppinen tapaus.



(a)

teella

$$\frac{p}{\rho} + gh = C = \frac{p_0}{\rho_0} + g \cdot 0, \quad (a)$$

jossa vakion C arvo on laskettu maanpinnalla tunnetuiksi otakrituista arvoista $p = p_0$, $g = g_0$ (kuva (a)). Koska tässä $g = g_0$, saadaan painejakautuma

$$p = p_0 - g_0 g h \quad (b)$$

eli paine pienenee lineaarisesti korkeuden funktiona. Tämän mukaan ilmakehän korkeus h' olisi (korkeus, jossa paine häviää)

$$h' = \frac{p_0}{g_0 g} \quad (c)$$

(2) Yhtälö (2.1.43) on kaavojen (2.1.33) ja (2.1.47) perusteella

$$\frac{n}{n-1} \frac{p_0}{g_0} \left[\left(\frac{p}{p_0} \right)^{\frac{n-1}{n}} - 1 \right] + g h = C = \frac{n}{n-1} \frac{p_0}{g_0} [1 - 1] = 0, \quad (d)$$

josta saadaan painejakautuma

$$p = p_0 \left(1 - \frac{n-1}{n} \frac{g_0}{p_0} g h \right)^{\frac{n}{n-1}} = p_0 \left(1 - \frac{n-1}{n} \frac{h}{h'} \right)^{\frac{n}{n-1}} \quad (e)$$

Lämpötilajakautuma saadaan eliminoidulla yhtälöistä (suorita laskelmat)

$$p = g R T, \quad p_0 = g_0 R T_0, \quad p g^{-n} = p_0 g_0^{-n} \quad (f)$$

g ja g_0 , jolloin saadaan ensin yleinen tulos

$$T = T_0 \left(\frac{p}{p_0} \right)^{\frac{n-1}{n}} \quad (g)$$

sekä vielä tässä kaavan (d) perusteella

$$T = T_0 \left(1 - \frac{n-1}{n} \frac{h}{h'} \right) \quad (h)$$

Lämpötila muuttuu siis myös lineaarisesti korkeuden funktiona.

Lähteen (15) mukaan ilmakehän alimmissa kerroksissa - ns. troposfäärissä (korkeus alle ≈ 11 km) - havaintojen kanssa parhaiten sopuvissa ole-

vat tulokset saadaan arvolla $n=1,2$. Otetaan lisäksi $g = 9,807 \text{ m/s}^2$, $T_0 \hat{=} \theta_0 = 15^\circ\text{C}$ ja $p_0 = 1 \text{ atm} \approx 0,1013 \text{ MPa}$. Nämä arvot vastaavat likimain ms. standardi-ilmakehän (16) arvoja merenpinnan korkeudella. Ottamalla ilman kaasuvakioksi $R = 287 \text{ J/(kg}\cdot\text{K)}$ tilanyhtälö antaa tiheyden

$$\rho_0 = \frac{p_0}{RT_0} = \frac{0,1013 \cdot 10^6}{287(273,15 + 15)} \frac{\text{kg}}{\text{m}^3} = 1,225 \frac{\text{kg}}{\text{m}^3}.$$

Vakiotiheysoataksuma antaa ilmakehän korkeudeksi

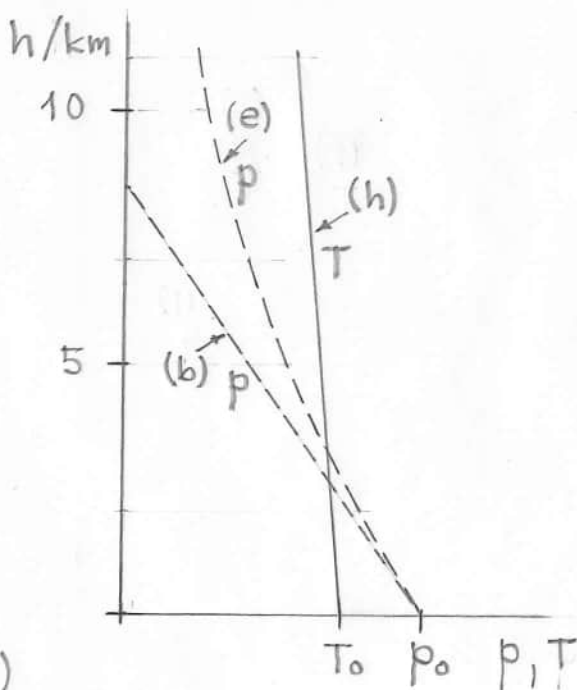
$$h' = \frac{p_0}{\rho_0 g} = \frac{0,1013 \cdot 10^6}{1,225 \cdot 9,807} \text{ m} = 8430 \text{ m}.$$

Polytrooppiotaksuman mukainen ilmakehän korkeus h'' saadaan kaavasta (e) vaatimalla sulku-lausekkeen häviämistä; josta seuraa

$$h'' = \frac{n}{n-1} h' = \frac{1,2}{1,2-1} h' = 6h' = 50600 \text{ m}.$$

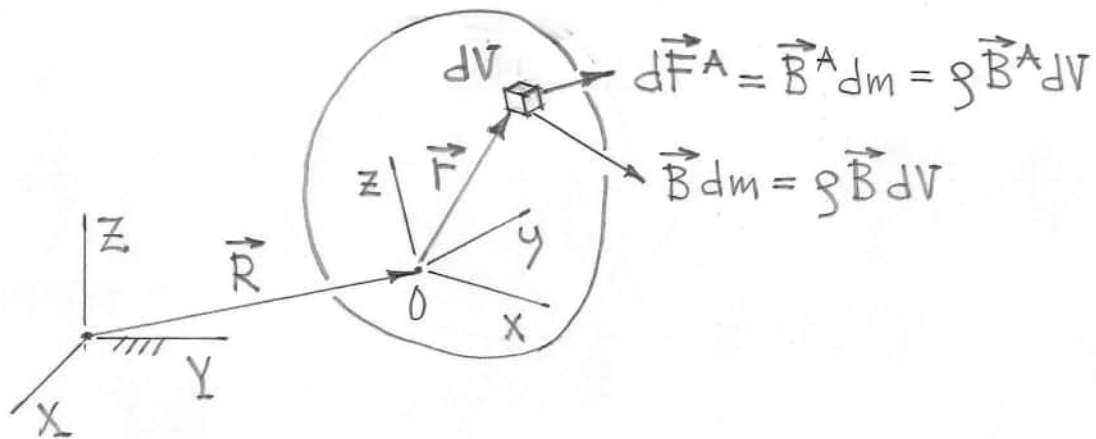
Todellisudessa troposfääriä seuraa 11 km yläpuolella toisentyypinen vyöhyke, ms. stratosfääri; jossa lämpötila on likimain vakio.

Kuvassa (b) on esitetty graafisesti kaavojen (b) (e) ja (h) mukaiset paineen ja lämpötilan jakautumat. Korkeudella $h = 11 \text{ km}$ lämpötilan arvo $\theta = -47,5^\circ\text{C}$. Standardi-ilmakehällä vastaavaksi arvoksi otetaan $-56,5^\circ\text{C}$.



(b)

Jos neste liikkuu kuten jäykkä kappale, muodonmuutosnopeudet häviävät edelleen, ja jännitysvektorinoudattaa samoin edelleen kaavaa (2.1.1). Tarkastelu voidaan palauttaa edellä käsitellyyn jatkuvaan lepotilan tapaukseen kuvan 2.1.8 esittämällä tavalla antamalla xyz -koordinaatiston liikkua nesteen mukana, jolloin ko. koordi-



Kuva 2.1.8 Suhteellinen liike.

naatiston suhteen kyseessä on jatkuva lepotila. Koska xyz -koordinaatisto ei ole enää yleensä inertiaalikoordinaatisto, tasapainoyhtälöitä on muistettava täydentää maanväärvoimien antamalla osuudella. Kaavan D (5.1.144) perusteella kukunkin massa-alkioon $dm = g dV$ vaikuttaa periaatteessa maanväärvoima

$$d\vec{F}^A = -g [\vec{a}_0 + \vec{\omega} \times \vec{r} + \vec{\omega} \times (\vec{\omega} \times \vec{r}) + 2\vec{\omega} \times \vec{v}] dV \quad (2.1.49)$$

eli todellisen kenttävoiman intensiteetin \vec{B} lisäksi on operoitava kuvitellulla kenttävoiman intensiteetillä

$$\vec{B}^A = - [\vec{a}_0 + \vec{\omega} \times \vec{r} + \vec{\omega} \times (\vec{\omega} \times \vec{r}) + 2\vec{\omega} \times \vec{v}]. \quad (2.1.50)$$

Tässä on poikettu mukavuussyistä hieman

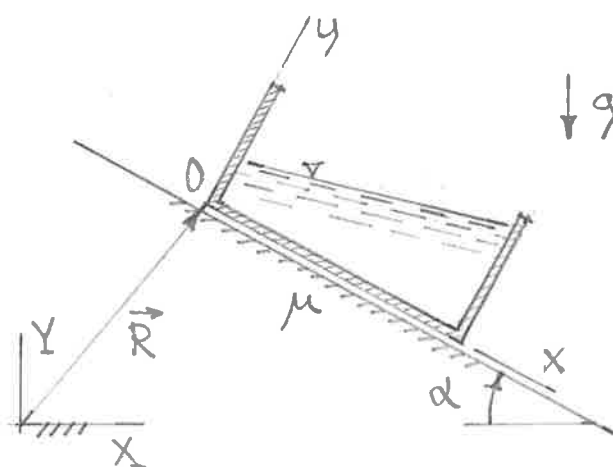
2.20
kohdan D 5.1.5 merkinnöistä : $\vec{F}_0 \hat{=} \vec{R}$, $\vec{g} \hat{=} \vec{F}$ ja $\vec{v}_r \hat{=} \vec{v}$.

Kaavat (2.1.49) ja (2.1.50) on kirjoitettu tässä yhteydessä liian yleisessä muodossa, sillä ensimmäinen jatkuvan lepotilan johdosta $\vec{v} \equiv \vec{0}$ ja toiseksi suureen \vec{B}^A tulee olla konservatiivinen xyz-koordinaatistossa kaavan (2.1.28) esittämässä mielessä. Tämä rajoittaa lausekkeen (2.1.50) käytännössä muotoon

$$\vec{B}^A = -[\vec{a}_0 + \vec{\omega} \times (\vec{\omega} \times \vec{r})], \quad (2.1.51)$$

jossa \vec{a}_0 ja $\vec{\omega}$ ovat ajan suhteen vakiovektoreita. Kaavan oikean puolen ensimmäinen termi on analoginen vakio painovoimakentän kanssa ja toinen termi vastaa keskipakovoimakenttää. Vastaavat ominaispotentiaalienergian Ω^A lausekkeet on helppo johtaa kussakin tapauksessa esimerkiksi soveltamalla kaavoja D (5.2.21) ja D (5.2.24).

Esimerkki 2.1.2. Kalteva taso. Kuva (a) esittää



(a)

kaltevaa tasoa pitkin liukuvaa vakiotiheydellä sisältävää ylhäältä avonaista säiliötä. Otaksutaan, että neste on säiliön suhteen jatkuvassa lepotilassa. Määritetään nesteen vapaan pinnan ottama muoto.

Tarkastellaan nestettä säiliöön kiinnitettyssä xy-koordinaatistossa, joka on siis puhtaassa

translaatioliikkeessä inertiaalikoordinaatiston XY suhteen. Tehtyjen otakuvien perusteella säiliön plus nesteeseen muodostama systeemi liikkuu kuten jäykkä kappale translaatioliikkeessä x -akselin suunnassa ja massakeskiön liikelain perusteella liikkeen kiihtyvyys \vec{a}_0 saadaan suoraan esimerkiksi D 5.1.1 kaavan (c) avulla.

Täten

$$\vec{a}_0 = g(\sin\alpha - \mu\cos\alpha)\vec{i} \quad (a)$$

joka on vakio ja mäenmäisöminaiskappalevoima

$$\vec{B}^A = -g(\sin\alpha - \mu\cos\alpha)\vec{i} \quad (b)$$

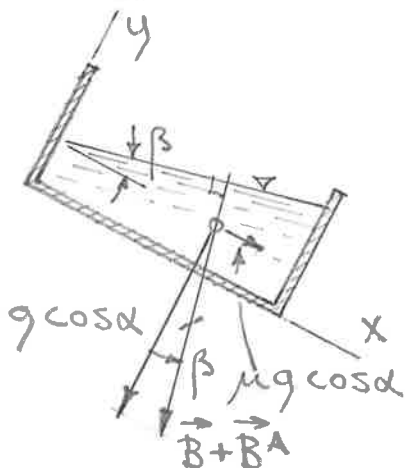
on siis konservatiivinen. Kuvan (a) perusteella taas painovoimakenttä antaa osuuden

$$\vec{B} = g\sin\alpha\vec{i} - g\cos\alpha\vec{j} \quad (c)$$

ja nettovoiva kenttävoiman intensiteetti on siis

$$\vec{B} + \vec{B}^A = \mu g\cos\alpha\vec{i} - g\cos\alpha\vec{j}. \quad (d)$$

Tämän suunta on vakio, joten kuvan 2.1.6 yhteydessä tehdyn tulkinnan perusteella paineen tasa-



(b)

arvoopinnot ovat vektoria $\vec{B} + \vec{B}^A$ vastaan kohtisuorassa olevia tasoja; samoin siis myös vapaa pinta, koska sillä vallitsee vakio ilman paine. Kuvasta (b) saadaan tulos

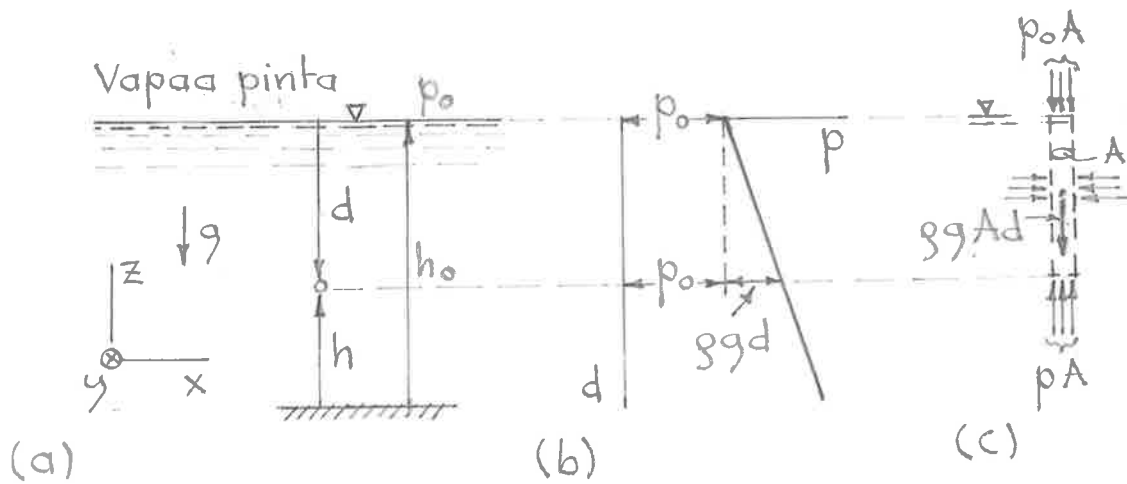
$$\tan\beta = \frac{\mu g\cos\alpha}{g\cos\alpha} = \mu. \quad (e)$$

Kun kitkaa ei oteta huomioon $\beta = 0$ ja vapaa pinta on kaltevan tason suuntainen. Kun taas säiliö liikkuu vakionopeudella, $\mu = \tan\alpha$ ja $\beta = \alpha$ eli vapaa pinta on vaakasuorassa.

2.2 Vakiopainovoimakentässä oleva vakioitiheys- neste

Yleistä. Rakennustekniikassa esiintyvät nestestatiikan tehtävät koskevat tavallisimmin rakenteisiin kohdistuvien veden paineesta johtuvien kuormitusten määrittämistä; esimerkiksi vesisäiliöt, padot jne. Otsikon 2.2 esittämät otakuvat ovat tällöin hyvin tarkasti voimassa.

Tässä kohdassa käytetään kuvassa 2.2.1 (a) eri-



Kuva 2.2.1. (a) Merkintöjä. (b) Paineen jakautuminen pystysuunnassa. (c) Nestepylvään tasapaino.

tettyjä merkintöjä. Summe h on nestepartikkelin korkeusasema jostain valitusta kiinteästä vaakatasosta ylöspäin positiivisena mitattuna ja d nestepartikkelin syvyysasema nesteen ns. vapaas-
ta pinnasta (engl. free surface) positiivisena alaspäin mitattuna. Vapaa pinta tarkoittaa yleisesti kahden erilajisen nesteen kuten kahden sekoittumattoman vesisäiliön nesteen tai vesisäiliön nesteen ja kaasun rajapintaa erotuksena nesteen rajapinnasta kiinteästä aineesta olevan seinämän kanssa. Tavallisin esimerkki on veden ja ilman välinen vapaa pinta. Vakiopainovoimakentässä Ω :n tasa-avoipinnat ovat vaakasuoria tasojia, joten vapaa pintakin on koh-

dan 2.1 perusteella tällöin vaakasuora taso. Yhtälö $\Psi + \Omega = C$ saa tässä muodon (vt. kaavat (2.1.33) ja (2.1.46))

$$\boxed{\frac{p}{\rho} + gh = C.}$$

(2.2.1)

Jos paine tunnetaan jossain tietyssä pisteessä, vakion C arvo saadaan lasketuksi ja tämän jälkeen paine missä hyvänsä pisteessä. Merkitsemällä painetta ja korkeutta vapaalla pinnalla tunnuksilla p_0 ja h_0 saadaan vakion C arvoksi

$$C = \frac{p_0}{\rho} + gh_0 \quad (2.2.2)$$

ja yhtälö (2.2.1) tulee muotoon

$$\frac{p}{\rho} + gh = \frac{p_0}{\rho} + gh_0 \quad (2.2.3)$$

eli

$$p = p_0 + \rho g (h_0 - h) \quad (2.2.4)$$

eli vielä (ks. kuva 2.2.1(a))

$$\boxed{p = p_0 + \rho g d.}$$

(2.2.5)

Tämän kaavan ilmaisemaa painejakantumaa nimitetään usein ns. hydrostaattiseksi painejakantumaksi (engl. hydrostatic pressure distribution). Kaavaa on havainnollistettu kuvassa 2.2.1(b). Paine siis kasvaa lineaarisesti syvyyden d mukana ja kasvunopeus on verrannollinen nesteen tiheyteen ρ . Vaakasuunnassa paine on vakio.

Nämä yksinkertaiset tulokset johdettiin tässä kohdan 2.1 yleisten kaavojen erikoistapauksena. Nopeammin samaan tulokseen päästään kuvan

2.2.1(c) esittämän pystysuoran nestepylvään vaakakappalekuviolla kirjoittamalla pystysuuntaisten voimien tasapainoyhtälö

$$pA = p_0A + \rho g A d, \quad (2.2.6)$$

(A on pylvään poikkileikkauksenala ja d siis pylvään tilavuus) josta saadaan A :lla jakamisen jälkeen kaava (2.2.5). Tutkimalla vastaavasti vaakasuoran nestepylvään tasapainoa todetaan helposti, että paineen täytyy olla vaakasuunnassa vakio.

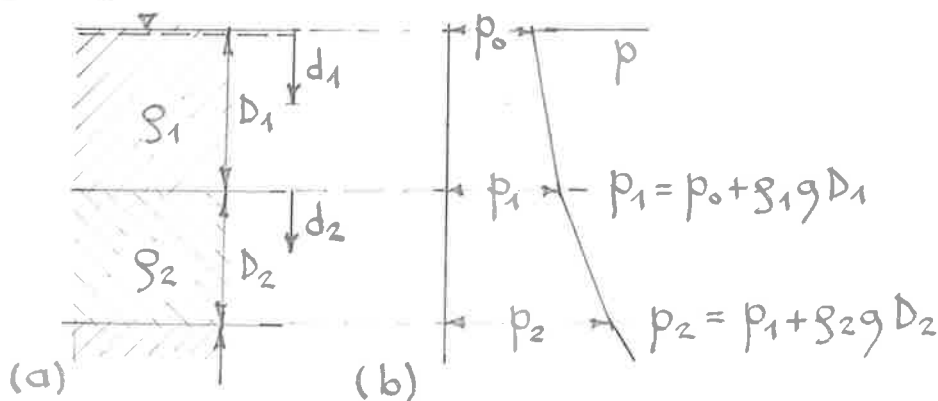
Tavallisesti vapaassa pinnassa vallitsee ilmakehässä ko. pisteessä oleva paine (poikkeus: yli- tai alipaineessa olevassa säiliössä esiintyvä vapaa pinta), joka otetaan referenssipaineeksi ja käsitellään vain mittapainetta eli suhteellista painetta

$$p_g = p - p_0, \quad (2.2.7)$$

jolloin kaava (2.2.5) saa muodon

$$\boxed{p_g = \rho g d.} \quad (2.2.8)$$

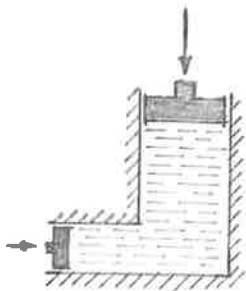
Tapauksessa, jossa esiintyy päällekkäin eri vakio-
tiheyden omaavia nestekerroksia (kuva 2.2.2(a)),



Kuva 2.2.2 (a) Nestekerros. (b) Paineen jakautuminen pystysuunnassa.

kuhunkin kerokseen erikseen voidaan soveltaa kaavaa (2.2.5) ja saadaan siis kuvassa 2.2.2 (b) esitetty paloittain lineaarisesti muuttuva painejakautuma.

Jos alueessa vallitseva paine on suuri painovoimasta johtuvan termin $\rho g d$ maksimiarvoon verrattuna, kaava (2.2.5) saa likimain muodon $p = p_0$ (Termi p_0 ei tarvitse tarkoittaa painetta vapaalla pinnalla vaan yleensä painetta tietyllä vaakatasolla).
Tulosta

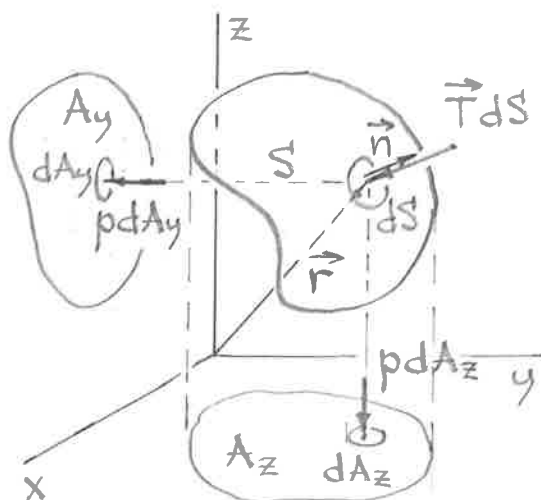


Kuva 2.2.3

$$p = \text{vakio} \quad (2.2.9)$$

nimitetään Pascalin laki. Sama tulos saadaan mielivaltaiselle nesteelle kaavasta (2.1.12) aset-
tamalla $\vec{B} = \vec{0}$. Pascalin lakia voidaan sovel-
taa esimerkiksi hydraulisten nostolaitteiden
yhteydessä (vt. kuva 2.2.3).

Pintaan vaikuttava hydrostaattinen voima. Kuva
2.2.4 esittää tiettyä pintaa — esimerkiksi neste-



Kuva 2.2.4

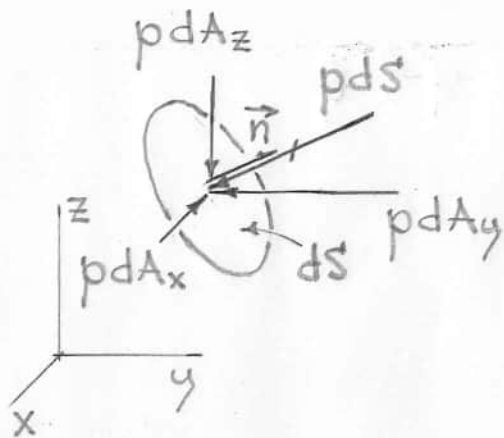
säiliön seinämän tiettyä osaa — johon vaikuttavien paineesta joh-
tuvien voimien resul-
tantti ja momentti
jonkin pisteen suhteen
halutaan määrittää.
Valitaan pinnan yksikkö-
normaali vektori \vec{n}
osoittamaan pinnan
sille puolelle, jossa

olevasta nesteestä syntyvät painevoimat lasketaan. Resultantti \vec{F} ja momentti \vec{M} saadaan lausekkeista

$$\begin{aligned} \vec{F} &= \int \vec{T} dS = - \int p \vec{n} dS, \\ \vec{M} &= \int \vec{r} \times \vec{T} dS = - \int \vec{r} \times p \vec{n} dS, \end{aligned} \quad (2.2.10)$$

jossa redusoinnispisteeksi on otettu origo. Kaavoihin on vielä sijoitettava kaavan (2.2.5) mukainen paineen lauseke. Ko. pintaintegraalit voidaan aina laskea periaatteessa helposti käyttäen tavittamalla numeerista integrointia, jos kyseessä on tasopinta, käsitteily yksinkertaistuu huomattavasti, koska \vec{n} on silloin vakio ja se saadaan suoraan integraalisen ulkopuolelta. Tällöin kaavat (2.2.10) voidaan kehittää sovellutuksia varten yksityiskohtaisempaan muotoon (ks. esimerkiksi lähde (17)), johon ei kuitenkaan puututa tässä perusteellisesti; ks. kuitenkin esimerkki 2.2.4. Voimajärjestelmä (2.2.10) on eritettävissä (kuten kaikki voimajärjestelmät) voimajärjestelmäksi ja voimajärjestelmä voidaan siis erittää pelkän keskeisakselilla vaikuttavan resultantin avulla. Näin on mm., kun pinta S on pallopinta tai taso. Edellisessä tapauksessa paineesta syntyvät voimat ovat keskeisvoimia ja keskeisakseli kulkee täten pallopinnan keskipisteen kautta. Jälkimmäisessä tapauksessa voimat ovat yhdensuuntaisia, joten keskeisakseli on niiden kanssa yhdensuuntainen ja kohtisuorassa ko. tasoa vastaan. Keskeisakselin ja tason leikkauspistettä nimitetään paine-keskiöksi (engl. center of pressure).

Tarkastellaan vielä jatkoa silmälläpitäen tar-



Kuva 2.2.5

kemmin pinta-alkioon dS vaikuttavaa differentiaalista voimaa

$$d\vec{F} = -p\vec{n}dS, \quad (2.2.11)$$

jonka summaus on siis $p dS$ (kuva 2.2.5). Tämän voiman x-, y- ja z-akselin suuntaiset komponentit ovat

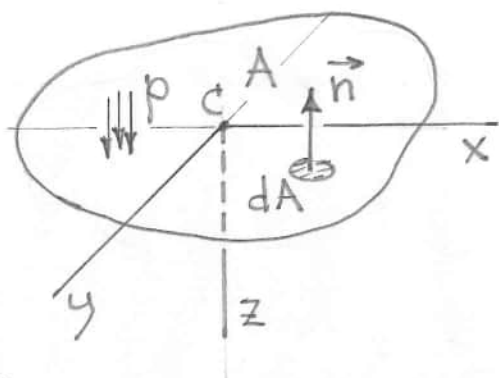
$$\left. \begin{aligned} dF_x &= d\vec{F} \cdot \vec{i} = -p\vec{n} \cdot \vec{i} dS = -p \cos(n, x) dS = -pdA_x \\ dF_y &= d\vec{F} \cdot \vec{j} = -p\vec{n} \cdot \vec{j} dS = -p \cos(n, y) dS = -pdA_y \\ dF_z &= d\vec{F} \cdot \vec{k} = -p\vec{n} \cdot \vec{k} dS = -p \cos(n, z) dS = -pdA_z \end{aligned} \right\} (2.2.12)$$

missä dA_x on ilmeisestikin pinta-alkion dS yz -tasolla olevan projektion pinta-ala merkillä varustettuna (merkki määräytyy pistetulon $\vec{n} \cdot \vec{i}$ merkistä) jne. Nämä komponentit näkyvät kuvassa 2.2.5. (Huomautettakoon, että yleisen pinnan yhteydessä tullaan yleensä käyttämään tunnusta S ja tasopinnan yhteydessä tunnusta A .) Näiden kaavojen ja kuvan 2.2.4 perusteella resultantin (2.2.10) komponentit voidaan laskea tasointegraaleina

$$F_x = -\int p dA_x, \quad F_y = -\int p dA_y, \quad F_z = -\int p dA_z, \quad (2.2.13)$$

ajattelemalla aina pinnalla S sijaitseva paineen aivo siirrettyksi x-akselin suunnassa yz -tasoon jne. vaikuttavaksi.

Esimerkki 2.2.1. Tasopinta. Tarkastellaan kuvan (a) esittämää xy -tasolla olevaa tasopintaa, johon vaikuttaa negatiivisen z -akselin puolelta



x :n ja y :n suhteen li-
nearisesti jakautunut
paine

$$p = p_c + \alpha x + \beta y, \quad (a)$$

jossa p_c sekä α ja β
ovat annettuja vaki-
oita; p_c on paineen arvo

(a)

origossa C. Origo on valittu yhtymään pin-
nan pintakeskiöön, jolloin tunnetaan:

$$\int x dA = 0, \quad \int y dA = 0. \quad (b)$$

(Pintakeskiön sijasta puhutaan usein pinnan
painopisteestä.) lasketaan painejakautumasta
(a) syntyvän voiman resultantti \vec{F} .

Enimmäisen kaavan (2.2.10) perusteella saa-
daan ($dS \rightarrow dA, \vec{n} = -\vec{k}$)

$$\begin{aligned} \vec{F} &= \int p \vec{k} dA = \int (p_c + \alpha x + \beta y) dA \vec{k} \\ &= (p_c \int dA + \alpha \int x dA + \beta \int y dA) \vec{k} = p_c A \vec{k}. \end{aligned} \quad (c)$$

Täten voimaresultantin suuruus on yhtä kuin
paine pintakeskiön kohdalla kertaa pinnan
pinta-ala.

lasketaan vielä jälkimmäisen kaavan (2.2.10)
avulla voimajärjestelmän momentti origon suhteen:

$$\vec{M} = \int (x\vec{i} + y\vec{j}) \times p \vec{k} dA = -\int x p dA \vec{j} + \int y p dA \vec{i} \quad (d)$$

eli

$$\begin{aligned} M_x &= \int y p dA = \int (p_c y + \alpha xy + \beta y^2) dA \\ &= p_c \int y dA + \alpha \int xy dA + \beta \int y^2 dA \\ &= \alpha I_{xy} + \beta I_{xx}, \end{aligned} \quad (e)$$

$$\begin{aligned}
 M_y &= - \int x p dA = - \int (p_c x + \alpha x^2 + \beta xy) dA \\
 &= - p_c \int x dA - \alpha \int x^2 dA - \beta \int xy dA \\
 &= - \alpha I_{yy} - \beta I_{xy}
 \end{aligned} \tag{f}$$

$$M_z = 0, \tag{g}$$

jossa käytettyjen tunnusien merkitys on ilmeinen. Painekerkion koordinaatit x_p ja y_p saadaan siis kaavoista

$$x_p = - \frac{M_y}{p_c A}, \quad y_p = \frac{M_x}{p_c A}. \tag{h}$$

Kaavan (c) sisältöä voidaan laajentaa seuraavasti. Sijaitkoon kuvan (a) esittämä taso-pinta missä asennossa hyvänsä nesteessä, jossa vallitsee hydrostaattinen painejakautuma (2.2.5). Ei ole vaikeaa osoittaa, että pinnalle syntyvä painejakautuma on edelleen kaavan (a) mukainen. Täten paineresultantin suuruus on samoin edelleen $p_c A$.

Todistetaan vielä edellä esitetty väite painejakautumasta ko. tasopinnalla kuvan (b) merkintöjä apuna käyttäen. Yksikkövektori \vec{e} osoittaa ylöspäin, joten

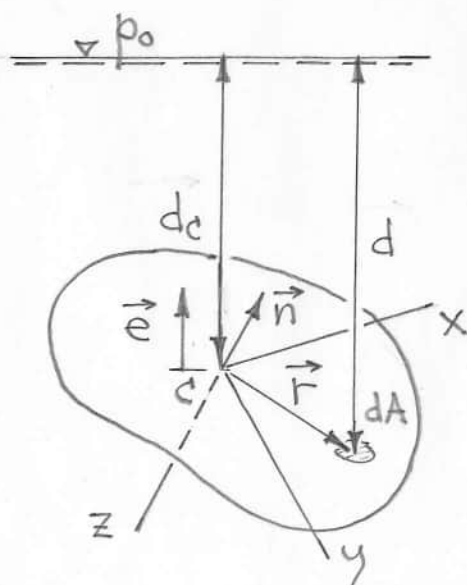
$$d = d_c - \vec{e} \cdot \vec{r}, \tag{i}$$

jossa $-\vec{e} \cdot \vec{r}$ on \vec{r} -vektorin alaspäin mitattu skalaarikomponentti.

Täten vielä

$$d = d_c - e_x x - e_y y, \tag{j}$$

ja kaavan (2.2.5)



(b)

perusteella

$$p = p_0 + \rho g (d_c - e_x x - e_y y)$$

$$= p_0 + \rho g d_c - \rho g e_x x - \rho g e_y y,$$

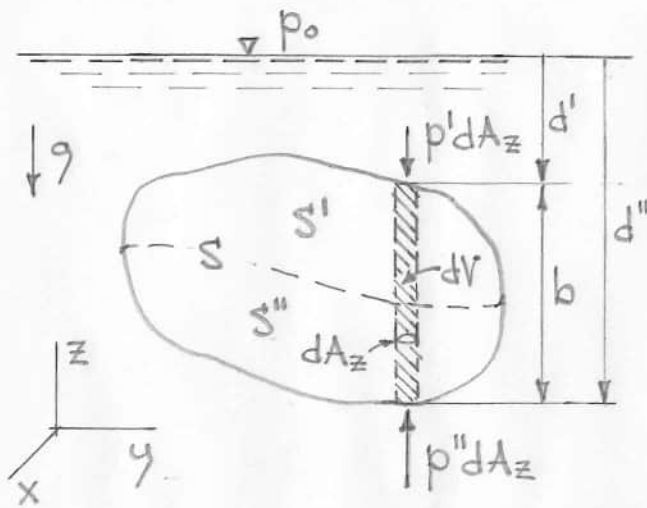
(k)

ja siis

$$\left. \begin{aligned} p_c &= p_0 + \rho g d_c, \\ \alpha &= -\rho g e_x, \\ \beta &= -\rho g e_y. \end{aligned} \right\}$$

(l)

* Noste. Tarkastellaan vakiotiheysnesteessä lepotilassa olevan kiinteän kappaleen umpimaiseen pintaan S vaikuttavasta paineesta syntyvää voima-



systeemiä (kuva 2.2.6). Kyränyk-
sensä on siis kaa-
vojen (2.2.10) so-
veltaminen. Jaetaan
kappaleen pinta S
ylhäältä katsoen
yläpintaan S' ja

Kuva 2.2.6

alapintaan S'' . Ylä- ja alapinnalla vaikuttavat vas-
taavasti paineet

$$\left. \begin{aligned} p' &= p_0 + \rho g d', \\ p'' &= p_0 + \rho g d''. \end{aligned} \right\}$$

(2.2.14)

Differentiaalisen poikkileikkauksen dA_z omaavan pysty-
suoran pylvään ylä- ja alapintoihin pystysuun-
massa vaikuttavat voimat ovat (ks. kaavat
(2.2.12); tässä dA_z valitaan aina positiiviseksi)
- $p' dA_z$ ja $p'' dA_z$ ja niiden resultantti

$$\begin{aligned} dF_z &= (p'' - p') dA_z = (p_0 + \rho g d'' - p_0 - \rho g d') dA_z \\ &= \rho g (d'' - d') dA_z = \rho g b dA_z = \rho g dV, \end{aligned}$$

(2.2.15)

jossa b on ko. pylvään korkeus ja dV sen tilavuus. Integroimalla yli kaikkien differentiaalisten pylväiden saadaan pystysuunnassa vaikuttavaksi resultantiksi

$$F_z = \int \rho g dV = \rho \int \rho dV \quad (2.2.16)$$

eli

$$\boxed{F_B \equiv F_z = m_f g.} \quad (2.2.17)$$

Voimaa F_B nimitetään kappaleeseen vaikuttavaksi nosteeksi (engl. buoyancy). Summa m_f on kappaleen syrjäyttämän nestemäärän massa ja $m_f g$ siis sen paino. Tämä tulos on ns. Arkhimedeen laki.

Jaetaan kappale sitten esimerkiksi x -akselin suuntaisiin differentiaalisiin pylväisiin. Kunkin pylvään päissä vallitsee sama paine, koska päiden korkeusasema on sama. Täten päissä vaikuttavat differentiaaliset x -akselin suuntaiset voimat $-pdA_x$ ja pdA_x kumoavat aina toisensa ja kappaleeseen ei siis vaikuta paineesta syntyvä x -akselin suuntaista voimaresultanttia. Sama päättely pätee myös y -akselin suunnassa, joten paineesta syntyvä kokonaisresultantti on siis nimenomaan kaavan (2.2.17) ilmaiseva pystysuora voima.

Lasketaan sitten kappaleeseen vaikuttavan voimasysteemin momenttikomponentit x -, y - ja z -akselin suhteen. Saadaan (ks. kuva 2.2.6)

$$\left. \begin{aligned} M_x &= \sum y dF_z = \int y \rho g dV = \rho \int y g dV = y_B F_B \\ M_y &= -\sum x dF_z = -\int x \rho g dV = -\rho \int x g dV = -x_B F_B \\ M_z &= 0, \end{aligned} \right\} \quad (2.2.18)$$

jossa x_B ja y_B on määritetty kaavoilla

$$m_f x_B = \int \rho x dV, \quad m_f y_B = \int \rho y dV. \quad (2.2.19)$$

Nämä kaavat ovat kappaleen syrjäyttämän nestemäärän massakerkiön B (painopisteen) x - y -koordinaattien määritelmät (vt. kaavat D (6.1.6)... (6.1.8)), joten nesteen vaikutusvoima (keskeisakseli ilman momenttia) kulkee aina tämän massakerkiön kautta. Pistettä B mimitetään tässä yhteydessä myös nostekerkiöksi (engl. center of buoyancy). Todettakoon, että g on pidetty edellä integraalimerkin sisäpuolella, vaikka se oli otaksuttu vakioiksi. Näin on tehty, koska kaavat (2.2.16)... (2.2.18) pätevät tässä muodossa myös tapauksissa, joissa g ei ole vakio.

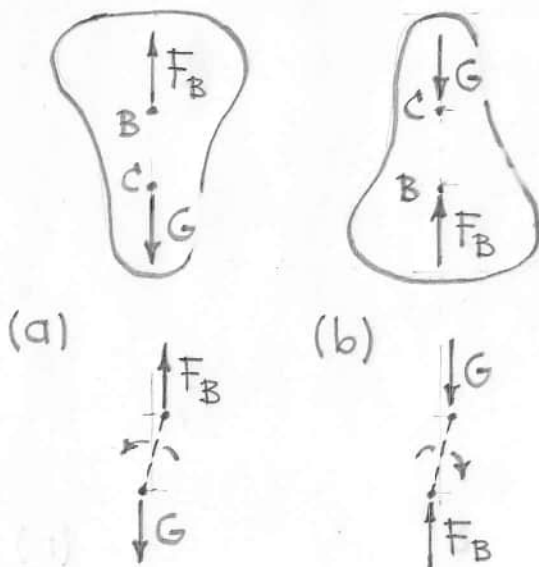
Jotta kappale olisi tasapainossa painovoiman G ja nostevoiman F_B alaisena, täytyy olla

$$F_B = G$$

(2.2.20)

ja lisäksi nostekerkiön B ja kappaleen massakerkiön C tulee olla samalla pystysuoralla. Jos pisteet B ja C ovat erillisiä, kaksi tasapainoasemaa ovat mahdollisia

(kuva 2.2.7). Jos C on B :n alapuolella, kyseessä on stabiili tasapaino kuten voidaan todeta ajatteleamalla tilaa hieman häiriityksi, jolloin vallitseva voimajärjestelmä pyrkii palauttamaan kappaleen alkuperäiseen asemaansa. Kun C on B :n yläpuolella, tasapainoasema on vastaavasti labiili.

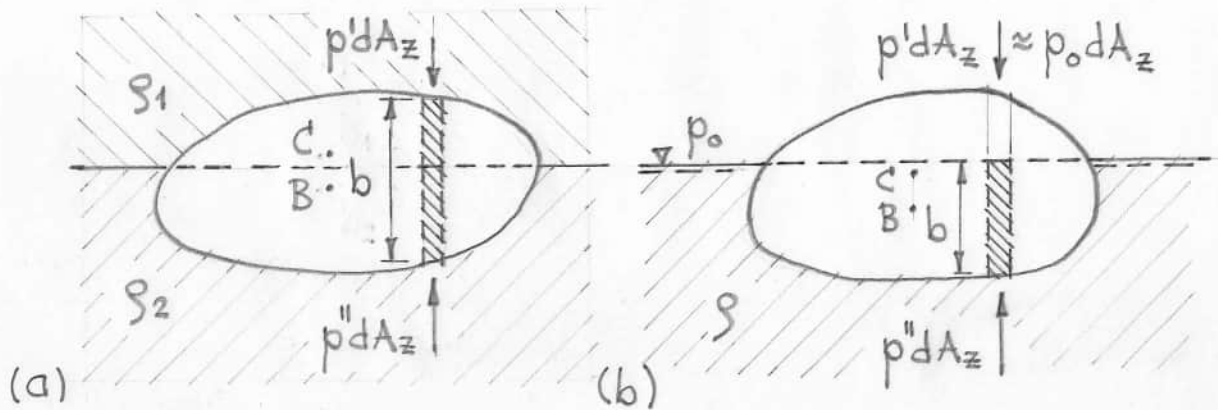


Kuva 2.2.7 (a) Stabiili ja (b) Labiili tasapaino.

Jos pisteet B ja C yhtyvät, kappale on tasa-

painossa missä hyvänsä asemassa; tasapaino on indifferentti. Pisteet B ja C yhtyvät mm., silloin, kun kappaleen tiheys on vakio.

Tarkastellaan seuraavaksi tapausa, jossa kappale sijaitsee kahden eri tiheyden omaavan sekoittumattoman nesteen rajapinnassa (kuva 2.2.8). On



Kuva 2.2.8

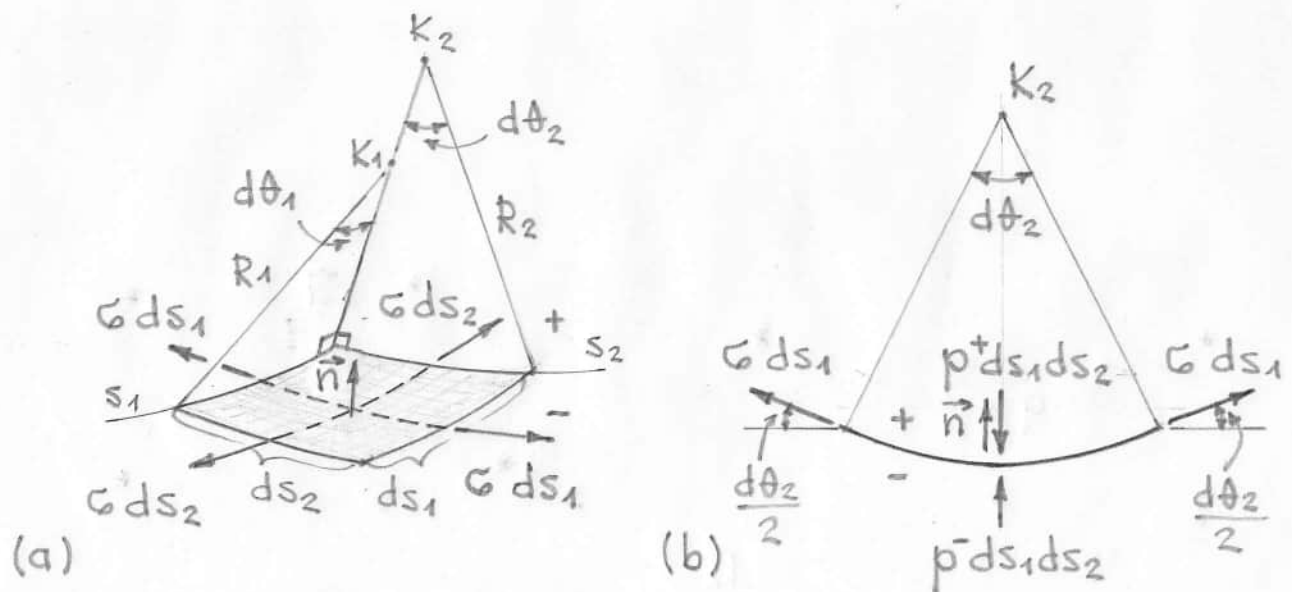
helppo todeta, että paine-ero $p'' - p'$ on yleisesti kuvarsa (a) eritetyyn b -korkeisen nestepatsaan paino jaettuna sen pinta-alalla dA_z ja että kaavan (2.2.15) differentiaalinen voima dF_z on nimenomaan yhtä suuri kuin nestepatsaan paino. Koko nostevoima on täten yleisesti yhtä suuri kuin kappaleen syrjäyttämän nestemäärän paino. Tällöin siis täytyy ajatella kappaleen alueelle se nesteen tiheysjakautuma, joka vallitsee nesteessä ilman ko. kappaletta. Nostevoima kulkee syrjäytetyn nestekappaleen massakeskiön kautta. Tasapainoehdot ovat samat kuin edellä piti tarkastella.

Nyt nimittäin kappaleen syrjäyttämän (kuvitellun) nestekappaleen massakeskiön B asema itse kappaleen suhteen riippuu kappaleen asemasta nesteiden rajapinnan suhteen eikä ole enää vakio kuten oli laita täysin upokissa

vakiotiheyksessä sijaitsevan kappaleen tapauksessa. Tasapainoaseman laatu tulee tutkia tarkemmin antamalla kappaleelle pieniä poikkeamia tasapainoaseman suhteen; ks. esimerkiksi lähde (17). Taas tavallisiin sovellutuksiin edellisestä on ilman ja veden rajapinnassa kelluva kappale (kuva (b)). Koska ilman tiheys on veden tiheyteen verrattuna hyvin pieni (yhdessä ilmakehän paineessa ja 20°C lämpötilassa $\rho_{\text{ilma}}/\rho_{\text{vesi}} \approx 0,0012$), voidaan kappaleen ilmassa olevaan osaan kohdistuva noste jättää normaalisti huomiotta — tämä on sama kuin otakma kappaleen ilman kanssa kosketuksessa olevalle pinnalle paineen avokeri vapaalla pinnalla vallitseva arvo (kuva (a)) — jolloin nostevoima määrittyy pelkästään syrjäytetyn veden johdosta.

* 2.3 Pintajännitys

Kuva 2.3.1 (a) esittää liioiteltuna kahden mes-



Kuva 2.3.1 (a) Pinta-alkio. (b) Pinta-alkioon vaikuttavia voimia.

teen rajapinnassa olevaa differentiaalista suora-
kulmaista pinta-alkiota, jonka sivujen pituu-
det ovat ds_1 ja ds_2 . Valitaan pinnan toinen
puoli positiiviseksi (ja pannaan yksikkö-
normaalivektori \vec{n} osoittamaan tälle puolelle)
ja toinen negatiiviseksi ja merkitään paineen
arvoja pinnan eri puolilla vastaavasti tun-
nuksilla p^+ ja p^- . Alkion sivujen kaarevuussäteet
olkoot R_1 ja R_2 merkittä varustettuina (plus tai
miinus) riippuen siitä, ovatko vastaavat kaa-
revuuskeskipisteet \vec{n} :n positiivisella vai nega-
tiivisella suunnalla. Alkion sivuihin vaikuttavat
voimat σds_1 ja σds_2 ja alkion pintoihin voimat
 $p^+ ds_1 ds_2$ ja $p^- ds_1 ds_2$. Muodostetaan näiden voimien
tasapainoyhtälö normaalin \vec{n} suunnalle käyttäen
kuva (b) apuna:

$$2\sigma ds_1 \sin \frac{d\theta_2}{2} + 2\sigma ds_2 \sin \frac{d\theta_1}{2} - p^+ ds_1 ds_2 + p^- ds_1 ds_2 = 0. \quad (2.3.1)$$

Kun sinit korvataan argumenteillaan ja otetaan
huomiioon yhteydet

$$d\theta_1 = \frac{ds_1}{R_1}, \quad d\theta_2 = \frac{ds_2}{R_2}, \quad (2.3.2)$$

saadaan jakamalla vielä suurella $ds_1 ds_2$ tulos

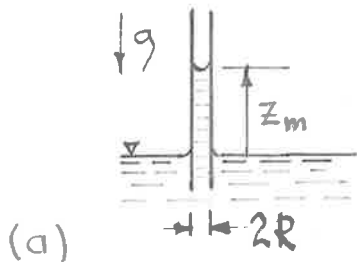
$$\Delta p \equiv p^+ - p^- = \sigma \left(\frac{1}{R_1} + \frac{1}{R_2} \right). \quad (2.3.3)$$

Täten paine ei ole jatkuva, vaan saa kaavan
osoittaman hyppäyksen Δp siirryttäessä pinnan
negatiiviselta puolelta sen positiiviselle puo-
lelle. Sama tulos koskee dynaamisessa tapauk-
sessa pinnassa vaikuttavia normaalijännityksiä.
Paine on suurempi pinnan koveralla puolella.
Geometrian keinoin voidaan osoittaa, että suure
 $1/R_1 + 1/R_2$ on tietyn pinnan pisteessä ns. inva-
riantti suure eli sen arvo ei muutu olivatpa

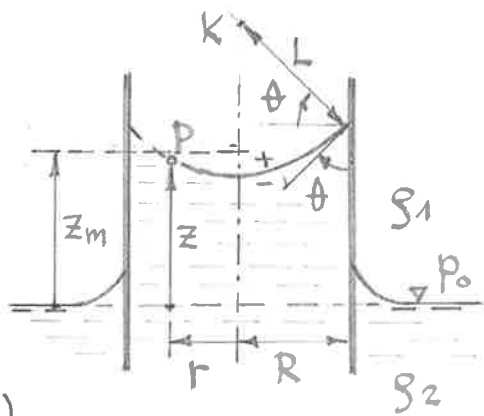
toisiaan vastaan kohtisuorassa olevat suunnat s_1 ja s_2 valitut miten hyvänsä. Tämä tieto on sopuosoinnussa kaavan (2.3.3) fyysikaalisen merkityksen kausa.

Esimerkki 2.3.1. Kapillaarinen nousukorkeus. johdetaan ohuessa poikkileikkaukseltaan ympyränmuotoisessa (säde R) putkessa kuvan

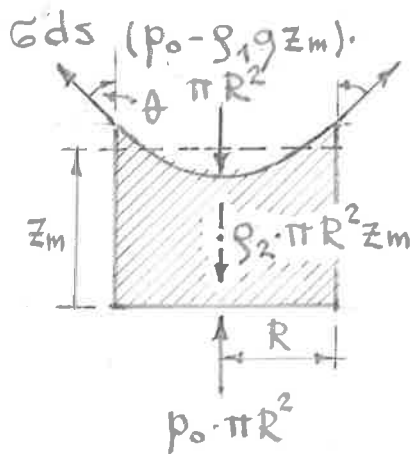
(a) esittämässä tapauksessa syntyvä nesteen nousukorkeuden z_m lauseke.



(a)



(b)



(c)

Käytetään kuvan (b) esittämiä merkintöjä. Olkoon s_1 ilman tiheys, s_2 tutkittavan väkimmäisen nesteen tiheys ja θ reunakulma, jonka ko. neste muodostaa ko. putken sisäisen kanssa. Kun $\theta < 90^\circ$, sanotaan, että neste kastelle pintaa ja tällöin syntyy kapillaarista nousua. Näin on esimerkiksi tapaus veden ja lasin yhteydessä. Kun $\theta > 90^\circ$, neste ei kastelle pintaa ja syntyy kapillaarinen laskentuminen. Tästä on esimerkkinä elohopea ja lasi.

Otaksumalla ilma ja ko. neste vakiotiheyksineen saadaan paineen arvoiksi pisteessä P rajapinnan ylä- ja alapuolella kaavaa (2.2.5) soveltamalla

$$p^+ = p_0 - s_1 g z, \quad p^- = p_0 - s_2 g z. \quad (a)$$

Sijoittamalla nämä kaavaan (2.3.3) saadaan

yhtälö

$$g(\rho_2 - \rho_1)z = G\left(\frac{1}{R_1} + \frac{1}{R_2}\right) \quad (b)$$

Tuntematon nousukorkeus z on pyörähdyksen-
metrian takia vain r :n funktio: $z = z(r)$. Lau-
sumalla vielä kaarevuudet $1/R_1$ ja $1/R_2$ z :n
avulla yhtälöstä (b) tulee monimutkainen dif-
ferentiaaliyhtälö, jota ei voida ratkaista
suljetussa muodossa (15).

Ratkaisun saamiseksi ohuiden putkien yhteydessä
otakutaan tavallisesti, että kyseessä on pallo-
pinta, jonka säde on kuvassa (b) esitetty mitta
 $L = R/\cos\theta$. Tällöin siis $R_1 = R_2 = L = R/\cos\theta$. Lisäksi
kaavaan (b) sijoitetaan z :n tilalle tietty keski-
määräinen arvo z_m , jolloin saadaan

$$z_m = \frac{2G \cos\theta}{g(\rho_2 - \rho_1)R} \quad (c)$$

Sama tulos seuraa suoraviivaisemmin kuvan (c)
esittämään nestekappaleeseen pystysuunnassa vaikut-
tavien voimien tasapainosta:

$$G \cdot 2\pi R \cos\theta - \rho_2 \cdot \pi R^2 z_m + p_0 \cdot \pi R^2 +$$

$$-(p_0 - \rho_1 g z_m) \cdot \pi R^2 = 0. \quad (d)$$

Huomataan, että sume z_m on nimenomaan kaare-
van nestepinnan keskikorkeus.

Esimerkiksi vedelle lasiputkessa otetaan tavalli-
sesti $\theta = 0$ ja $\rho_1 \approx 0$, jolloin veden nousukorke-
udeksi saadaan

$$z_m = \frac{2G}{g\rho_2 R} \quad (e)$$

Kun otetaan esimerkiksi $2R = 1\text{mm}$ ja taulukon 1.3.1
arvot lämpötilassa 20°C saadaan nousukorkeus 30mm .

3 KINEMATIikka

3.1 Yleistä

Kuten on jo edellä todettu, kiinteän aineen mekaniikassa käytetään yleensä ns. Lagrangen erityystapaa ja nestemekaniikassa ns. Eulerin erityystapaa. Nämä erityykset poikkeavat riippumattomien muuttujien valinnan suhteen oleellisesti toisistaan ja tähän liittyvien seikkojen omaksuminen on jatkos kannalta ratkaisevaa.

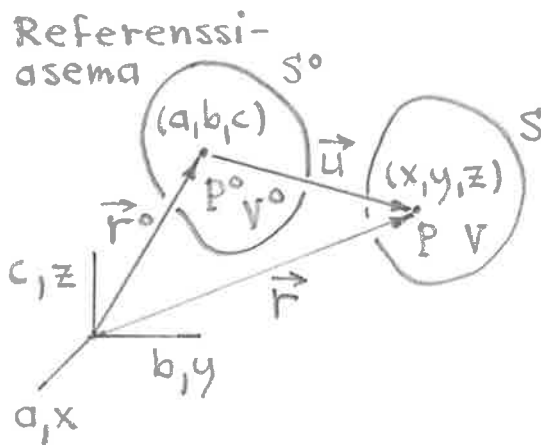
Lagrangen eritystä käsitellään ensin hiukan vertailukohdan saamiseksi ja tämän jälkeen siirrytään nestemekaniikassa tärkeämmän Eulerin erityksen perusteellisempaan tarkasteluun. Kohdassa 3.3.6 esitetään vielä tärkeimmät tulokset yhteenvetona taulukkomuodossa.

Kontinuumimekaniikan kinematiikka poikkeaa partikkelimekaniikan kinematiikasta siinä, että erillisten massapisteidien liikkeen sijasta tarkastellaankin äärettömän tiheässä sijaitsevien pisteiden liikkeitä. Tämä merkitsee riippumattomien muuttujien määrän kasvua arvosta yksi (aika) arvoon neljä (kolme paikkakoordinaattia plus aika).

Huomautettakoon vielä, että kun jatkossa puhutaan kontinuumin partikkelista, sillä tarkoitetaan todellisudessa tiettyä ns. fyysikaalista pistettä eli pienen pientä kontinuumialkiota, joka sisältää vielä suuren määrän toisenlaisia "partikkeleita", ts. molekyyliä; vrt. kohta D 4.2 ja D. S. 290.

3.2 Lagrangen esitystapa

Yleistä. Lagrangen esitystavassa eli ns. aineelli-
sessa esitystavassa (engl. Lagrangian description,
material description) riippumattomina muuttujina
ovat ns. ainekoordinaatit (engl. material coor-
dinate) eli Lagrangen koordinaatit a, b, c ja aika
 t . Summet a, b ja c ovat kappaleen partikkelin koor-
dinaatit kappaleelle valitussa alku- eli referenssi-
asemassa (engl. reference configuration) (kuva 3.2.1).



Kuva 3.2.1

Viittaus referenssitilan
summeisiin tapahtuu tar-
vittaessa yläviitteellä 0.
Useimmiten referenssiase-
maksi otetaan kappaleen
asema hetkellä $t=0$.

Yhteys

$$\boxed{\vec{r} = \vec{r}(a, b, c, t)} \quad (3.2.1)$$

tai

$$\left. \begin{aligned} x &= x(a, b, c, t), \\ y &= y(a, b, c, t), \\ z &= z(a, b, c, t) \end{aligned} \right\} \quad (3.2.2)$$

antaa kappaleen aseman millivaltaisella ajan
hetkellä. Esitys (3.2.1) vastaa partikkelimeka-
niikan esitystä $\vec{r}_i = \vec{r}_i(t)$. Koska kuitenkin kon-
tinuumissa on ääretön määrä partikkeleita,
mitä ei voida identifioida käytännössä vauus-
tamalla ne numeroilla. Sen sijaan partikkelin identi-
fioivat tietyt arvot a, b ja c ; D-muistessa käy-
tettiin tunnukia x^0, y^0 ja z^0 . Kaavat siis sanovat, että
partikkelilla, jolla oli referenssi-asemassa koordinaatit
 a, b ja c , on ajan hetkellä t koordinaatit x, y ja z .

Ainederivaatta, siirtymä, nopeus, kiihtyvyys
ja muodonmuutos. Tietyn partikkelin rata

saadaan yhteydestä (3.2.1) tai (3.2.2) pitämällä \vec{r}^0 eli a, b ja c kiinteinä ja antamalla vain ajan t muuttua. Täten nopeus (m/s)

$$\boxed{\vec{v} = \dot{\vec{r}} = \frac{d\vec{r}}{dt} = \frac{\partial \vec{r}(\vec{r}^0, t)}{\partial t}} \quad (3.2.3)$$

Partikkelimekaniikan tuttua merkkiä $d(\)/dt \equiv (\dot{\ })$ nimitetään ns. aineelliseksi aikaderivaataksi tai vielä lyhyemmin ainederivaataksi (engl. material time derivative, material derivative, total derivative, substantial derivative, derivative following the particle ym.) Kuten esitetyt määrittelykset antavat ymmärtää, tämä derivaatta mittaa aina tietyn ainealkion "kokemana" jonkin tähän alkioon liittyvän suureen muutosnopeuden. Lagrangen erityksessä pätee siis mielivaltaiselle funktiolle $f(\vec{r}^0, t)$ tulos

$$\boxed{\dot{f} \equiv \frac{df}{dt} = \frac{\partial f}{\partial t}} \quad (3.2.4)$$

eli ainederivaatta saadaan f :n osittaisderivaatana ajan suhteen. Kaava pätee samana myös vektoriaivoiselle funktiolle. Operaattorimuodossa saadaan tulos

$$\frac{d}{dt} = \frac{\partial}{\partial t} \quad (3.2.5)$$

Tavanomainen yhden muuttujan funktion derivaattatunnus d/dt sovellettuina usean muuttujan funktioon saattaa aiheuttaa sekaannusta. Tämän vuoksi kirjallisuudessa — ja nimenomaan nestemekaniikassa — käytetään usein myös tunnusta D/Dt tai D/dt . Tämä muistettaessa pitää edustaa kuitenkin jatkossa edelleen merkinnällä d/dt .

Todettakoon vielä, että kaavojen (3.2.2) tunnuks-
set a, b, c ja x, y, z voisivat tarkoittaa mitä
hyvänsä koordinaatteja, jotka määrittäisivät kap-
paleen partikkelien asemat, jatkossa niillä tar-
koitetaan kuitenkin karteesisia suorakulmaisia
koordinaatteja siten, että vastaavasti a - ja x -
akseli jne. yhtyvät, kuten on jo eritetty ku-
vassa 3.2.1. Kun vastaavat yksikkökanta-
vektorit ovat \vec{i}, \vec{j} ja \vec{k} , saadaan siis lausek-
keet

$$\vec{r}^0 = a\vec{i} + b\vec{j} + c\vec{k} \quad (3.2.6)$$

ja

$$\vec{r} = x(a, b, c, t)\vec{i} + y(a, b, c, t)\vec{j} + z(a, b, c, t)\vec{k}. \quad (3.2.7)$$

Koska kantavektorit ovat ajan suhteen muuttumat-
tomia, nopeudelle saadaan myös erityys

$$\left. \begin{aligned} \vec{v} = \dot{x}\vec{i} + \dot{y}\vec{j} + \dot{z}\vec{k} &= \frac{\partial x}{\partial t}\vec{i} + \frac{\partial y}{\partial t}\vec{j} + \frac{\partial z}{\partial t}\vec{k}, \\ &= v_a\vec{i} + v_b\vec{j} + v_c\vec{k}, \end{aligned} \right\} \quad (3.2.8)$$

jossa siis v_a, v_b ja v_c ovat nopeuden skalaari-
komponentit a -(x -)akselille jne.

Kiihtyvyyttä \vec{a} ($[\vec{a}] = \text{m/s}^2$) saadaan taas nopeuden aine-
derivaattana eli

$$\boxed{\vec{a} = \dot{\vec{v}} = \frac{d\vec{v}}{dt} = \frac{\partial \vec{v}(\vec{r}^0, t)}{\partial t} = \ddot{\vec{r}} = \frac{d^2\vec{r}}{dt^2} = \frac{\partial^2 \vec{r}(\vec{r}^0, t)}{\partial t^2}} \quad (3.2.9)$$

tai vielä

$$\left. \begin{aligned} \vec{a} = \ddot{x}\vec{i} + \ddot{y}\vec{j} + \ddot{z}\vec{k} &= \frac{\partial^2 x}{\partial t^2}\vec{i} + \frac{\partial^2 y}{\partial t^2}\vec{j} + \frac{\partial^2 z}{\partial t^2}\vec{k}, \\ &= a_a\vec{i} + a_b\vec{j} + a_c\vec{k}. \end{aligned} \right\} \quad (3.2.10)$$

Tavallisesti erityykset (3.2.1) tai (3.2.2) kirjoi-
tetaan muotoihin

$$\vec{r} = \vec{r}^0 + \vec{u}(\vec{r}^0, t) \quad (3.2.11)$$

tai

$$\left. \begin{aligned} x &= a + u_a(a, b, c, t), \\ y &= b + u_b(a, b, c, t), \\ z &= c + u_c(a, b, c, t), \end{aligned} \right\} \quad (3.2.12)$$

joissa vektori

$$\vec{u} = u_a \vec{i} + u_b \vec{j} + u_c \vec{k} \quad (3.2.13)$$

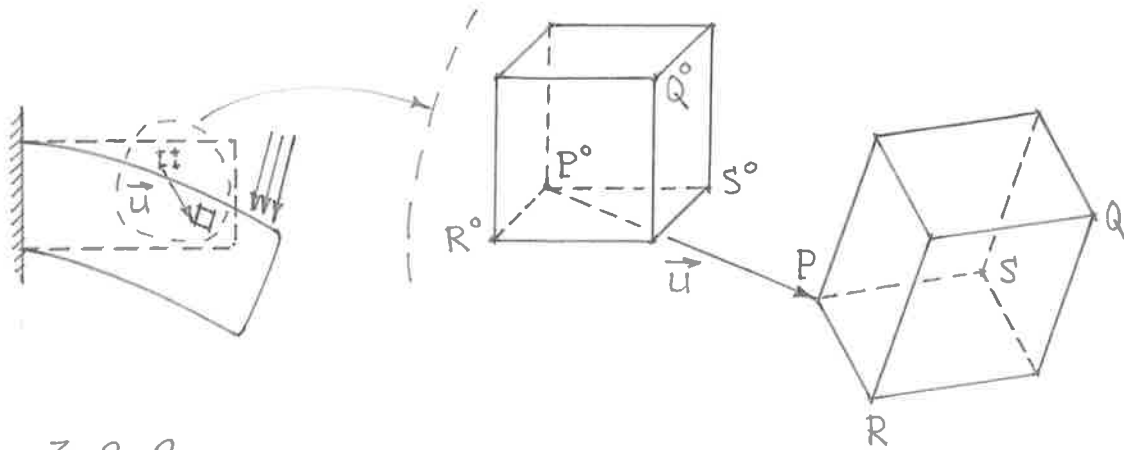
on ns. siirtymä ($[\vec{u}] = m$). Koska \vec{r}^0 :n aine derivaatta häviää — \vec{r}^0 ei riipu ajasta — nopeudelle ja kiihtyvyydelle saadaan siis myös erityykset

$$\left. \begin{aligned} \vec{v} = \dot{\vec{u}} &= \frac{\partial \vec{u}}{\partial t} = \frac{\partial u_a}{\partial t} \vec{i} + \frac{\partial u_b}{\partial t} \vec{j} + \frac{\partial u_c}{\partial t} \vec{k}, \\ &= v_a \vec{i} + v_b \vec{j} + v_c \vec{k}, \end{aligned} \right\} \quad (3.2.14)$$

$$\left. \begin{aligned} \vec{a} = \ddot{\vec{u}} &= \frac{\partial^2 \vec{u}}{\partial t^2} = \frac{\partial^2 u_a}{\partial t^2} \vec{i} + \frac{\partial^2 u_b}{\partial t^2} \vec{j} + \frac{\partial^2 u_c}{\partial t^2} \vec{k}, \\ &= a_a \vec{i} + a_b \vec{j} + a_c \vec{k}. \end{aligned} \right\} \quad (3.2.15)$$

* ∇ Lagrangen erityyksen kinematiikan käsitteily loppetetaan tähän. Se tulee perusteellisemmin esille rakenteiden mekaniikan ja lujuusopin opintojaksoissa. Tällöin myös käytetään eri tunnuksia kuin tässä. Usein mm. $a \hat{=} x$, $b \hat{=} y$, $c \hat{=} z$, $u_a \hat{=} u$, $u_b \hat{=} v$, $u_c \hat{=} w$. Todettakoon vielä, että Lagrangen erityyksenä kinematiikan käsitteily tulee yksinkertaisempi, mutta sen sijaan kinettisten yhteyksien käsitteily on monimutkaisempaa. Eulerin erityyksenä tilanne on päinvastainen. Tähän liittyen tarkastellaan kuvaa 3.2.2. Referenssitalassa oleva suorakulmainen ainealkio muuttuu kappaleen liikkeen johdosta suunnaisvärmiön muotoiseksi alkioiksi. Kappaleen liiketäi tasapainoyhtälöitä muodostettaessa täy-

tyy kappaleen uusi vielä tuntematon geometria



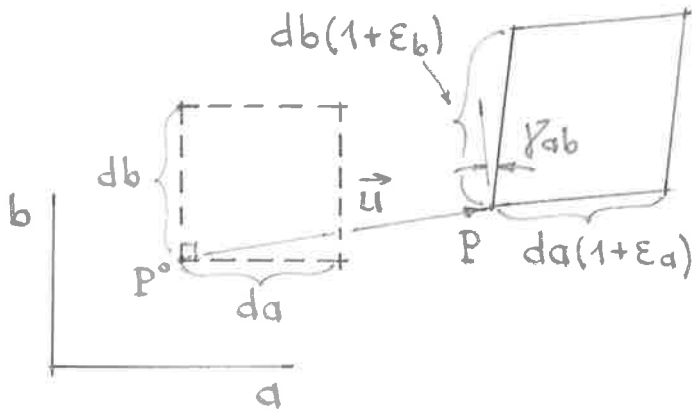
Kuva 3.2.2

ottaa yleisessä tapauksessa huomioon, joka johtaa ymmärrettävästi hankalaan käsitteelyyn. Ennenki valtaosa lujuusopin tehtävistä on sellaisia, joissa siirtymät ovat niin pieniä, että liike- tai tasapainoyhtälöt voidaan muodostaa alkuperäisen geometrian suhteen (poikkeus: esimerkiksi nurjakdustehtävät). Pienten siirtymien yhteydessä ero Lagrangen ja Eulerin esitysten väillä katoaa ja täten useat myöhemmin esiintyvät kaavat näkyvät samanlaisina pienten siirtymien teorian mukaisessa lujuusopissa. Esitetään vielä jatkoa varten tavanomaiset lujuusopin muodonmuutoskomponentit eli ns. infinitesimaaliset "insinööri"-muodonmuutoskomponentit (engl. Lagrangian infinitesimal strain component) (-)

$$\left. \begin{aligned} \varepsilon_a &= \frac{\partial u_a}{\partial a}, & \gamma_{bc} &= \gamma_{cb} = \frac{\partial u_b}{\partial c} + \frac{\partial u_c}{\partial b}, \\ \varepsilon_b &= \frac{\partial u_b}{\partial b}, & \gamma_{ca} &= \gamma_{ac} = \frac{\partial u_c}{\partial a} + \frac{\partial u_a}{\partial c}, \\ \varepsilon_c &= \frac{\partial u_c}{\partial c}, & \gamma_{ab} &= \gamma_{ba} = \frac{\partial u_a}{\partial b} + \frac{\partial u_b}{\partial a}. \end{aligned} \right\} \quad (3.2.16)$$

Termit ε_a , ε_b ja ε_c erittävät alkuaan a-, b- ja c-akselien suuntaisten viiva-alkioiden suhteellista pituudenmuutosta eli ns. suhteellisia venymä- tai venymä (engl. normal strain). Termit γ_{bc} jne. erittävät

alkuaan kohtisuorassa toisiaan vastaan olleiden b - ja c - akselien ja suuntaisten viiva-alkioiden välisiä kulmanmuutoksia; ns. liukukulmia tai liukumia (engl. shearing strain). Kuva 3.2.3 havainnollistetaan termejä ϵ_a , ϵ_b ja γ_{ab} li-



Kuva 3.2.3

oitellussa muodossa.

Esimerkki 3.2.1. Olkoon kontinuumin liike annettu yhtälöiden

$$x = a + \alpha b, \quad y = b + \beta a, \quad z = c \quad (a)$$

kautta, joissa $\alpha(t)$ ja $\beta(t)$ ovat annettuja ajan funktioita ($\alpha(0) = 0$, $\beta(0) = 0$), joista lisäa myöhemmin. Määritetään syntyvä nopeus-, kiihtyvyy- ja muodonmuutosjakautuma.

Kyrämyksessä on ab -tason suuntainen (partikkelien c -koordinaatit pysyvät vakioina) hevin yksinkertainen tasoliike. Siirtymäkomponentit ovat (vt. kaavat (3.2.12))

$$u_a = \alpha b, \quad u_b = \beta a, \quad u_c = 0 \quad (b)$$

ja kaavoja (3.2.14) ja (3.2.15) soveltamalla saadaan

$$v_a = \frac{\partial u_a}{\partial t} = \dot{\alpha} b, \quad v_b = \frac{\partial u_b}{\partial t} = \dot{\beta} a, \quad v_c = 0, \quad (c)$$

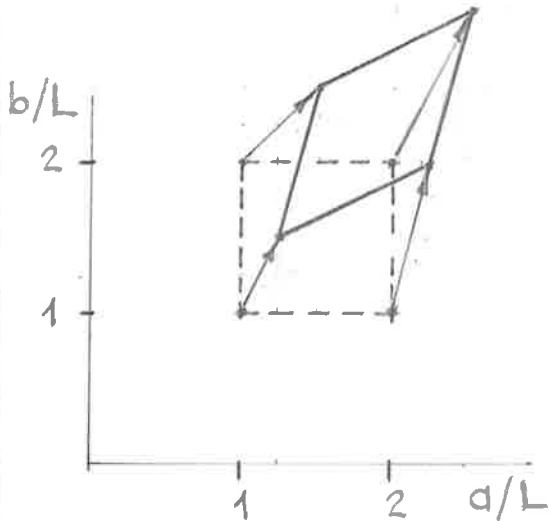
sekä

$$a_a = \frac{\partial^2 u_a}{\partial t^2} = \ddot{\alpha} b, \quad a_b = \frac{\partial^2 u_b}{\partial t^2} = \ddot{\beta} a, \quad a_c = 0. \quad (d)$$

Ainoa mollarista eroava muodonmuutoskomponentti on leikkausmuodonmuutos

$$\gamma_{ob} = \frac{\partial u_a}{\partial b} + \frac{\partial u_b}{\partial a} = \alpha + \beta. \quad (e)$$

Oletetaan ykserinkertaisuuden vuoksi tapaus $\beta = 2\alpha$, jolloin kaavoista (c) nähdään kunkin partikkelin nopeusvektorin suunnan pyrivän vakiona α :sta riippumatta ($v_b/v_a = 2a/b$), joten partikkelien radat ovat suoria. Kuvarissa (a) on esitetty kaavojen (a) avulla laskettu alku-tilassa neliön muotoisen alueen muuttuminen suunnikkaaksi hetkellä, jolloin funktiolla α on arvo $1/4$. Suure L on valittu mielivaltainen referenssipituus. Funktiolla α täsmällistä muotoa ei siis ole tässä tapauksessa valittu.



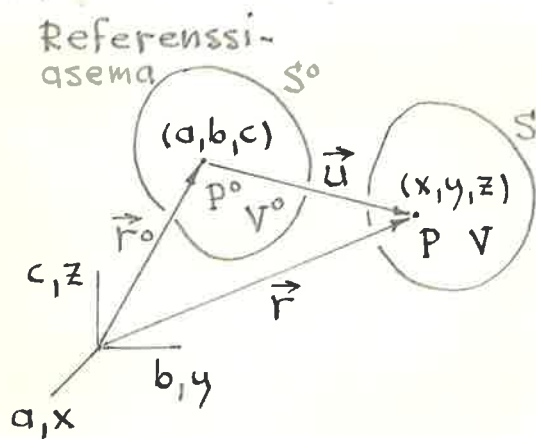
(a)

Kuvarista näkyy selvästi infinitesimaalisten muodonmuutoskomponenttien sovellettavuus näin suuren siirtymien yhteydessä. a - ja b -akselien suuntaisten janojen suhteelliseksi venymäksi saadaan kuvan avulla arvot $11,8\%$ ja $3,1\%$, kun sen sijaan kaavat (3.2.15) ilmoittavat niiden häviävän. Leikkausmuodonmuutoksen arvoiksi saadaan vastaavasti luovut $0,709$ ja $0,75$. Kun α ja siis sen mukana siirtymät pienenevät, infinitesimaalisten muodonmuutoskomponenttien tarkkuus kasvaa. Esimerkiksi α :n arvolla $1/40 = 0,025$ kuvarista mitatut suhteelliset venymät ovat enää $1,3\text{‰}$ ja $0,3\text{‰}$ ja leikkausmuodonmuutokselle saadaan vastaavasti jo verrattain läheiset arvot $0,07495$ ja $0,075$.

3.3 Eulerin esitystapa

3.3.1 Yleistä

Eulerin esitystapassa eli ms. spatiaalisessa esitystapassa (engl. Eulerian description, spatial description) riippumattomina muuttujina ovat ms. spatiaalkoordinaatit (engl. spatial coordinate) eli Eulerin koordinaatit x, y, z ja aika t . Sumeat x, y, z ovat avaruuden pisteessä P hetkellä t sijaitsevan partikkelin koordinaatit (kuva 3.3.1).



Kuva 3.3.1

Ajatellessaan yhteydet (3.2.1) tai (3.2.2) käännettyinä, jolloin saadaan erityykset

$$\vec{r}^0 = \vec{r}^0(\vec{r}, t) \quad (3.3.1)$$

tai

$$\left. \begin{aligned} a &= a(x, y, z, t), \\ b &= b(x, y, z, t), \\ c &= c(x, y, z, t). \end{aligned} \right\} (3.3.2)$$

Nämä yhteydet ilmaisevat siis kappaleen liikkeen muodossa: Partikkelilla, jonka koordinaatit ovat x, y ja z hetkellä t , on ollut referenssi-asemassa koordinaatit a, b, c .

Eulerin esitystapa poikkeaa täysin partikkelimekaniikan ajattelusta, jossa huomio kiinnitetään kukin partikkelin rataan. Lagrangen esitystä voidaan sen sijaan pitää partikkelimekaniikan erityyksen suorana yleistyksenä kontinuumiin ja tältä pohjalta Lagrangen

eritys onkin paljon helpommin omaksettavissa. Matemaattisessa mielessä ero eritysten välillä näkyy myös siinä, että Lagrangen erityksessä tehtävän määrittelyalue on koko ajan referenssialueen alue V , kun taas Eulerin erityksessä määrittelyalueena on tietty kiinteä (tavallisesti) avaruuden osa, ns. kontrollialue, jonka läpi kontinuumi virtaa. Eulerin erityksen yhteydessä käytetään usein jonkin suureen jakautumasta alueessa määritettyä kenttää (engl. field): esimerkiksi nopeuskenttä. Samaa määrittelytapaa käytetään joskus myös Lagrangenkin erityksessä.

3.3.2 Nopeus

Tavallisesti Eulerin erityksen lähtökohtana on kuitenkin yhteyksien (3.3.1) tai (3.3.2) sijasta nopeuden \vec{v} eli ns. nopeuskentän eritys

$$\boxed{\vec{v} = \vec{v}(\vec{r}, t)} \quad (3.3.3)$$

tai

$$\left. \begin{aligned} v_x &= v_x(x, y, z, t), \\ v_y &= v_y(x, y, z, t), \\ v_z &= v_z(x, y, z, t), \end{aligned} \right\} \quad (3.3.4)$$

jolloin siis

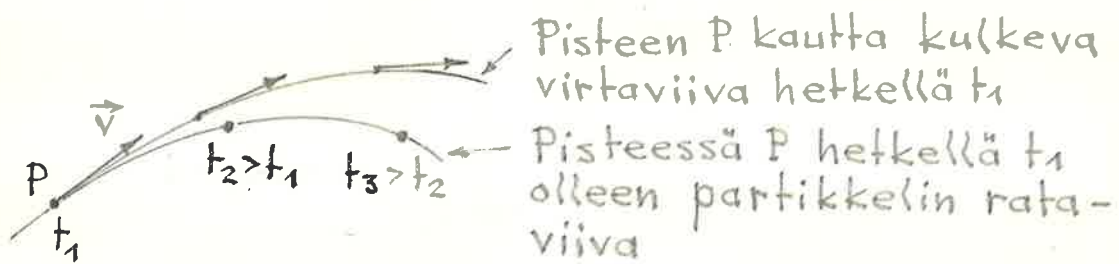
$$\boxed{\vec{v} = v_x \vec{i} + v_y \vec{j} + v_z \vec{k}} \quad (3.3.5)$$

Nopeuskenttä saadaan periaatteessa selville mittaamalla tietyllä hetkellä kussakin avaruuden pisteessä siinä riittä hetkellä sijaitsevan kontinuumin partikkelin nopeus.

Lähteessä (18) on annettu seuraava kaavojen (3.3.3) ja (3.2.3) eroa kuvaava vertaus. Tarkastellaan ajoneuvojen virtaa yksisuuntaisella kadulla, jolla on ohituskielto. Eulerin eritys vastaa havaintoja, joita liikenne-

poliisi tekee raportoidessaan ohikulkevien ajoneuvojen nopeuksia tietyillä kohdilla. Lagrangen erityys taas vastaa havaintoja, joita ajajat tekevät raportoidessaan etenemistään kadulla.

Nopeuskenttään liittyen puhutaan virta- ja juovaviivoista. Virtaviiva (engl. stream line) on viiva, jonka kuhunkin pisteeseen kuuluva nopeusvektori sivuaa tätä viivaa. Tämä on vektorianalyysissä yleiseen vektoriin liittyvän ns. kenttäviivakäsitteen sovellutus nopeuskenttään mähden (14). Rataviiva (engl. path line) eli ratakäyrä on tietyn nestepartikkelin kulkema rata. Kuva 3.3.2 pyrkii selittämään virta-



Kuva 3.3.2

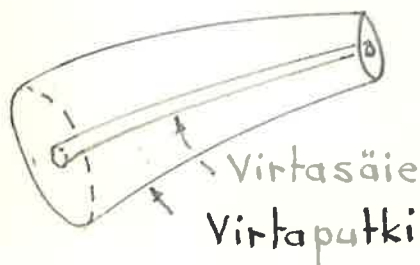
ja rataviivan välistä eroa. Juovaviiva (engl. streak line) on viiva, jonka muodostavat tietyllä hetkellä tietyn kiinteän pisteen kautta aikaisemmin kulkenut partikkelit. Juovaviiva voidaan ajatella aikaansaaduksi päästä-mällä nesteeseen ko. pisteen kautta jatkuvasti väriainetta. Virtaviivoja voidaan havainnollistaa ajatteleamalla nesteeseen sijoitetuksi sinne tänne "väritettyjä" partikkeleita. Tietyllä hetkellä otetussa valokuvassa kukin väritetty partikkeli näkyy lyhyenä viivana, jonka (todellinen, ei projisoitu) pituus on verrannollinen valotus-aikaan ja partikkelin vauhtiin ja jonka suunta ilmaisee partikkelin nopeusvektorin suunnan. Näin syntyvän kuvan avulla voidaan sitten hahmotella eri virtaviivojen kulku (kuva 3.3.3).

Ottamalla taas samaan kuvaan useita perättäisiä valotuksia saadaan kahmoteltua ei rataaviivoja.



Kuva 3.3.3

virtaputkeksi (engl.



Kuva 3.3.4

stream tube). Virtaputkea, jonka poikkileikkauksipinta-ala on infinitesimallinen, nimitetään joskus virtasäikeeksi (engl. stream filament). Virtaputken määrittelymäs perusteella putken pinnan läpi ei tapahdu nesteen virtausta, koska nesteen nopeus on pinnan jokaisessa pisteessä pinnan suuntainen. Pysyvässä virtauksessa muuttuja + häviää erityksestä (3.3.3) ja tietyn pisteen kautta kulkevat virta- rata- ja juovaviivat yhtyvät päinvastoin kuin yleensä epästationarisessa tapauksessa. Samoin tietyn umpinaisen käyrän määrittämä virtaputki ei muuta asemaansa ajan muuttuessa pysyvässä virtauksessa.

Myös ns. virtaussuunnaltaan pysyvässä (saks. richtungsstationar (19)) virtauksessa — se on tapauksessa, jossa virtausnopeusvektorin kussakin avaruuden pisteessä säilyttää ajan muuttuessa suuntaansa, mutta jossa nopeuden itseisarvo saattaa sen sijaan muuttua — virta- rata- ja juovaviivat yhtyvät ja virtaputket eivät muuta asemiaan. Esimerkiksi putkivirtaus on

tavallisesti lähes suunnaltaan pyörpää, vaikka virtaaman aivo vaihtelisi, koska putken seinämät rajoittavat virtaussumman likimain putken suunnaksi.

Kun turbulentsin virtauksen yhteydessä puhutaan virtaviivoista, virtaputkista jne., näillä käsitteillä tarkoitetaan tavallisesti keskimääräiseen nopeuteen \vec{v} liittyviä suureita.

Kiijallisuudessa virtausnopeuden karteerisille suorakulmaisille komponenteille käytetään hyvin yleisesti tunnuksia

$$v_x = u, \quad v_y = v, \quad v_z = w, \quad (3.3.6)$$

jolloin nopeus

$$\vec{v} = u\vec{i} + v\vec{j} + w\vec{k}. \quad (3.3.7)$$

Koska D-muistissa ja yleensä kiinteän aineen mekaniikassa u , v ja w tarkoittavat siirtymävektorin komponentteja, jatkossa tul-
laan toimimaan kuitenkin lähinnä kaavan (3.3.5) merkintöjen avulla.

3.3.3. Ainederivaatta

Yleinen tapaus. Tarkastellaan mielivaltaista Eulerin erityistavan mukaista paikan ja ajan funktiota $f(\vec{r}, t)$. Halutut tulokset johdetaan käyttäen apuna karteerista suorakulmaista koordinaatistoa, joten lähdetään liikkeelle funktio muodosta $f(x, y, z, t)$. Suuren f arvon muuttumista ajan (ja paikan) muuttuessa voidaan mitata usealla eri tavalla.

Havainnollistetaan tätä lähteessä (20) esitettyä esimerkkiä seuraten. Olkoon f vaikkapa tiettyssä joessa esiintyvän kalojen konsentraatio ($[f] = \text{kg/m}^3$), joka siis riippuu sekä paikasta että ajasta. Havaittaja on veneessä ja mittaa konsentraatiota suoraan alapuoleltaan. Otetaan kolme eri tapaus:

- (1) Vene on kiinnitetty paikoilleen laituriin,
- (2) Vene liikkuu joessa moottorin kuljettamana,
- (3) Vene liipuu virran mukana.

Funktion f kokonaisdifferentiaali

$$df = \frac{\partial f}{\partial t} dt + \frac{\partial f}{\partial x} dx + \frac{\partial f}{\partial y} dy + \frac{\partial f}{\partial z} dz. \quad (3.3.8)$$

Ensimmäisessä tapauksessa havaittajan asema ei muutu, joten $dx = dy = dz = 0$ ja suuren f arvon muutosnopeudelle saadaan df/dt :llä jakamalla arvo $\partial f / \partial t$. Toisessa tapauksessa havaittajan asema muuttuu ajan dt aikana määrillä dx, dy ja dz , jotka riippuvat veneen nopeudesta ja siis f :n muutosnopeudelle saadaan eri arvo kuin edellä. Kolmannessa tapauksessa vene liikkuu samalla nopeudella kuin neste ja tällöin siirtymät ovat

$$dx = v_x dt, \quad dy = v_y dt, \quad dz = v_z dt. \quad (3.3.9)$$

Sijoittamalla nämä lausekkeeseen (3.3.8) ja jakamalla yhtälö puolittain ajan differentiaalilla dt saadaan muutosnopeuden arvo

$$\frac{df}{dt} = \frac{\partial f}{\partial t} + v_x \frac{\partial f}{\partial x} + v_y \frac{\partial f}{\partial y} + v_z \frac{\partial f}{\partial z}. \quad (3.3.10)$$

Tämä on juuri tietyn partikkelin mukana kulkevan havaittajan mittaama aikaderivaatta eli siis jo kohdassa 3.2 määritetty ns. aine-derivaatta, joka saa nyt vain Eulerin erityteisessä eri ulkomaan - monimutkaisemman - kuin

Lagrangen erityksessä, siinederivaatan lauseke voidaan kirjoittaa vielä tiiviimpään koordinaatistosta riippumattomaan yleiseen muotoon

$$\boxed{\dot{f} \equiv \frac{df}{dt} = \frac{\partial f}{\partial t} + \vec{v} \cdot \vec{\nabla} f} \quad (3.3.11)$$

tai operaattoreilla esitettyä

$$\frac{d}{dt} = \frac{\partial}{\partial t} + \vec{v} \cdot \vec{\nabla}, \quad (3.3.12)$$

sillä tässä

$$\begin{aligned} \vec{v} \cdot \vec{\nabla} &= (v_x \vec{i} + v_y \vec{j} + v_z \vec{k}) \cdot \left(\vec{i} \frac{\partial}{\partial x} + \vec{j} \frac{\partial}{\partial y} + \vec{k} \frac{\partial}{\partial z} \right) \\ &= v_x \frac{\partial}{\partial x} + v_y \frac{\partial}{\partial y} + v_z \frac{\partial}{\partial z}. \end{aligned} \quad (3.3.13)$$

Termiä $\partial f / \partial t$ mimitetään lokaaliseksi muutoksenopeudeksi (engl. local rate of change) ja termiä $\vec{v} \cdot \vec{\nabla} f$ konvektiiviseksi muutoksenopeudeksi (engl. convective rate of change; convective = viivaava, johtuva). Edellinen häviää pysyvässä viitauksessa ja jät-kimmäinen ainakin kohdissa, joissa nopeus on nollla tai alueissa, joissa nopeus ei riipu paikasta.

Voidaan osoittaa, että kaavat (3.3.10) ja (3.3.11) pätevät myös vektorifunktiolle \vec{f} , jolloin kuitenkin konvektiivisessa termiä $\vec{v} \cdot \vec{\nabla} \vec{f}$ osuus $\vec{\nabla} \vec{f}$ on tensori, ns. vektorin gradientti (14). Jos toimitaan vain karteesisessa suorakulmaisessa koordinaatistossa, konvektiivinen termi voidaan silti edelleen

erittää ykrinkertaisemmassa muodossa $(\vec{v} \cdot \vec{\nabla}) \vec{f}$.
Tämä on helppo osoittaa toistamalla kaavan (3.3.10) johto vektorifunktiolle, jolloin lopputuloksen havaitaan säilyvän samana: $f \rightarrow \vec{f}$.

Ei ole myöskään vaikea todistaa esimerkiksi kaavan (3.3.10) avulla, että ainederivaatalle pätevät tavalliset derivoimislaskukaavat kuten $d(f_1 + f_2)/dt = df_1/dt + df_2/dt$, $d(f_1 f_2)/dt = df_1/dt \cdot f_2 + f_1 \cdot df_2/dt$ jne. Toistettakoon vielä, että neste-
mekaniikan kirjallisuudessa ainederivaatan tavallisin tunnus on $D(\cdot)/Dt$, jota ei ole haluttu kuitenkaan käyttää tässä erityyksessä, koska D-muistissa on jo totuttu tunnuksen $d(\cdot)/dt$ käyttöön.

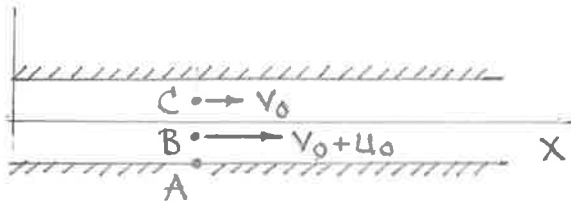
Karteesinen suorakulmainen koordinaatisto. Tämä tapaus on tullut esille jo edellisessä kohdassa, joten voidaan heti kirjoittaa yhteenvetona seuraavat kaavat. Skalaarifunktiolle f

$$\dot{f} \equiv \frac{df}{dt} = \frac{\partial f}{\partial t} + v_x \frac{\partial f}{\partial x} + v_y \frac{\partial f}{\partial y} + v_z \frac{\partial f}{\partial z}. \quad (3.3.14)$$

Vektorifunktiolle $\vec{f} = f_x \vec{i} + f_y \vec{j} + f_z \vec{k}$

$$\begin{aligned} \dot{\vec{f}} &\equiv \frac{d\vec{f}}{dt} = \frac{\partial \vec{f}}{\partial t} + v_x \frac{\partial \vec{f}}{\partial x} + v_y \frac{\partial \vec{f}}{\partial y} + v_z \frac{\partial \vec{f}}{\partial z} \\ &= \left(\frac{\partial f_x}{\partial t} + v_x \frac{\partial f_x}{\partial x} + v_y \frac{\partial f_x}{\partial y} + v_z \frac{\partial f_x}{\partial z} \right) \vec{i} + \\ &\quad + \left(\frac{\partial f_y}{\partial t} + v_x \frac{\partial f_y}{\partial x} + v_y \frac{\partial f_y}{\partial y} + v_z \frac{\partial f_y}{\partial z} \right) \vec{j} + \\ &\quad + \left(\frac{\partial f_z}{\partial t} + v_x \frac{\partial f_z}{\partial x} + v_y \frac{\partial f_z}{\partial y} + v_z \frac{\partial f_z}{\partial z} \right) \vec{k}. \end{aligned} \quad (3.3.15)$$

Esimerkki 3.3.1. Saasteen konsentraatio. Kuva (a) esittää ylhäältä katsottuna kanavaa, jossa virtaavan veden nopeus otaksutaan vakioiksi sekä paikan että ajan suhteen:



(a)

$$\vec{v} = v_0 \vec{i}. \quad (a)$$

Vedessä esiintyy tiettyä saastetta, jonka konsentraation c ($[c] = \text{kg/m}^3$) lauseke on muotoa

$$c = c(x, t) = c_0 e^{-\frac{\alpha x}{L_0}} \sin \frac{\beta t}{t_0} + c_1, \quad (b)$$

jossa α ja β ovat dimensiottomia lukuja ja c_0, c_1 ($\geq c_0$) ja L_0 sekä t_0 ovat suureita, joilla on vastavastaisesti konsentraation ja matkan sekä ajan dimensiot. Määritetään havaittajoiden A, B ja C mittausmatat suureen c muutosnopeudet — merkitään niitä tässä tunnukilla $(dc/dt)_A$, $(dc/dt)_B$ ja $(dc/dt)_C$ —, kun:

- (1) Havaittaja A istuu kanavan reunalla,
- (2) Havaittaja B on veneessä, joka liikkuu vakionopeudella u_0 veden suhteen alavirtaan päin,
- (3) Havaittaja C on veneessä, joka ajelehtii virran mukana.

(1). Yleisesti saadaan kaavan (3.3.8) erikoistapauksena c :n kokonaisdifferentiaalilauseke

$$dc = \frac{\partial c}{\partial t} dt + \frac{\partial c}{\partial x} dx \quad (c)$$

eli

$$\frac{dc}{dt} = \frac{\partial c}{\partial t} + \frac{dx}{dt} \frac{\partial c}{\partial x}, \quad (d)$$

jossa

$$\left. \begin{aligned} \frac{\partial c}{\partial t} &= c_0 \frac{\beta}{t_0} e^{-\frac{\alpha x}{L_0}} \cos \frac{\beta t}{t_0}, \\ \frac{\partial c}{\partial x} &= -c_0 \frac{\alpha}{L_0} e^{-\frac{\alpha x}{L_0}} \sin \frac{\beta t}{t_0}. \end{aligned} \right\} \quad (e)$$

Havaittajan A tapauksessa ajan lisäyksen dt aikana $dx=0$ ja

$$\left(\frac{dc}{dt}\right)_A = \frac{\partial c}{\partial t} = c_0 \frac{\beta}{t_0} e^{-\frac{\alpha x}{L_0}} \cos \frac{\beta t}{t_0} \quad (f)$$

Saadaan siis lokaalinen muutosnopeus.

(2). Havaittajan B absoluuttinen nopeus $\vec{v} = (v_0 + u_0)\vec{i}$ ja ajan lisäyksen dt aikana $dx = (v_0 + u_0)dt$, joten

$$\begin{aligned} \left(\frac{dc}{dt}\right)_B &= \frac{\partial c}{\partial t} + (v_0 + u_0) \frac{\partial c}{\partial x} \\ &= c_0 e^{-\frac{\alpha x}{L_0}} \left[\frac{\beta}{t_0} \cos \frac{\beta t}{t_0} - (v_0 + u_0) \frac{\alpha}{L_0} \sin \frac{\beta t}{t_0} \right]. \quad (g) \end{aligned}$$

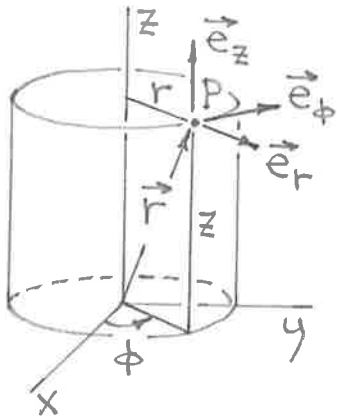
(3) Havaittajan C absoluuttinen nopeus $\vec{v} = v_0 \vec{i}$ on sama kuin itse nesteeseen nopeus, joten kyseessä on ainederivaatta. Asettamalla kaavaan

(d) $dx = v_0 dt$ tai soveltamalla suoraan kaavaa (3.3.14) saadaan

$$\begin{aligned} \left(\frac{dc}{dt}\right)_C &= \frac{dc}{dt} = \frac{\partial c}{\partial t} + v_0 \frac{\partial c}{\partial x} \\ &= c_0 e^{-\frac{\alpha x}{L_0}} \left[\frac{\beta}{t_0} \cos \frac{\beta t}{t_0} - v_0 \frac{\alpha}{L_0} \sin \frac{\beta t}{t_0} \right]. \quad (h) \end{aligned}$$

Korostettakoon vielä, että sanomalla havaittajan mittaama muutosnopeus on tarkoitettu tässä havaittajan nesteestä sijaintipaikastaan ottamien näytteiden perusteella saatua arvoa.

* Sylinterikoordinaatisto. Käytetään kuvan 3.3.5



Kuva 3.3.5

esittämistä merkintöjä. Sylinterikoordinaatit ovat r , ϕ ja z . Pisteeseen P koordinaattikäyrien tangenteiksi asetetut yksikkövektorit \vec{e}_r , \vec{e}_ϕ ja \vec{e}_z muodostavat tässä järjestyksessä oikeakätisen ortonormaalin kannan.

Milivaltaisen vektorin $\vec{f}(\vec{r}, t) = \vec{f}(r, \phi, z, t)$ erityys tässä kannassa on

$$\vec{f} = f_r \vec{e}_r + f_\phi \vec{e}_\phi + f_z \vec{e}_z \quad (3.3.16)$$

jossa komponentit f_r , f_ϕ ja f_z ovat yleisesti muuttujien r , ϕ , z ja t funktioita ja jossa lisäksi kantavektorit \vec{e}_r ja \vec{e}_ϕ riippuvat muuttujasta ϕ .

Lähteen (14) mukaan skalaarifunktion f gradientti $\vec{\nabla} f$ saa sylinterikoordinaatistossa muodon

$$\vec{\nabla} f = \frac{\partial f}{\partial r} \vec{e}_r + \frac{1}{r} \frac{\partial f}{\partial \phi} \vec{e}_\phi + \frac{\partial f}{\partial z} \vec{e}_z. \quad (3.3.17)$$

Kun virtausnopeuden erityys on nyt

$$\vec{v} = v_r \vec{e}_r + v_\phi \vec{e}_\phi + v_z \vec{e}_z, \quad (3.3.18)$$

kaavasta (3.3.11) saadaan, kun muodostetaan ensin termien (3.3.18) ja (3.3.17) skalaaritulo, skalaarifunktion f aine derivaatan Lauske

$$\dot{f} \equiv \frac{df}{dt} = \frac{\partial f}{\partial t} + v_r \frac{\partial f}{\partial r} + \frac{v_\phi}{r} \frac{\partial f}{\partial \phi} + v_z \frac{\partial f}{\partial z}. \quad (3.3.19)$$

Tämä kaava pätee myös vektorifunktiolle: $f \rightarrow \vec{f}$. Suorittamalla tarvittavat derivaavat

Lausekkeelle (3.3.16) saadaan lopuksi pitkänkin kärittelyn jälkeen tulos

$$\begin{aligned} \dot{\vec{f}} \equiv \frac{d\vec{f}}{dt} = & \left(\frac{\partial f_r}{\partial t} + v_r \frac{\partial f_r}{\partial r} + \frac{v_\phi}{r} \frac{\partial f_r}{\partial \phi} + v_z \frac{\partial f_r}{\partial z} - \frac{v_\phi}{r} f_\phi \right) \vec{e}_r \\ & + \left(\frac{\partial f_\phi}{\partial t} + v_r \frac{\partial f_\phi}{\partial r} + \frac{v_\phi}{r} \frac{\partial f_\phi}{\partial \phi} + v_z \frac{\partial f_\phi}{\partial z} + \frac{v_\phi}{r} f_r \right) \vec{e}_\phi + \\ & + \left(\frac{\partial f_z}{\partial t} + v_r \frac{\partial f_z}{\partial r} + \frac{v_\phi}{r} \frac{\partial f_z}{\partial \phi} + v_z \frac{\partial f_z}{\partial z} \right) \vec{e}_z. \end{aligned} \quad (3.3.20)$$

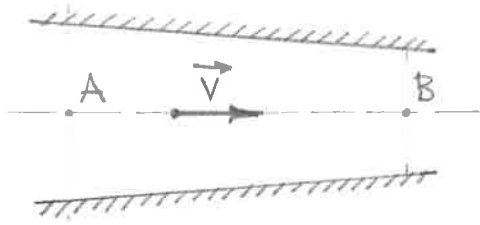
Sama tulos saadaan myös muodostamalla ensin tensori $\vec{\nabla} \vec{f}$ ja kertomalla se vektorilla \vec{v} . On syytä huomata, että vektorin \vec{f} komponentteja ei siis saa yleensä laskea soveltamalla kaavaa (3.3.19) suoraan vektorin \vec{f} komponentteihin päiksi lausekkeen (3.3.20) viimeisen komponentin tapauksessa.

3.3.4 Kiihtyvyys

Yleinen tapaus. Ainealkion kiihtyvyys saadaan nopeuden aine derivaattana, koska kiihtyvyyshän kuvaa juuri tietyn ainealkion kokemaa nopeuden aikaderivaattaa. Täten kaavan (3.3.11) perusteella kiihtyvyys

$$\boxed{\vec{a} = \dot{\vec{v}} = \frac{d\vec{v}}{dt} = \frac{\partial \vec{v}}{\partial t} + \vec{v} \cdot \vec{\nabla} \vec{v}.} \quad (3.3.21)$$

Kiihtyvyyden yhteydessä puhutaan vastaavasti kuin kohdassa 3.3.3 lokaalisesti ja konvek-
ttiivisesta kiihtyvyydestä. Kuva 3.3.6 havainnollistaa näiden termien merkitystä. Kyseessä on virtaus poikkileikkaukseltaan virtaussummana pienenevässä uomassa. Virtausnopeus



Kuva 3.3.6

tietyllä hetkellä pisteessä B on suurempi kuin pisteessä A, koska poikkileikkauksen pinta-ala pisteessä B on pienempi kuin pisteessä A; ks. tarkemmin kohta 3.4.1.

Täten nopeuden gradientti $\nabla \vec{v}$ on nolasta eroava välillä AB ja siis samoin konvektiivinen kiiktyvyys on nolasta eroava pyyvässä virtauksessakin. Epästationaarisessa virtauksessa myös lokaalinen kiiktyvyys antaa oman lisänsä.

Kiiktyvyyden lausekkeiden (3.2.15) ja (3.3.21) vertailemista osoittaa niiden välillä vallitsevan oleellisen eron. Lagrangen erityksessä esiintyy toinen aikaderivaatta ja lauseke on lineaarinen $\vec{v}:n$ suhteen. Eulerin erityksessä esiintyy ensimmäinen aikaderivaatta ja lauseke on epälineaarinen (konvektiivinen osa on kvadraattinen) $\vec{v}:n$ suhteen. Nestemekanikan tehtävät ovat täten yleensä epälineaarisia ja tästäkin johtuen myös vaikeita ratkaista. Toinen oleellinen vaikeustekijä on turbulenssi.

Kartesinen suorakulmainen koordinaatisto. Kaanan (3.3.15) perusteella kiiktyvyyden

$$\vec{a} = a_x \vec{i} + a_y \vec{j} + a_z \vec{k} \quad (3.3.22)$$

komponentit saadaan lausekkeista

$$\begin{aligned}
 a_x = \dot{v}_x &= \frac{dv_x}{dt} = \frac{\partial v_x}{\partial t} + v_x \frac{\partial v_x}{\partial x} + v_y \frac{\partial v_x}{\partial y} + v_z \frac{\partial v_x}{\partial z}, \\
 a_y = \dot{v}_y &= \frac{dv_y}{dt} = \frac{\partial v_y}{\partial t} + v_x \frac{\partial v_y}{\partial x} + v_y \frac{\partial v_y}{\partial y} + v_z \frac{\partial v_y}{\partial z}, \\
 a_z = \dot{v}_z &= \frac{dv_z}{dt} = \frac{\partial v_z}{\partial t} + v_x \frac{\partial v_z}{\partial x} + v_y \frac{\partial v_z}{\partial y} + v_z \frac{\partial v_z}{\partial z}.
 \end{aligned}
 \tag{3.3.23}$$

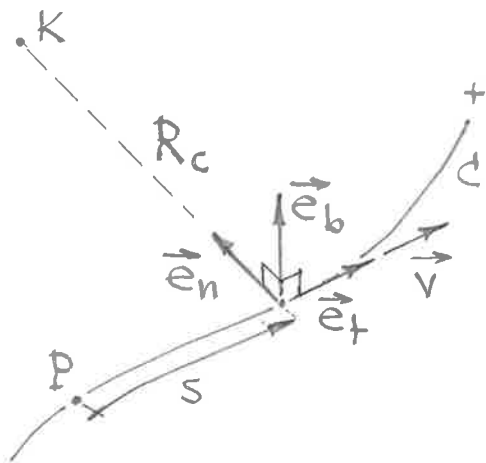
* Sylinterikoordinaatisto. Kaavan (3.3.20) perusteella kiihtyvyyden

$$\vec{a} = a_r \vec{e}_r + a_\phi \vec{e}_\phi + a_z \vec{e}_z \tag{3.3.24}$$

komponentit saadaan lausekkeista

$$\left. \begin{aligned}
 a_r &= \frac{\partial v_r}{\partial t} + v_r \frac{\partial v_r}{\partial r} + \frac{v_\phi}{r} \frac{\partial v_r}{\partial \phi} + v_z \frac{\partial v_r}{\partial z} - \frac{v_\phi^2}{r}, \\
 a_\phi &= \frac{\partial v_\phi}{\partial t} + v_r \frac{\partial v_\phi}{\partial r} + \frac{v_\phi}{r} \frac{\partial v_\phi}{\partial \phi} + v_z \frac{\partial v_\phi}{\partial z} + \frac{v_r v_\phi}{r}, \\
 a_z &= \frac{\partial v_z}{\partial t} + v_r \frac{\partial v_z}{\partial r} + \frac{v_\phi}{r} \frac{\partial v_z}{\partial \phi} + v_z \frac{\partial v_z}{\partial z}.
 \end{aligned} \right\} \tag{3.3.25}$$

Ratakoordinaatit. Tarkastellaan tietyn avaruuden pisteen P kautta tietyllä hetkellä kulkevaa viivaa C (kuva 3.3.7). Käsitellään vain viivaosuuttaan pyörä tai sen eikoois-tapauksena pelkästään pyörä viivaa. Tällöin käyrä C on koko ajan myös pisteen P kautta kulkevien partikkelien ratakäyrä ja C ei muuta asemaansa ajan muuttuessa.



Kuva 3.3.7

ja C ei muuta asemaansa ajan muuttuessa.

Käyrän C yhteydessä käytetään vastaavia merkintöjä kuin D -monisteen kuvassa 2.2.5; ainoastaan kaarevuusradetta merkitään nyt tunnuksella g sijasta tunnuksella R_c . Virtausnopeus käyrällä C on siis muotoa

$$\vec{v}(s,t) = v(s,t) \vec{e}_t(s), \quad (3.3.26)$$

jossa vielä riippuvuus ajasta häviää py-
syvässä virtauksessa. Suure v on tässä
vahti merkillä varustettuna eli ms. al-
gebrallinen vahti.

○ Koska käyrällä C $x = x(s)$, $y = y(s)$ ja $z = z(s)$,
mikäli valitaan Eulerin esityksen mukainen
funktio $f(x, y, z, t)$ voidaan kirjoittaa muo-
toon $f = f(s, t)$. Sen kokonaisdifferentiaali

$$df = \frac{\partial f}{\partial t} dt + \frac{\partial f}{\partial s} ds. \quad (3.3.27)$$

Kun tarkastellaan ainealkion kokema muu-
tosta, siirtymä

$$ds = v dt \quad (3.3.28)$$

○ ja ainederivaatan Laureke saa nyt siis
muodon

$$\dot{f} \equiv \frac{df}{dt} = \frac{\partial f}{\partial t} + v \frac{\partial f}{\partial s}. \quad (3.3.29)$$

Tämä kaava on voimassa myös vektori-
arvoiselle funktiolle \vec{f} .

lasketaan kiihtyvyyttä ottamalla Laurekkeen
(3.3.26) ainederivaatta:

$$\vec{a} = \dot{\vec{v}} = \dot{v}(s,t) \vec{e}_t + v \dot{\vec{e}}_t(s)$$

$$\begin{aligned}
 &= \left(\frac{\partial v}{\partial t} + v \frac{\partial v}{\partial s} \right) \vec{e}_t + v \left(0 + v \frac{d\vec{e}_t}{ds} \right) \\
 &= \left(\frac{\partial v}{\partial t} + v \frac{\partial v}{\partial s} \right) \vec{e}_t + \frac{v^2}{R_c} \vec{e}_n. \quad (3.3.30)
 \end{aligned}$$

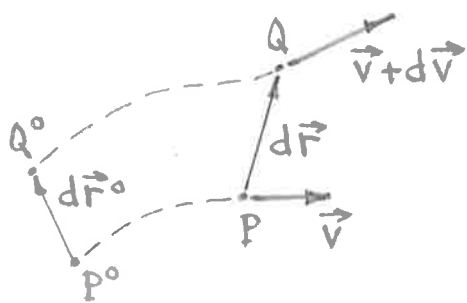
Tässä on siis käytetty hyväksi kaavan (3.3.29) lisäksi kaavaa Δ (2.2.39). Näin on saatu kiihtyvyyden komponenteiksi suunnille \vec{e}_t , \vec{e}_n ja \vec{e}_b

$$\left. \begin{aligned}
 a_t &= \frac{dv}{dt} \equiv \frac{\partial v}{\partial t} + v \frac{\partial v}{\partial s} \\
 a_n &= \frac{v^2}{R_c} \\
 a_b &= 0.
 \end{aligned} \right\} \quad (3.3.31)$$

Pyrpässä viitauksessa termi $\partial v / \partial t$ katoaa. Termi $v (\partial v / \partial s)$ voidaan kirjoittaa myös muotoon $1/2 \cdot \partial (v^2) / \partial s$. Kaavat (3.3.31) saadaan aikaan myös sylinterikoordinaatiston kaavojen (3.3.25) sopivana eikoistapauksena.

3.3.5 Muodonmuutosnopeus

Tarkastellaan tietyllä hetkellä kahta äärettömän läheistä avaruuden pistettä P ja Q, joissa



Kuva 3.3.8

olevien partikkelien nopeudet ovat vastaavasti \vec{v} ja $\vec{v} + d\vec{v}$ (kuva 3.3.8). Pisteessä Q olevan partikkelin suhteellinen nopeus pisteessä P olevan partikkelin suhteen on siis $d\vec{v}$, jonka lauseke saadaan kokonaisdifferentiaalina

$$d\vec{v} = \frac{\partial \vec{v}}{\partial x} dx + \frac{\partial \vec{v}}{\partial y} dy + \frac{\partial \vec{v}}{\partial z} dz \quad (3.3.32)$$

eli

$$\left. \begin{aligned} dv_x &= \frac{\partial v_x}{\partial x} dx + \frac{\partial v_x}{\partial y} dy + \frac{\partial v_x}{\partial z} dz, \\ dv_y &= \frac{\partial v_y}{\partial x} dx + \frac{\partial v_y}{\partial y} dy + \frac{\partial v_y}{\partial z} dz, \\ dv_z &= \frac{\partial v_z}{\partial x} dx + \frac{\partial v_z}{\partial y} dy + \frac{\partial v_z}{\partial z} dz. \end{aligned} \right\} \quad (3.3.33)$$

On huomattava, että tässä kohdassa tarkastellaan vain nopeuskentän paikasta riippuvaa muuttamista, joten \vec{v} :n differentiaalia laskettaessa otetaan $dt=0$.

Tarkoituksena on selvittää, miten pisteen P ympärillä olevan nestealkion muoto ja koko tulevat muuttumaan. Tämän saavuttamiseksi on tarpeen palata hetkeksi jäykän kappaleen kinematiikkaan. Jäykän kappaleen mielivaltaisen partikkelin nopeus saadaan kaavasta $\vec{v} = \vec{v}_0 + \vec{\omega} \times \vec{r}$ (kaava D(3.3.6)) ja jos otetaan tässä nintopiste 0 origoon, saadaan jäykän kappaleen liikettä vastaavaksi nopeuskentäksi

$$\vec{v}(\vec{r}, t) = \vec{v}_0(t) + \vec{\omega}(t) \times \vec{r}. \quad (3.3.34)$$

Muodostamalla lauseke $\vec{v} \times \vec{v}$ saadaan eräiden vaiheiden (14, s. 48) jälkeen tulos $\vec{v} \times \vec{v} = 2\vec{\omega}$ eli

$$\boxed{\vec{\omega} = \frac{1}{2} \vec{v} \times \vec{v}.} \quad (3.3.35)$$

Täten jäykän kappaleen liikkeessä nopeuskentän roottorin puolikas antaa jäykän kappaleen kulmanopeuden. Tämä tulos on sikäli tärkeä, että sitä käytetään myös muotoaan muuttavien kappaleiden yhteydessä määrittelemään kussakin pisteessä kontinuumin alkion kulmanopeus, joka tulee siis olemaan yleensä paikasta riippuva päinvastoin kuin jäykän kappaleen tapauksessa. Kaavasta (3.3.35) saadaan kehittämällä

$$\vec{\omega} = \frac{1}{2} \begin{vmatrix} \vec{i} & \vec{j} & \vec{k} \\ \frac{\partial}{\partial x} & \frac{\partial}{\partial y} & \frac{\partial}{\partial z} \\ v_x & v_y & v_z \end{vmatrix} = \frac{1}{2} \left[\left(\frac{\partial v_z}{\partial y} - \frac{\partial v_y}{\partial z} \right) \vec{i} + \left(\frac{\partial v_x}{\partial z} - \frac{\partial v_z}{\partial x} \right) \vec{j} + \left(\frac{\partial v_y}{\partial x} - \frac{\partial v_x}{\partial y} \right) \vec{k} \right] \quad (3.3.36)$$

eli kulmanopeuden komponentit ovat

$$\left. \begin{aligned} \omega_x &= \frac{1}{2} \left(\frac{\partial v_z}{\partial y} - \frac{\partial v_y}{\partial z} \right), \\ \omega_y &= \frac{1}{2} \left(\frac{\partial v_x}{\partial z} - \frac{\partial v_z}{\partial x} \right), \\ \omega_z &= \frac{1}{2} \left(\frac{\partial v_y}{\partial x} - \frac{\partial v_x}{\partial y} \right). \end{aligned} \right\} \quad (3.3.37)$$

* \downarrow Nämä lausekkeet saadaan mukaan erityksen (3.3.33) kirjoittamalla se muodossa

$$\left. \begin{aligned} dv_x &= \frac{\partial v_x}{\partial x} dx + \frac{1}{2} \left(\frac{\partial v_x}{\partial y} + \frac{\partial v_y}{\partial x} \right) dy + \frac{1}{2} \left(\frac{\partial v_x}{\partial z} + \frac{\partial v_z}{\partial x} \right) dz + \\ &\quad + \frac{1}{2} \left(\frac{\partial v_x}{\partial y} - \frac{\partial v_y}{\partial x} \right) dy + \frac{1}{2} \left(\frac{\partial v_x}{\partial z} - \frac{\partial v_z}{\partial x} \right) dz, \\ dv_y &= \frac{1}{2} \left(\frac{\partial v_y}{\partial x} + \frac{\partial v_x}{\partial y} \right) dx + \frac{\partial v_y}{\partial y} dy + \frac{1}{2} \left(\frac{\partial v_y}{\partial z} + \frac{\partial v_z}{\partial y} \right) dz + \\ &\quad + \frac{1}{2} \left(\frac{\partial v_y}{\partial x} - \frac{\partial v_x}{\partial y} \right) dx + \frac{1}{2} \left(\frac{\partial v_y}{\partial z} - \frac{\partial v_z}{\partial y} \right) dz, \\ dv_z &= \frac{1}{2} \left(\frac{\partial v_z}{\partial x} + \frac{\partial v_x}{\partial z} \right) dx + \frac{1}{2} \left(\frac{\partial v_z}{\partial y} + \frac{\partial v_y}{\partial z} \right) dy + \frac{\partial v_z}{\partial z} dz + \\ &\quad + \frac{1}{2} \left(\frac{\partial v_z}{\partial x} - \frac{\partial v_x}{\partial z} \right) dx + \frac{1}{2} \left(\frac{\partial v_z}{\partial y} - \frac{\partial v_y}{\partial z} \right) dy. \end{aligned} \right\} \quad (3.3.38)$$

Matriisimerkintöj \bar{c} käyttäen tämä on

$$\{dv\} = [D]\{dr\} + [W]\{dr\} \quad (3.3.39)$$

eli

$$\begin{Bmatrix} dv_x \\ dv_y \\ dv_z \end{Bmatrix} = \begin{bmatrix} \frac{\partial}{\partial x} & \frac{1}{2} g_{xy} & \frac{1}{2} g_{xz} \\ \frac{1}{2} g_{yx} & \frac{\partial}{\partial y} & \frac{1}{2} g_{yz} \\ \frac{1}{2} g_{zx} & \frac{1}{2} g_{zy} & \frac{\partial}{\partial z} \end{bmatrix} \begin{Bmatrix} dx \\ dy \\ dz \end{Bmatrix} + \begin{bmatrix} 0 & -\omega_z & \omega_y \\ \omega_z & 0 & -\omega_x \\ -\omega_y & \omega_x & 0 \end{bmatrix} \begin{Bmatrix} dx \\ dy \\ dz \end{Bmatrix}, \quad (3.3.40)$$

jossa termit

$$\begin{array}{l}
 d_x = \frac{\partial v_x}{\partial x}, \quad g_{yz} = g_{zy} = \frac{\partial v_y}{\partial z} + \frac{\partial v_z}{\partial y}, \\
 d_y = \frac{\partial v_y}{\partial y}, \quad g_{zx} = g_{xz} = \frac{\partial v_z}{\partial x} + \frac{\partial v_x}{\partial z}, \\
 d_z = \frac{\partial v_z}{\partial z}, \quad g_{xy} = g_{yx} = \frac{\partial v_x}{\partial y} + \frac{\partial v_y}{\partial x}
 \end{array} \quad (3.3.41)$$

ovat ns. muodonnuntosnopeuskomponenttejä (engl. rate of deformation components). Tunnusten d ja g ($[d] = [g] = s^{-1}$) sijasta kirjallisuudessa käytetään usein tunnuksia ϵ ja γ , jotka ovat tässä kuitenkin jo varattu muodonnuntoskomponenttien merkeiksi.

Symmetrinen matriisi $[D]$ on ns. muodonnuntosnopeusmatriisi ja antisymmetrinen matriisi $[W]$ on ns. pyörimematriisi (engl. vorticity matrix, spin matrix). Tähän liittyy todetaan seuraavaa, jos nestealkio liikkuu kuten jäykkä kappale ja sovellettaisiin taas kaavaa $\vec{v} = \vec{v}_0 + \vec{\omega} \times \vec{r}$ ottaen siirtopisteeksi piste P ja toiseksi pisteeksi piste Q saataisiin $(\vec{r} \triangleq d\vec{r}) \quad \vec{v}_Q = \vec{v}_P + \vec{\omega} \times d\vec{r}$ eli siis

$$d\vec{v} = \vec{\omega} \times d\vec{r} = \begin{bmatrix} \vec{i} & \vec{j} & \vec{k} \\ \omega_x & \omega_y & \omega_z \\ dx & dy & dz \end{bmatrix} = (\omega_y dz - \omega_z dy) \vec{i} + (\omega_z dx - \omega_x dz) \vec{j} + (\omega_x dy - \omega_y dx) \vec{k}. \quad (3.3.42)$$

Tämän matriisieritysvastineen nähdään olevan kaavaa (3.3.40) tarkastelemalla $\{dv\} = [W]\{dr\}$. Täten kaavan (3.3.40) jälkimmäinen osuus $[W]\{dr\}$ erittää nestealkion rotaatiosta syntyvää nopeuden muutosta, joten edellisen osuuden $[D]\{dr\}$ täytyy siis johtua nestealkion muodon muuttumisesta, joka selkeä selittää käytettyjä nimityksiä.

Muodonnuntosnopeuskomponentit (3.3.41) ovat

alkunäyttään täysin analogisia Lagrangen infinitesimaalisten muodonmuutosten (3.2.16) kanssa. Ottamalla jälkimmäisten aine derivaatat saadaan

$$\left. \begin{aligned} \dot{\epsilon}_a &= \frac{d\epsilon_a}{dt} = \frac{\partial \epsilon_a}{\partial t} = \frac{\partial}{\partial t} \frac{\partial u_a}{\partial a} = \frac{\partial}{\partial a} \frac{\partial u_a}{\partial t} = \frac{\partial \dot{u}_a}{\partial a} = \frac{\partial v_a}{\partial a} \\ \dot{\gamma}_{bc} &= \frac{d\gamma_{bc}}{dt} = \frac{\partial \gamma_{bc}}{\partial t} = \frac{\partial}{\partial t} \left(\frac{\partial u_b}{\partial c} + \frac{\partial u_c}{\partial b} \right) = \frac{\partial}{\partial c} \frac{\partial u_b}{\partial t} + \frac{\partial}{\partial b} \frac{\partial u_c}{\partial t} \\ &= \frac{\partial \dot{u}_b}{\partial c} + \frac{\partial \dot{u}_c}{\partial b} = \frac{\partial v_b}{\partial c} + \frac{\partial v_c}{\partial b} \end{aligned} \right\} (3.3.43)$$

jne.

○ Pienten siirtymien teoriassa voidaan asettaa likimain $a=x$, $b=y$ ja $c=z$, jolloin vertailu lausekkeisiin (3.3.41) johtaa yhteyksiin

$$\left. \begin{aligned} \dot{\epsilon}_a &= dx, & \dot{\gamma}_{bc} &= \gamma_{yz}, \\ \dot{\epsilon}_b &= dy, & \dot{\gamma}_{ca} &= \gamma_{zx}, \\ \dot{\epsilon}_c &= dz, & \dot{\gamma}_{ab} &= \gamma_{xy}. \end{aligned} \right\} (3.3.44)$$

Tämä tulos antaa selityksen mimitykselle muodonmuutosnopeus. Lisäksi saadaan fyysiset tulokset muodonmuutosnopeuskomponenteille. Termi dx , dy ja dz esittävät x -, y - ja z -akselien suunnistaisten viiva-alkioiden suhteellisten pituudenmuutosten muutosnopeuksia. Termi γ_{yz} jne. esittävät taas y - ja z -akselien jne. suunnistaisten viiva-alkioiden välisten kulmanmuutosten muutosnopeuksia jnt. kuva 3.2.3. Huomautettakoon vielä, että itse lausekkeet (3.3.41) ovat täysin yleispätevät ilman mitään siirtymää koskevia rajoituksia.

* ↑

Nestemekanikassa on tavallisempaa käsitellä kulmanopeusvektorin $\vec{\omega}$ sijasta sen kaksois-kertaista arvoa $2\vec{\omega} = \vec{\nabla} \times \vec{v}$, jota nimitetään

yleensä pyörövektori (engl. vorticity vector).
 Joskus näkee kuitenkin myös kulmanopeusvek-
 torille käytettävän tätä nimitystä. Tässä tul-
 laan toimimaan pelkästään kulmanopeusvek-
 torin $\vec{\omega}$ avulla. Jos kulmanopeusvektori

$$\vec{\omega} = \vec{0} \quad (3.3.45)$$

tietyssä alueessa, virtauksen sanotaan olevan
pyörteetöntä (engl. irrotational).

* \downarrow
 johdetaan lopuksi eräs kiertävyyden yleinen lau-
 seke, joka osoittautuu jatkossa hyödylliseksi.
 Tarkastellaan ensin vain kiertävyyden x-komponent-
 tia

$$a_x = \frac{\partial v_x}{\partial t} + v_x \frac{\partial v_x}{\partial x} + v_y \frac{\partial v_x}{\partial y} + v_z \frac{\partial v_x}{\partial z}. \quad (3.3.46)$$

lisätään ja vähennetään termi $v_y \frac{\partial v_y}{\partial x}$ sekä termi $v_z \frac{\partial v_z}{\partial x}$:

$$\begin{aligned} a_x &= \frac{\partial v_x}{\partial t} + v_x \frac{\partial v_x}{\partial x} + v_y \frac{\partial v_y}{\partial x} + v_z \frac{\partial v_z}{\partial x} + v_y \frac{\partial v_x}{\partial y} - v_y \frac{\partial v_y}{\partial x} + v_z \frac{\partial v_x}{\partial z} - v_z \frac{\partial v_z}{\partial x} \\ &= \frac{\partial v_x}{\partial t} + \frac{\partial}{\partial x} \frac{1}{2} (v_x^2 + v_y^2 + v_z^2) + \left(\frac{\partial v_x}{\partial z} - \frac{\partial v_z}{\partial x} \right) v_z - \left(\frac{\partial v_y}{\partial x} - \frac{\partial v_x}{\partial y} \right) v_y. \end{aligned} \quad (3.3.47)$$

Ottamalla käyttöön kulmanopeusvektorin komponenttien
 merkinnät (3.3.37) saadaan siis

$$\left. \begin{aligned} a_x &= \frac{\partial v_x}{\partial t} + \frac{\partial}{\partial x} \frac{v^2}{2} + 2(\omega_y v_z - \omega_z v_y), \\ a_y &= \frac{\partial v_y}{\partial t} + \frac{\partial}{\partial y} \frac{v^2}{2} + 2(\omega_z v_x - \omega_x v_z), \\ a_z &= \frac{\partial v_z}{\partial t} + \frac{\partial}{\partial z} \frac{v^2}{2} + 2(\omega_x v_y - \omega_y v_x), \end{aligned} \right\} \quad (3.3.48)$$

jossa kaksi jälkimmäistä lauseketta voidaan
 johtaa aivan analogisesti. Kaavojen vektori-
 esityksen havaitaan olevan

$$\boxed{\vec{a} = \frac{\partial \vec{v}}{\partial t} + \vec{v} \frac{v^2}{2} + 2\vec{\omega} \times \vec{v}.} \quad (3.3.49)$$

Tulos johdettiin karteerisen suorakulmaisen koordinaatiston avulla, mutta kaava (3.3.49) pätee silti yleisesti koordinaatistosta riippumatta. Merkitä v tarkoittaa vintausvahtia tai yhtä hyvin myös algebrallista vintausvahtia.

Esimerkki 3.3.2. Tarkastellaan undetaan esimerkissä 3.2.1 Lagrangen eritystavalla annettua liikettä

$$x = a + \alpha b, \quad y = b + \beta a, \quad z = c \quad (a)$$

myt kuitenkin käyttäen Eulerin eritystä. yhteydet (a) ovat niin yksinkertaiset, että ne pystytään kääntämään — päinvastoin kuin yleensä — eksplisittisesti ratkaisemalla ko. lineaarinen yhtälöryhmä. Saadaan Eulerin erityys

$$a = \frac{1}{1-\alpha\beta} (x - \alpha y), \quad b = \frac{1}{1-\alpha\beta} (y - \beta x), \quad c = z. \quad (b)$$

Esimerkissä 3.2.1 johdettiin nopeuden ja kihtyvyyden komponenttien lausekkeet

$$v_a = \dot{\alpha} b, \quad v_b = \dot{\beta} a, \quad v_c = 0 \quad (c)$$

ja

$$a_a = \ddot{\alpha} b, \quad a_b = \ddot{\beta} a, \quad a_c = 0. \quad (d)$$

Sijoittamalla näihin yhteydet (b) päästään Eulerin erityksen nopeus- ja kihtyvyyden komponentteihin

$$v_x = \frac{\dot{\alpha}}{1-\alpha\beta} (y - \beta x), \quad v_y = \frac{\dot{\beta}}{1-\alpha\beta} (x - \alpha y), \quad v_z = 0 \quad (e)$$

ja

$$a_x = \frac{\ddot{\alpha}}{1-\alpha\beta} (y - \beta x), \quad a_y = \frac{\ddot{\beta}}{1-\alpha\beta} (x - \alpha y), \quad a_z = 0. \quad (f)$$

Kiiktipyyppä saadaan vaihtoehtoisesti myös nopeuskenttää (e) soveltamalla kaavoja (3.3.23). Esimerkiksi

$$\begin{aligned}
 a_x &= \frac{\partial v_x}{\partial t} + v_x \frac{\partial v_x}{\partial x} + v_y \frac{\partial v_x}{\partial y} + 0 \\
 &= \frac{\dot{\alpha}}{1-\alpha\beta} (y-\beta x) + \frac{\dot{\alpha}}{1-\alpha\beta} (-\beta x) - \frac{\dot{\alpha}(-\alpha\beta - \alpha\beta)}{(1-\alpha\beta)^2} (y-\beta x) + \\
 &\quad + \frac{\dot{\alpha}}{1-\alpha\beta} (y-\beta x) - \frac{\dot{\alpha}}{1-\alpha\beta} (-\beta) + \frac{\dot{\beta}}{1-\alpha\beta} (x-\alpha y) \frac{\dot{\alpha}}{1-\alpha\beta}, \quad (g)
 \end{aligned}$$

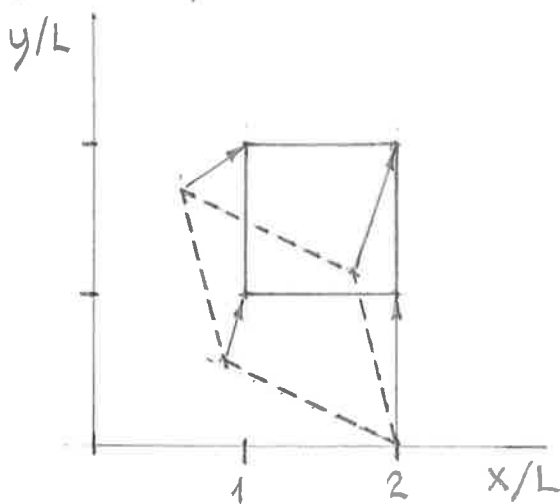
josta tulee kehittämällä lopuksi kaavan (f) mukainen tulos.

Nollasta eroavat muodannuntanosnopeuskomponentit ovat

$$\left. \begin{aligned}
 d_x &= \frac{\partial v_x}{\partial x} = -\frac{\dot{\alpha}\beta}{1-\alpha\beta}, & d_y &= \frac{\partial v_y}{\partial y} = -\frac{\dot{\alpha}\beta}{1-\alpha\beta} \\
 g_{xy} &= \frac{\partial v_x}{\partial y} + \frac{\partial v_y}{\partial x} = \frac{\dot{\alpha}}{1-\alpha\beta} + \frac{\dot{\beta}}{1-\alpha\beta} = \frac{\dot{\alpha} + \dot{\beta}}{1-\alpha\beta}.
 \end{aligned} \right\} \quad (h)$$

Pienten siirtymien teorian mukainen tilanne saadaan, kun α ja $\beta \ll 1$. Kaavojen (3.3.44) havaitaan pitävän paikkansa. Esimerkiksi $\dot{\epsilon}_a$ oli identtisesti nolla, joten $\dot{\epsilon}_a = 0$. Toisaalta kun $\alpha \neq 0$ ja $\beta \neq 0$, on myös kaavan (h) $d_x \approx 0$. Esimerkiksi $f_{ab} = \alpha + \beta$, joten $f_{ab} = \dot{\alpha} + \dot{\beta}$. Toisaalta kun $\alpha \neq 0$ ja $\beta \neq 0$, kaavan (h) $g_{xy} \approx \dot{\alpha} + \dot{\beta}$.

Kulmanopeuden ainoa nollasta eroava komponentti



(a)

$$\begin{aligned}
 \omega_z &= \frac{1}{2} \left(\frac{\partial v_y}{\partial x} - \frac{\partial v_x}{\partial y} \right) \\
 &= \frac{1}{2} \frac{\dot{\beta} - \dot{\alpha}}{1-\alpha\beta}, \quad (i)
 \end{aligned}$$

joten pyöriivektori on kohtisuorassa liiketasoa vastaan. Näin on aina tasoliikkeessä.

Kuvassa (a) on esitetty

kaavojen (b) avulla laskettu ($\beta=2\alpha$) tarkasteltavalla hetkellä ($\alpha=1/4$) meliön muotoisen alueen sijainti alkutilassa; katkoviivoitettu suunnikas.

* Lähteen (14) mukaan vektorifunktion \vec{f} roottori saa sylinterikoordinaatissa muodon

$$\begin{aligned} \vec{\nabla} \times \vec{f} = & \left(\frac{1}{r} \frac{\partial f_z}{\partial \phi} - \frac{\partial f_\phi}{\partial z} \right) \vec{e}_r + \left(\frac{\partial f_r}{\partial z} - \frac{\partial f_z}{\partial r} \right) \vec{e}_\phi + \\ & + \frac{1}{r} \left(\frac{\partial(r f_\phi)}{\partial r} - \frac{\partial f_r}{\partial \phi} \right) \vec{e}_z. \end{aligned} \quad (3.3.50)$$

Täten kulmanopeuden (3.3.35) komponentit ovat

$$\left. \begin{aligned} \omega_r &= \frac{1}{2} \left(\frac{1}{r} \frac{\partial v_z}{\partial \phi} - \frac{\partial v_\phi}{\partial z} \right); \\ \omega_\phi &= \frac{1}{2} \left(\frac{\partial v_r}{\partial z} - \frac{\partial v_z}{\partial r} \right); \\ \omega_z &= \frac{1}{2} \frac{1}{r} \left(\frac{\partial(r v_\phi)}{\partial r} - \frac{\partial v_r}{\partial \phi} \right). \end{aligned} \right\} \quad (3.3.51)$$

Voidaan osoittaa, että muodonmuutosnopeuskomponenttien lausekkeet ovat

$$\left. \begin{aligned} d_r &= \frac{\partial v_r}{\partial r}, & g_{\phi z} &= g_{z\phi} = \frac{\partial v_\phi}{\partial z} + \frac{1}{r} \frac{\partial v_z}{\partial \phi}; \\ d_\phi &= \frac{1}{r} \frac{\partial v_\phi}{\partial \phi} + \frac{v_r}{r}, & g_{zr} &= g_{rz} = \frac{\partial v_z}{\partial r} + \frac{\partial v_r}{\partial z}; \\ d_z &= \frac{\partial v_z}{\partial z}, & g_{r\phi} &= g_{\phi r} = \frac{1}{r} \frac{\partial v_r}{\partial \phi} + \frac{\partial v_\phi}{\partial r} - \frac{v_\phi}{r}. \end{aligned} \right\} \quad (3.3.52)$$

Näiden fyysikaalinen merkitys selviää tarkastelemalla vastaavia pienien siirtymien teorian mukaisia muodonmuutoskomponentteja esimerkiksi Lähteen (21) avulla.

3.3.6 Tilavuusintegraalin ainederivaatta

Kohdassa D 6.9 on jo korostettu, että mekaniikan peruslait koskevat ns. suljettuja systemeja eli koko ajan samoista partikkeleista muodostuneita kappaleita. Näin on laita myös kohdassa 1.2 esitettyjen peruslakien suhteen. Kun käytetään Eulerin esitystapaa, joudutaan laskemaan erilaisten tilavuusintegraalien

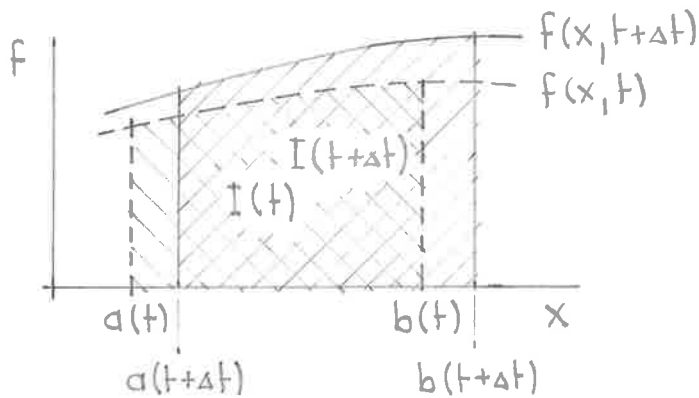
$$I(t) = \int_{V(t)} f(\vec{r}, t) dV = \int_{V(t)} f(x, y, z, t) dV \quad (3.3.53)$$

aikaderivaattoja $\dot{I} = dI/dt$. Esimerkkinä mainittakoon kappaleen kokonaismassa $m = \int_{V(t)} \rho(\vec{r}, t) dV$. Integroimisalueen tunnukseen V on merkitty argumentiksi aika t muistuttamaan sitä, että kappaleen liikkeen johdosta sen täyttämä avaruuden osa $V(t)$ muuttuu jatkuvasti. Kun ajatellaan vaadittava integraali paikan suhteen suoritetuksi kullakin ajan hetkellä, mähdään integraalista tulevan pelkästään ajan funktio. Täten yhden muuttujan funktion I tavallinen derivaatta $\dot{I} = dI/dt$ on tässä samalla kappaleeseen liittyvän suuren I kokonaismäärän kappaleen kokemana mitatun muutosnopeus eli ns. aineellinen aikaderivaatta tai lyhyemmin ainederivaatta.

Derivaatan laskemisessa on tavallaan kysymys matemaattikasta tutun, usein ns. Leibnitzin säännön nimellä kulkevan kaavan yleistyksestä kolmeen dimensioon. Tarkastellaan määrättyä integraalia

$$I(t) = \int_{a(t)}^{b(t)} f(x, t) dx, \quad (3.3.54)$$

jossa I on parametrin t funktion paitri sen johdosta, että t esiintyy integroitavassa myös koska integroimisrajat a ja b ovat t :n funktioita.



Integraalin muuttamista t :n muuttajassa on havainnollistettu kuvassa 3.3.9. Leibnizin

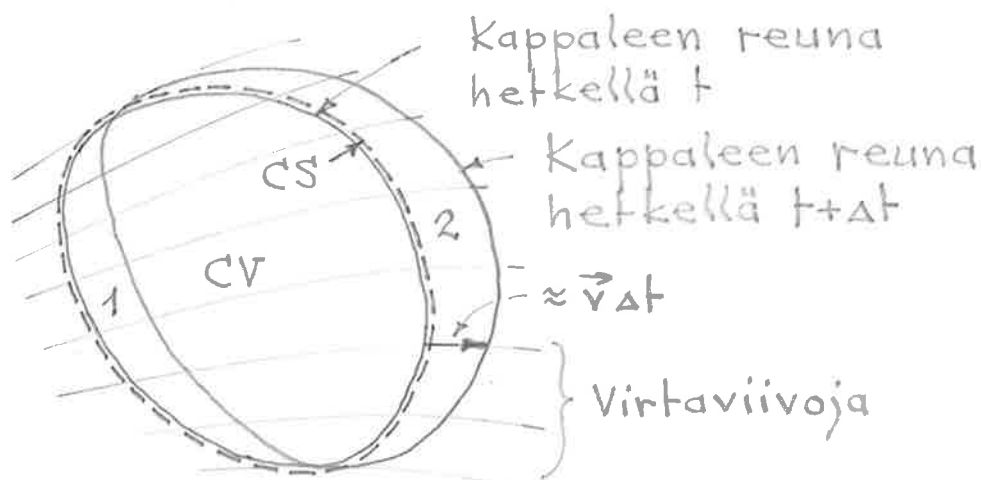
Kuva 3.3.9

säännön mukaan

$$\frac{dI}{dt} = \int_a^b \frac{\partial f}{\partial t} dx + f \Big|_{x=b} \frac{db}{dt} - f \Big|_{x=a} \frac{da}{dt}. \quad (3.3.55)$$

jos parametri t tulkitaan ajaksi, termit $db/dt = \dot{b}$ ja $da/dt = \dot{a}$ esittävät rajojen siirtymisnopeuksia.

Siirytään takaisin integraalin (3.3.53) käsitelyyn. Kappale on esitetty kuvassa 3.3.10 kah-



Kuva 3.3.10

della lähekkäisellä ajan hetkellä. Valitaan avaruudesta

tiety ympäristön pinnan rajaama alue CV ns. kontrolli-
alue (engl. control volume), joka otetaan tässä
valitun koordinaatiston suhteen kiinteäksi. Kont-
rollialueen reunapintaa CS nimitetään kontrolli-
pinnaksi (engl. control surface). Valitaan tarkas-
tettava suljettu systeemi eli kappale siten,
että se muodostuu hetkellä t kontrollialueesta
olevasta kappaleesta. Hetkellä $t + \Delta t$ osa kap-
paleen partikkeleista on poistunut kontrolli-
alueesta (alue 2) ja alueeseen on saapunut kap-
paleen ulkopuolisia partikkeleita (alue 1). Deri-
vaatan määritelmän perusteella ja kuvaa 3.3.10
tarkastelemalla saadaan

$$\frac{dI}{dt} = \lim_{\Delta t \rightarrow 0} \frac{[(I_2 + I_{cv} - I_1)_{t+\Delta t} - (I_2 + I_{cv} - I_1)_t]}{\Delta t}$$

$$= \lim_{\Delta t \rightarrow 0} \frac{(I_{cv})_{t+\Delta t} - (I_{cv})_t}{\Delta t}$$

$$+ \lim_{\Delta t \rightarrow 0} \frac{(I_2)_{t+\Delta t} - (I_2)_t}{\Delta t}$$

$$- \lim_{\Delta t \rightarrow 0} \frac{(I_1)_{t+\Delta t} - (I_1)_t}{\Delta t},$$

(3.3.56)

Kontrollialueen yli öte-
tun integraalin $I_{cv} =$
 $\int_{cv} f dV$ muutosnopeus
 $\int_{cv} \frac{\partial f}{\partial t} dV$

Kontrollialueesta pois-
tuva suureen I virta

Kontrollialueeseen saa-
puva suureen I virta

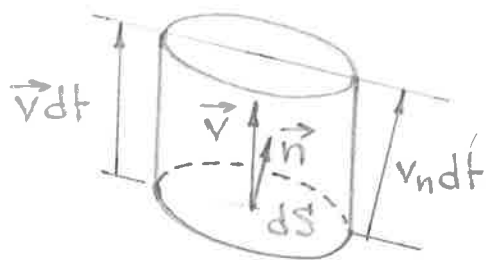
=
Nettovirta ulos alu-
eesta

$$\int_{cs} f v_n dS$$

jossa esiintyvien merkintöjen sisältö lienee
selvä. Jos luotetaan hakasulkeissa annettuihin
tulkintoihin, on siis saatu tulos (mt. kaava (3.3.55))

$$\frac{d}{dt} \int_{V(t)} f dV = \int_{cv} \frac{\partial f}{\partial t} dV + \int_{cs} f v_n dS. \quad (3.3.57)$$

Pintaintegraalitermin merkityksen selvittämiseksi tarkastellaan kuvaa 3.3.11, jossa näkyy kontrollipinnan pinta-alkio dS



Kuva 3.3.11

ja pinnan ulkoinen yksikkönormaalivektori \vec{n} . Ajassa dt pinta-alkion läpi virannut aine muodostaa vinopohjaisen sylinterin, jonka pohjan pinta-ala on dS ja korkeus $\vec{n} \cdot \vec{v} dt = v_n dt$. Summe

$$v_n = \vec{n} \cdot \vec{v} = \vec{v} \cdot \vec{n} \quad (3.3.58)$$

on ns. nopeuden normaalikomponentti (engl. normal velocity). Täten sylinterin tilavuus $dV = v_n dt dS$ ja pinta-alkion läpi viranneen sumeen I määrä on $f dV = f v_n dt dS$. Koko pinnan läpi ajassa dt virannut sumeen I määrä on siis $\int_{CS} f v_n dt dS$ ja tämä jaettuna kululla ajalla dt on ns. sumeen I virta tai vuoto (engl. flow rate, flow, flux.) (Laatu $[I]/s$)

$$\int_{CS} f v_n dS. \quad (3.3.59)$$

kontrollipinnan läpi alueesta ulos, jos virtaus tapahtuu alueen sisään, $v_n = \vec{n} \cdot \vec{v}$ on negatiivinen, joten lauseke (3.3.59) kuvaa ns. nettovirtaa alueesta ulospäin. Termiä $f v_n$ (Laatu $[I]/(sm^2)$) voidaan nimittää ko. sumeen I virran tiheydeksi (engl. flow rate density) ko. pinnalla.

Jätetään jatkossa kaavasta (3.3.57) integroimisalueita kuvaavat tunnuksen yksinkertaisuuden vuoksi pois. On saatu tärkeä kaava, ns. Reynoldsin kuljetuslause (engl. Reynolds transport theorem) (muoto 1)

$$\boxed{\dot{I} \equiv \frac{dI}{dt} \equiv \frac{d}{dt} \int f dV = \int \frac{\partial f}{\partial t} dV + \int f v_n dS,} \quad (3.3.60)$$

joka antaa siis Eulerin erityksessä tavuttavan tilavuusintegraalin aine derivaatan lausekkeen. Pinta-integraali esiintyy usein seuraavissa samantyyppisissä muodoissa:

$$\left. \begin{aligned} \int f v_n dS &= \int f \vec{v} \cdot \vec{n} dS = \int f \vec{v} \cdot d\vec{S} \\ &= \int f (n_x v_x + n_y v_y + n_z v_z) dS. \end{aligned} \right\} \quad (3.3.61)$$

- Soveltamalla Gaussin lausetta (kaava (L.1.3), $\vec{F} \hat{=} f\vec{v}$) kaavan (3.3.43) pintaintegraaliksi muuntamiseksi tilavuusintegraaliksi saadaan Reynoldsin lause muodossa (muoto 2) -

$$\boxed{\frac{d}{dt} \int f dV = \int \left[\frac{\partial f}{\partial t} + \vec{v} \cdot (f\vec{v}) \right] dV,} \quad (3.3.62)$$

$$= \int \left[\frac{\partial f}{\partial t} + \frac{\partial (fv_x)}{\partial x} + \frac{\partial (fv_y)}{\partial y} + \frac{\partial (fv_z)}{\partial z} \right] dV.$$

Usein aine derivaatta lasketaan integraalista $\int g f dV$, jossa $g(\vec{r}, t)$ on tiheys ja $f(\vec{r}, t)$ on jokin muu massa kohti. Kaavat (3.3.60)... (3.3.62) pätevät tietenkin edelleen ($f \rightarrow gf$), mutta eräs hyvin yksinkertainen muoto saadaan soveltamalla kaa-

* ↓ vaa (3.3.62) ja tulon derivaattasääntöä:

$$\begin{aligned} \frac{d}{dt} \int g f dV &= \int \left[\frac{\partial (gf)}{\partial t} + \frac{\partial (gf v_x)}{\partial x} + \frac{\partial (gf v_y)}{\partial y} + \frac{\partial (gf v_z)}{\partial z} \right] dV \\ &= \int \left[g \frac{\partial f}{\partial t} + g v_x \frac{\partial f}{\partial x} + g v_y \frac{\partial f}{\partial y} + g v_z \frac{\partial f}{\partial z} + f \frac{\partial g}{\partial t} + f \frac{\partial (g v_x)}{\partial x} + f \frac{\partial (g v_y)}{\partial y} + f \frac{\partial (g v_z)}{\partial z} \right] dV \\ &= \int \left\{ g \left[\frac{\partial f}{\partial t} + v_x \frac{\partial f}{\partial x} + v_y \frac{\partial f}{\partial y} + v_z \frac{\partial f}{\partial z} \right] + f \left[\frac{\partial g}{\partial t} + \frac{\partial (g v_x)}{\partial x} + \frac{\partial (g v_y)}{\partial y} + \frac{\partial (g v_z)}{\partial z} \right] \right\} dV. \quad (3.3.63) \end{aligned}$$

* ↑

Jälkimmäinen kakarukulauseke häviää myöhemmin eritettävään ns. jatkavuusyhtälön (3.4.55) johdosta. Funktion aine derivaatan lausekkeen (3.3.10) perusteella saadaan siis tulos, Reynoldsin Lause (muoto 3)

$$\left. \begin{aligned} \boxed{\frac{d}{dt} \int \rho f dV} &= \int \rho \frac{df}{dt} dV, \\ &= \int \rho \left(\frac{\partial f}{\partial t} + v_x \frac{\partial f}{\partial x} + v_y \frac{\partial f}{\partial y} + v_z \frac{\partial f}{\partial z} \right) dV. \end{aligned} \right\} (3.3.64)$$

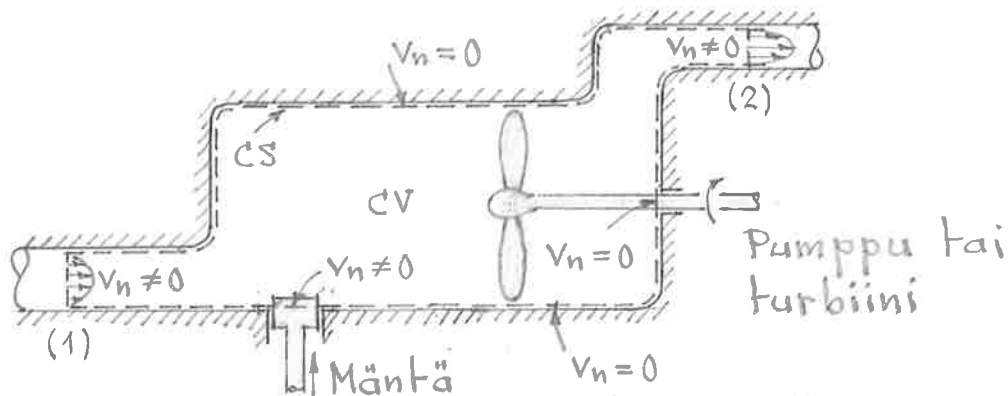
Kaava on helppo muistaa ajattelemalla, että se saadaan muodollisesti siirtämällä d/dt integraalimerkin sisäpuolelle ja ottamalla huomioon, että termin $\rho dV = dm$ derivaatta on massan säilymisen perusteella nollla. Todettakoon vielä, että eritetyt Reynoldsin Lauseen eri muodot pätevät myös vektorifunktiolle \vec{f} . Tällöin kuitenkin termi $f\vec{v}$ on kirjoitettava muotoon $\vec{v}\vec{f}$ ja se on tulkittava dyadikki eli tensoriksi.

Kaavaa (3.3.60) sovelletaan yleisten periaatteiden äärellisiä muotoja käyttäessä, koska tällöin pyritään siihen, että lausekkeissa esiintyisi mahdollisuuksien mukaan vain alueen reunalta kertyviä termejä, jotka ovat yleensä kohtuullisen helppoja arvioida tai mitata. Pysyvässä virtauksessa tilavuusintegraali $\int \partial f / \partial t \cdot dV$ häviää. Yleisten periaatteiden paikallisia muotoja johdettaessa sovelletaan taas kaavoja (3.3.62) ja (3.3.64), joissa ei esiinny pintaintegraaliosuuksia.

On syytä korostaa, että summe $v_n = \vec{n} \cdot \vec{v} = \vec{v} \cdot \vec{n}$ kaavassa (3.3.60) tarkoittaa kontrollialueen ko. hetkellä olevan aineen virtausnopeuden nor- maalikomponenttia kontrollipinnan kohdalla; ei siis suinkaan itse kontrollipinnan nopeutta (kontrollipintahan otettiin tässä erityksessä kiinteäksi).

Kontrollialue valitaan kussakin tehtävässä siten, että haluttu tieto saadaan — mikäli tämä on ylipäänsä äärellistä muotoa käyttäen ratkaistavissa — mahdollisimman helposti erille. Kontrollialueen valinnasta on vaikea antaa mitään yleisiä ohjeita. Vasta eri sovellutusten kautta saatu kokemus auttaa tässä.

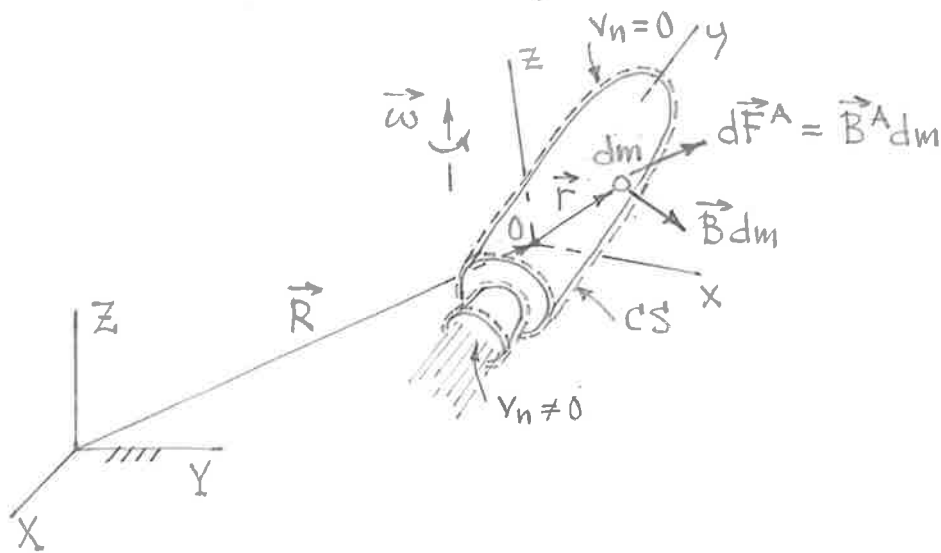
Kontrollipiinan ei tarvitse mitenkään välttämättä leikata pelkästään nestettä, vaan se voi kulkea myös kiinteästä aineesta muodostuvien osien (kuva 3.3.12) tai "tyhjän" (kuva 3.3.13) kautta. Kuva 3.3.12 esittää kaavi-



○ Kuva 3.3.12 Kontrollipiinan valinta.

ollisesti kuviteltua laitetta, johon neste saapuu putkivirtauksena leikkauksen 1 kautta ja poistuu putkivirtauksena leikkauksen 2 kautta. Neuvalla kontrollipinta on valittu seuraamaan laitteen kiinteitä seinämiä, joilla siis $V_n = 0$ olipa neste ideaalimesteen mallin mukaista tai todellista. Kontrollipinta leikkaa lisäksi kuvan esittämän liikkuvan männän ja pumpun pyörivän akselin. Edellisessä leikkauksessa $V_n \neq 0$ ja jälkimmäisessä $V_n = 0$, vaikkakin tangentiaalinen nopeuskomponentti $V_t \neq 0$.

Kuva 3.3.13 esittää tapausta - raketin liike -



Kuva 3.3.13 Suhteellinen liike.

jossa on tarpeen käyttää inertiaalikoordinaatiston suhteen liikkeessä olevaa kontrollialuetta. Kontrollipinta on asetettu seuraamaan raketin rungon ulkopintaa ja liikkumaan sen mukana. Ottamalla käyttöön kontrollialueen mukana liikkuva xyz -koordinaatisto, päästään jälleen edellä käsitellyyn, Reynoldsin lauseen johdossa esiintyneeseen tilanteeseen, jossa kontrollialue on valitun koordinaatiston suhteen kiinteä. Derivaatat kaavassa (3.3.60) on siis nyt laskettava xyz -koordinaatistossa ja esimerkiksi v_n tarkoittaa kontrollialueen tai mikä on sama xyz -koordinaatiston suhteen mitattua vintausnopeuden normaalikomponenttia. Yleisiä periaatteita (1.2.3) ... (1.2.6) sovellettaessa on muistettava ottaa huomioon näennäisvoimien (2.1.49) osuus. Kuvarna 3.3.13 samoin kuin kuvarna 2.1.8 on käytetty hieman kohdan D5.1.5 erityksistä poikkeavia merkintöjä.

* \downarrow Joskus on hyödyllistä ottaa käyttöön muotoaan muuttava kontrollialue. Tätä seikkaa

on selostettu mm. teoksessa (22). Kontrollialueiden käsitteilyn yhteydessä tässä erityksessä käytetty ainederivaatan merkki $d(\)/dt$ ei ole kaikissa tapauksissa tällöin oikein riittävä. Kaavan (3.3.60) täysin yleinen muoto esitetään kirjallisuudessa tavallisimmin seuraavasti

$$\boxed{\frac{D}{Dt} \int_{V(t)} f dV = \frac{d}{dt} \int_{CV} f dV + \int_{CS} f v_n dS.} \quad (3.3.65)$$

tässä $D(\)/Dt$ on ainederivaatta ja oikean puolen derivaatta tarkoittaa koko ajan kontrollialueen yli otetun integraalin $\int_{CV} f dV$ — joka on pelkästään ajan funktio, mutta joka ei siis yleensä kuvaa mitään suljetun systeemin suuretta päin vastoin kuin integraali $\int_{V(t)} f dV$ — muutosnopeutta. Oikean puolen jälkimmäisen termin suure v_n tarkoittaa kontrollipinnan suhteen mitatun virtausnopeuden normaalikomponenttia. Kaavana $v_n = \vec{n} \cdot \vec{v} - (w_{cs})_n$, jossa $(w_{cs})_n$ on kontrollipinnan siirtymisnopeus ko. pisteessä pinnan ulkoisen normaalin suunnassa. Kontrollipinta saa liikkua ja muuttua muotoaan mielivaltaisella tavalla. Kaava on venyttäin helppo johtaa vastaavaan tapaan kuin mitä käytettiin kaavan (3.3.57) yhteydessä. Jos kontrollialue on valitun koordinaatiston suhteen kiinteä, kaavan (3.3.65) derivaatta $d(\int_{CV} f dV)/dt$ voidaan kirjoittaa muotoon $\int_{CV} \partial f / \partial t \cdot dV$ ja päästään kaavaan (3.3.57).

Taulukossa 3.3.1 on esitetty yhteenveto Lagrangen ja Eulerin eritystapojen mukaisista kinematiikan tärkeimmistä kaavoista.

* Taulukko 3.3.1 Lagrangen ja Eulerin esitystapojen kinematiikkaa

Lagrangen esitystapa	Eulerin esitystapa
<p>Lagrangen esitystavassa riippumattomia muuttujina ovat ainekoordinaatit \vec{r}^0 (eli a, b, c) ja aika t. Tämä esitys on tavallisin kiinteän aineen mekaniikassa. Tehtävän matemaattisena määrittelyalueena on paikan suhteen referenssiaue V^0.</p>	<p>Eulerin esitystavassa riippumattomia muuttujina ovat spatiaalikoordinaatit \vec{r} (eli x, y, z) ja aika t. Tämä esitys on tavallisin nestemekaniikassa. Tehtävän matemaattisena määrittelyalueena on paikan suhteen kontrollialue Vissä.</p>
<p>Funktion $f(\vec{r}^0, t)$ ainederivaatta</p>	<p>Funktion $f(\vec{r}, t)$ ainederivaatta</p>
$\dot{f} \equiv \frac{df}{dt} = \frac{\partial f}{\partial t} \quad (1)$	$\dot{f} \equiv \frac{df}{dt} = \frac{\partial f}{\partial t} + \vec{v} \cdot \nabla f$ $= \frac{\partial f}{\partial t} + v_x \frac{\partial f}{\partial x} + v_y \frac{\partial f}{\partial y} + v_z \frac{\partial f}{\partial z} \quad (1')$
<p>Tilavuusintegraalin $I(t) = \int_{V^0} f(\vec{r}^0, t) dV^0$ ainederivaatta</p>	<p>Tilavuusintegraalin $I(t) = \int_{V(t)} f(\vec{r}, t) dV$ ainederivaatta</p>
$\dot{I} \equiv \frac{dI}{dt} \equiv \frac{d}{dt} \int_{V^0} f dV^0 = \int_{V^0} \frac{\partial f}{\partial t} dV^0 \quad (2)$	$\dot{I} \equiv \frac{dI}{dt} \equiv \frac{d}{dt} \int_V f dV$ $= \int \frac{\partial f}{\partial t} dV + \int f v_n dS, \quad (2')$ $= \int \frac{\partial f}{\partial t} dV + \int f (n_x v_x + n_y v_y + n_z v_z) dS, \quad (2'')$
	$= \int \left[\frac{\partial f}{\partial t} + \vec{v} \cdot (\nabla f) \right] dV, \quad (3')$ $= \int \left[\frac{\partial f}{\partial t} + \frac{\partial (f v_x)}{\partial x} + \frac{\partial (f v_y)}{\partial y} + \frac{\partial (f v_z)}{\partial z} \right] dV, \quad (3'')$
	$\frac{d}{dt} \int_V f dV = \int_V \frac{df}{dt} dV \quad (4')$
<p>Yllä olevat kaavat pätevät myös vektorifunktiolle \vec{f}. Kaavan (1') termi $\vec{v} \cdot \nabla \vec{f}$ on tällöin tensori. Samoin kaavan (3') termi $f \vec{v}$ on kirjoitettava järjestyksessä $\vec{v} \vec{f}$ ja tulkittava tensoriksi.</p>	
<p>Partikkelin rata (\vec{r}^0 on kiinteä, t muuttuu)</p>	<p>Ei yksinkertaista esitystä. Periaatteessa ratkaistavissa differentiaalilukemista</p>
$\vec{r} = \vec{r}^0 + \vec{u} \quad (5)$	$\frac{d\vec{r}}{dt} = \vec{v}(\vec{r}, t), \quad (5')$
<p>Siirtymä</p>	<p>jossa \vec{v} on annettu. Ei yksinkertaista esitystä</p>
$\vec{u} = \vec{r} - \vec{r}^0$ $= (x-a)\vec{i} + (y-b)\vec{j} + (z-c)\vec{k}, \quad (6)$ $= u_a \vec{i} + u_b \vec{j} + u_c \vec{k}.$	

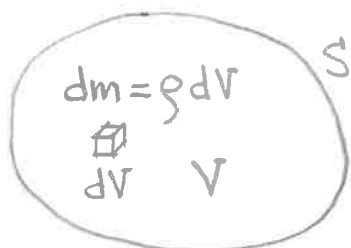
Taulukko 3.3.1 Jatkoa

Lagrangen esitystapa	Eulerin esitystapa				
<p>Nopeus</p> $\left. \begin{aligned} \vec{v} = \dot{\vec{r}} = \dot{\vec{u}} = \frac{\partial \vec{u}}{\partial t}, \\ = \frac{\partial u_a}{\partial t} \vec{i} + \frac{\partial u_b}{\partial t} \vec{j} + \frac{\partial u_c}{\partial t} \vec{k}, \\ = v_a \vec{i} + v_b \vec{j} + v_c \vec{k}. \end{aligned} \right\} (7)$	<p>Nopeuskenttä</p> $\left. \begin{aligned} \vec{v} = \vec{v}(\vec{r}, t), \\ = v_x \vec{i} + v_y \vec{j} + v_z \vec{k} \end{aligned} \right\} (7')$ <p>on Eulerin esityksen lähtökohtana.</p>				
<p>Kiihtyvyys</p> $\left. \begin{aligned} \vec{a} = \dot{\vec{v}} = \ddot{\vec{r}} = \ddot{\vec{u}} = \frac{\partial^2 \vec{u}}{\partial t^2}, \\ = \frac{\partial^2 u_a}{\partial t^2} \vec{i} + \frac{\partial^2 u_b}{\partial t^2} \vec{j} + \frac{\partial^2 u_c}{\partial t^2} \vec{k}, \\ = a_a \vec{i} + a_b \vec{j} + a_c \vec{k}, \end{aligned} \right\} (8)$ $\left. \begin{aligned} a_a = \frac{\partial^2 u_a}{\partial t^2}, \\ a_b = \frac{\partial^2 u_b}{\partial t^2}, \\ a_c = \frac{\partial^2 u_c}{\partial t^2}. \end{aligned} \right\} (9)$	<p>Kiihtyvyys</p> $\left. \begin{aligned} \vec{a} = \dot{\vec{v}} = \frac{\partial \vec{v}}{\partial t} + \vec{v} \cdot \nabla \vec{v}, \\ = \frac{\partial \vec{v}}{\partial t} + v_x \frac{\partial \vec{v}}{\partial x} + v_y \frac{\partial \vec{v}}{\partial y} + v_z \frac{\partial \vec{v}}{\partial z}, \\ = a_x \vec{i} + a_y \vec{j} + a_z \vec{k}, \end{aligned} \right\} (8')$ $\left. \begin{aligned} a_x = \frac{\partial v_x}{\partial t} + v_x \frac{\partial v_x}{\partial x} + v_y \frac{\partial v_x}{\partial y} + v_z \frac{\partial v_x}{\partial z}, \\ a_y = \frac{\partial v_y}{\partial t} + v_x \frac{\partial v_y}{\partial x} + v_y \frac{\partial v_y}{\partial y} + v_z \frac{\partial v_y}{\partial z}, \\ a_z = \frac{\partial v_z}{\partial t} + v_x \frac{\partial v_z}{\partial x} + v_y \frac{\partial v_z}{\partial y} + v_z \frac{\partial v_z}{\partial z}. \end{aligned} \right\} (9')$				
<p>Muodonmuutoskomponentit (Green-Lagrange)</p> $\left. \begin{aligned} E_{aa} = \frac{\partial u_a}{\partial a} + \frac{1}{2} \left[\left(\frac{\partial u_a}{\partial a} \right)^2 + \left(\frac{\partial u_b}{\partial a} \right)^2 + \left(\frac{\partial u_c}{\partial a} \right)^2 \right], \\ \dots \\ E_{bc} = E_{cb} = \frac{1}{2} \left[\frac{\partial u_c}{\partial b} + \frac{\partial u_b}{\partial c} + \frac{\partial u_a \partial u_a}{\partial b \partial c} + \frac{\partial u_b \partial u_b}{\partial a \partial c} + \frac{\partial u_c \partial u_c}{\partial b \partial c} \right] \end{aligned} \right\} (10)$	<p>Ei yksinkertaista esitystä</p>				
<p>Infinitiesimaaliset rotaatiokomponentit</p> $\left. \begin{aligned} \omega_a = \frac{1}{2} \left(\frac{\partial u_c}{\partial b} - \frac{\partial u_b}{\partial c} \right), \\ \omega_b = \frac{1}{2} \left(\frac{\partial u_a}{\partial c} - \frac{\partial u_c}{\partial a} \right), \\ \omega_c = \frac{1}{2} \left(\frac{\partial u_b}{\partial a} - \frac{\partial u_a}{\partial b} \right). \end{aligned} \right\} (11)$	<p>Kulmanopeuskomponentit</p> $\left. \begin{aligned} \omega_x = \frac{1}{2} \left(\frac{\partial v_z}{\partial y} - \frac{\partial v_y}{\partial z} \right), \\ \omega_y = \frac{1}{2} \left(\frac{\partial v_x}{\partial z} - \frac{\partial v_z}{\partial x} \right), \\ \omega_z = \frac{1}{2} \left(\frac{\partial v_y}{\partial x} - \frac{\partial v_x}{\partial y} \right). \end{aligned} \right\} (11')$				
<p>Infinitiesimaaliset "insinööri"muodonmuutoskomponentit</p> $\left. \begin{aligned} \epsilon_a = \frac{\partial u_a}{\partial a}, \quad \gamma_{bc} = \gamma_{cb} = \frac{\partial u_b}{\partial c} + \frac{\partial u_c}{\partial b}, \\ \epsilon_b = \frac{\partial u_b}{\partial b}, \quad \gamma_{ca} = \gamma_{ac} = \frac{\partial u_c}{\partial a} + \frac{\partial u_a}{\partial c}, \\ \epsilon_c = \frac{\partial u_c}{\partial c}, \quad \gamma_{ab} = \gamma_{ba} = \frac{\partial u_a}{\partial b} + \frac{\partial u_b}{\partial a}. \end{aligned} \right\} (12)$	<p>Muodonmuutosnopeuskomponentit</p> $\left. \begin{aligned} d_x = \frac{\partial v_x}{\partial x}, \quad g_{yz} = g_{zy} = \frac{\partial v_y}{\partial z} + \frac{\partial v_z}{\partial y}, \\ d_y = \frac{\partial v_y}{\partial y}, \quad g_{zx} = g_{xz} = \frac{\partial v_z}{\partial x} + \frac{\partial v_x}{\partial z}, \\ d_z = \frac{\partial v_z}{\partial z}, \quad g_{xy} = g_{yx} = \frac{\partial v_x}{\partial y} + \frac{\partial v_y}{\partial x}. \end{aligned} \right\} (12')$				
<p>Jotta Lagrangen ja Eulerin esitysten välinen ero tulisi selvästi esille, on käytetty eri tunnuksia ainekoordinaateille a, b, c ja spatiaalikoordinaateille x, y, z. Kun toimitaan vain jommankumman koordinaatiston avulla, käytetään usein seuraavia tunnuksia</p> <table border="0" style="width: 100%;"> <tr> <td style="width: 50%;">$a \rightarrow x, b \rightarrow y, c \rightarrow z$</td> <td style="width: 50%;">$v_x \rightarrow u, v_y \rightarrow v, v_z \rightarrow w$</td> </tr> <tr> <td>$u_a \rightarrow u, u_b \rightarrow v, u_c \rightarrow w$</td> <td>$d_x \rightarrow \epsilon_x, g_{yz} \rightarrow \gamma_{yz}, \dots$</td> </tr> </table>		$a \rightarrow x, b \rightarrow y, c \rightarrow z$	$v_x \rightarrow u, v_y \rightarrow v, v_z \rightarrow w$	$u_a \rightarrow u, u_b \rightarrow v, u_c \rightarrow w$	$d_x \rightarrow \epsilon_x, g_{yz} \rightarrow \gamma_{yz}, \dots$
$a \rightarrow x, b \rightarrow y, c \rightarrow z$	$v_x \rightarrow u, v_y \rightarrow v, v_z \rightarrow w$				
$u_a \rightarrow u, u_b \rightarrow v, u_c \rightarrow w$	$d_x \rightarrow \epsilon_x, g_{yz} \rightarrow \gamma_{yz}, \dots$				

3.4 Massan säilyminen

3.4.1 Äärellinen muoto

Yleinen tapaus. Massan säilymisen periaate on luonteeltaan puhtaasti kinemaattinen, joten on paikallaan käyttää tätä aksioomaa jo tässä vaiheessa.



○ Kuva 3.4.1 Kontinuumikappale.

Kappaleen kokonaismassa (vt. kuva 3.4.1)

$$m = \int \rho dV. \quad (3.4.1)$$

Massan säilymisen periaatteen (1.2.2) perusteella $\dot{m} = 0$ eli

$$\frac{d}{dt} \int \rho dV = 0. \quad (3.4.2)$$

Soveltamalla tähän Reynoldsin lausetta (3.3.60) ($f \hat{=} \rho$) saadaan massan säilymisen periaatteen äärellinen muoto

$$\boxed{\int \frac{\partial \rho}{\partial t} dV + \int \rho v_n dS = 0.} \quad (3.4.3)$$

Sume $\int \rho v_n dS$ on ms. massavirta (engl. mass flow rate) (kg/s) kontrollipinnan läpi alueesta ulos ja ρv_n on ms. massavirran tiheys ($\text{kg}/(\text{s m}^2)$) (ks. kaavaan (3.3.59) liittyvä teksti).

Pyörivässä virtauksessa ($\rho = \text{vakio}$ kussakin avaruuden pisteessä) $\partial \rho / \partial t = 0$ ja yhtälö (3.4.3) yksinkertaistuu muotoon

$$\int \rho v_n dS = 0. \quad (3.4.4)$$

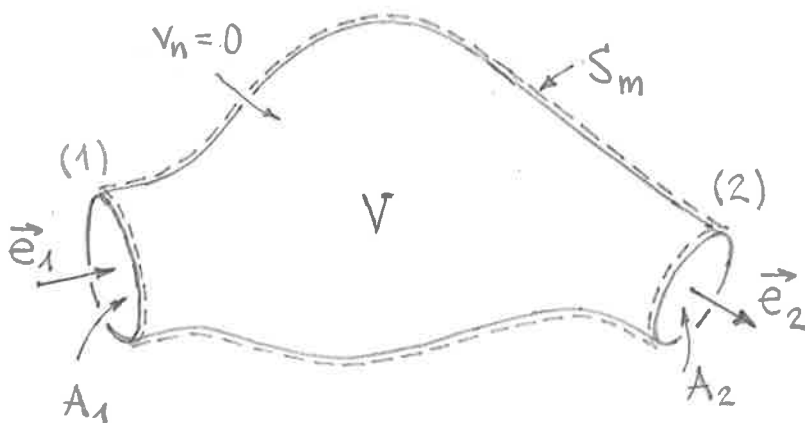
Vakiotiheysnesteelle ($\rho = \text{vakio}$ sekä ajan että paikan suhteen) $\partial \rho / \partial t = 0$ ja ρ voidaan ottaa lisäksi integraalimerkin ulkopuolelle, joten yhtälöstä (3.4.3) saadaan myös epästationaarissa tapauksessa pätevä muoto

$$\boxed{\int v_n dS = 0.} \quad (3.4.5)$$

Termi $\int v_n dS$ on ns. tilavuusvirta (engl. volume flow rate) (m^3/s) kontrollipinnan läpi alueesta ulos, joka siis häviää vakiotiheysnesteen virtauksessa.

Standardikontrollialue, $[0(1)]$. Kaavojen (3.4.3)...(3.4.5) saamia yksityiskohtaisia muotoja tullaan tarkastelemaan tässä eräissä erikoistapauksissa, joista ensimmäinen liittyy ns. standardikontrollialueeseen.

Kuva 3.4.2 esittää käytännössä melko usein



Kuva 3.4.2. Standardikontrollialue.

syntyvää kontrollialueen valintaa. Kontrollipinta muodostuu kohdissa 1 ja 2 tasopinnoista; pinta-alat A_1 ja A_2 . Kontrollipinnan loppuosaa $S - A_1 - A_2$ mimitetään tässä ja

jatkossa vaippapinnaksi tai lyhyemmin vaipaksi (engl. mantle) ja sitä merkitään tunnukseksi S_m . Täten mielivaltainen pintaintegraali

$$\int F dS = \int_{S_m} F dS + \int_{A_1} F dA + \int_{A_2} F dA. \quad (3.4.6)$$

jos tasopintoja on useita, kaava laajenee muotoon

$$\int F dS = \int_{S_m} F dS + \sum \int_{A_i} F dA, \quad (3.4.7)$$

- jossa käytettyjen tunnuksien merkitys on ilmeinen. Huomautettakoon, että kuten kohdassa 2.2 tässäkin tullaan tasopintaa merkitsemään tunnukseksi A .

On syytä sopia tietyistä merkkisäännöistä. Valitaan kullakin tasopinnalla mielivaltaisella tavalla positiivinen puoli ja asetetaan yksikkönormaalivektori \vec{e} osoittamaan tähän suuntaan. Usein \vec{e} pyritään valitsemaan siten, että se osoittaa otakutteen virtaussuuntaan

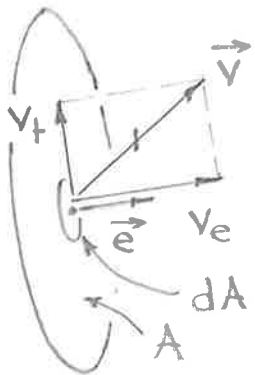
- päin. Koska yksikkönormaalivektori \vec{n} merkitsee kontrollipinnan ulospäin suunnattua vektoria, \vec{e} on aina joko \vec{n} tai $-\vec{n}$.

Palataan kuvan 3.4.2 esittämään tapaukseen. Neste virtaa alueeseen tason 1 — tai sanotaan myös poikkileikkauksen 1 kautta — ja poistuu alueesta poikkileikkauksen 2 kautta. Kontrollipinnan vaippaosan S_m läpi ei tapahdu virtausta eli siellä $v_n = 0$. Kirjataan tämä muullakin käytettäväksi numerolla varustetuksi otakumaksi

$$0(1): \boxed{v_n = 0 \quad S_m: \ll \ddot{o}.$$

Stokruman (1) toteuttava vaiippa muodostuu tavallisesti jonkin laitteen tai putken seinämästä tai yleisemmin se on tietyn virtaputken vaippapinta. Kuvan 3.4.2 tyyppistä kontrollialuetta, joka toteuttaa lisäksi stokruman (1), tullaan nimittämään tässä pa-
remman piirteessä standardikontrollialueeksi. Tämä määrittely ei ole yleisessä käytössä. (Joskus stokrumasta (1) voidaan tehdä tietyllä alueella erikseen mainittu poikkeus; vrt. kuvan 3.3.12 määntä.)

Kuvan 3.4.2 esittämässä tapauksessa vektorin \vec{e} suunnaksi tullaan valitsemaan suunta $1 \rightarrow 2$, joten tässä $\vec{e}_1 = -\vec{n}_1$ ja $\vec{e}_2 = \vec{n}_2$. Indeksit viittaavat ko. poikkileikkauksipinnalla oleviin suuntiin. Edelleen otetaan käyttöön poikkileikkauksessa



Kuva 3.4.3

vallitseva virtausnopeuden normaalikomponentti vektorin \vec{e} avulla määriteltynä (vrt. kaava (3.3.58))

$$v_e = \vec{e} \cdot \vec{v}, \quad (3.4.8)$$

jolloin

$$\left. \begin{aligned} (v_e)_1 &= -(v_n)_1, \\ (v_e)_2 &= (v_n)_2. \end{aligned} \right\} \quad (3.4.9)$$

Etenkin putkivirtauksen yhteydessä on tapana toimia poikkileikkauksen suhteen laskettujen keskimääräisten suureiden avulla. Määritellään yleisesti suureen f ns. pinta-alakeskiarvo (engl. surface average) $\langle f \rangle$ kaavalla (ks. lähde (23))

$$\langle f \rangle = \frac{1}{A} \int f dA, \quad (3.4.10)$$

jossa A on ko. poikkileikkauksen pinta-ala.
Vastaavasti siis myös

$$\int f dA = \langle f \rangle A. \quad (3.4.11)$$

Otetaan vielä käyttöön seuraavat tunnukset.
Poikkileikkauksen läpi vektorin \vec{e} suuntaan
kulkevaa massavirtaa merkitään tunnuksella
 w . Vastaavaa tilavuusvirtaa merkitään tun-
nuksella Q . Täten siis

$$w = \int \rho v_e dA = \langle \rho v_e \rangle A, \quad (3.4.12)$$

ja

$$Q = \int v_e dA = \langle v_e \rangle A. \quad (3.4.13)$$

Hydrauliikassa nimen tilavuusvirta sijasta
käytetään tavallisesti nimeä virtaama (
engl. discharge).

Kirjataan seuraava jatkossa usein esiintyvä
otaksuma

$$0(2): \boxed{\rho = \text{vakio } A:lla.}$$

Havainnot ja laskelmat ovat osoittaneet, että
etenkin ykridimensioisessa virtauksessa homogee-
nisen nesteen tiheys on todellakin yleensä melko
vakio kullakin poikkileikkauksella, vaikka
tiheys vaihtelisivikin virtauksen suunnassa. Vakio-
tiheysmestellä otaksuma (2) on automaatti-
serti voimassa.

Otaksumasta (2) seuraa, että

$$\int \rho f dA = \rho \int f dA \quad [0(2)] \quad (3.4.14)$$

ja

$$\langle \rho f \rangle = \rho \langle f \rangle. \quad [0(2)] \quad (3.4.15)$$

Samoin siis massavirta

$$w = \rho \langle v_e \rangle A = \rho Q. \quad [0(2)] \quad (3.4.16)$$

Kiijataan vielä kolmas otakroma

0(3): Yhdensuuntaisvirtaus A:lla.

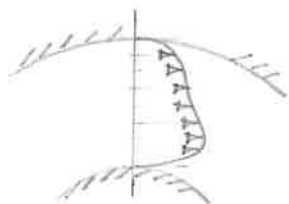
Etenkin kinetiikan yhteydessä standardikontrolli-alueen mielekkään käytön edellytyksenä on, että poikkileikkaukset 1 ja 2 voidaan valita kohdista, joissa virtaus on oletettavasti riittäväällä tarkkuudella yhdensuuntaisvirtausta (engl. parallel flow) ts. virtaviivat ovat yhdensuuntaisia (suoria). Tällöin siis koko poikkileikkauksen alueella pätee likimain (ks. kuva 3.4.3)

$$\text{eli } \vec{v} = v_e \vec{e} \equiv v \vec{e}, \quad [0(3)] \quad (3.4.17)$$

$$v_e = v, \quad v_t = 0, \quad [0(3)] \quad (3.4.18)$$

kun poikkileikkaus on otettu kohtisuoraan virtaussuuntaa vastaan. Suure v on ns. algebraalinen nopeus (vt. kaava (3.3.26)) vaikkakin usein käytännössä puhutaan vain nopeudesta. Termi v_t on ns. tangentiaalinen nopeus tai tangentiaalinen nopeus. Esimerkiksi putkivirtaus on yleensä likimain yhdensuuntaisvirtausta, koska putken seinämät rajoittavat virtaussuunnan likimain putken akselisuuntaiseksi.

Edellä esitetystä yhdensuuntaisvirtauksen määritelmässä vaaditaan tavallisesti — kuten on merkitty subkuihin — että virtaviivat ovat tietyn poikkileikkauksen kohdella päitä yhdensuuntaisia myös likimain suoria eli että virta-



Kuva 3.4.4

viivojen kaarevuus on pieni. Kun tätä korostetaan, tullaan jatkossa puhumaan suorasta yhdensuuntaisuutauksesta. Kinetiikassa osoitetaan, että vakiotiheyden painejakautuma on kussakin poikkileikkauksessa hydrostaattinen suorassa yhdensuuntaisuutauksesta. Tätä seikkaa käytetään kinetiikassa paljon hyväksi. Jos viivat ovat kaarevia, näin ei enää ole asiaa laita. Kinematiikan kannalta sama muoto voidaan kuitenkin jättää tässä pois yhdensuuntaisuutauksen määritelmästä, sillä vain kaavat (3.4.17) ja (3.4.18) ovat nyt oleellisia (vt. kuva 3.4.4).

Otaksumasta (3) seuraa, että aikaisemmissa olleissa kaavoissa $v_e \rightarrow v$ ja saadaan mm.

$$w = \int \rho v dA = \langle \rho v \rangle A, \quad [0(3)] \quad (3.4.19)$$

$$Q = \int v dA = \langle v \rangle A, \quad [0(3)] \quad (3.4.20)$$

$$w = \rho \langle v \rangle A (= \rho Q.) \quad [0(2), 0(3)] \quad (3.4.21)$$

Suuretta

$$\boxed{\langle v \rangle = \frac{Q}{A}} = \frac{1}{A} \int v dA \quad [0(3)] \quad (3.4.22)$$

nimitetään tavallisesti poikkileikkauksessa vallitsevaksi kerkimääräiseksi nopeudeksi tai lyhyemmin keskinopeudeksi (engl. average velocity); tarkemmin ottaen siis tietty algebrallinen väkhti. Samaa nimitystä voidaan myös käyttää kirjoittamalla kaava (3.4.22) ilman otaksumaa (3), jolloin $v \rightarrow v_e$.

Otaksumat (2) ja (3) on esitetty jo tässä kohdassa lähinnä jatkoa silmällä pitäen. johdetaan nyt yleisen kaavan (3.4.3) samaa muoto-

standardikontrollialueen tapauksessa. Tehdään aluksi vain otaksuma (1). Kaavoja (3.4.6), (3.4.9) ja (3.4.12) soveltamalla saadaan

$$\int \frac{\partial g}{\partial t} dV + \int_{S_m} g v_n dS + \int_{A_1} g v_n dA + \int_{A_2} g v_n dA = 0,$$

$$\int \frac{\partial g}{\partial t} dV - \int_{A_1} g v_e dA + \int_{A_2} g v_e dA = 0,$$

$$\boxed{\int \frac{\partial g}{\partial t} dV - w_1 + w_2 = 0.} \quad [0(1)] \quad (3.4.23)$$

○ Pysyvänä virtauksena $\partial g / \partial t = 0$ ja saadaan yhtälö

$$\boxed{w_1 = w_2} = w = \text{vakio} \quad [0(1)] \quad (3.4.24)$$

eli poikkileikkauksen 1 ja 2 läpi kulkeva massavirta on yhtä suuri.

Vakiotiheysten virtauksena $\partial g / \partial t = 0$ ja g voidaan ottaa integraalimerkkien ulkopuolelle (0(2) toteutuu itsestään), joten saadaan supistamalla vielä g :lla

$$\boxed{Q_1 = Q_2} = Q = \text{vakio} \quad [0(1)] \quad (3.4.25)$$

eli poikkileikkauksen 1 ja 2 läpi kulkeva virtaama on yhtä suuri (kullakin hetkellä myös epästationaarisessa virtauksessa).

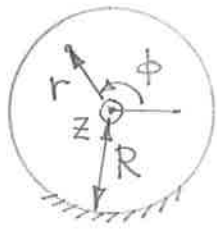
Soveltamalla kaavaa (3.4.20) yhtälöön (3.4.25) yhtälöön (3.4.25) syntyy havainnollinen tulos

$$\boxed{\frac{\langle v \rangle_1}{\langle v \rangle_2} = \frac{A_2}{A_1}} \quad [0(1), 0(3)] \quad (3.4.26)$$

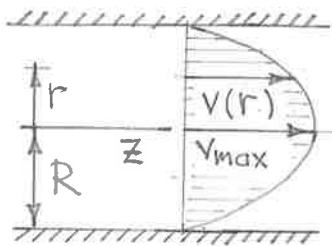
eli keskinopeudet ovat kääntäen verrannollisia

vastaavien poikkileikkauspinta-aloihin.

Esimerkki 3.4.1. Ympyräpoikkileikkaus. Tarkas-



(a)



tellaan suoraa ympyräpoikkileikkauksen omaavaa putkea. Käytetään sylinterikoordinaatistoa (kuva (a)). Pitkässä putkessa virtaus on

yhdensuuntaisvirtausta eli vain komponentti $v_z \equiv v \neq 0$ ja symmetriasyistä v riippuu vain koordinaatista r eli $v = v(r)$.

Mittaukset — ja laminaarisessa virtauksessa myös teoria — ovat osoittaneet, että nopeuden jakautuma poikkileikkauksessa on (1) laminaarisessa virtauksessa muotoa

$$v(r) = \left[1 - \left(\frac{r}{R}\right)^2\right] v_{\max} \quad (a)$$

ja (2) turbulenttisisä virtauksessa likimain muotoa

$$v(r) = \left(1 - \frac{r}{R}\right)^{1/n} v_{\max}, \quad (b)$$

jossa $n = 7$ ja $v_{\max} = v(0)$. Määritetään kummassakin tapauksessa suureen v_{\max} avo keskinopeuteen $\langle v \rangle$ verrattuna.

(1). laminaarisessa virtauksessa

$$\begin{aligned} \int_A v dA &= \int_0^R v(r) 2\pi r dr = 2\pi \int_0^R \left[1 - \left(\frac{r}{R}\right)^2\right] r dr \cdot v_{\max} \\ &= 2\pi \int_0^R \left(r - \frac{r^3}{R^2}\right) dr \cdot v_{\max} = 2\pi \left[\frac{1}{2} r^2 - \frac{1}{4} \frac{r^4}{R^2} \right]_0^R v_{\max} \\ &= 2\pi R^2 \left(\frac{1}{2} - \frac{1}{4}\right) v_{\max} = \frac{1}{2} \pi R^2 v_{\max}. \end{aligned} \quad (c)$$

Poikkileikkauksen pinta-ala $A = \pi R^2$, joten keskinopeus (ks. kaava (3.4.22))

$$\langle v \rangle = \frac{1}{A} \int v dA = \frac{1}{2} v_{\max} \quad (d)$$

ja

$$v_{\max} = 2 \langle v \rangle. \quad (e)$$

(2). Turbulenttisessa virtauksessa

$$\int_A v dA = \int_0^R v(r) 2\pi r dr = 2\pi \int_0^R \left(1 - \frac{r}{R}\right)^{1/n} r dr \cdot v_{\max}. \quad (f)$$

* \downarrow Ottamalla käyttöön apumuuttuja $t = \left(1 - \frac{r}{R}\right)^{1/n}$, saadaan

$$r = R(1 - t^n), \quad dr = -Rn t^{n-1} dt \quad (g)$$

ja integraaliksi tulee

$$\begin{aligned} \int_A v dA &= 2n\pi R^2 \int_1^0 (t^{2n} - t^n) dt \cdot v_{\max} \\ &= 2n\pi R^2 \left[\frac{1}{2n+1} t^{2n+1} - \frac{1}{n+1} t^{n+1} \right]_1^0 \cdot v_{\max} \\ &= 14\pi R^2 \left(-\frac{1}{15} + \frac{1}{8} \right) v_{\max} = \frac{49}{60} \pi R^2 v_{\max}. \quad (h) \end{aligned}$$

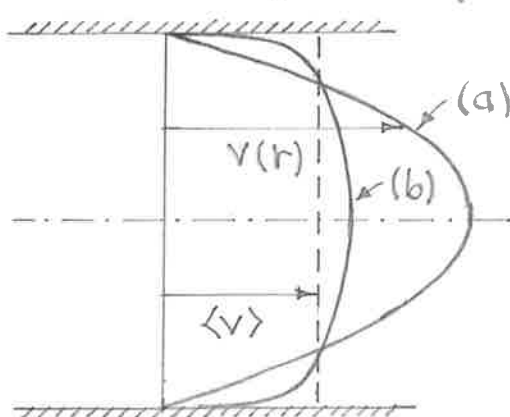
Täten keskinopeus

$$\langle v \rangle = \frac{1}{A} \int v dA = \frac{49}{60} v_{\max} \approx 0,817 v_{\max} \quad (i)$$

ja

$$v_{\max} = \frac{60}{49} \langle v \rangle \approx 1,22 \langle v \rangle. \quad (j)$$

Kuvaan (b) on piirretty näkyviin kaavojen (a) ja

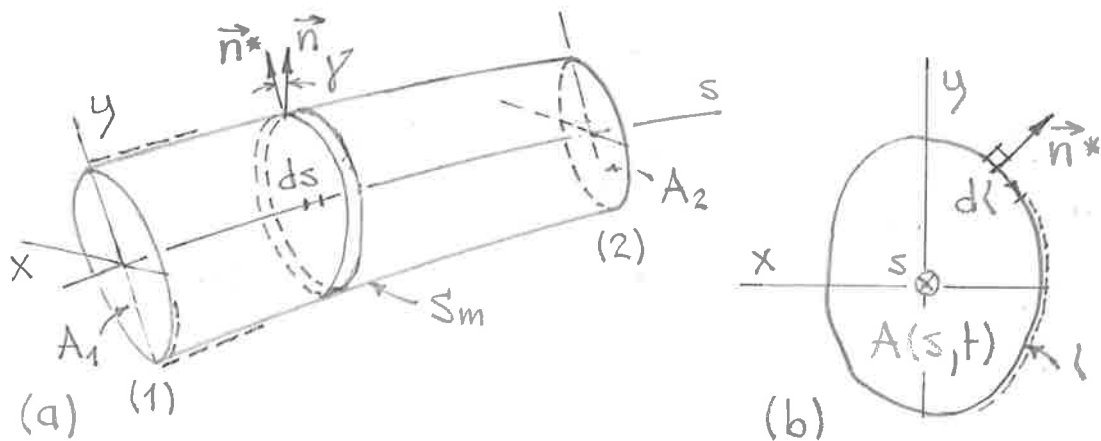


(b)

(b) mukaiset nopeus-jakautumat ottaen kummassakin tapauksessa keskinopeus samaksi. Tulokset on saatu kokoonpuristamattomalle Newtonin nesteelle. Turbulenttisessa

Virtauksen nopeusjakautuma on paljon tasaisempi kuin laminaarisen. Tämä on tyypillistä myös muillekin poikkileikkauksille kuin ympyrälle. Kaava (b) ei ole enää realistinen seinämän välittömässä läheisyydessä

Yleinen yksidimensioinen virtaus, [0(2), 04]. Tarkastellaan kuvan 3.4.5 esittämää kontrollialuetta, joka on tyypiltään putkimainen. Käy-



Kuva 3.4.5 (a) Kontrollialue, (b) Tyypillinen poikkileikkaus.

- tetään paikkakoordinaattina putken suunnassa kulkevaa sopivasti valittua käyrää - jota tullaan nimittämään jatkossa virtausakseliksi - pitkin mitattua kaareupituutta s . Virtausakseli voi olla varsinaisessa putkivirtauksessa esimerkiksi poikkileikkauspintojen pintakeskiöiden kautta kulkeva käyrä ja avoimavirtauksessa esimerkiksi uoman pohjaa seuraava käyrä. Kukin ns. poikkileikkauspinta tai poikkileikkaus tarkoittaa taas ainakin likimain akselia vastaan kohtisuorassa olevan tason nite- aluetta,

joka jää vainan S_m ja ko. tason leikkauskäyrän Γ sisäpuolelle (kuva 3.4.5 (b)).

- Kunkin poikkileikkauksen alueella oleva piste voidaan esittää esimerkiksi x - ja y -koordinaattien avulla (kuva 3.4.5 (b)). Täten kontrollialueessa määriteltävien funktioiden riippuvuus on yleisesti tyyppiä $f(x, y, s, t)$. Jos kuitenkin toimitaan lähinnä pinta-alakerkkojen avulla, riippuvuus koordinaateista x ja y häviää ja päästään tyyppiä $\langle f \rangle(s, t)$ olevien funktioiden käsitteeseen. Koska tällöin yksi paikkakoordinaatti riittää, puhutaan vastaavasti yhdimensioisesta viitauksesta.

Jatkos kannalta on tarpeen tehdä seuraava otaksuma

$$0(4): \boxed{\text{Virtausakselin kaarevuus on pieni.}}$$

- Tästä otaksumasta seuraa, että voidaan tehdä approksimaatiot (ks. tarkemmin kohta L.2)

$$\int f dV \approx \int_1^2 (\int f dA) ds = \int_1^2 \langle f \rangle A ds, [0(4)] \quad (3.4.27)$$

$$\begin{aligned} \int f dS &= \int_{S_m} f dS + \int_{A_1} f dA + \int_{A_2} f dA \\ &\approx \int_1^2 \left(\int \frac{f}{\cos \varphi} dl \right) ds + \langle f \rangle_1 A_1 + \langle f \rangle_2 A_2. [0(4)] \quad (3.4.28) \end{aligned}$$

Nämä kaavat ovat täysin tarkkoja suoraa akselin tapauksessa. Jos geometria on pyörähdysymmetrinen, φ ja $\cos \varphi$ ovat kussakin poikki-

leikkauksessa vakioita ja $\cos \gamma$ voidaan viedä piiriin yli otetun integraalin ulkopuolelle, jos geometria on prismaattinen, $\rho = 0$ ja $\cos \gamma = 1$. Käytännössä yksidimensioisessa virtauksessa päästään lähelle tärkeän otakuman (3) toteutumista vain, jos poikkileikkaus muuttuu hitaasti s :n suhteen, jolloin $\gamma \approx 0$ ja $\cos \gamma \approx 1$. Kirjallisuudessa ei ole eritetty mitään selkeitä ohjeita otakuman (4) kaarevuuden numeroarvoista.

lütteessä L.2 on osoitettu, että Reynoldsin lause (3.3.60) saa kaavojen (3.4.27) ja (3.4.28) avulla lopuksi muodon

$$\frac{d}{dt} \int F dV \approx \int_1^2 \frac{\partial}{\partial t} (\langle F \rangle A) ds + [\text{O}(4)] \quad (3.4.29)$$

$$- \langle F v_e \rangle_1 A_1 + \langle F v_e \rangle_2 A_2.$$

(Tässä on lisäksi otakuttu, että neste ei saa suotavirtauksena tai sateena tulevaa osuutta vaippapinnan kautta. Jos tämä osuus tulee ottaa huomioon, on sovellettava täydellistä kaavaa (L.2.15).)

Kohtuullisen yksinkertaisten kaavojen saavuttamiseksi tehdään vielä otakuma (2) eli g on vakio kullakin poikkileikkauspinnalla, jolloin riippuvuus $g = g(x, y, s, t)$ tulee muotoon

$$g = g(s, t). \quad [\text{O}(2)] \quad (3.4.30)$$

johdetaan nyt yleisen yhtälön (3.4.2) saama

muoto (kaavana (3.4.29) $f \hat{=} g$)

$$\begin{aligned} \frac{d}{dt} \int \rho dV &\approx \int_1^2 \frac{\partial}{\partial t} (\langle \rho \rangle A) ds - \langle \rho v_e \rangle_1 A_1 + \langle \rho v_e \rangle_2 A_2 \\ &= \int_1^2 \frac{\partial}{\partial t} (\rho A) ds - \rho_1 \langle v_e \rangle_1 A_1 + \rho_2 \langle v_e \rangle_2 A_2 = 0 \end{aligned} \quad (3.4.31)$$

eli

$$\boxed{\int_1^2 \frac{\partial}{\partial t} (\rho A) ds - \rho_1 Q_1 + \rho_2 Q_2 = 0.} \quad [0(2), 0(4)] \quad (3.4.32)$$

fohdossa on siis käytetty hyväksi kaavan (3.4.30) tai kaavan (3.4.15) lisäksi virtaaman Q määritelmää (3.4.13).

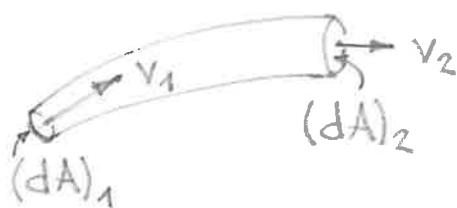
Yleisestä yhtälöstä (3.4.32) saadaan helposti erille erikoistapauksia, kun otetaan huomioon, että esimerkiksi pysäyssä virtauksessa $\rho(s, t) = \rho(s)$ ja $A(s, t) = A(s)$, vakioitiheyden virtauksessa $\rho(s, t) = \rho = \text{vakio}$. Näitä tuloksia on esitetty taulukossa 3.4.1.

Yksidimensioisen virtauksen tärkeä sovellutusalue on ns. putkivirtaus (engl. pipe flow), jossa vaippapinta S_m on minkä tahansa tietyn nestettä täynnä olevan putken sisäpinta. Yleensä voidaan lisäksi otaksua ns. jäykän seinämän (engl. rigid wall) tapaus, jolloin $A(s, t) = A(s)$. Vastakohtainen ns. joustavan seinämän (engl. flexible wall) otaksunta on tarpeen esimerkiksi ns. vesi-iskun (engl. water-hammer) käsitteelyssä tai vaikkapa tutkittaessa virtausta verisuonistossa.

Edellä on korostettu, että kontrollialue on valittu tässä erityyksessä aina kiinteäksi.

Onko kaava (3.4.32) sitten enää voimassa, jos pinta-ala A jossain kohdassa on kasvanut esimerkiksi kaksiinkertaiseksi alkuperäiseen arvoonsa verrattuna? Kyllä kaava pätee yleisesti. Täsmällisemmin sanottuna kaavan johtotulisi suorittaa periaatteessa aina erikontrollialueelle, joka pidettäisiin sitten ajan välin $(t, t+dt)$ verran kiinteänä, joka asetelma riittäisi johdon suorittamiseen.

Yksidimensioisen virtauksen kaavoja voidaan myös soveltaa stationaarissa ja virtausnoimaltaan stationaarissa tapauksessa mielivaltaiseen virtasäikeeseen (kuva 3.4.6), jolla siis $dA(s, t) = dA(s)$.



Kuva 3.4.6

Virtasäikeellä nopeutta voidaan pitää vakiona differentiaalisen poikkileikkauksen alueella ja keskiarvomerkit $\langle \rangle$ voidaan jättää pois. Esimerkiksi

kaavan (3.4.26) perusteella voidaan saada mielikuva nopeuden jakautumasta, jos virtaviivojen kulku on selvillä. Samoin huomataan, että virtasäike ei voi kurotua pisteeksi, koska se johtaisi teoriassa äärettömään virtausnopeuden arvoon.

Johdetaan vielä kaavaa (3.4.32) vastaava differentiaalilyhtälömuoto — tämän voisi katsoa kuvan yhtä hyvin kohtaan 3.4.2 - tarkastelemalla kahta lähekkäistä kohdissa s ja $s+\Delta s$ olevaa poikkileikkausta ja antamalla $\Delta s \rightarrow 0$. Soveltamalla integraalilaskennan väliarvolausetta yhtälön (3.4.32) integraaliin saadaan yleinen tulos

$$\left[\frac{\partial}{\partial t} (\rho A) \right]_{\Delta s}^* - (\rho Q)|_s + (\rho Q)|_{s+\Delta s} = 0,$$

$$\left[\frac{\partial}{\partial t} (\rho A) \right]^* + \frac{-(\rho Q)|_s + (\rho Q)|_{s+\Delta s}}{\Delta s} = 0,$$

$$\boxed{\frac{\partial}{\partial t} (\rho A) + \frac{\partial}{\partial s} (\rho Q) = 0.} \quad [0(2), 0(4)] \quad (3.4.33)$$

Edellä merkinnät $[]^*$, $()|_s$ ja $()|_{s+\Delta s}$ tarkoittavat suuren $[]$ arvoa pisteessä ξ ($s < \xi < s + \Delta s$), suuren $()$ arvoa pisteessä s ja suuren $()$ arvoa pisteessä $s + \Delta s$. Kun $\Delta s \rightarrow 0$, $\xi \rightarrow s$ ja saadaan yhtälö (3.4.33). Tästä yhtälöstä esiintyy kiihtyvyydessä hyvin pieni määrä eri versioita riippuen siitä onko kyseessä pysyvä virtaus, vakiotiheydellä, jäykän seinämän tapaus jne. Joskus näkee käytettävän myös aine derivaatan tyyppistä merkintää (vit. kaava (3.3.29))

$$\frac{dF}{dt} = \frac{\partial F}{\partial t} + \langle v_e \rangle \frac{\partial F}{\partial s}, \quad (3.4.34)$$

jonka soveltaminen lisää jälleen eri versioiden määrää. Kaavan (3.4.34) esittämä derivaatta kuvaa keskinopeudella $\langle v_e \rangle$ liikkuvan havaittajan mittaamaa funktion $f(s, t)$ muutospientä. Taulukossa 3.4.1 on esitetty eräitä yhtälön (3.4.33) erikoistapauksia.

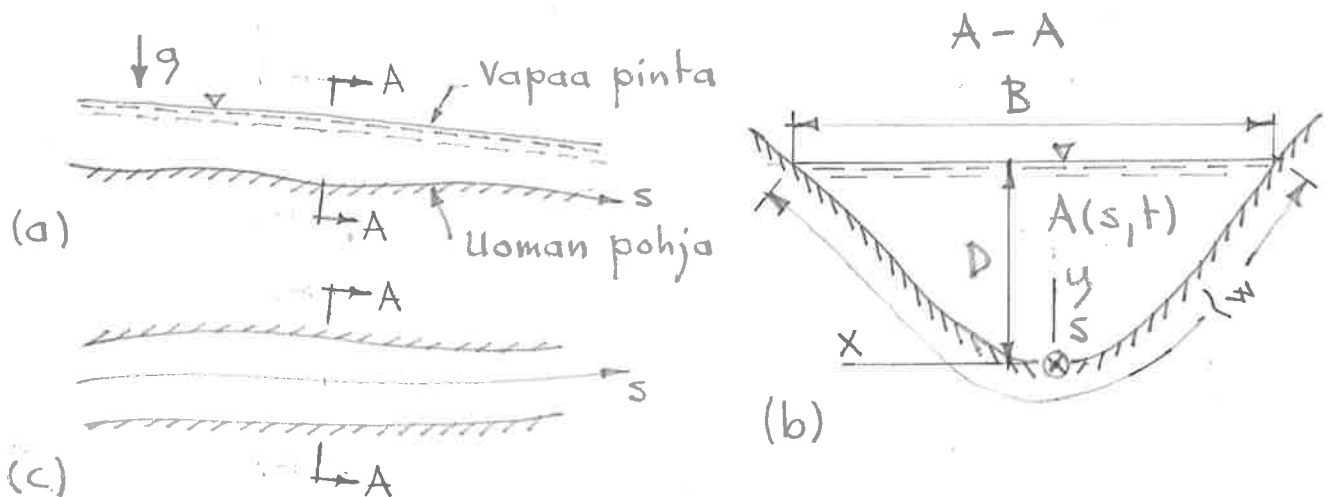
Huomautettakoon vielä, että kinetiikan käsitteilyssä joudutaan yleensä tekemään lisäksi otaksunta (3), jolloin myös edellä esitettyissä kaavoissa on asetettava $v_e \rightarrow v$.

Putkivirtauksen lisäksi ykridimensioista tarkastelutapaa sovelletaan eriten ms. avouomavirtauksessa.

Avouomavirtaus, [0(2), 0(3), 0(4), joista otaksuma (3)

ei ole oleellinen.] Avouomavirtauksella (engl. open channel flow) tarkoitetaan tavallisesti varsinaisen nesteeseen virtausta painovoiman johdosta tietyssä uomassa siten, että nesteellä on ilman kanssa rajapinta eli ms. vapaa pinta. Tavallisimpia sovellutuksia ovat veden virtaus joissa, kanavissa, uittorännissä jne. Avouomavirtauksen analysointi on putkivirtaukseen verrattuna paljon vaikeampaa, koska nesteen vapaan pinnan asema esiintyy tuntemattomana suureena. Lisäksi uomonuomien geometria ja pintojen karheus voivat vaihdella hyvin mielivaltaisella tavalla, jotka seikat hankaloittavat teoreettista tarkastelua.

Kuvassa 3.4.7 näkyy tässä erityksessä käy-



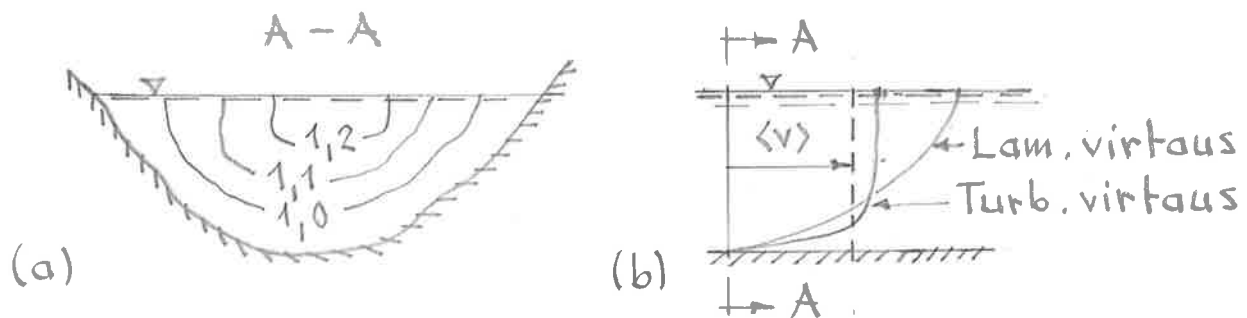
Kuva 3.4.7. (a) Uoma sivulta katsottuna. (b) Uoman poikkileikkaus. (c) Uoma ylhäältä katsottuna.

tettyjä merkintöjä. Avouomavirtausta käritellään yleensä samaan tapaan kuin putkivirtaustakin ykridimensionoisena. Riippumattomaksi paikkakoordinaatiksi on otettu uoman alinta kohtaa pitkin mitattu kaarenpituus s . (Hyvin voimakkaasti pohjamuodoltaan vaihtelevassa tapauksessa akseli on ajateltava sopivasti taroitettuksi; ei ole mielekästä antaa suureen s kaavaa seuraamalla esimerkiksi uoman pohjalla olevien kuoppien pohjia.) Seuraavassa käritellään vain vakiotiheyksien virtausta.

Avouomavirtausta pidetään ratkaistuna, kun tunnetaan nesteen täyttämän uoman poikkileikkauksen pinta-ala $A(s, t)$ tai syvyys $D(s, t)$ sekä virtaama $Q(s, t)$. Keskinopeus $\langle v \rangle$ saadaan kaavasta

$$\langle v \rangle = \frac{Q}{A}. \quad [0(3)] \quad (3.4.35)$$

Yksityiskohtaista nopeusjakautumaa $v(x, y, s, t)$ ei yleensä pyritä määrittämään laskennallisesti eikä se ole usein tarpeenkaan, vaan tyydytään suureeseen $\langle v \rangle(s, t)$. Havaintojen perusteella nopeusjakautumat ovat luonteeltaan



Kuva 3.4.8. (a) Suureen $v/\langle v \rangle$ tasa-arvokäyriä uoman poikkileikkauksen alueella. (b) Nopeusjakautuma pystysummassa.

jotain kuvan 3.4.8 esittämän tapaista.

Yleisen ykridimensionoisen virtauksen otaksumien

(2) ja (4) lisäksi otetaan jokin käyttöön (3) sekä otetaan vielä: vapaa pinta on kussakin poikkileikkauksessa vaakasuorassa. Tämä ei pidä havaintojen mukaan paikkaansa, jos esimerkiksi uoman kaarevuus vaakatasossa on suuri.

Koska uoman seinämien geometriaa pidetään annettuna ja seinämiä tässä kiinteinä (Eroosio ja sedimentaatio muuttavat geometriaa.), pinta-ala A on ärkeisen otakuman jälkeen kussakin poikkileikkauksessa syvyyden (engl. depth of flow) D funktio eli

$$A = A(s, D). \quad (3.4.36)$$

Tässä muuttuja s viittaa siihen mahdollisuuteen, että uoman poikkileikkaus muuttuu geometrialtaan s :n mukana. Jos geometria ei muutu, yhteys (3.4.36) on tyyppiä $A = A(D)$. On huomattava, että taas $D = D(s, t)$, joten joka tapauksessa A on edelleen riippumattomien muuttujien s ja t funktio. Termin syvyys D sijasta olisi tässä tarkemmin ottaen ehkä parempi käyttää määritettyä kokonaisyyttä; vrt. kuva 3.4.7 ja 2.2.1.

Katsotaan nyt, mitä eri muotoja yleinen differentiaaliyhtälö (3.4.33) eli toistettuna yhtälö

$$\frac{\partial}{\partial t}(gA) + \frac{\partial}{\partial s}(gQ) = 0 \quad (3.4.37)$$

saadaan käyttöön otettujen merkintöjen johdosta. Ensimmäkin rajoittamalla vakio-
tiheydelleen virtaukseen $\frac{\partial g}{\partial t} = \frac{\partial g}{\partial s} = 0$ ja saadaan yhtälö (jaetaan g :lla)

$$\boxed{\frac{\partial A}{\partial t} + \frac{\partial Q}{\partial s} = 0} \quad (3.4.38)$$

eli koska $Q = \langle v \rangle A$,

$$\boxed{\frac{\partial A}{\partial t} + A \frac{\partial \langle v \rangle}{\partial s} + \langle v \rangle \frac{\partial A}{\partial s} = 0.} \quad (3.4.39)$$

* \downarrow Orittaisderivaatta

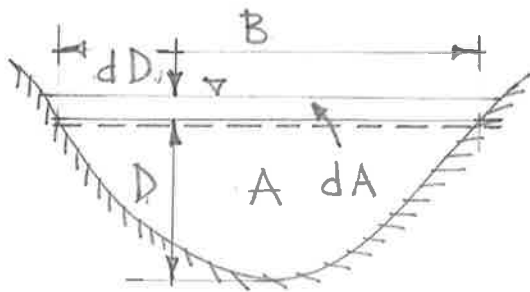
$$\frac{\partial A}{\partial t} = \left(\frac{\partial A}{\partial D} \right)_s \frac{\partial D}{\partial t} \quad (3.4.40)$$

ja orittaisderivaatta

$$\frac{\partial A}{\partial s} = \left(\frac{\partial A}{\partial s} \right)_D + \left(\frac{\partial A}{\partial D} \right)_s \frac{\partial D}{\partial s}. \quad (3.4.41)$$

- Tämä on vastaavia merkintöjä kuin kohdassa 1.3 osoittamaan, mitä muuttujia pidetään kulloinkin riippumattomina funktiossa $A(s, D) = A(s, D(s, t))$. Kaavat (3.4.40) ja (3.4.41) on saatu ketjuderivoimalla.

Derivaatan $\left(\frac{\partial A}{\partial D} \right)_s$ merkitys saadaan selville ku-



Kuva 3.4.9

○ taa pinta-alan lisäys $dA = B dD$ ja siis

$$\left(\frac{\partial A}{\partial D} \right)_s = B, \quad (3.4.42)$$

jossa $B(s, D)$ on uoman leveys (engl. breadth) va-
raan pinnan kohdalla.

Derivaatta $\left(\frac{\partial A}{\partial s} \right)_D$ tarkoittaa poikkileikkau-
pinta-alan kasvunopeutta s :n muuttu-

misen suhteen, kun D pidetään vakiona. Tämä derivaatta häviää poikkileikkausgeometrialtaan muuttumattomassa uomassa.

Yhtälö (3.4.39) saa kaavoja (3.4.40)...(3.4.42) apuna käyttäen nyt muodon

$$B \frac{\partial D}{\partial t} + A \frac{\partial \langle v \rangle}{\partial s} + \langle v \rangle \left[B \frac{\partial D}{\partial s} + \left(\frac{\partial A}{\partial s} \right)_D \right] = 0. \quad (3.4.43)$$

Kun tämä jaetaan vielä leveydellä B , saadaan yhtälö

$$\boxed{\frac{\partial D}{\partial t} + D_h \frac{\partial \langle v \rangle}{\partial s} + \langle v \rangle \left[\frac{\partial D}{\partial s} + \frac{1}{B} \left(\frac{\partial A}{\partial s} \right)_D \right]} = 0, \quad (3.4.44)$$

jossa

$$\boxed{D_h = \frac{A}{B}} \quad (3.4.45)$$

on poikkileikkauksen ns. hydraulinen syvyys (engl. hydraulic depth) ($[D_h] = m$).

Yhtälö (3.4.44) on melko yleisessä muodossa oleva avouomavirtaukseen liittyvä massan säilymisen periaatteesta johdettu orittais-differentiaaliyhtälö, jossa s ja t ovat riippumattomia muuttujia ja D ja $\langle v \rangle$ tuntemattomia.

Pysyvässä virtauksessa $\partial D / \partial t = 0$ ja saadaan yhtälö

$$D_h \frac{d \langle v \rangle}{ds} + \langle v \rangle \left[\frac{dD}{ds} + \frac{1}{B} \left(\frac{\partial A}{\partial s} \right)_D \right] = 0, \quad (3.4.46)$$

joka on siis vain yhtälöstä (3.4.33) vakio-tiheysmerkeen ja pysyvän virtauksen tapauksessa syntyvän yhtälön $dQ/ds = 0$ vielä B :llä

jakamalla saatu monimutkaisen esun ottanut versio.

Avouomavirtauksen yksinkertainen mutta samalla tärkeä perustapaus on ns. tasainen virtaus, jossa $\langle v \rangle$ ja D ovat sekä paikan että ajan suhteen vakioita. Tämä vaatii käytännössä, että uoma on prismaattinen eli akseli on suora ja poikkileikkaisgeometria on muuttumaton. Vapaalla pinnalla on tällöin sama kaltevuus kuin uoman pohjalla. On helppo todeta, että tasaisessa virtauksessa yhtälö (3.4.44) toteutuu automaattisesti.

Määritellään vielä jatkoa varten kolme avouomavirtauksessa tavallomaisia suureita. Ns. märkä piiri (engl. wetted perimeter) l_w ($[l_w] = m$) on poikkileikkauksen reunaviivan sen osan pituus, joka yhtyy uoman seinämään (kuva 3.4.7 (b)). Summe

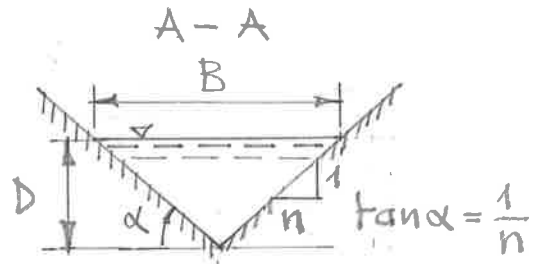
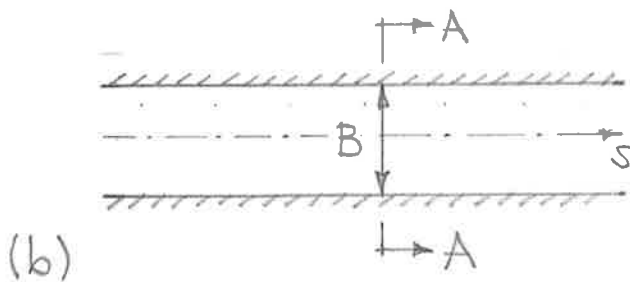
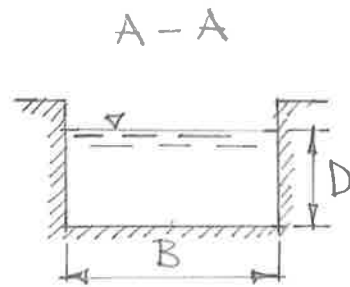
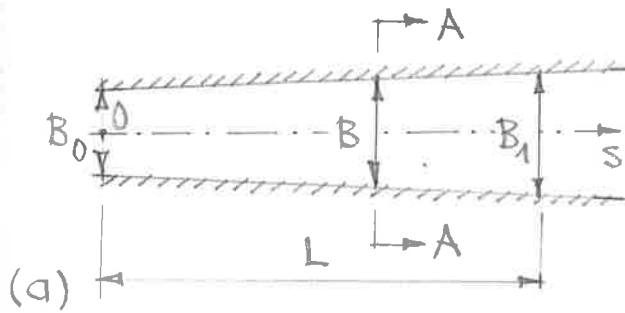
$$R_h = \frac{A}{l_w} \quad (3.4.47)$$

on ns. hydraulinen säde (engl. hydraulic radius) ($[R_h] = m$). Nämä suureet tulevat käyttöön kinetiikassa. Usein käytetään lisäksi käsitettä hydraulinen halkaisija (engl. hydraulic diameter)

$$d_h = \frac{4A}{l_w} = 4R_h. \quad (3.4.48)$$

Näitä suureita käsitellään myös putkivirtauksessa ja ympyräpoikkileikkaukselle (säde $= R$, halkaisija $d = 2R$, $A = \pi R^2$, $l_w = 2\pi R$) $d_h = d$, mutta $R_h = R/2$.

Esimerkki 3.4.2. Suorakaide- ja kolmiopoikkileikkaus. johdetaan yhtälön (3.4.44) samaa muoto (1) kuvan (a) esittämän suorakaidepoikkileikkauksen tapauksessa ja (2) kuvan (b) esittämän kolmiopoikkileikkauksen tapauksessa.



(1) Kuvan (a) esittämien merkintöjen avulla saadaan

$$B = B_0 + \frac{s}{L}(B_1 - B_0),$$

$$A = BD = \left[B_0 + \frac{s}{L}(B_1 - B_0) \right] D,$$

$$D_h = A/B = D.$$

(a)

Derivaatta

$$\left(\frac{\partial A}{\partial s} \right)_D = \frac{B_1 - B_0}{L} D.$$

(b)

Yhtälö (3.4.44) on siis

$$\frac{\partial D}{\partial t} + D \frac{\partial \langle v \rangle}{\partial s} + \langle v \rangle \left[\frac{\partial D}{\partial s} + \frac{1}{B_0 + \frac{s}{L}(B_1 - B_0)} \frac{B_1 - B_0}{L} D \right] = 0. \quad (c)$$

Jos $B_1 = B_0$ eli jos B on vakio, tämä yksinkertaistuu muotoon

$$\frac{\partial D}{\partial t} + D \frac{\partial \langle v \rangle}{\partial s} + \langle v \rangle \frac{\partial D}{\partial s}$$

(d)

eli

$$\frac{\partial D}{\partial t} + \frac{\partial (\langle v \rangle D)}{\partial s} = 0.$$

(e)

Pyyntävä viitauksena saadaan täten

$$\frac{d}{ds} (\langle v \rangle D) = 0$$

(f)

eli

$$\langle v \rangle D = \text{vakio.}$$

(g)

Suure $\langle v \rangle D$ on yhtä kuin Q/B .Kuvan (a) perusteella suorakaidepoikkileikka-
uksella määrä piiri

$$l_w = B + 2D$$

(h)

ja hydraulinen säde

$$R_h = \frac{BD}{B + 2D}.$$

(i)

Tämä lähestyy arvoa D leveän uoman tapauksessa, jolloin $B \gg D$.

(2) Kuvan (b) esittämien merkintöjen avulla saadaan

$$B = 2nD_1$$

$$A = BD/2 = nD_1^2$$

$$D_h = A/B = D/2.$$

(j)

Derivaatta

$$\left(\frac{\partial A}{\partial s} \right)_D = 0.$$

(k)

Yhtälö (3.4.44) on siis

$$\frac{\partial D}{\partial t} + \frac{D}{2} \frac{\partial \langle v \rangle}{\partial s} + \langle v \rangle \frac{\partial D}{\partial s} = 0, \quad (1)$$

Pyrpärä vintauksessa saadaan yhtälö

$$\frac{D}{2} \frac{d \langle v \rangle}{ds} + \langle v \rangle \frac{dD}{ds} = 0. \quad (m)$$

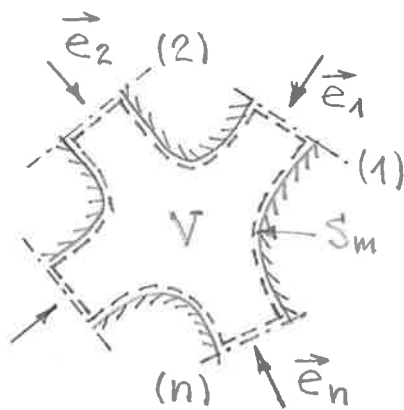
Märkä piiri

$$l_w = 2 \sqrt{1+n^2} D \quad (n)$$

ja hydraulinen säde

$$R_h = \frac{n}{2 \sqrt{1+n^2}} D. \quad (o)$$

Solmukohta. Tarkastellaan kuvan 3.4.10 esit-



Kuva 3.4.10

tämää periaatteessa $n:m$ lähes ykridimensi-
oisen vintauksen yhtymä-
kohtaa eli ns. solmu-
kohtaa (engl. node, junction).
Määritellään tässä vii-
taama kussakin leikka-
uksessa positiiviseksi, kun
vintaus tapahtuu kuvan
yrittövektoreiden suuntaan
eli solmukohtaan päin.

Yleinen yhtälö (3.4.3) saa siten sovellettuna
kuvan esittämään kontrollialueeseen ensimuo-
don (mt. kaava (3.4.7))

$$\int_V \frac{\partial \rho}{\partial t} dV + \int_{S_m} \rho v_n dS - \sum_{i=1}^n \int_{A_i} \rho v_e dA = 0, \quad (3.4.49)$$

jossa esiintyvien tunnuksen merkitys on aikai-
semman perusteella ilmeinen. Tavallisesti jätetään
vielä lisäksi yhtälön kaksi ensimmäistä termiä

pois ajatellen tavallaan, että poikkileikka-
ukset on viety teoreettiseen pistemäiseen solmu-
kohtaan saakka, jolloin tilavuus V ja vaippa-
pinta S_m häviävät. Tilavuusintegraali häviää
joka tapauksessa pyörpässä virtauksessa sekä
vakiotiheysnesteelle. Pinta-integraali vaippa-
pinnan yli häviää taas ainakin jäykkien
seinämien yhteydessä. Käyttämällä apuna
merkiintää (3.4.10) saadaan siis merkkiä vaih-
tamalla yhtälö $\sum \langle \rho v_e \rangle_i A_i = 0$ tai lyhyemmin

$$\boxed{\sum W_i = 0} \quad (3.4.50)$$

eli solmukohtaan saapuvien massavirtojen
summa on nolla. Jos tiheys voidaan ottaa
vakioksi kussakin poikkileikkauksessa, saadaan
 $\sum \rho_i \langle v_e \rangle_i A_i = 0$ eli

$$\sum \rho_i Q_i = 0 \quad (3.4.51)$$

Tätä seuraa vakiotiheysnesteelle yhtälö

$$\boxed{\sum Q_i = 0} \quad (3.4.52)$$

eli solmukohtaan saapuvien virtaamien summa
on nolla.

Kaavat (3.4.50)...(3.4.52) ovat analogisia
sähköopin eriyntyvän ns. Kirchhoffin I
lain kanssa tai myös rakenteiden mekani-
kassa esimerkiksi ristikon nurkan tasapaino-
yhtälöiden kanssa.

3.4.2 Paikallinen muoto

Kun yhtälön (3.4.2) vasempaan puoleen sovelletaan Reynoldsin lauseen muotoa (3.3.62), saadaan yhtälö

$$\int \left[\frac{\partial \rho}{\partial t} + \vec{v} \cdot (\rho \vec{v}) \right] dV = 0, \quad (3.4.53)$$

jonka tulee olla voimassa kirjoitettuna myös mille hyvänsä alueen V osa-alueelle ΔV .

Tämän perusteella saadaan — vastaavalla ajattelulla kuin kohdassa 2.1 — alueen jokaisessa pisteessä pätevä yhtälö

$$\boxed{\frac{\partial \rho}{\partial t} + \vec{v} \cdot (\rho \vec{v}) = 0.} \quad (3.4.54)$$

Tämä on massan säilymisen periaatteen paikallinen muoto eli ns. jatkuvuusyhtälö (engl. equation of continuity). Tätä huonokkoa nimitystä käytetään yleensä sen lyhyiden muokki myös äärellisten muotojen yhteydessä.

Jatkuvuusyhtälö on karteesisessa suorakulmaisessa koordinaatistossa

$$\frac{\partial \rho}{\partial t} + \frac{\partial (\rho v_x)}{\partial x} + \frac{\partial (\rho v_y)}{\partial y} + \frac{\partial (\rho v_z)}{\partial z} = 0. \quad (3.4.55)$$

Tästä saadaan vielä kehittämällä

$$\frac{\partial \rho}{\partial t} + v_x \frac{\partial \rho}{\partial x} + v_y \frac{\partial \rho}{\partial y} + v_z \frac{\partial \rho}{\partial z} + \rho \left(\frac{\partial v_x}{\partial x} + \frac{\partial v_y}{\partial y} + \frac{\partial v_z}{\partial z} \right) = 0 \quad (3.4.56)$$

ja soveltamalla kaavaa (3.3.14)

$$\frac{d\rho}{dt} + \rho \left(\frac{\partial v_x}{\partial x} + \frac{\partial v_y}{\partial y} + \frac{\partial v_z}{\partial z} \right) = 0 \quad (3.4.57)$$

eli yleisemmin

$$\boxed{\frac{dg}{dt} + g \vec{\nabla} \cdot \vec{v} = 0} \quad (3.4.58)$$

Termi $\vec{\nabla} \cdot \vec{v}$ on ns. suhteellinen tilavuudenmuutosnopeus eli dilataationopeus (engl. rate of dilatation, dilatation = laajeneminen). Dilataationopeus esiintyy useissa kaavoissa jatkona. Sen eri esitysmuotoja ovat mm.

$$\boxed{\vec{\nabla} \cdot \vec{v} = -\frac{1}{g} \frac{dg}{dt} = \frac{\partial v_x}{\partial x} + \frac{\partial v_y}{\partial y} + \frac{\partial v_z}{\partial z} = dx + dy + dz} \quad (3.4.59)$$

kuten voidaan havaita kaavojen (3.4.58), (3.4.57) ja (3.3.41) avulla. Nimeen liittyvä fyrikkimäen tulkinta saadaan esimerkiksi yhtälöstä (1.3.11) jakamalla se puolittain ajan differentiaalilla dt .

Pyyvässä virtauksessa $\partial g / \partial t = 0$ ja yhtälöstä (3.4.54) tulee

$$\boxed{\vec{\nabla} \cdot (g \vec{v}) = 0} \quad (3.4.60)$$

tai

$$\frac{\partial (g v_x)}{\partial x} + \frac{\partial (g v_y)}{\partial y} + \frac{\partial (g v_z)}{\partial z} = 0. \quad (3.4.61)$$

Kokoontuimattoman nesteen — kullekin nestekielle pätee $g = \text{vakio}$, $dg/dt = 0$ — virtauksessa yhtälöstä (3.4.58) saadaan tulos

$$\boxed{\vec{\nabla} \cdot \vec{v} = 0} \quad (3.4.62)$$

tai

$$\frac{\partial v_x}{\partial x} + \frac{\partial v_y}{\partial y} + \frac{\partial v_z}{\partial z} = 0$$

(3.4.63)

Näitä yhtälöitä mimitetään usein paitsi jatkuvuusyhtälöksi myös kokoontuimattomuus muurehdoksi. Yhtälöt pätevät luonnollisesti myös vakiotiheysnesteelle, joka on kokoontuimattoman nesteen erikoistapaus.

* ↓ Sylinterikoordinaatissa mielivaltaisen vektorifunktion \vec{f} divergenssi (14)

$$\nabla \cdot \vec{f} = \frac{1}{r} \frac{\partial}{\partial r} (r f_r) + \frac{1}{r} \frac{\partial f_\phi}{\partial \phi} + \frac{\partial f_z}{\partial z}, \quad (3.4.64)$$

joten esimerkiksi kaavojen (3.4.55) ja (3.4.61) vastineet ovat

$$\frac{\partial g}{\partial t} + \frac{1}{r} \frac{\partial}{\partial r} (g r v_r) + \frac{1}{r} \frac{\partial}{\partial \phi} (g v_\phi) + \frac{\partial}{\partial z} (g v_z) = 0 \quad (3.4.65)$$

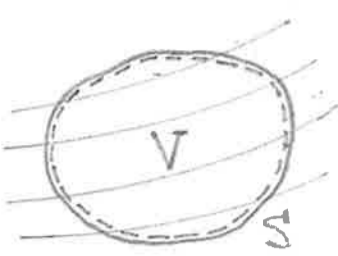
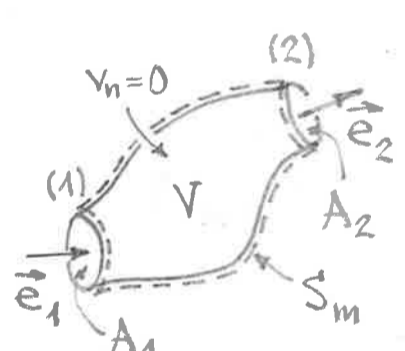
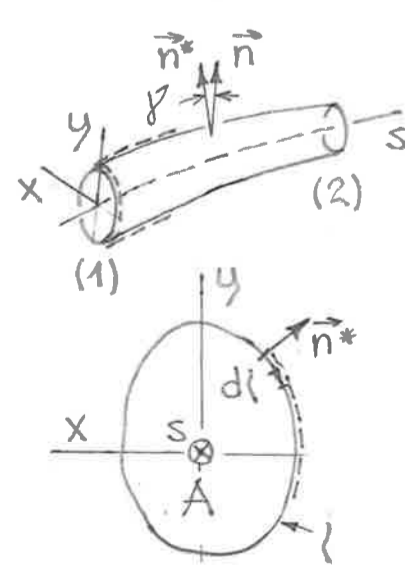
ja

$$* \uparrow \frac{1}{r} \frac{\partial}{\partial r} (r v_r) + \frac{1}{r} \frac{\partial v_\phi}{\partial \phi} + \frac{\partial v_z}{\partial z} = 0. \quad (3.4.66)$$

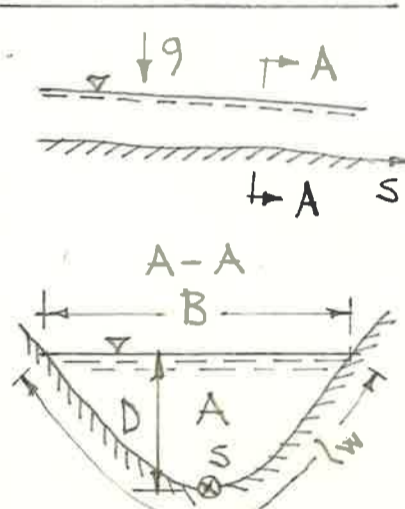
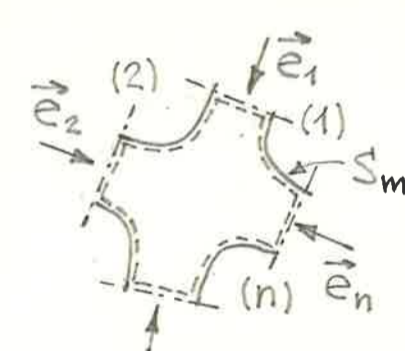
○ jatkuvuusyhtälö on helppo johtaa karteesisessa suorakulmaisessa koordinaatissa myös käyttäen differentiaaligeometrista tarkastelutapaa.

Turbulenssin vaikutusta jatkuvuusyhtälöihin käsitellään esimerkiksi 3.5.3.

Taulukko 3.4.1 Massan säilymisen periaatteen eri muotoja.

Äärellinen muoto		
<p><u>Yleinen tapaus</u></p>  <p>Yleinen muoto</p> $\int \frac{\partial \rho}{\partial t} dV + \int \rho v_n dS = 0. \quad (1)$ <p>Pysyvä virtaus</p> $\int \rho v_n dS = 0. \quad (2)$ <p>Vakiotiheysneste</p> $\int v_n dS = 0. \quad (3)$	<p>Massan säilymisen periaate: Kappaleen massa</p> <p>$m = \text{vakio.}$</p> <p>Syntyviä yhtälöitä nimitetään usein jatkuvuusyhtälöiksi.</p>	
<p><u>Otaksualueittelo</u></p> <p>0(1): $v_n = 0$ S_m:llä.</p> <p>0(2): $\rho = \text{vakio}$ A:lla, jolloin</p> $\int \rho f dA = \rho \int f dA \text{ eli } \langle \rho f \rangle = \rho \langle f \rangle. \quad (4)$ <p>0(3): Yhdensuuntaisvirtaus A:lla, jolloin</p> $\vec{v} = v \vec{e} \text{ eli } v_e = v, v_t = 0. \quad (5)$ <p>0(4): Virtausakselin kaarevuus on pieni, jolloin</p> $\int f dV \approx \int_1^2 \langle f \rangle A ds, \quad (6)$ $\int f dS \approx \int_1^2 \left(\frac{f}{\cos \gamma} dl \right) ds + \langle f \rangle_1 A_1 + \langle f \rangle_2 A_2, \quad (7)$ $\frac{d}{dt} \int f dV \approx \int_1^2 \frac{\partial}{\partial t} (\langle f \rangle A) ds - \langle f v_e \rangle_1 A_1 + \langle f v_e \rangle_2 A_2. \quad (8)$	<p>Pinta-alakeskiarvo</p> $\langle f \rangle = \frac{1}{A} \int f dA,$ $\int f dA = \langle f \rangle A.$ <p>Reynoldsin lauseessa (8) ei oteta huomioon mahdollista "suoto-virtausta".</p>	
<p><u>Standardikontrollialue, [0(1)]</u></p> <p>Yleinen muoto</p>  $\int \frac{\partial \rho}{\partial t} dV - w_1 + w_2 = 0. \quad (9)$ <p>Pysyvä virtaus</p> $w_1 = w_2 = w = \text{vakio.} \quad (10)$ <p>Vakiotiheysneste</p> $Q_1 = Q_2 = Q = \text{vakio.} \quad (11)$	<p>Massavirta</p> $w = \int \rho v_e dA = \langle \rho v_e \rangle A.$ <p>Virtaama</p> $Q = \int v_e dA = \langle v_e \rangle A.$ <p>$w = \rho Q, [0(2)]$</p> <p>$w = \langle \rho v \rangle A, [0(3)]$</p> <p>$w = \rho \langle v \rangle A, [0(2), 0(3)]$</p> <p>$\langle v \rangle = \frac{Q}{A}. [0(3)]$</p>	
<p><u>Yleinen yksidimensioinen virtaus, [0(2), 0(4)]</u></p> <p>Yleinen muoto</p>  $\int_1^2 \frac{\partial}{\partial t} (\rho A) ds - \rho_1 Q_1 + \rho_2 Q_2 = 0. \quad (12)$ <p>Pysyvä virtaus</p> $\rho_1 Q_1 = \rho_2 Q_2 = \rho Q = \text{vakio.} \quad (13)$ <p>Vakiotiheysneste</p> $\int_1^2 \frac{\partial A}{\partial t} ds - Q_1 + Q_2 = 0. \quad (14)$ <p>Pysyvä virtaus</p> $Q_1 = Q_2 = Q = \text{vakio.} \quad (15)$	<p>Vektori \vec{n}^* on poikkileikkaustasossa oleva reunakäyrän ulkoinen yksikkönormaalivektori.</p> $\cos \gamma = \vec{n}^* \cdot \vec{n}.$ <p>Prismaattisessa tapauksessa $\gamma = 0$.</p> <p>Pysyvä virtaus tai jäykkä seinämä:</p> $A(s, t) = A(s).$	

Taulukko 3.4.1 Jatkoa

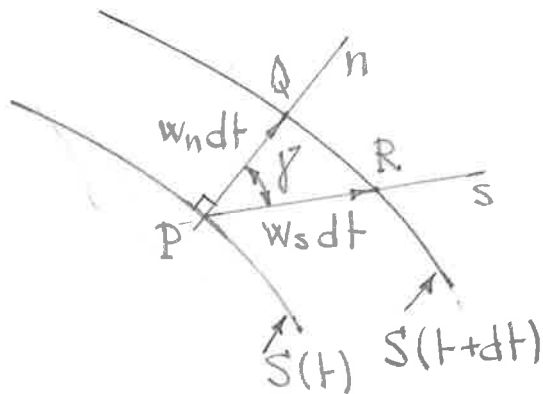
<p>Yleinen yksidimensioinen virtaus, [0(2), 0(4)], jatkoa</p> <p>Differentiaaliyhtälömuoto</p> $\frac{\partial}{\partial t}(\rho A) + \frac{\partial}{\partial s}(\rho Q) = 0. \quad (16)$ <p>Pysyvä virtaus</p> $\frac{d}{ds}(\rho Q) = 0 \text{ eli } \rho Q = \text{vakio}. \quad (17)$ <p>Vakiotiheysneste</p> $\frac{\partial A}{\partial t} + \frac{\partial Q}{\partial s} = 0. \quad (18)$ <p>Pysyvä virtaus</p> $\frac{dQ}{ds} = 0 \text{ eli } Q = \text{vakio}. \quad (19)$	<p>Nämä huomautukset koskevat jo avouomavirtausta.</p> <p>Otaksuma (3) ei ole tässä oleellinen. Jos se puuttuu, $v \rightarrow v_e$.</p> <p>Otaksumaan, että vapaa pinta on kussakin poikkileikkauksessa vaakasuorassa.</p> <p>Poikkileikkaus geometrialtaan muuttumattomassa uomassa</p>
<p>Avouomavirtaus, [0(2), 0(3), 0(4)]</p>  <p>Vakiotiheysneste</p> <p>Differentiaaliyhtälömuoto</p> $\frac{\partial A}{\partial t} + \frac{\partial Q}{\partial s} = 0, \quad (20)$ $\frac{\partial D}{\partial t} + D_h \frac{\partial \langle v \rangle}{\partial s} + \langle v \rangle \left[\frac{\partial D}{\partial s} + \frac{1}{B} \left(\frac{\partial A}{\partial s} \right)_D \right] = 0. \quad (21)$ <p>Pysyvä virtaus</p> $D_h \frac{d \langle v \rangle}{ds} + \langle v \rangle \left[\frac{dD}{ds} + \frac{1}{B} \left(\frac{\partial A}{\partial s} \right)_D \right] = 0. \quad (22)$	<p>$A(s, D) = A(D)$.</p> <p>Hydraulinen syvyys</p> $D_h = A/B.$ <p>Hydraulinen säde</p> $R_h = A/l_w.$ <p>Hydraulinen halkaisija</p> $d_h = 4A/l_w = 4R_h.$
<p>Solmukohta</p>  <p>Yleinen muoto</p> $\int \frac{\partial \rho}{\partial t} dV + \int_{S_m} \rho v_n dS - \sum w_i = 0. \quad (23)$ <p>Tavanomainen muoto</p> $\sum w_i = 0. \quad (24)$ <p>Vakiotiheysneste</p> $\sum Q_i = 0. \quad (25)$	<p>Kaavoissa (24) ja (25) otaksumaan yleisessä tapauksessa tavallaan, että S_m ja V häviävät.</p>
<p>Yleinen muoto</p> $\frac{\partial \rho}{\partial t} + \vec{\nabla} \cdot (\rho \vec{v}) = 0,$ $\frac{d\rho}{dt} + \rho \vec{\nabla} \cdot \vec{v} = 0,$ <p>Pysyvä virtaus</p> $\vec{\nabla} \cdot (\rho \vec{v}) = 0,$ <p>Koonpuristumaton neste</p> $\vec{\nabla} \cdot \vec{v} = 0,$	<p>Paikallinen muoto</p> <p>Suorak. kartees. koord.</p> $\frac{\partial \rho}{\partial t} + \frac{\partial(\rho v_x)}{\partial x} + \frac{\partial(\rho v_y)}{\partial y} + \frac{\partial(\rho v_z)}{\partial z} = 0, \quad (26)$ $\frac{d\rho}{dt} + \rho \left(\frac{\partial v_x}{\partial x} + \frac{\partial v_y}{\partial y} + \frac{\partial v_z}{\partial z} \right) = 0. \quad (27)$ $\frac{\partial(\rho v_x)}{\partial x} + \frac{\partial(\rho v_y)}{\partial y} + \frac{\partial(\rho v_z)}{\partial z} = 0. \quad (28)$ $\frac{\partial v_x}{\partial x} + \frac{\partial v_y}{\partial y} + \frac{\partial v_z}{\partial z} = 0. \quad (29)$ <p>Dilataationopeus</p> $\vec{\nabla} \cdot \vec{v} = -\frac{1}{\rho} \frac{d\rho}{dt}$ $= \frac{\partial v_x}{\partial x} + \frac{\partial v_y}{\partial y} + \frac{\partial v_z}{\partial z}$ $= d_x + d_y + d_z.$ <p>Vakiotiheysneste = homogeeninen koonpuristumaton neste.</p>

3.5 Sekalaista

* 3.5.1 Pinnan liike

Yleistä. Kolmessa dimensiossa olevan tietyn pinnan $S(t)$ yhtälö olkoon

$$f(x, y, z, t) = 0. \quad (3.5.1)$$



Jos aika t on mukana argumenttiluettelossa, pinnan asema muuttuu ajan muuttuessa ja voidaan puhua pinnan siirtymänopeudesta tai lyhyemmin vain

pinna- nopeudesta. Tällöin on kuitenkin pidettävä tarkasti mielessä, onko kyseessä ns. ainepinta eli materiaalipinta (engl. material surface) vai sen vastakohtana ilman kontinuumin mukana oloa määritelty pinta; sanotaan tätä lyhyesti vain pinnaksi. Ainepinta tarkoittaa koko ajan samojen kontinuumipartikkelien muodostamaa pintaa. Täten jos ainepinta on esimerkiksi tietyllä hetkellä valitus kappaleen reunapinta, ainepinta on siis jatkuvasti ko.reunapinta; vrt. kuva 3.3.10 ja 1.3.6.

Ainepinnan siirtymänopeuden määrittely ei tuota vaikeuksia; nopeus tietyssä pinnan pisteessä tietyllä hetkellä olkoon tässä pisteessä sijaitsevan partikkelin nopeus \vec{v} . Mutta mikä on pelkästään matemaattisesti määritellyn pinnan nopeus, kun pinta ei muodostukaan partikkeleista? Tässä käsitteily täytyynee

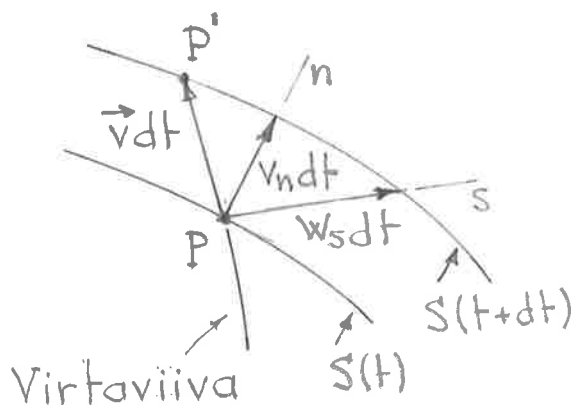
hoitaa kuvan 3.5.1 osoittamalla tavalla. Asetetaan hetkellä t pinnalla olevan tietyn pisteen P kautta kulkevia suoria, kuten Ps ja Pn . Kun aika muuttuu, pinta leikkaa näitä suoria pisteissä Q ja R ja voidaan määritellä pinnan siirtymisnopeus tietyyn suuntaan vastaavasti algebrallisten jananpituuksien PQ ja PR muutosnopeuksina

$$w_n = \lim_{\Delta t \rightarrow 0} \frac{PQ}{\Delta t}, \quad w_s = \lim_{\Delta t \rightarrow 0} \frac{PR}{\Delta t}. \quad (3.5.2)$$

Täten pelkän pinnan yhteydessä ei ole mielekästä puhua nopeudesta vektorina \vec{w} vaan ainoastaan nopeudesta tietyyn suuntaan. Normaalien suunta on luonnollisin, joten tavallisesti toimitaan juuri suureen w_n avulla. Kuvasta 3.5.1 nähdään, että

$$w_s = \frac{w_n}{\cos \gamma}. \quad (3.5.3)$$

Kuvan 3.5.2 perusteella havaitaan, että aine-



pinnan liikkeessä ko. pinnan siirtymisnopeus normaalien suunnassa w_n on yhtä suuri kuin nopeuden \vec{v} normalien suuntainen komponentti $\vec{n} \cdot \vec{v} = v_n$ eli

$$w_n = v_n. \quad (3.5.4)$$

Kuva 3.5.2 Ainepinnan liike.

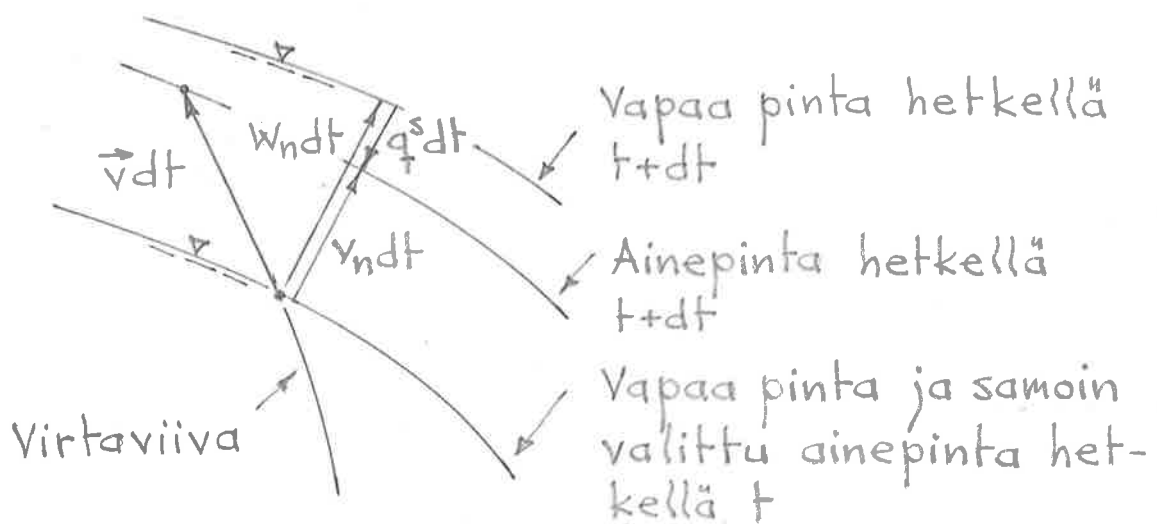
s ei ole vektorin \vec{v} komponentti tälle suunnalle vaan on käytettävä kaavaa (3.5.3).

Sen sijaan pinnan siirtymisnopeus suuntaan

Edellä esitettyjä käsitteitä tarvitaan mm. ns. huokoisen seinämän (engl. porous wall) ja

nesteen vapaan pinnan käsitteelyssä, kun pintaan voi sataa vettä tai siitä voi tapahtua haihtumista. Huokoinen seinämä tarkoittaa nimensä mukaisesti huokosia sisältävää kiinteästä aineesta muodostunutta seinämää, jonka läpi tapahtuu nesteen viirtausta; ns. suotovuirtausta (engl. seepage). Tavallisin esimerkki tästä on veden viirtaus maaperästä perustoihin. Huokoisen seinämän tapauksessa kohdassa 1.1 esitetty reunaehto - nesteen ja kiinteästä aineesta olevan seinämän vastinpätkäkelillä on sama nopeus - ei enää päde makroskooppisesti tarkasteltuna.

Kuvassa 3.5.3 on tarkasteltu esimerkkinä



Kuva 3.5.3 Vapaan pinnan liike.

vapaan pinnan liikettä tapauksessa, jossa pintaan kertyy nestettä siten, että tilavuusvirran tiheys on q^s ($[q^s] = (m^3/s)/m^2$); toinen sa-
noen nestekeros pakkuu nopeudella q^s . In-
deksi s viittaa samaan seepage, mutta tässä

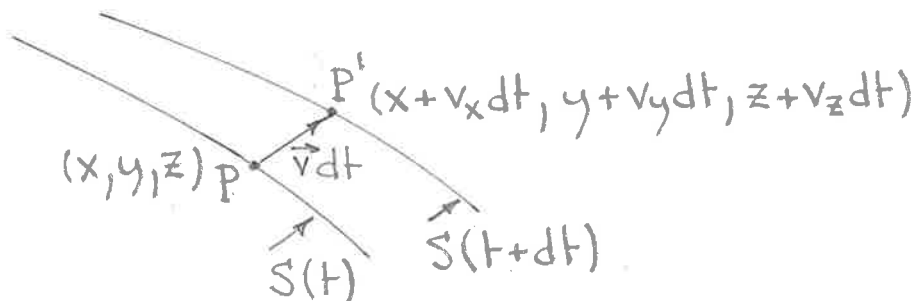
q^s johtuen positiivisena lähteestä ja negatiivisena haihtumisesta. Kuva 3.5.3 voisi esittää yhtä hyvin esimerkiksi muotoaan muuttavan huokoisen seinämän tapausta (vrt. kuva L.2.3), kun vain korvataan sama napaa pinta samalla seinämän reunapinta. Yleisesti pätee

$$\boxed{w_n = v_n + q^s}, \quad (3.5.5)$$

jossa siis w_n on kyseessä olevan pinnan siirtymisnopeus pinnan normaalin suunnassa, v_n on vastaavan ainepinnan nopeuden normaalin suuntainen komponentti ja q^s pintaan saapuvan tilavuusvirran tiheys. Usein termi q^s jää pois ja saadaan yksinkertaisempi tulos

$$w_n = v_n. \quad (3.5.6)$$

Ainepinnan kinematiikkaa. Olkoon ainepinnan



Kuva 3.5.4 Ainepinnan liike.

yhtälömuotoa (3.5.1) eli vielä

$$f(x, y, z, t) = 0. \quad (3.5.7)$$

Pisteessä P , jonka koordinaatit ovat x, y, z hetkellä t oleva partikkeli on hetkellä $t+dt$ pisteessä P' , jonka koordinaatit ovat $x+v_x dt$, $y+v_y dt$, $z+v_z dt$ (kuva 3.5.4). Koska pisteet

P ja P' ovat siis hetkillä t ja $t+dt$ kyseessä olevalla ainepinnalla, yhtälön (3.5.7) tulee toteutua eli

$$f_1 \equiv f(x, y, z, t) = 0 \quad (3.5.8)$$

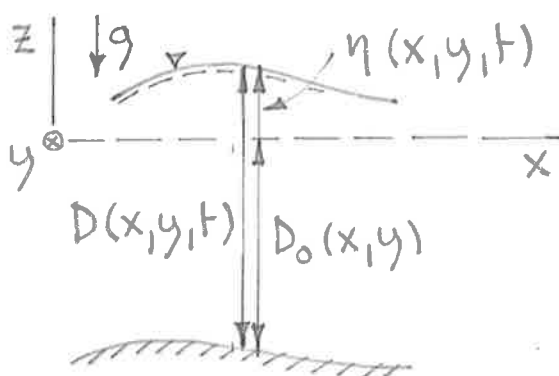
$$\begin{aligned} f_2 &\equiv f(x+v_x dt, y+v_y dt, z+v_z dt, t+dt) \\ &= f(x, y, z, t) + \frac{\partial f}{\partial t} dt + \frac{\partial f}{\partial x} v_x dt + \frac{\partial f}{\partial y} v_y dt + \frac{\partial f}{\partial z} v_z dt \\ &= f_1 + \left(\frac{\partial f}{\partial t} + v_x \frac{\partial f}{\partial x} + v_y \frac{\partial f}{\partial y} + v_z \frac{\partial f}{\partial z} \right) dt \\ &= 0 + \frac{df}{dt} dt = \frac{df}{dt} dt = 0. \end{aligned} \quad (3.5.9)$$

Täten ainepinnan yhtälön (3.5.7) vasemman puolen tulee toteuttaa koko ajan yhtä-

$$\boxed{\frac{df}{dt} = 0,} \quad (3.5.10)$$

josta derivaatta on siis kaavan (3.3.11) tai (3.3.14) mukainen ainederivaatta.

Esimerkki 3.5.1. Pinnan aaltoilu. Kuva (a) esit-



(a)

tytää nesteen aaltoiluun liittyvää asetelmaa. Taso $z=0$ yhtyy vapaaseen pintaan, kun neste on lepotilassa. Aallon korkeusasema on $\eta(x, y, t)$, pohjan syvyys on $D_0(x, y)$ ja nesteen kokonais-

syvyys $D = D_0 + \eta$. Määritetään pinnalla ja pohjalla vallitsevat kinemaattiset ehdot.

Otaksutaan, että termi g^s on tässä vapaalla pinnalla nollla (ei sadetta eikä haihtumista),

jolloin vapaa pinta on koko ajan ainepinta.
Kirjoittamalla vapaan pinnan yhtälö

$$z = \eta(x, y, t) \quad (a)$$

muotoon $z - \eta = 0$ ja vertaamalla tätä yhtälöön (3.5.7) nähdään, että tässä

$$f = z - \eta(x, y, t). \quad (b)$$

Täten ehto (3.5.10) antaa yhtälön

$$-\frac{\partial \eta}{\partial t} - v_x \frac{\partial \eta}{\partial x} - v_y \frac{\partial \eta}{\partial y} + v_z \frac{\partial z}{\partial z} = 0 \quad (c)$$

eli

$$v_z = \frac{\partial \eta}{\partial t} + v_x \frac{\partial \eta}{\partial x} + v_y \frac{\partial \eta}{\partial y}, \quad \text{kun } z = \eta. \quad (d)$$

Otaksutaan samoin, että termi q^s häviää pohjalla (ei suotovirtausta). Pohjan muodostama pinta on tällöin koko ajan ainepinta tehtiinpä todellisen nesteen tai ideaalimesteen otaksuna. Edellisessä tapauksessa pohjaan koskettavat nestepartikkelit pysyvät paikoillaan jatkuvasti. Jälkimmäisessä tapauksessa nestepartikkelit liukuvat pitkin pohjaa. Pohjapinnan yhtälön

$$z = -D_0(x, y) \quad (e)$$

perusteella tässä

$$f = z + D_0(x, y). \quad (f)$$

Yhtälöstä (3.5.10) saadaan ehto

$$0 + v_x \frac{\partial D_0}{\partial x} + v_y \frac{\partial D_0}{\partial y} + v_z \frac{\partial z}{\partial z} = 0 \quad (g)$$

eli

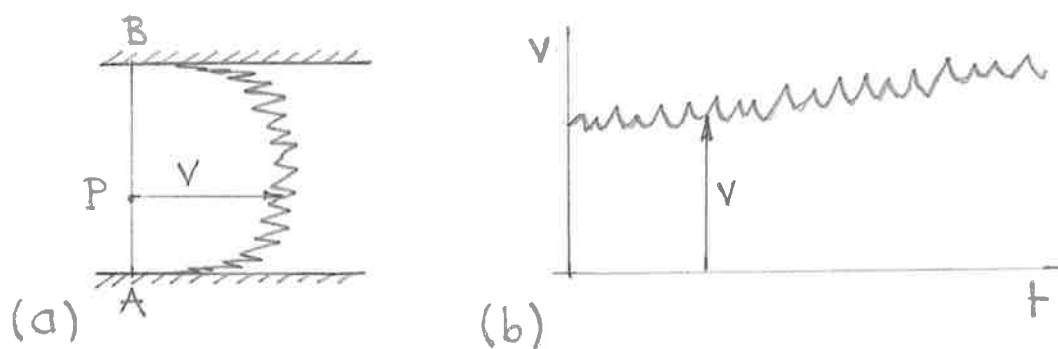
$$v_z + v_x \frac{\partial D_0}{\partial x} + v_y \frac{\partial D_0}{\partial y} = 0, \quad \text{kun } z = -D_0. \quad (h)$$

Todellisella nestellä $v_x = v_y = v_z = 0$ pohjalla, joten ehto (h) toteutuu automaattisesti.

Ideaalivesteen tapauksessa ehto (h) on itse asiassa sama asia kuin ehto $\vec{n} \cdot \vec{v} = v_n = 0$ pohjalla eli että virtausnopeusvektorin tulee olla pohjan tangenttitasoon suunnainen ko. pisteessä. Usein ehtoa $v_n = 0$ sovelletaan myös todelliseen nesteeseen mallin yhteydessä. Tämä merkitsee, että tarkastellaankin tilannetta hieman pohjapinnan yläpuolella.

3.5.2 Turbulenssi

Kuva 3.5.5 esittää kaaviollisesti kahden kiinteän seinämän välissä tapahtuvasta turbu-



Kuva 3.5.5 (a) Virtausakselin suunnaisen nopeuskomponentin v jakautuma viivalla AB tietyllä hetkellä. (b) Komponentti v pisteessä P ajan funktiona.

lenttisestä virtauksesta saatuja mittauksilokkia. Myös muut nopeuskomponentit, jännitykset ja paine käyttäytyvät vastaavasti.

Ajatellaan — siis lähinnä ajatuskoe — että kuvassa 3.5.5 esitetyt mittaukset suoritetaan lukuisista määristä (n kappaletta) kokeita,

jotka ovat geometrialtaan, alkuehdoiltaan identtisiä ja jotka aloitetaan samanaikaisesti. Esimerkiksi nopeuskomponentille $v(\vec{r}, t)$ tai yleensä mielivaltaiselle suurelle $f(\vec{r}, t)$ saataviin periaatteessa mittaus tulokset

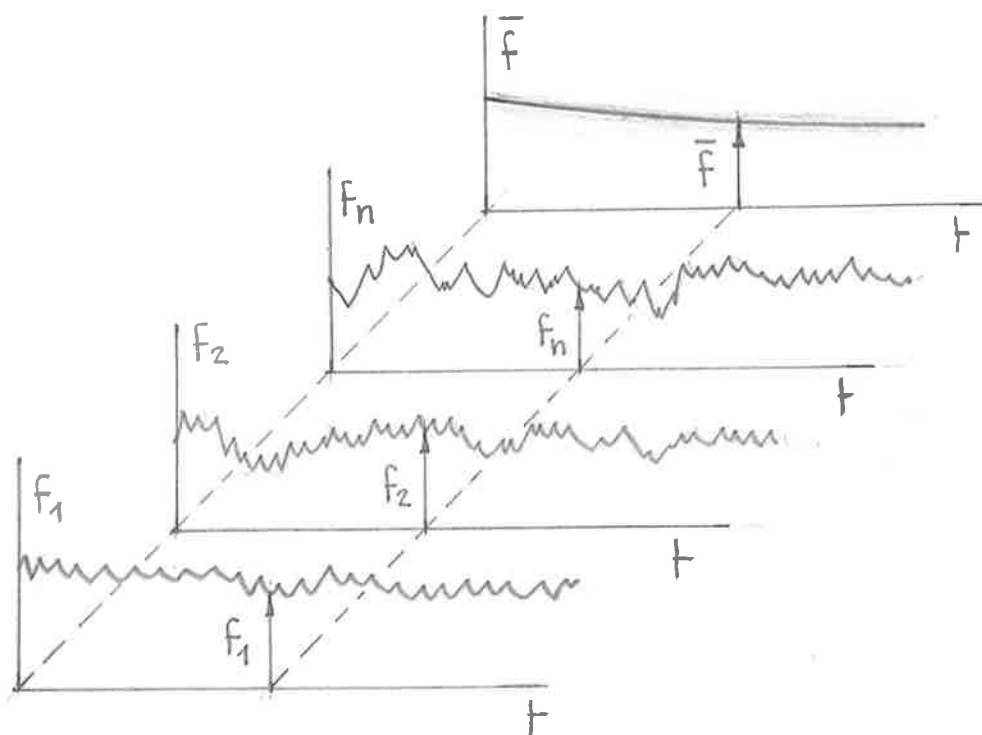
$$\left. \begin{aligned} f_1 &= f_1(\vec{r}, t), \\ f_2 &= f_2(\vec{r}, t), \\ &\dots \\ f_n &= f_n(\vec{r}, t), \end{aligned} \right\} \quad (3.5.11)$$

jossa indekset viittaavat kokeen numeroon. Näiden tulosten muodostamaa joukkoa sanotaan usein ryhmäksi (engl. ensemble).

Jos funktiot (3.5.11) ovat identtisiä, kysymyksessä on laminaarinen virtaus. Jos funktiot (3.5.11) vaihtelevat kokeesta kokeeseen, kysymyksessä on turbulenttinen virtaus. Näitä toteamuksia voidaan pitää laminaarisen ja turbulenttisen virtauksen määritelmänä (4).

On huomattava, ettei laminaarisen virtauksen tarvitse olla välttämättä yksinkertaista, vaan se voi muodostua hyvin monimutkaisista pyörteilyistä. Oleellista on, että laminaarinen virtaus on ns. determinististä (engl. deterministic) eli se määräytyy yksikäsitteisesti valitun geometrian, alkuehtojen, aineominaisuuksien jne. perusteella. Turbulenttinen virtaus on sen sijaan ns. satunnaisista tai stokastista (engl. random, stochastic) eli sitä ei voida ennustaa yksikäsitteisesti; ainoastaan tietyillä todennäköisyyksillä voidaan käsitellä.

Kuvassa 3.5.6 on esitetty vierekkäin yksinkert-



Kuva 3.5.6 Ryhmäkeskiarvon muodostaminen.

taisuuden vuoksi vain kolme suurelle F jossain tietyssä pisteessä mitattua koetulosta. Kuten on jo kohdassa 1.3 todettu, pyrkimyksenä on toimia sopivasti määritellyjen keskimääräisten arvojen ja niiden suhteen laskettujen poikkeamien avulla. Teoreettisesti tyydyttävään tapaan määritellä keskimääräinen arvo on kirjoittaa

$$\bar{F} = \lim_{n \rightarrow \infty} \frac{1}{n} \sum_{i=1}^n F_i, \quad (3.5.12)$$

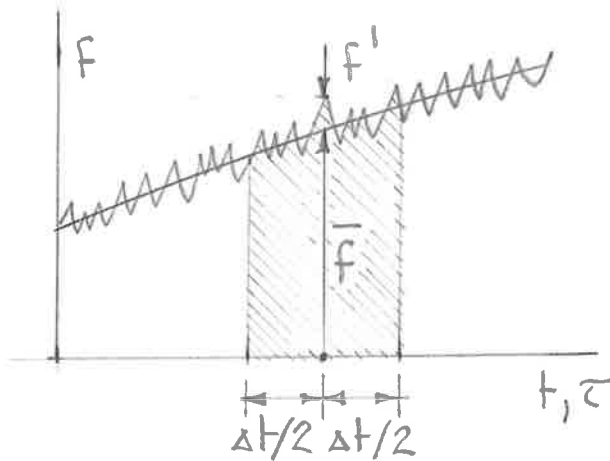
jossa \bar{F} on ns. ryhmäkeskiarvo (engl. ensemble mean). Siis kullakin ajan hetkellä otettaisiin tavallinen keskiarvo ja periaatteessa tarvittaisiin ääretön määrä kohteita. Kuvaa 3.5.6 katsellen voidaan ajatella

että käyrä $\bar{f} = \bar{f}(t)$ syntyy kaikkein "tumminnasta" kohdasta t \bar{f} -tasolla, kun vastaavat koetulokset käyvät projisoidaan sille.

Käytännössä ryhmäkeskiarvon käyttöön ei ole yleensä mahdollisuuksia. Tarvittava tieto pyritään saamaan itä yhdestä tyypillisestä koetuloksesta määrittelemällä suureen f ns. aika-keskiarvo (engl. time average, temporal mean value) \bar{f} kaavalla

$$\bar{f}(\vec{r}, t) = \frac{1}{\Delta t} \int_{t-\Delta t/2}^{t+\Delta t/2} f(\vec{r}, \tau) d\tau, \quad (3.5.13)$$

jossa Δt on ns. aikaväli (engl. time interval), jonka valintaan palataan kohta. Kaavan sisältöä voidaan havainnollistaa kuvan



Kuva 3.5.7 Aikakeskiarvon muodostaminen.

pieni verrattuna aikaan, joka vaaditaan keskimääräisen arvon muuttumiseen merkittävästi. Jos ilmiö on sellainen, että em. ehdot täyttyvä aikaväli on löydettävissä, aikakeskiarvoa voidaan käyttää

3.5.7 esittämällä tavalla. Keskiarvo \bar{f} tietyllä arvolla t saadaan jakamalla viivavoitettujen alueen pinta-ala aikavälillä Δt . Aikavälin Δt täytyy olla suuri verrattuna yhteen tyypilliseen satunnaiskeuhakukseen kuluvaan aikaan, mutta taas toisaalta

ryhmäkeskiarvon sijasta (4). Jos sopivaa aikaväliä ei ole olemassa, aikakeskiarvo-käsitteellä ei ole enää merkitystä.

Stationaarissa tapauksessa määritelmä (3.5.13) kirjoitetaan muotoon

$$\bar{f}(\vec{r}) = \lim_{\Delta t \rightarrow \infty} \frac{1}{\Delta t} \int_{t-\Delta t/2}^{t+\Delta t/2} f(\vec{r}, \tau) d\tau \quad (3.5.14)$$

ja keskiarvo ei riipu siis ajasta. Käytännössä Δt rajoitetaan tietenkin johonkin sopivaan äärelliseen arvoon. Turbulenssiteoriat ovat lähinnä kehitettyjä juuri stationaarissa tapauksissa.

Olipa kyseessä määritelmä (3.5.12) tai (3.5.13) satunnaisuus f eritetään tämän jälkeen aina muodossa (ks. kuva 3.5.7)

$$\boxed{f = \bar{f} + f'} \quad (3.5.15)$$

Suuretta \bar{f} mimitetään tässä keskiarvo-osaksi, keskiarvosuureksi \bar{f} (esimerkiksi keskiarvonopeuskomponentti \bar{v}_x) ja suuretta f' taas heilaktelu-osaksi, heilaktelusuureksi f' (esimerkiksi heilaktelunopeuskomponentti v'_x) (engl. fluctuating part, deviation).

Kaavoissa (3.5.13) ja (3.5.14) on käytetty integroimismuuttujana tunnusta τ — ns. mykkä muuttuja (engl. dummy variable) — korostamaan sitä, että integraali on periaatteessa ala- ja ylärajojen perusteella ajan t funktio. Usein kirjallisuudessa kuitenkin esiintyy τ :n sijalla tunnus t . Samoin usein

integroimissa rajoiksi otetaan arvot t ja $t+\Delta t$.

Määritelmään (3.5.13) perustuen voidaan johtaa mm. seuraavat laskusäännöt:

$$\overline{(f')} \approx 0, \quad (1)$$

$$\overline{(f)} \approx \bar{f}, \quad (2)$$

$$\overline{(f_1 + f_2 + \dots + f_n)} = \bar{f}_1 + \bar{f}_2 + \dots + \bar{f}_n \quad (3)$$

$$\overline{(kf)} = k\bar{f}, \quad (k \text{ ei riipu ajasta}) \quad (4)$$

$$\overline{\left(\frac{\partial f}{\partial x}\right)} = \frac{\partial \bar{f}}{\partial x}, \dots \quad (5)$$

$$\overline{\left(\frac{\partial f}{\partial t}\right)} = \frac{\partial \bar{f}}{\partial t}, \quad (6)$$

$$\overline{(f_1 f_2 \dots f_n)} \approx \bar{f}_1 \cdot \bar{f}_2 \dots \bar{f}_n, \quad (7) \quad (3.5.16)$$

$$\overline{(f_1 \cdot f_2 \dots f_n g')} \approx 0, \quad (8)$$

$$\overline{(f_1 f_2)} \approx \bar{f}_1 \bar{f}_2 + \overline{(f_1' f_2')}, \quad (9)$$

$$\begin{aligned} \overline{(f_1 f_2 f_3)} \approx & \bar{f}_1 \bar{f}_2 \bar{f}_3 + \overline{(f_1' f_2' f_3')} + \\ & + \bar{f}_1 \overline{(f_2' f_3')} + \bar{f}_2 \overline{(f_3' f_1')} + \bar{f}_3 \overline{(f_1' f_2')}, \end{aligned} \quad (10)$$

$$\overline{(\int f dV)} = \int \bar{f} dV, \quad (V \text{ on kiinteä}) \quad (11)$$

$$\overline{(\int f dS)} = \int \bar{f} dS. \quad (S \text{ on kiinteä}). \quad (12)$$

Edellä f_1, f_2, \dots, f_n ja g ovat mielivaltaisia satunnaisfunktioita. Sulkuimerkkejä on käytetty korostamaan aikakeskiarvon ottamisjärjystä. Jatkoksa sulkuja ei käytetä. Samoin jatkoksa otakutsaan, että likimääräismerkillä varustetut yhtälöt pätevät tarkasti. Näin on sitä tärkeämpää, mitä hitaammin keskiarvosuureet muuttuvat ajan suhteen. Stationaarisessa tapauksessa kaavat ovat tarkasti voimassa.

Esimerkki 3.5.2. Laskukaavoja. johdetaan kaavakokoelman (3.5.16) kaavat (1), (5), (6) ja (9). Kaavojen (1) ja (9) tapauksessa otakme-
taam stationaarinen tapaus: $f = \text{vakio } t:n \text{ (ja } \tau:n)$ suhteeseen.

(1) Soveltamalla kaavaa (3.5.13) funktioon $f' = f - \bar{f}$ saadaan

$$\begin{aligned}\bar{f}' &\equiv \frac{1}{\Delta t} \int (f - \bar{f}) d\tau = \frac{1}{\Delta t} \int f d\tau - \frac{1}{\Delta t} \int \bar{f} d\tau \\ &= \bar{f} - \frac{1}{\Delta t} \bar{f} \int d\tau = \bar{f} - \frac{1}{\Delta t} \bar{f} \Delta t = \bar{f} - \bar{f} = 0.\end{aligned}\quad (a)$$

(2) Soveltamalla kaavaa (3.5.13) funktioon $\partial f / \partial x$ saadaan

$$\overline{\frac{\partial f}{\partial x}} \equiv \frac{1}{\Delta t} \int \frac{\partial f}{\partial x} d\tau. \quad (b)$$

Toisaalta matematiikassa on osoitettu, että määrätyn integraalin derivoiminen integrandissa esiintyvän parametrin (tässä x) suhteeseen saadaan suositusta seuraavasti:

$$\frac{\partial \bar{f}}{\partial x} \equiv \frac{\partial}{\partial x} \left(\frac{1}{\Delta t} \int f d\tau \right) = \frac{1}{\Delta t} \int \frac{\partial f}{\partial x} d\tau. \quad (c)$$

Kaavojen (b) ja (c) vertailu osoittaa kaavan (5) pätevän myös epästationaarisessa tapauksessa.

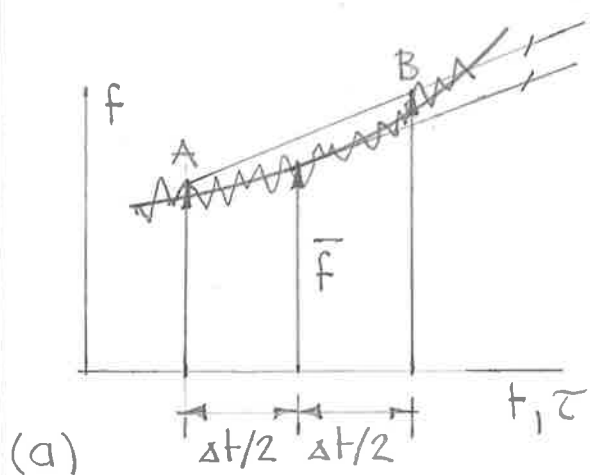
* ↓
(3) Soveltamalla kaavaa (3.5.13) funktioon $\partial f / \partial t$ saadaan ($t \rightarrow \tau$ integraalissa)

$$\begin{aligned}\overline{\frac{\partial f}{\partial t}} &\equiv \frac{1}{\Delta t} \int \frac{\partial f(\vec{r}, \tau)}{\partial \tau} d\tau \\ &= \frac{1}{\Delta t} \Big|_{t-\Delta t/2}^{t+\Delta t/2} f(\vec{r}, \tau) = \frac{1}{\Delta t} [f(\vec{r}, t+\Delta t/2) - f(\vec{r}, t-\Delta t/2)].\end{aligned}\quad (d)$$

Toisaalta Leibnitzin sääntöä soveltamalla

saadaan

$$\begin{aligned} \frac{\partial \bar{f}}{\partial t} &\equiv \frac{\partial}{\partial t} \left(\frac{1}{\Delta t} \int_{t-\Delta t/2}^{t+\Delta t/2} f(\vec{r}, \tau) d\tau \right) \\ &= \frac{1}{\Delta t} \left[\int_{t-\Delta t/2}^{t+\Delta t/2} \frac{\partial f(\vec{r}, \tau)}{\partial t} d\tau + f \Big|_{\tau=t+\Delta t/2} \frac{\partial(t+\Delta t/2)}{\partial t} - f \Big|_{\tau=t-\Delta t/2} \frac{\partial(t-\Delta t/2)}{\partial t} \right] \\ &= \frac{1}{\Delta t} \left[0 + f(\vec{r}, t+\Delta t/2) \cdot 1 - f(\vec{r}, t-\Delta t/2) \right] \\ &= \frac{1}{\Delta t} \left[f(\vec{r}, t+\Delta t/2) - f(\vec{r}, t-\Delta t/2) \right]. \quad (e) \end{aligned}$$



(a)

Tässä on siis sovellettu kaavaa (3.3.55) asettamalla $x \rightarrow \tau$, $d/dt \rightarrow \partial/\partial t$. Kaava (c) pätee siis yleisesti. Kuvarsta (a) näkyy kaavan (e) geometrinen merkitys: Pisteiden A ja B kautta kulkeva suora on aina keski-

arvofunktion \bar{f} kuvaajalle asetetun tangentin suuntainen.

(4) Soveltamalla kaavaa (3.5.13) funktioon $f_1 f_2$ saadaan

$$\begin{aligned} \overline{f_1 f_2} &\equiv \frac{1}{\Delta t} \int f_1 f_2 d\tau = \frac{1}{\Delta t} \int (\bar{f}_1 + f_1') (\bar{f}_2 + f_2') d\tau \\ &= \frac{1}{\Delta t} \int \bar{f}_1 \bar{f}_2 d\tau + \frac{1}{\Delta t} \int \bar{f}_1 f_2' d\tau + \frac{1}{\Delta t} \int f_1' \bar{f}_2 d\tau + \frac{1}{\Delta t} \int f_1' f_2' d\tau \\ &= \bar{f}_1 \bar{f}_2 \frac{1}{\Delta t} \int d\tau + \bar{f}_1 \frac{1}{\Delta t} \int f_2' d\tau + \bar{f}_2 \frac{1}{\Delta t} \int f_1' d\tau + \frac{1}{\Delta t} \int f_1' f_2' d\tau \\ &= \bar{f}_1 \bar{f}_2 + \bar{f}_1 \cancel{f_2'} + \bar{f}_2 \cancel{f_1'} + \overline{f_1' f_2'} = \bar{f}_1 \bar{f}_2 + \overline{f_1' f_2'}, \quad (f) \end{aligned}$$

joka osoittaa kaavan (g) oikeaksi.

Aikakeskiarvokäsitettä sovelletaan jatkossa seuraavaa ajattelutapaa käyttäen. Yleiset nestemekanikan yhtälöt ovat voimassa myös turbulentsissa virtauksessa sellaisinaan. Käytännössä ei ole kuitenkaan mitään mahdollisuuksia ratkaista turbulentsista virtausta jostaista yksityiskohtaa myöten. Yleensä vain juuri keskiarvokäyttäytyminen kiinnostaa. Ottamalla yleisten yhtälöiden molempien puolien aikakeskiarvot saadaan edelleen yhtälöitä. Näissä yhtälöissä esiintyy haluttujen keskiarvosuureiden lisäksi yleensä myös valitettavasti heilakelusuureiden tiettyjä yhdistelmiä, joita ei voida jättää huomiotta. Jotta syntyvien yhtälöiden avulla voitaisiin ratkaista keskiarvosuureet, heilakelusuureista syntyvät lisätematattomat täytyy ensin voida arvioida kirjoittamalla sopivia lisäyhtälöitä. Tämä on erittäin vaikeatahtava, jonka ainakin osittaiseksi ratkaisemiseksi tehdään paljon kokeellista ja teoreettista tutkimustyötä.

Periaatteessa kaikki nestemekanikan suuret kuten \vec{v} , p , ρ , μ , u jne. käyttäytyvät turbulentsissa virtauksessa satunnaisesti. Jatkossa tullaan kuitenkin käsittelemään yksinkertaisuuden vuoksi lähinnä vain vakioviskositeetsuureen (tällöin $\bar{\rho} = \rho = \text{vakio}$, $\bar{g}' = 0$) turbulentsista virtausta.

Esimerkki 3.5.3. Massan säilyminen. johdetaan vakioviskositeetsuureesta koskevien yhtälöiden (3.4.5) ja (3.4.63) keskiarvomuodot.

(1) Yhtälö (3.4.5) on

$$\int v_n dS = 0, \quad (a)$$

jossa turbulentsissa tapauksessa $v_n = \bar{v}_n + v'_n$.
Otetaan yhtälön (a) molempien puolten aika-
keskiarvot:

$$\overline{\int v_n dS} = \bar{0},$$

$$\int \bar{v}_n dS = 0. \quad (b)$$

On siis sovellettu kaavaa (12), (3.5.16).

(2) Yhtälö (3.4.63) on

$$\frac{\partial v_x}{\partial x} + \frac{\partial v_y}{\partial y} + \frac{\partial v_z}{\partial z} = 0, \quad (c)$$

jossa siis

$$v_x = \bar{v}_x + v'_x, \quad v_y = \bar{v}_y + v'_y, \quad v_z = \bar{v}_z + v'_z. \quad (d)$$

Otetaan yhtälön (c) molempien puolten aika-
keskiarvot:

$$\overline{\frac{\partial v_x}{\partial x} + \frac{\partial v_y}{\partial y} + \frac{\partial v_z}{\partial z}} = \bar{0},$$

$$\frac{\partial \bar{v}_x}{\partial x} + \frac{\partial \bar{v}_y}{\partial y} + \frac{\partial \bar{v}_z}{\partial z} = 0,$$

$$\frac{\partial \bar{v}_x}{\partial x} + \frac{\partial \bar{v}_y}{\partial y} + \frac{\partial \bar{v}_z}{\partial z} = 0. \quad (e)$$

On sovellettu kaavoja (3), (5), (3.5.16).

Keskiarvonopeuksia koskevat yhtälöt (b)
ja (e) ovat siis täsmälleen samoja kuin
hetkellisiä nopeuksia koskevat yhtälöt
(a) ja (c). Heilakelunopeuksia sisältäviä
termejä ei siis ilmesty mukaan tässä

tapauksessa, joten turbulenssin käsittely ei aiheuta mitään vaikeuksia.

Heilakäytöksiä ilmestyy vasta silloin, kun yhtälöissä esiintyy kahden tai useamman satunnaisuuden tai niiden derivaattojen tulot. Jos tarkastellaan esimerkiksi täydellistä jatkuvuusyhtälöä (3.4.55):

$$\frac{\partial \rho}{\partial t} + \frac{\partial(\rho v_x)}{\partial x} + \frac{\partial(\rho v_y)}{\partial y} + \frac{\partial(\rho v_z)}{\partial z} = 0, \quad (F)$$

josta myt myös $\rho = \bar{\rho} + \rho'$, saadaan

$$\frac{\partial \rho}{\partial t} + \frac{\partial(\rho v_x)}{\partial x} + \frac{\partial(\rho v_y)}{\partial y} + \frac{\partial(\rho v_z)}{\partial z} = 0,$$

$$\frac{\partial \bar{\rho}}{\partial t} + \frac{\partial(\bar{\rho} v_x)}{\partial x} + \frac{\partial(\bar{\rho} v_y)}{\partial y} + \frac{\partial(\bar{\rho} v_z)}{\partial z} = 0,$$

$$\frac{\partial \bar{\rho}}{\partial t} + \frac{\partial(\bar{\rho} \bar{v}_x)}{\partial x} + \frac{\partial(\bar{\rho} \bar{v}_y)}{\partial y} + \frac{\partial(\bar{\rho} \bar{v}_z)}{\partial z} +$$

$$+ \frac{\partial(\bar{\rho} v'_x)}{\partial x} + \frac{\partial(\bar{\rho} v'_y)}{\partial y} + \frac{\partial(\bar{\rho} v'_z)}{\partial z} = 0. \quad (9)$$

Tässä on sovellettu jo kaavaa (9), (3.5.16). Yhtälö (9) sisältää siis myös heilakäytöstermejä.

4. KINETIIKKA

4.1 Yleistä

Kinetiikassa käsitellään yleisistä akrioimista (1.2.3)... (1.2.6) saatuja yhtälöitä täyden-
nettyinä kinematiikan antamalla yhtälöillä
sekä kourtitutivisilla yhteyksillä.

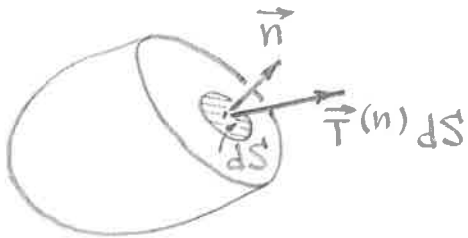
4.2 Jännitys

Jännitys on yleisenä käsitteenä tensoriarvoinen
paikan ja ajan funktio, jonka komponentit
saavat aina kussakin koordinaatistossa tietyt
arvot. Tässä tullaan toimimaan lähinnä karteerisen
suorakulmaisen koordinaatiston ja siinä esiinty-
vien jännityskomponenttien avulla. Samoin koh-
dassa 3.3.5 käsitelty muodonmuutosnopeus
on yleisenä käsitteenä tensori, jonka karteer-
siset suorakulmaiset komponentit ovat $[D]$ -mat-
riisin alkiot $d_x, 1/2 \cdot g_{yz}$ jne.; $[D]$ on muodon-
muutosnopeustensorin matriisiesitys.

Lagrangen esitystavassa joudutaan toimimaan
suurten siirtymien teorian yhteydessä monimut-
kaisilla jännityskäsitteillä kuten esimerkiksi
Piola-Kirchhoffin 2. lajin jännitys. Eulerin esi-
tystavassa toimitaan (tässä jatkossa esiintyvän)
paljon yksinkertaisemman suureen, ms. Eulerin jän-
nityksen avulla. Pelkällä nimityksellä jännitys
tarkoitetaan yleensä ja jatkossa juuri Eulerin
jännitystä. Tavallisissa pienien siirtymien

teoriaa sovellettavassa rakenteiden mekaniikassa tai lujuusopissa toimitaan myös Eulerin jännityksen avulla. Tällä perusteella jännitykseen liittyviä käsitteitä pidetään tässä pitkälti tunnettuina ja tietyt asiat jätetään todistamatta.

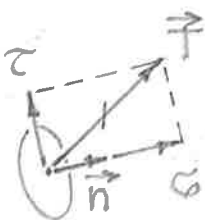
Jännitysvektori $\vec{T}(x, y, z, t)$, joka antaa tietyn pisteen kautta asetettuun pinta-alkioon dS vaikuttavan voiman $\vec{T}dS$, riippuu paitsi ko. pisteen koordinaateista ja mahdollisesti ajasta myös pinta-alkion suunnasta eli siis pinta-alkion ulkoisesta yksikkönormaali-vektorista \vec{n} (kuva 4.2.1).



Kuva 4.2.1 Vektori \vec{T} riippuu vektorista \vec{n} .

Tätä riippuvuutta kuvataan usein kirjoittamalla jännitysvektorin tunnus muotoon $\vec{T}^{(n)}$. Englanninkielisessä kirjallisuudessa sanalle \vec{T} käytetään nimityksen stress vector sijasta monasti nimitystä traction (= veto, vetäminen) etenkin silloin, kun tarkastellaan kappaleen varsinaista reuna-pintaa eikä vain jotain kuviteltua leikkausta. Traction-sanan suomenkielinen vastine voisi olla termi traktio eli pintavoima / pinta-ala.

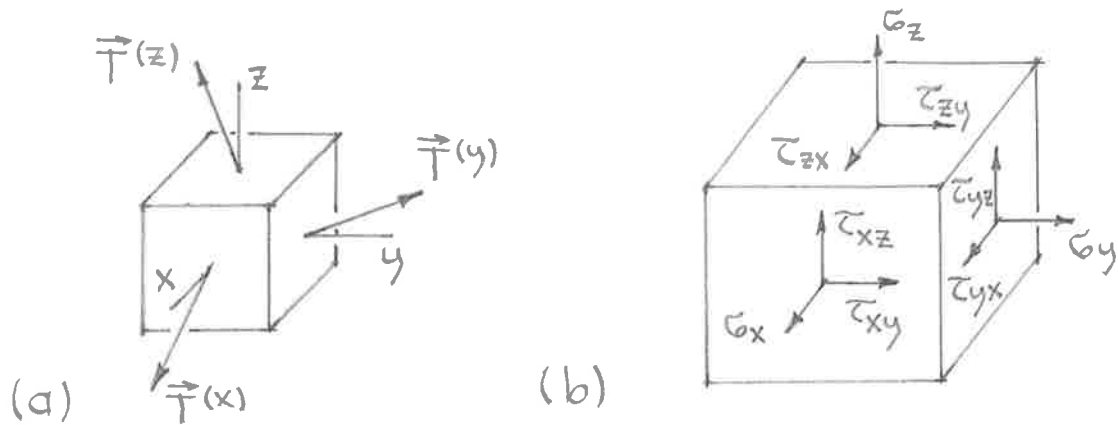
Kuvassa 4.2.2 on esitetty jännitysvektorin \vec{T} jako normaalijännitykseen σ ja leikkausjännitykseen τ . Jos käsitellään vastaavia vektorikomponentteja $\vec{\sigma}$ ja $\vec{\tau}$, saadaan



Kuva 4.2.2 Normaalijännitys σ ja leikkausjännitys τ .

$$\vec{T} = \vec{\sigma} + \vec{\tau}. \quad (4.2.1)$$

Kuva 4.2.3 liittyä jännitysten erittämiseen kar-



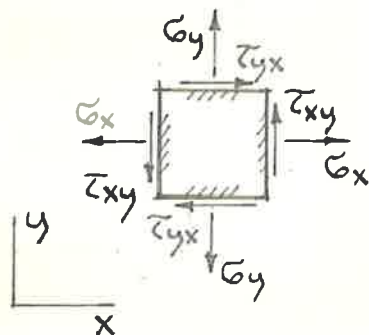
Kuva 4.2.3 (a) Kolmeen pinta-alkion suuntaan liitetyt jännitysvektorit. (b) jännityskomponentit.

teisessä suorakulmaisessa xyz -koordinaatistossa. Kuvaan (a) merkinnät $\vec{T}^{(x)}$, $\vec{T}^{(y)}$ ja $\vec{T}^{(z)}$ tarkoittavat jännitysvektoreita tietyssä pisteessä, kun pinta-alkion normaali \vec{n} yhtyy x -, y - ja z -akselien positiivisiin suuntiin. Kuvaan esittämä suorakulmainen särmiö on siis ajateltava äärettömän pieneksi. Kuvaan (b) merkintöjä käyttäen näiden jännitysvektoreiden eritys \vec{i} , \vec{j} , \vec{k} -kannassa on

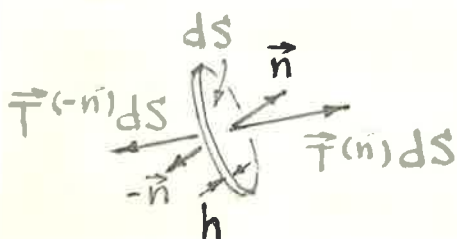
$$\left. \begin{aligned} \vec{T}^{(x)} &= \sigma_x \vec{i} + \tau_{xy} \vec{j} + \tau_{xz} \vec{k}, \\ \vec{T}^{(y)} &= \tau_{yx} \vec{i} + \sigma_y \vec{j} + \tau_{yz} \vec{k}, \\ \vec{T}^{(z)} &= \tau_{zx} \vec{i} + \tau_{zy} \vec{j} + \sigma_z \vec{k}. \end{aligned} \right\} \quad (4.2.2)$$

Suurteita σ_x , τ_{xy} jne. nimitetään jännitystensorin komponenteiksi tai lyhyemmin jännityskomponenteiksi (engl. stress component). Kuten edellä, σ :t ovat ns. normaali-jännityksiä ja τ :t leikkausjännityskomponentteja. Jännityskomponentit määritellään (yleensä) positiivisiksi, kun ne vaikuttavat kuvassa (b) esitettyihin koordinaatti-akselien positiivisiin suuntiin. Särmiön vastakkaisilla tahkoilla - ei esitetty kuvassa -

joiden ulkoiset normaalit osoittavat koordinaattiakselien negatiivisiin suuntiin, jännityskomponenttien positiiviset suunnat ovat vastakkaiset kuvassa esitetyleille suunnille. Kuva



Kuva 4.2.4 Kaksi-dimensionoinen tapaus.



Kuva 4.2.5 Jännitysvektorin suunnan muuttuminen.

4.2.4 osoittaa tätä kaksi-dimensionoisessa tapauksessa. Huomautettakoon, ettei ole tapana operoida suureiden σ_x , τ_{x-y} jne. avulla.

Edelliseen liittyy läheisesti tulos

$$\vec{T}^{(-n)} = -\vec{T}^{(n)} \quad (4.2.3)$$

jonka mukaan jännitysvektorin vaihtaa suuntaa, kun ko. pisteeseen liittyvän pinta-alkion ulkoisen normaali vaihtaa suuntaansa. Kaava saadaan soveltamalla liikemäärän taseen periaatetta kuvan 4.2.5 esittämään ohueeseen

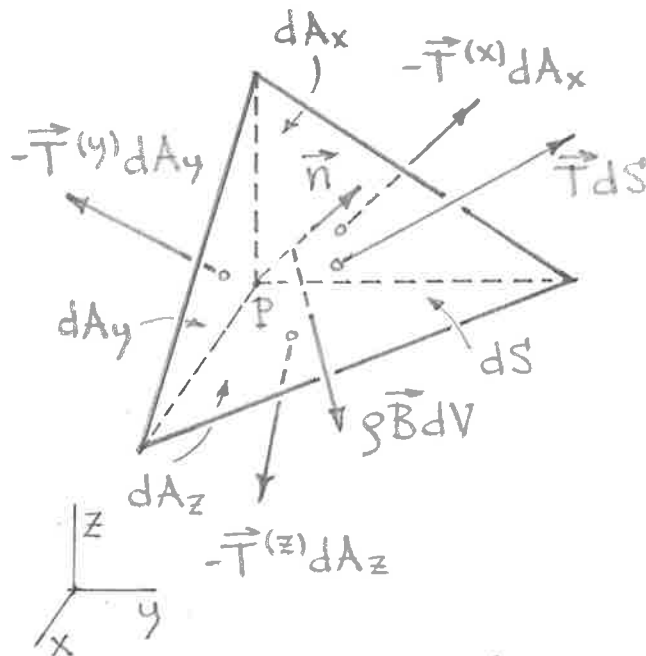
aineliinseen antaen paksuuden h lähestyvä nol-laa.

Soveltamalla samoin liikemäärän taseen periaatetta kuvan 4.2.6 esittämään äärettömän pienen tetraedrin saadaan vektoriyhtälö

$$\vec{T} = n_x \vec{T}^{(x)} + n_y \vec{T}^{(y)} + n_z \vec{T}^{(z)} \quad (4.2.4)$$

eli ottaen huomioon erityykset (4.2.2) skalaari-yhtälöt

$$\left. \begin{aligned} T_x &= n_x \sigma_x + n_y \tau_{yx} + n_z \tau_{zx} \\ T_y &= n_x \tau_{xy} + n_y \sigma_y + n_z \tau_{zy} \\ T_z &= n_x \tau_{xz} + n_y \tau_{yz} + n_z \sigma_z \end{aligned} \right\} (4.2.5)$$



Kuva 4.2.6 Differentiaalinen tetraedrialkio.

On siis merkitty

$$\vec{T} = T_x \vec{i} + T_y \vec{j} + T_z \vec{k} \quad (4.2.6)$$

ja

$$\vec{n} = n_x \vec{i} + n_y \vec{j} + n_z \vec{k}. \quad (4.2.7)$$

Kaava (4.2.4) tai kaavat (4.2.5) ilmaisevat ns. traktio-jännityskomponentti-yhteyden. Jos siis tietyssä pisteessä tunnetaan jännityskomponentit σ_x ,

τ_{xy} jne., mielivaltaiseen suuntaan ko. pisteen kautta asetettuun pinta-alkioon liittyvä jännitysvektori voidaan aina laskea näiden kaavojen avulla. Usein kaavoja sovelletaan käänteisesti kappaleen reunalla: Traktio on annettu, jolloin kaavat antavat tietyt reunalla vallitsevia jännityskomponentteja koskevat reunaehdot. Jos pintajännityksen vaikutus tulee ottaa huomioon, kaavoja on täydennettävä; ei käsitellä tässä.

Soveltamalla vielä kulmalikemäärän taseen periaatetta kuvan 4.2.3 esittämään differentiaaliseen suorakulmaiseen särmiöön

saadaan lopuksi ns. Cauchyn II liikelaki (Cauchy n. 1827) eli ns. parittaisten leikkauksenjännityskomponenttien yhtäsuuruutta koskevat yhtälöt

$$\boxed{\tau_{yz} = \tau_{zy}, \tau_{zx} = \tau_{xz}, \tau_{xy} = \tau_{yx}.} \quad (4.2.8)$$

Yhteenvetona edellä esitetystä voidaan siis todeta, että ns. jännitystilaa tietyssä pisteessä määrittävät kuusi riippumattomia suuretta: $\sigma_x, \sigma_y, \sigma_z$ ja esimerkiksi τ_{yz}, τ_{zx} ja τ_{xy} .

Kappaleessa vallitseva ns. jännitystilakenttä taas määräytyy ko. suureiden avulla, kun ne ajatellaan paikan ja ajan funktioiksi.

Deviaatiojännitys. Kirjoitetaan normaalijännityskomponentit muotoon

$$\boxed{\sigma_x = -p + \sigma_x^*, \sigma_y = -p + \sigma_y^*, \sigma_z = -p + \sigma_z^*,} \quad (4.2.9)$$

jossa suure

$$\boxed{p = -\frac{1}{3}(\sigma_x + \sigma_y + \sigma_z)} \quad (4.2.10)$$

on ns. keskimääräinen normaalijännitys miinusmerkkisenä eli ns. paine. (Paine määritellään nestemekanikassa joskus edellisestä poikkeavalla tavalla.) Suureita

$$\sigma_x^*, \sigma_y^*, \sigma_z^*, \tau_{yz}, \tau_{zx}, \tau_{yx} \quad (4.2.11)$$

nimitetään deviaatiojännityskomponenteiksi (engl. deviatoric stress component; deviate = poiketa).

Laskemalla yhtälöt (4.2.9) puolittain yhteen saadaan yleinen deviaationormaalijännityskomponentteja koskeva tulos

$$\sigma_x^* + \sigma_y^* + \sigma_z^* = 0. \quad (4.2.12)$$

Deviaatiojännityskomponenttien hävitessä

$$\sigma_x = \sigma_y = \sigma_z = -p, \quad \tau_{yz} = \tau_{zx} = \tau_{xy} = 0 \quad (4.2.13)$$

ja kaavat (4.2.5) antavat tulokset

$$T_x = -n_x p, \quad T_y = -n_y p, \quad T_z = -n_z p \quad (4.2.14)$$

eli jo aikaisemmin nestestatikassa esiintyneet kaavat (2.1.4).

Jännitystilaa (4.2.13), jossa deviaatiojännityskomponentit häviävät, nimitetään isotrooppiseksi, pallomaiseksi tai joskus hydrostaattiseksi jännitystilaksi; viimeinen nimitys ei ole suositeltava. Isotrooppisessa tapauksessa jännitysvektori on siis aina kohtisuorassa pinta-alkiotaan vastaan ja sen suuruus tietyssä pisteessä ei riipu pinta-alkion suunnasta. Nesteen määritelmän perusteella jännitystila on täten aina isotrooppinen jatkuva lepotilassa olevassa mielivaltaisessa nesteessä sekä lisäksi ideaalinesteen virtauksessa. Todellisen nesteen virtauksessa syntyy kitkan johdosta nolhasta eroavia deviaatiojännityskomponenttejä.

Newtonin neste. Newtonin nesteen konstitutiiviseksi yhteykseen otetaan tavallisesti tiettyjen otaksumien perusteella (ks. esimerkiksi Lähteet (17), (24)) kaavat

$$\left. \begin{aligned} \sigma_x^* &= 2\mu d_x - \frac{2}{3}\mu(d_x + d_y + d_z), & \tau_{yz} &= \mu g_{yz}, \\ \sigma_y^* &= 2\mu d_y - \frac{2}{3}\mu(d_x + d_y + d_z), & \tau_{zx} &= \mu g_{zx}, \\ \sigma_z^* &= 2\mu d_z - \frac{2}{3}\mu(d_x + d_y + d_z), & \tau_{xy} &= \mu g_{xy}. \end{aligned} \right\} (4.2.15)$$

Kaavojen sisältö kulkee nimellä Stokerin kitka-
Laki (engl. Stokes' viscosity law). Kaavat
(1.1.2) ja (1.3.34) ovat kitkalain erikoistapa-
uksia. Paine lasketaan tilaughtälön avulla.

Kokoonpuristumattomalla nesteellä dilataatio-
nopeus (ks. kaava (3.4.59)) $d_x + d_y + d_z = \vec{v} \cdot \vec{v} =$
 $\partial v_x / \partial x + \partial v_y / \partial y + \partial v_z / \partial z = -1/\rho \cdot d\rho/dt$ häviää ja
kitkalaki saa yksinkertaisemman muodon

$$\left. \begin{aligned} \sigma_x^* &= 2\mu d_x, & \tau_{yz} &= \mu g_{yz}, \\ \dots & & \dots & \end{aligned} \right\} (4.2.16)$$

Paine ei määräydy enää tilaughtälöstä, koska
se on nyt rajoitetoiman tyyppinen suure.
Lausekkeiden (4.2.15) ja (4.2.16) nähdään to-
tenttavan yhtälön (4.2.12).

Stokerin kitkalaki on analoginen isotrooppista
kimmoista ainetta koskevan ns. yleistetyn
Hooken lain kanssa, joka voidaan kirjoit-
taa mm. muotoon

$$\left. \begin{aligned} \sigma_a^* &= 2G\varepsilon_a - \frac{2}{3}G(\varepsilon_a + \varepsilon_b + \varepsilon_c), & \tau_{bc} &= G\gamma_{bc}, \\ \dots & & \dots & \end{aligned} \right\} (4.2.17)$$

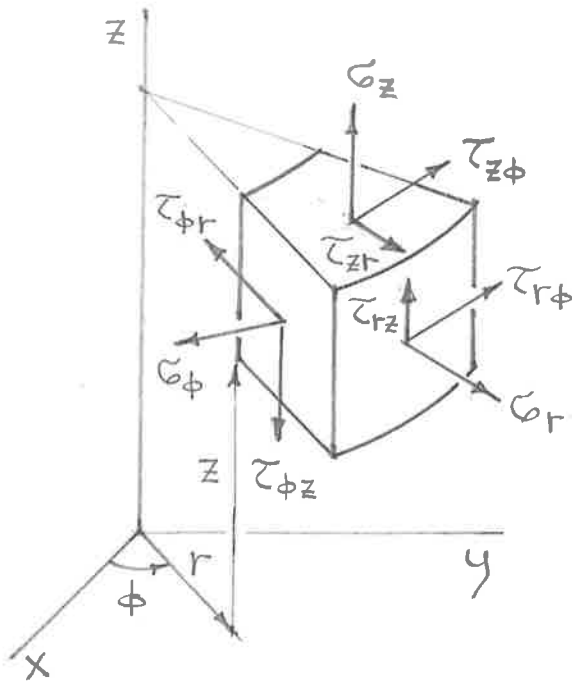
$$p \equiv -\frac{1}{3}(\sigma_a + \sigma_b + \sigma_c) = -K(\varepsilon_a + \varepsilon_b + \varepsilon_c), \quad (4.2.18)$$

jossa G on ns. liukakerroin ja K ns. puris-
tuuskerroin.

Nesteiden yhteydessä muodonnuntorinopeuskomponentit eivät ole sinänsä yhtä tärkeitä kuin muodonnuntoskomponentit kiinteillä aineilla. Tämän vuoksi Stokesin kitkalaki esitetäänkin tavallisesti suoraan nopeuskomponenttien avulla lausutussa muodossa.

$$\begin{aligned} \sigma_x^* &= 2\mu \frac{\partial v_x}{\partial x} - \frac{2}{3}\mu \vec{\nabla} \cdot \vec{v}, & \tau_{yz} &= \mu \left(\frac{\partial v_y}{\partial z} + \frac{\partial v_z}{\partial y} \right), \\ \sigma_y^* &= 2\mu \frac{\partial v_y}{\partial y} - \frac{2}{3}\mu \vec{\nabla} \cdot \vec{v}, & \tau_{zx} &= \mu \left(\frac{\partial v_z}{\partial x} + \frac{\partial v_x}{\partial z} \right), \\ \sigma_z^* &= 2\mu \frac{\partial v_z}{\partial z} - \frac{2}{3}\mu \vec{\nabla} \cdot \vec{v}, & \tau_{xy} &= \mu \left(\frac{\partial v_x}{\partial y} + \frac{\partial v_y}{\partial x} \right). \end{aligned} \quad (4.2.19)$$

* Sylinterikoordinaatisto. Kuva 4.2.7 selviää sylinterikoordinaatistossa käytettyjen jännitys-komponenttien $\sigma_r, \tau_{\phi z}$ jne. merkitys. Katso myös esimerkiksi Lähde (21).



Kuva 4.2.7

Voidaan osoittaa, että kaavan (4.2.10) määrittelemä paine tietyssä pisteessä on ns. invariantti suure, jonka arvo ei muutu valittuina toisinaan vastaan kohtisuorassa olevat suunnat x, y ja z miten hyvänsä. Täten tässä paine

$$p = -\frac{1}{3} (\sigma_r + \sigma_\phi + \sigma_z). \quad (4.2.20)$$

Kaavojen (4.2.8) vastineet ovat

$$\tau_{\phi z} = \tau_{z\phi}, \quad \tau_{zr} = \tau_{rz}, \quad \tau_{r\phi} = \tau_{\phi r}. \quad (4.2.21)$$

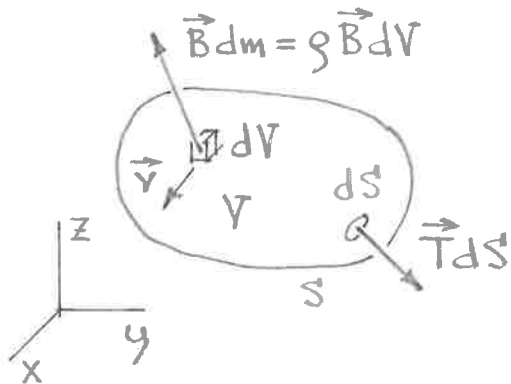
Stokesin kitkalaki saa muodon

$$\left. \begin{aligned} \sigma_r^* &= 2\mu d_r - \frac{2}{3}\mu(d_r + d_\phi + d_z), & \tau_{\phi z} &= \mu g_{\phi z} \\ \sigma_\phi^* &= 2\mu d_\phi - \frac{2}{3}\mu(d_r + d_\phi + d_z), & \tau_{zr} &= \mu g_{zr} \\ \sigma_z^* &= 2\mu d_z - \frac{2}{3}\mu(d_r + d_\phi + d_z), & \tau_{r\phi} &= \mu g_{r\phi}. \end{aligned} \right\} (4.2.22)$$

4.3 Liikemäärän tase

4.3.1 Äärellinen muoto

Yleinen tapaus. Liikemäärän taseen periaate on vielä toistettuna



$$\vec{F} = \dot{\vec{p}}. \quad (4.3.1)$$

Samoin toistuen kohtaa 2.1 kappaleeseen (kuva 4.3.1) vaikuttavien ulkais-
ten voimien resultantti
 \vec{F} koostuu kappalevoimien
resultantista \vec{F}^B ja pinta-
voimien resultantista \vec{F}^S

Kuva 4.3.1 Kontinuumi-
kappale.

eli

$$\vec{F} = \vec{F}^B + \vec{F}^S, \quad (4.3.2)$$

jossa

$$\left. \begin{aligned} \vec{F}^B &= \int \rho \vec{B} dV \\ &= \int \rho B_x dV \vec{i} + \int \rho B_y dV \vec{j} + \int \rho B_z dV \vec{k}, \end{aligned} \right\} (4.3.3)$$

$$\left. \begin{aligned} \vec{F}^s &= \int \vec{T} dS, \\ &= \int T_x dS \vec{i} + \int T_y dS \vec{j} + \int T_z dS \vec{k}. \end{aligned} \right\} \quad (4.3.4)$$

Kappaleen liikemäärä

$$\left. \begin{aligned} \vec{p} &= \int \rho \vec{v} dV, \\ &= \int \rho v_x dV \vec{i} + \int \rho v_y dV \vec{j} + \int \rho v_z dV \vec{k}. \end{aligned} \right\} \quad (4.3.5)$$

Liikemäärän ainederivaattaki saadaan Reynoldsin
Lausesta (3.3.60) soveltamalla ($\vec{F} \hat{=} \rho \vec{v}$)

$$\dot{\vec{p}} = \frac{d}{dt} \int \rho \vec{v} dV = \int \frac{\partial(\rho \vec{v})}{\partial t} dV + \int \rho \vec{v} v_n dS. \quad (4.3.6)$$

Termi $\int \rho \vec{v} v_n dS$ on ns. liikemäärävirta (engl. momentum
flow rate) (kgm/s^2) kontrollipinnan läpi aluesta
ulos.

Täten liikemäärän taseen periaatteen ärelliseksi
muodoksi saadaan yhtälö

$$\boxed{\vec{F} = \int \frac{\partial(\rho \vec{v})}{\partial t} dV + \int \rho \vec{v} v_n dS} \quad (4.3.7)$$

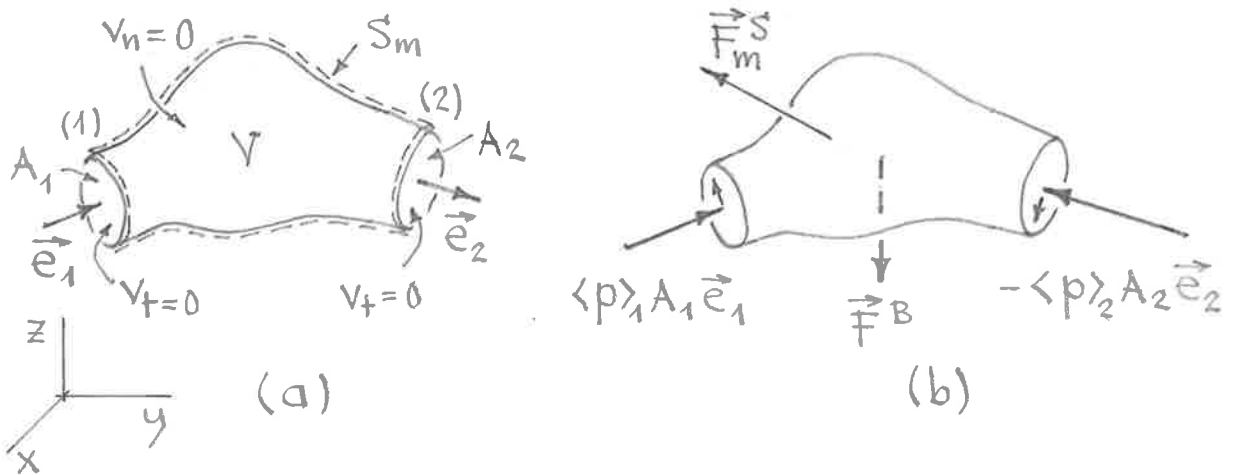
eli

$$\left. \begin{aligned} F_x &= \int \frac{\partial(\rho v_x)}{\partial t} dV + \int \rho v_x v_n dS, \\ F_y &= \int \frac{\partial(\rho v_y)}{\partial t} dV + \int \rho v_y v_n dS, \\ F_z &= \int \frac{\partial(\rho v_z)}{\partial t} dV + \int \rho v_z v_n dS. \end{aligned} \right\} \quad (4.3.8)$$

Toistettakoon vielä, että \vec{F} tarkoittaa siis kontrolli-
alueessa ko. hetkellä olevaan systeemiin eli
kappaleeseen vaikuttavien ulkoisten voimien resul-
tanttia, jonka selvittämiseksi on jälleen aina

siisä käyttää vapaakappalekuviota.

Standardikontrollialue, $[0(1), 0(2), 0(3)]$. Tässä tehdään kohdassa 3.4.1 standardikontrollialueeseen liittyvän otakruman (1) eli $v_n = 0$ raippapinnalla S_m lisäksi vielä otakrumat (2) ja (3) poikkileikkausten 1 ja 2 kohdalla, sillä ilman näitä lisäotakrumia ei saada paljoakaan aikaan.



Kuva 4.3.2 (a) Standardikontrollialue ja (b) siinä olevan kappaleen vapaakappalekuvio.

Yleinen yhtälö (4.3.7) muuntuu seuraavasti:

$$\vec{F} = \int \frac{\partial(\rho \vec{v})}{\partial t} dV + \int \rho \vec{v} v_n dS,$$

$$\vec{F} = \int \frac{\partial(\rho \vec{v})}{\partial t} dV + \int_{S_m} \rho \vec{v} v_n dS + \int_{A_1} \rho \vec{v} v_n dA + \int_{A_2} \rho \vec{v} v_n dA,$$

$$\vec{F} = \int \frac{\partial(\rho \vec{v})}{\partial t} dV - \rho_1 \int_{A_1} v \vec{e}_1 v dA + \rho_2 \int_{A_2} v \vec{e}_2 v dA,$$

$$\vec{F} = \int \frac{\partial(\rho \vec{v})}{\partial t} dV - \rho_1 \int_{A_1} v^2 dA \vec{e}_1 + \rho_2 \int_{A_2} v^2 dA \vec{e}_2, \quad (4.3.9)$$

jossa on siis käytetty hypäkki kaikkia otakrumia (1), (2) ja (3); katso myös kuva 4.3.2(a).

Termi $\rho \int v^2 dA \vec{e}$ esittää poikkileikkauksen läpi kulkevaa liikemäärävirrata. On tapana määritellä ns. liikemäärän korjaustekijä (engl. momentum correction factor) β ($[\beta] = -$) kaavalla

$$\beta = \frac{\langle v^2 \rangle}{\langle v \rangle^2} = \frac{\frac{1}{A} \int v^2 dA}{\left(\frac{1}{A} \int v dA\right)^2} = \frac{\int v^2 dA}{A \langle v \rangle^2}. \quad [0(2), 0(3)] \quad (4.3.10)$$

Tämän merkinnän avulla liikemäärävirta

$$\begin{aligned} \rho \int v^2 dA \vec{e} &= \rho \beta A \langle v \rangle^2 \vec{e} = \beta \rho A \langle v \rangle \langle v \rangle \vec{e}, \\ &= \beta \rho Q \langle v \rangle \vec{e} = \beta w \langle v \rangle \vec{e}; \quad [0(2), 0(3)] \quad (4.3.11) \end{aligned}$$

katso kaavat (3.4.20) ja (3.4.21). Jos nopeusjakautuma poikkileikkauksessa on vakio, kerroin $\beta = 1$. Laminaarisessa putkivirtauksessa $\beta = 4/3$, kun putken poikkileikkaus on ympyrä. Turbulenttisessa virtauksessa nopeus on jakautunut melko tasaisesti ja kerroin β saattaa olla pienempi kuin 1,05; usein otetaan $\beta \approx 1$.

Kaava (4.3.9) tulee siis olemaan

$$\boxed{\vec{F} = \int \frac{\partial(\rho \vec{v})}{\partial t} dV + \dots - \beta_1 \rho_1 Q_1 \langle v \rangle_1 \vec{e}_1 + \beta_2 \rho_2 Q_2 \langle v \rangle_2 \vec{e}_2.} \quad [0(1), 0(2), 0(3)] \quad (4.3.12)$$

Tavallisin sovellustilanne on pyrpyvä virtaus, jolloin tilavuusintegraali häviää ja kaavan (3.4.24) perusteella massavirta

$$\rho_1 Q_1 = \rho_2 Q_2 \equiv \rho Q = w = \text{vakio} \quad (4.3.13)$$

ja saadaan yhtälö

$$\boxed{\vec{F} = gQ (\beta_2 \langle v \rangle_2 \vec{e}_2 - \beta_1 \langle v \rangle_1 \vec{e}_1)} \quad [0(1), 0(2), 0(3)] \quad (4.3.14)$$

Vastaavat skalaarikomponenttiyhtälöt ovat

$$\left. \begin{aligned} F_x &= gQ (\beta_2 \langle v \rangle_2 l_2 - \beta_1 \langle v \rangle_1 l_1), \\ F_y &= gQ (\beta_2 \langle v \rangle_2 m_2 - \beta_1 \langle v \rangle_1 m_1), \\ F_z &= gQ (\beta_2 \langle v \rangle_2 n_2 - \beta_1 \langle v \rangle_1 n_1), \end{aligned} \right\} \quad (4.3.15)$$

jossa l, m ja n ovat vektorin \vec{e} komponentit eli $\vec{e} = l\vec{i} + m\vec{j} + n\vec{k}$.

○ Resultantti \vec{F} koostuu kuvassa 4.3.2 (b) esitetyistä voimista. Kohdassa 4.3.2 yhdeksänsuuntaisvoimakseksen yhteydessä saatujen tulosten perusteella otaksumasta (3) seuraa, että poikkileikkauksissa vaikuttava normaalijännitys $\sigma = -p$, koska deviationormaalijännitys σ^* häviää. Täten normaalijännityksistä poikkileikkauksiin vaikuttavat resultantit ovat vastaavasti

$$\left. \begin{aligned} \int_{A_1} p \vec{e} dA &= \int_{A_1} p dA \vec{e}_1 = \langle p \rangle_1 A_1 \vec{e}_1, \\ - \int_{A_2} p \vec{e} dA &= - \int_{A_2} p dA \vec{e}_2 = - \langle p \rangle_2 A_2 \vec{e}_2. \end{aligned} \right\} \quad (4.3.16)$$

○ lisäksi otaksumasta (3) seuraa, että paine jakautuma poikkileikkauksessa on hydrostaattinen, joten taas esimerkin 2.2.1 tulosten perusteella voidaan kirjoittaa

$$\langle p \rangle = p_c \quad (4.3.17)$$

jossa p_c on paineen arvo poikkileikkauksen pintakerkin C kohdalla.

Leikkauksjännityksistä poikkileikkauksiin kertyvät voimat ovat tavallisesti pienet -

köjä ja ne otaksutaan yleensä nollikri. Näin käy symmetrisistä tarkasti mm. putkivirtauksessa, kun poikkileikkaus on ympyrä.

Kappalevoimien resultantti: \vec{F}^B johtuu tavallisesti painovoimasta ja on siis helppo laskea tarkasti. Vaippaan vaikuttavien pintavoimien resultantti F_m^S voi olla vaikea arvioida, joissakin tehtävissä se onkin tuntematon, joka ratkaistaan juuri yhtälön (4.3.14) avulla.

Esimerkki 4.3.1. Ympyräpoikkileikkaus. Lasetaan liikemäärän koefisiientti β esimerkissä 3.4.1 esitetyn (1) laminaarisen nopeusjakautuman

$$v(r) = \left[1 - \left(\frac{r}{R}\right)^2\right] v_{\max} \quad (a)$$

ja (2) turbulentsin nopeusjakautuman

$$v(r) = \left(1 - \frac{r}{R}\right)^{1/n} v_{\max} \quad (n=7) \quad (b)$$

tapauksissa.

(1) laminaarisessa virtauksessa

$$\begin{aligned} \int_A v^2 dA &= \int_0^R v(r) 2\pi r dr = 2\pi \int_0^R \left[1 - \left(\frac{r}{R}\right)^2\right]^2 r dr \cdot v_{\max}^2 \\ &= 2\pi \int_0^R \left(r - 2\frac{r^3}{R^2} + \frac{r^5}{R^4}\right) dr \cdot v_{\max}^2 \\ &= 2\pi \int_0^R \left(\frac{1}{2}r^2 - \frac{1}{2}\frac{r^4}{R^2} + \frac{1}{6}\frac{r^6}{R^4}\right) v_{\max}^2 \\ &= 2\pi R^2 \left(\frac{1}{2} - \frac{1}{2} + \frac{1}{6}\right) v_{\max}^2 = \frac{1}{3} \pi R^2 v_{\max}^2. \quad (c) \end{aligned}$$

Esimerkin 3.4.1 perusteella $\langle v \rangle = \frac{1}{2} v_{\max}$, joten kaavasta (4.3.10) saadaan

$$\beta = \frac{\int v^2 dA}{A \langle v \rangle^2} = \frac{\frac{1}{3} \pi R^2 v_{\max}^2}{\pi R^2 \cdot \frac{1}{4} v_{\max}^2} = \frac{4}{3} \approx 1,33. \quad (d)$$

(2) Turbulentissa virtauksessa

$$\int_A v^2 dA = \int_0^R v^2(r) 2\pi r dr = 2\pi \int_0^R \left(1 - \frac{r}{R}\right)^{2/n} r dr \cdot v_{\max}^2. \quad (e)$$

*↓ Ottamalla käyttöön apumuuttuja $t = \left(1 - \frac{r}{R}\right)^{1/n}$, saadaan

$$r = R(1 - t^n), \quad dr = -R n t^{n-1} dt \quad (f)$$

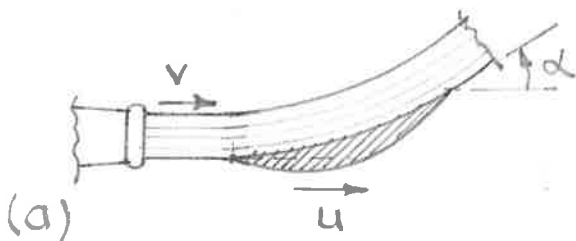
ja integraaliksi tulee

$$\begin{aligned} \int_A v^2 dA &= 2n\pi R^2 \int_1^0 (t^{2n+1} - t^{n+1}) dt \cdot v_{\max}^2 \\ &= 2n\pi R^2 \left[\frac{1}{2n+2} t^{2n+2} - \frac{1}{n+2} t^{n+2} \right]_1^0 v_{\max}^2 \\ &= 14\pi R^2 \left(-\frac{1}{16} + \frac{1}{9} \right) v_{\max}^2 = \frac{49}{72} \pi R^2 v_{\max}^2. \quad (g) \end{aligned}$$

*↑ Esimerkin 3.4.1 perusteella $\langle v \rangle = 49/60 \cdot v_{\max}$, joten

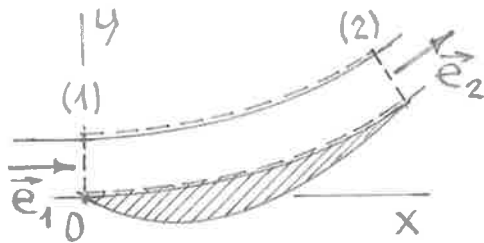
$$\beta = \frac{\int v^2 dA}{A \langle v \rangle^2} = \frac{\frac{49}{72} \pi R^2 v_{\max}^2}{\pi R^2 \cdot \frac{49^2}{60^2} v_{\max}^2} = \frac{150}{147} \approx 1,02. \quad (h)$$

Esimerkki 4.3.2. Nestevuikko. Kuvan (a) esittämä nestevuikko osuu siipeen, jonka tulo- ja jätöreunan välinen kulma on α . Määritetään voima, jolla



meste vaikuttaa siipeen, (1) kun siipi on kiinteä, (2) kun siipi liikkuu vakiovauhdilla u oikealle. Otakutaan vakiotiheysneste, pyörvä virtaus Q ja keskimääräinen nopeus $v \equiv \langle v \rangle$ kiinteän suuttimen suhteeseen.

(1) Kuvasa (b) näkyy valittu kontrollialue ja koordinaatisto. Ajatellaan kyseessä olevan tasovirtaus xy -tasossa. Otakutaan miltei tasainen nopeusjakautuma ja otetaan siis $\beta_1 = \beta_2 = 1$. (a)



(b)

disäkrei kuvasa (b) merkin-

töjen perusteella

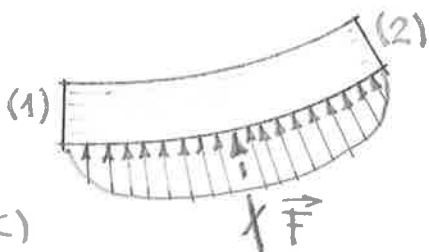
$$l_1 = 1, m_1 = 0, l_2 = \cos \alpha, m_2 = \sin \alpha \quad (b)$$

ja kaavat (4.3.15) antavat

$$\left. \begin{aligned} F_x &= \rho Q (\langle v \rangle_2 \cos \alpha - \langle v \rangle_1) \\ F_y &= \rho Q \langle v \rangle_2 \sin \alpha \end{aligned} \right\} \quad (c)$$

Nopeus $\langle v \rangle_1 = v$, mutta nopeus $\langle v \rangle_2$ on tuntematon. Jos otakutaan kitkaton virtaus ja jätetään painovoiman vaikutus vähäisenä huomiotta, voidaan osoittaa myöhemmin johdettavan Bernoullin yhtälön avulla, että myös $\langle v \rangle_2 = v$. Tätä ainoa käytetään jatkossa.

Kuvasa (c) esittämä



(c)

vapaakappalekuvio on piirretty jättäen tasaisiksi otakutusta ilmapainesta johtuvat pintavoimat pois, koska mistä umpinaisen pinnan yli

integroitu resultantti ja momentti häviävät; ts. käsitellään mittapainetta, jossa referenssipaineeksi on otettu paikallinen ilmapaine. Absoluuttinen paine on poikkileikkauksien 1 ja 2 ylä- ja alapinnalla sama kuin ilmapaine ja otakru-malla paine likimain vakioiksi määhdään mittapaineen häviävän myös poikkileikkausten alueella. Täten vain sivun ja nesteen kosketuspinnalla esiintyy moolasta eroavaa mittapainetta, josta kertyy resultantti \vec{F} , jos vielä jätetään painovoiman osuus pieneenä termiinä pois. Nesteestä sivueen vaikuttava voima $\vec{R} = -\vec{F}$ ja sen komponentit ovat siis

$$\left. \begin{aligned} R_x &= -F_x = \rho Q v (1 - \cos \alpha), \\ R_y &= -F_y = -\rho Q v \sin \alpha. \end{aligned} \right\} \quad (d)$$

Valitsemalla esimerkiksi numeroarvot

$$\rho = 1000 \text{ kg/m}^3 = 10^3 \text{ kg/m}^3,$$

$$A = 10 \text{ cm}^2 = 10^{-3} \text{ m}^2,$$

$$v = 10 \text{ m/s},$$

$$\alpha = 180^\circ,$$

saadaan vintaama

$$Q = vA = 10 \frac{\text{m}}{\text{s}} \cdot 10^{-3} \text{ m}^2 = 10^{-2} \frac{\text{m}^3}{\text{s}}$$

ja komponentit

$$R_x = 10^3 \frac{\text{kg}}{\text{m}^3} \cdot 10^{-2} \frac{\text{m}^3}{\text{s}} \cdot 10 \frac{\text{m}}{\text{s}} (1 - (-1)) = 200 \frac{\text{kg} \cdot \text{m}}{\text{s}} = 200 \text{ N},$$

$$R_y = 0.$$

(2) Kun siipi liikkuu vakiovauhdilla u oikealle, kiinnitetään xy -koordinaatisto ja kontrollialue kuvan (b) esittämällä tavalla siipien ja

annetaan niiden liikkuu sivun mukana. Mitataan tapahtumia xy -koordinaatiston kannalta. Koska koordinaatisto liikkuu vakionopeudella ilman rotaatiota, kysymyksessä on edelleen inertiaalikoordinaatisto eikä kaavan (2.1.49) mukaisia näennäisvoimatermejä tarvitse ottaa käyttöön.

Virtaus on jälleen pysyvää ja voidaan soveltaa kaavoja (4.3.15). Nyt kuitenkin nopeudet

$$\langle v_r \rangle_1 = \langle v_r \rangle_2 = v - u \quad (e)$$

ja virtaama

$$Q = (v - u)A \quad (f)$$

joten

$$\left. \begin{aligned} F_x &= \rho (v - u) A [(v - u) \cos \alpha - (v - u)] \\ F_y &= \rho (v - u) A (v - u) \sin \alpha \end{aligned} \right\} \quad (g)$$

ja

$$\left. \begin{aligned} R_x &= \rho A (v - u)^2 (1 - \cos \alpha) \\ R_y &= -\rho A (v - u)^2 \sin \alpha \end{aligned} \right\} \quad (h)$$

Tarkastellaan vielä sivun vaikuttavan voiman tehoa

$$P = R_x u = \rho A (v - u)^2 u (1 - \cos \alpha) \quad (i)$$

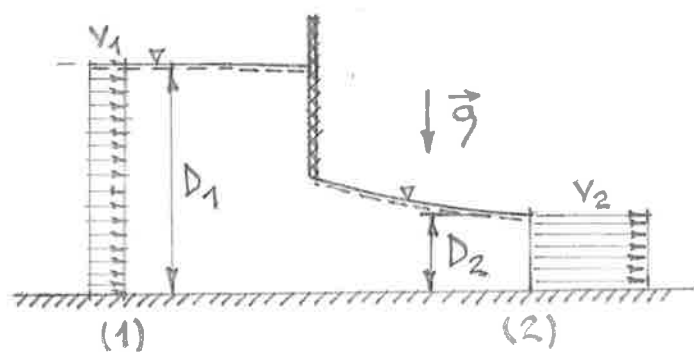
kiinteän koordinaatiston suhteen. Jotta teho saisi maksimiarvon on ensinnäkin valittava $\alpha = 180^\circ$, jolloin

$$P = 2\rho A (v - u)^2 u. \quad (j)$$

Nexteuvikkun tulee siis palata suoraan taakse-

päin. Kun g , A ja v ovat annettut, voidaan derivoimalla lisäksi todeta, että maksimiteho saavutetaan, kun siiven nopeus $u = v/3$. Tällöin nesteen suhteellinen nopeus tuloreunalla on $2/3 \cdot v$ ja nesteelle jää vielä nopeus $v/3$ taaksepäin sen poistuessa jättöreunalta. Voiri ajatella, että paras teho saavutetaan, kun $u = v/2$, jolloin nesteen loppunopeus on nolla ja sen liike-energia on tullut kokonaan käytetyksi. Näin ei kuitenkaan ole, koska silloin siiven kautta kulkee vähemmän nestettä aikaa kohti kuin tapauksessa $u = v/3$. Tilanne muuttuu, kun tarkastellaan lähekkäin toisiaan seuraavia siipiä — kuten esimerkiksi Pelton-turbiinin juoksupyörällä sijaitsevia siipiä — jolloin paras teho saavutetaan arvolla $u = v/2$ (ks. Lähde D (4 s. 284)).

Esimerkki 4.3.3. Luukkupato. Muioidaan kuvan



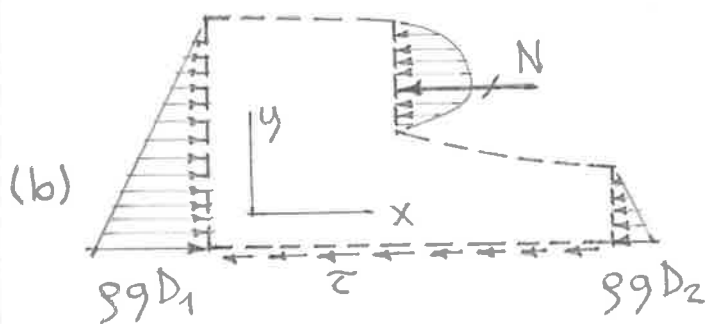
(a)

virtausta, jossa nopeus on jakautunut tasaisesti poikkileikkauksen alueella.

Kuvassa (b) on esitetty valitussa kontrollialue-

(a) esittämän luukkupadon luukkujen vaikuttava vaakavoima, kun luukun leveys on B . Otaksutaan pysyvä tasovirtaus ja että virtaus on leikkausten 1 ja 2 kohdalla likimain yhdensuuntais-

essa olevaan kappaleeseen vaikuttavat vaakavoimat, deikkauksina 1 ja 2 on otakuttu s. 4.14 esitetystä syistä johtuen hydrostaattinen painejakautuma. (Toimitaan mittepaineen avulla.)



Näin ollen (ks. kaavat (4.3.16) ja (4.3.17))

$$\left. \begin{aligned} \langle p \rangle_1 = p_{c1} = \frac{1}{2} \rho g D_1, \quad A_1 = B D_1, \\ \langle p \rangle_2 = p_{c2} = \frac{1}{2} \rho g D_2, \quad A_2 = B D_2 \end{aligned} \right\} \quad (a)$$

ja poikkileikkauksiin vaikuttavat vaakavoimat ovat itseisarvoiltaan $\frac{1}{2} \rho g B D_1^2$ ja $\frac{1}{2} \rho g B D_2^2$. Koska pinnalla vaikuttavasta tuntelemattomasta painejakautumasta kertyvä vaakavoima olkoon N , jolloin liukkuun vaikuttava vastakkais suunnainen voima R on itseisarvoiltaan yhtäsuuri. Otaksumalla vaakasuuntaiset kitkavoimat vähäisiksi enimmäinen yhtälö (4.3.15) antaa ($\beta_1 = \beta_2 = 1$, $\langle v \rangle_1 \equiv v_1$, $\langle v \rangle_2 \equiv v_2$, $\langle 1 \rangle_1 = \langle 1 \rangle_2 = 1$)

$$\frac{1}{2} \rho g B D_1^2 - \frac{1}{2} \rho g B D_2^2 - N = \rho Q (v_2 - v_1) \quad (b)$$

josta seuraa

$$R = N = \frac{1}{2} \rho g B (D_1^2 - D_2^2) - \rho Q (v_2 - v_1). \quad (c)$$

Otetaan numeroarvot

$$\rho = 1000 \text{ kg/m}^3 = 10^3 \text{ kg/m}^3,$$

$$v_1 = 1,5 \text{ m/s}, \quad D_1 = 3 \text{ m}, \quad D_2 = 1 \text{ m}, \quad B = 2 \text{ m}.$$

Tällöin virtaama

$$Q = v_1 A_1 = 1,5 \frac{\text{m}}{\text{s}} \cdot 6 \text{ m}^2 = 9 \frac{\text{m}^3}{\text{s}}$$

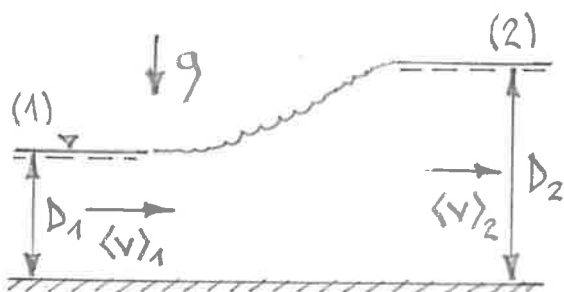
ja jatkuvuusyhtälön (3.4.26) perusteella

$$v_2 = \frac{A_1}{A_2} v_1 = \frac{D_1}{D_2} v_1 = \frac{3}{1} 1,5 \frac{\text{m}}{\text{s}} = 4,5 \frac{\text{m}}{\text{s}}.$$

luokkuun vaikuttava voima

$$\begin{aligned} R &= \frac{1}{2} 10^3 \frac{\text{kg}}{\text{m}^3} 9,81 \frac{\text{m}}{\text{s}^2} 2\text{m} \cdot 8\text{m}^2 - 10^3 \frac{\text{kg}}{\text{m}^3} 9 \frac{\text{m}^3}{\text{s}} 3 \frac{\text{m}}{\text{s}} \\ &= (78'480 - 27'000) \frac{\text{kg} \cdot \text{m}}{\text{s}^2} \approx 51'500 \text{ N}. \end{aligned}$$

Esimerkki 4.3.4. Verikyynnys. Sopivien olosuhteiden vallitessa avouma-



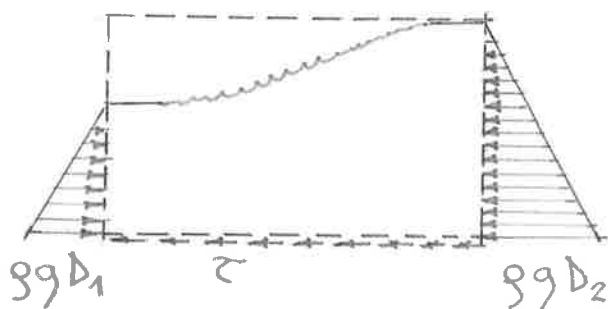
virtaus voi muuttua virtausnopeudeltaan ja syvyydeltään lyhyellä matkalla ns. verikyynnyskynenä (engl. hydraulic jump) (kuva (a)). Määritetään D_2 sumeiden D_1

(a)

ja $\langle v \rangle_1$ funktiona. Otaksutaan suorakaidepoikkileikkaus (leveys B), pyörpävirtaus ja että kyseessä on leikkausten 1 ja 2 kohdilla likimain yhdensuuntaisvirtaus, jossa nopeus on jakautunut likimain tasaisesti.

Tehtävä on hyvin samantyylinen kuin edellisessä

esimerkissä. Kuvan (b) vapaakappalekuvi-ossa on esitetty vaakasuunnassa vaikuttavat ulkoiset voimat. Otaksamalla jälleen vaakasuuntaiset kitkavoimat vähäisiksi ensimmäinen



(b)

yhtälö (4.3.15) antaa ($\beta_1 = \beta_2 = 1$, $\iota_1 = \iota_2 = 1$)

$$\frac{1}{2} \rho g B D_1^2 - \frac{1}{2} \rho g B D_2^2 = \rho Q (\langle v \rangle_2 - \langle v \rangle_1). \quad (a)$$

disäkki

$$Q = B D_1 \langle v \rangle_1 = B D_2 \langle v \rangle_2 \quad (b)$$

joten

$$\langle v \rangle_2 = \frac{D_1}{D_2} \langle v \rangle_1. \quad (c)$$

Sijoittamalla Q:in ja $\langle v \rangle_2$:in lausekkeet yhtälöön (a) saadaan vielä sieventämällä tulos

$$\frac{1}{2} \rho (D_1^2 - D_2^2) D_2 = \langle v \rangle_1^2 D_1 (D_1 - D_2). \quad (d)$$

Eräs tämän yhtälön ratkaisu on selvästikin $D_1 = D_2$, joka ei tässä kiinnosta, koska se ei kuvaa verkkyymystä. Kun $D_1 \neq D_2$, yhtälö voidaan supistaa termillä $D_1 - D_2$ ja saadaan D_2 :in suhteen toisen asteen yhtälö

$$\frac{1}{2} \rho (D_1 + D_2) D_2 = \langle v \rangle_1^2 D_1$$

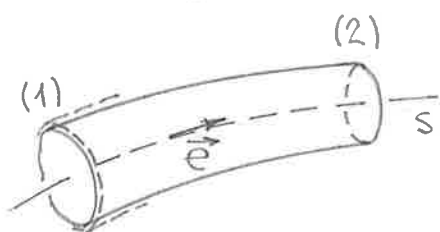
$$D_2^2 + D_1 D_2 - \frac{2 D_1 \langle v \rangle_1^2}{\rho} = 0, \quad (e)$$

joka antaa ratkaisun

$$D_2 = -\frac{D_1}{2} \pm \sqrt{\frac{D_1^2}{4} + \frac{2 D_1 \langle v \rangle_1^2}{\rho}}. \quad (f)$$

Miinusmerkki ei tule kyseeseen, koska se antaisi negatiivisen syvyyden arvon.

Yleinen yksidimensioinen virtaus, [0(2), 0(3), 0(4)].



Sovelletaan yksidimensioista Reynoldsin lausetta (3.4.29) yleiseen yhtälöön (4.3.1) ($v_e \rightarrow v$, $f \hat{=} \rho \vec{v}$):

Kuva 4.3.3 Kontrollialue.

$$\vec{F} = \frac{d}{dt} \int \rho \vec{v} dV$$

$$\approx \int_1^2 \frac{\partial}{\partial t} (\langle \rho \vec{v} \rangle A) ds - \langle \rho \vec{v} v \rangle_1 A_1 + \langle \rho \vec{v} v \rangle_2 A_2$$

$$= \int_1^2 \frac{\partial}{\partial t} (\rho \langle v \vec{e} \rangle A) ds - \rho_1 \langle v \vec{e} v \rangle_1 A_1 + \rho_2 \langle v \vec{e} v \rangle_2 A_2$$

$$= \int_1^2 \frac{\partial}{\partial t} (\rho \langle v \rangle A) \vec{e} ds - \rho_1 \langle v^2 \rangle_1 A_1 \vec{e}_1 + \rho_2 \langle v^2 \rangle_2 A_2 \vec{e}_2$$

eli

(4.3.18)

$$\boxed{\vec{F} = \int_1^2 \frac{\partial}{\partial t} (\rho Q) \vec{e} ds + [0(2), 0(3), 0(4)] - \beta_1 \rho_1 Q_1 \langle v \rangle_1 \vec{e}_1 + \beta_2 \rho_2 Q_2 \langle v \rangle_2 \vec{e}_2.} \quad (4.3.19)$$

johtoon eri vaiheet ovat melko ilmeiset; on mm. käytetty hyväksi tietoa, että \vec{e} (kuva 4.3.3) on vain $s:M$ mutta ei $t:M$ funktio sekä määritelmää (4.3.10). Pysyvän virtauksen tapauksessa kaavat (4.3.19) ja (4.3.12) yhtyvät.

* ∇ Yhtälöä (4.3.19) vastaavan differentiaaliyhtälömuodon johtamiseksi sovelletaan samaa tekniikkaa kuin kohdassa 3.4.1, jolloin saadaan ensin tulos

$$\begin{aligned} \lim_{\Delta s \rightarrow 0} \frac{\Delta \vec{F}}{\Delta s} &= \frac{\partial}{\partial t} (\rho Q) \vec{e} + \frac{\partial}{\partial s} (\beta \rho Q \langle v \rangle \vec{e}) \\ &= \frac{\partial}{\partial t} (\rho Q) \vec{e} + \frac{\partial}{\partial s} (\beta \rho Q \langle v \rangle) \vec{e} + \\ &\quad + \beta \rho Q \langle v \rangle \frac{1}{R_c} \vec{e}_n, \end{aligned} \quad (4.3.20)$$

jossa R_c on akselin kaarevuussäde ja \vec{e}_n on tämä päänormaalinen suuntainen yksikkövektori. On siis sovellettu kaavaa D (2.2.39). Pyritään

johtamaan virtaussuunnassa nesteen liikettä kuvaava yhtälö, joten otetaan yhtälön (4.3.20) skalaarikomponentti $\vec{e}:n$ suunnalle eli kerotaan yhtälön molemmat puolet skalaarisesti $\vec{e}:llä$:

$$* \uparrow \quad \boxed{\lim_{\Delta s \rightarrow 0} \frac{\Delta F_e}{\Delta s} = \frac{\partial}{\partial t} (\rho Q) + \frac{\partial}{\partial s} (\beta \rho Q \langle v \rangle)}. \quad (4.3.21)$$

Tässä ΔF_e tarkoittaa pituuden Δs omaavan kontrollialueen sisällä olevaan nestekappaleeseen vaikuttavien ulkoisten voimien resultantin komponenttia $\vec{e}:n$ suunnalle. Tämä termi täyttyy käsitellä tapaus kerallaan.

Putkivirtaus, $[0(2), 0(3), 0(4), 0(5')]$. Kijataan jatkoa silmälläpitäen seuraavat otaksumat:

$$0(5): \boxed{\vec{B} \text{ on konservatiivinen,}}$$

jolloin kaavan (2.1.28) mukaisesti

$$\vec{B} = -\vec{\nabla} \Omega \quad (4.3.22)$$

sekä erikoistapaus

$$0(5'): \boxed{\vec{B} = \vec{g}_1}$$

jolloin kaavojen (2.1.33) ja (2.1.34) mukaisesti

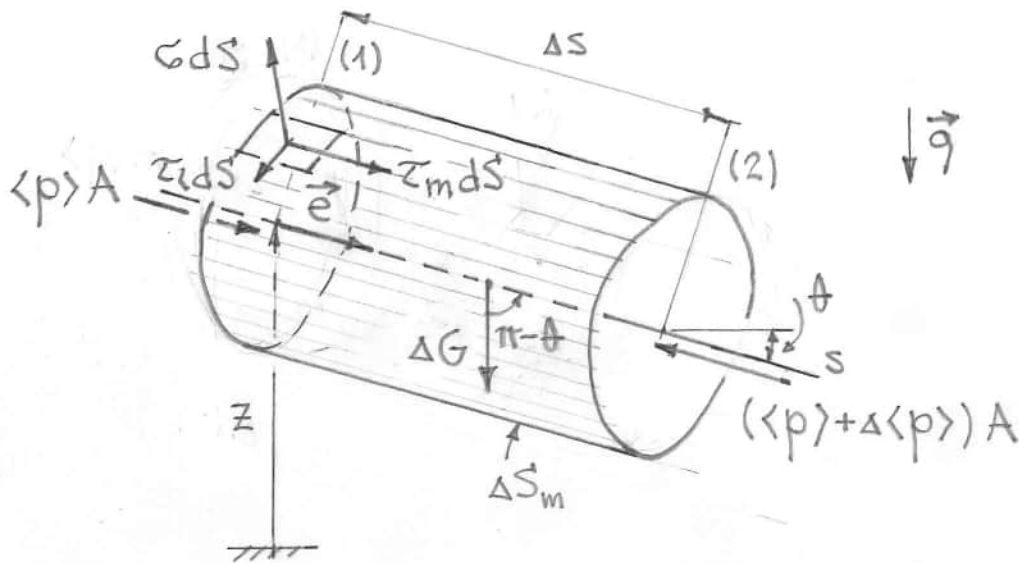
$$\Omega = gh, \quad (4.3.23)$$

$$\vec{B} = -g \vec{\nabla} h. \quad (4.3.24)$$

Vakiopainovoimakentän otaksuma (5') on käytännössä yleensä aina voimassa.

* \downarrow Tarkastellaan nyt differentiaaliyhtälön (4.3.21) vasemman puolen saamaa muotoa kuvan 4.3.4 esittämän vapaakappalekuviolla.

Yksinkertaisuuden vuoksi on otettu prismaattinen



Kuva 4.3.4 Vapaakappalekuvio.

tapaus. Kappaleen tilavuus $\Delta V = A \Delta s$, joten painovoiman osuus $\Delta F^B = \Delta G \approx \rho A \Delta s g$ ja siis akselin suuntainen komponentti:

$$\Delta F_e^B = \Delta G \sin \theta \approx \rho g A \sin \theta \cdot \Delta s, \quad (4.3.25)$$

jossa θ on akselin kaltevuuskulma vaakatasoon suhteen otettuna positiiviseksi, kun korkeusasema $z(s)$ pienenee s :n kawaessa. Nähdään helposti lisäksi, että

$$\sin \theta = -\frac{dz}{ds}, \quad (4.3.26)$$

joka tulos voidaan sijoittaa haluttaessa lausekkeeseen (4.3.25).

Poikkileikkauksiin vaikuttavasta paineesta kertyy akselin suuntainen komponentti:

$$\begin{aligned} \Delta F_e^P &= \langle p \rangle A - (\langle p \rangle + \Delta \langle p \rangle) A = -\Delta \langle p \rangle A \\ &= -\frac{\Delta \langle p \rangle}{\Delta s} A \cdot \Delta s. \end{aligned} \quad (4.3.27)$$

Vaipalla olevaan suorakulmaiseen pinta-alkioon

dS , jonka sivujen pituudet ovat yleisessä tapauksessa dl ja $dl' = ds/\cos\gamma$, vaikuttava jännityvektori \vec{T} voidaan esittää kantavektoreiden \vec{e}_l , \vec{e}_m ja \vec{n} avulla (ks. tarkemmin kuva L.2.2.) muodossa

$$\vec{T} = \tau_l \vec{e}_l + \tau_m \vec{e}_m + \sigma \vec{n}. \quad (4.3.28)$$

Nyt tarkasteltavassa prismaattisessa tapauksessa $\gamma = 0$, $\cos\gamma = 1$, $dl = ds$, $\vec{e}_m = \vec{e}$ ja

$$\vec{T} = \tau_l \vec{e}_l + \tau_m \vec{e} + \sigma \vec{n}. \quad (4.3.29)$$

Täten vaippapinnalla vaikuttavista jännityksistä kertyvä akselin suuntainen voima

$$\begin{aligned} (\Delta F_m^S)_e &= \int_{\Delta S_m} \vec{T} dS \cdot \vec{e} = \int_{\Delta S_m} \vec{T} \cdot \vec{e} dS \\ &= \int_{\Delta S_m} (\tau_l \vec{e}_l \cdot \vec{e} + \tau_m \vec{e} \cdot \vec{e} + \sigma \vec{n} \cdot \vec{e}) dS \\ &= \int_{\Delta S_m} \tau_m dS = \int_1^2 \left(\int \tau_m dl \right) ds = - \int_1^2 \tau_w l_w ds \\ &= - l_w \int_1^2 \tau_w ds \approx - \tau_w l_w \Delta S. \end{aligned} \quad (4.3.30)$$

Tässä suunetta

$$\tau_w = - \frac{1}{l_w} \int \tau_m dl \quad (4.3.31)$$

mimitetään keskimääräiseksi seinämäleikkauks-jännitykseksi. Summa l_w on märkä piiri, joka on putkiväntäuksessa sama kuin poikkileikkauksen reunakäyrän piiri eli pituus. Kaavaan (4.3.31) on otettu miinusmerkki siksi, että jos väntäys tapahtuu s-akselin

positiiviseen suuntaan, τ_w tulee tällöin positiiviseksi.

Kaavoissa (4.3.25) ja (4.3.30) esiintyvät likimääräimerkit johtuvat siitä, että g ja τ_w vaikuttavat poikkileikkauksen 1 kohdalla vallitsevia arvoja eivätkä välillä Δs olevia keskiarvoja, kuten tulisi tarkasti olla. Näiden likimääräisyyksien vaikutus häviää kuitenkin lopuksi.

Yhteensä akselin suunnassa vaikuttavien voimien resultantti on siis

$$\begin{aligned} \Delta F_e &= \Delta F_e^B + \Delta F_e^P + (\Delta F_m^S)_e \\ &\approx (g g A \sin \theta - \frac{\Delta \langle p \rangle}{\Delta s} A - \tau_w / w) \Delta s \end{aligned} \quad (4.3.32)$$

ja raja-arvo

$$\lim_{\Delta s \rightarrow 0} \frac{\Delta F_e}{\Delta s} = g g A \sin \theta - \frac{\partial \langle p \rangle}{\partial s} A - \tau_w / w. \quad (4.3.33)$$

Koska tässä tarkasteltiin suureen $\langle p \rangle$ muuttamista s :n suhteen tietyllä hetkellä, termin $\Delta \langle p \rangle / \Delta s$ raja-arvoa on merkittävä turvuk-sella $\partial \langle p \rangle / \partial s$.

Sijoittamalla lauseke (4.3.33) yhtälöön (4.3.21) sekä järjestelemällä hieman termejä saadaan differentiaaliyhtälö — ns. putkivirtauksen likeyhtälö —

$$\frac{1}{A} \left[\frac{\partial}{\partial t} (\rho Q) + \frac{\partial}{\partial s} (\beta \rho Q \langle v \rangle) \right] + \frac{\partial \langle p \rangle}{\partial s} + g g \frac{dz}{ds} + \frac{4\tau_w}{d_h} = 0. \quad (4.3.34)$$

[0(2), 0(3), 0(4), 0(5)]

Vaikka yhtälön johto suoritettiin prismaattisessa tapauksessa, yhtälöä voidaan soveltaa tietyllä tarkkuudella myös tapauksissa, joissa $A = A(s, t)$. Johto täytyisi suorittaa kirjoittamalla poikkileikkauspintaan 2 vaikuttava voima muodossa $(\langle p \rangle + \Delta \langle p \rangle)(A + \Delta A)$ ja lausekkeen (4.3.29) sijasta tulisi lähteä lausekkeesta (4.3.28) asettaen samalla $\sigma \approx -p$.

Yhtälöstä (4.3.34) saadaan suuri määrä erivertoja. Tavallinen tapaus on vakiotiheys-
neste ja jäykkä seinämä (eli $0(1)$) joista seuraa $A = A(s)$, $\partial A / \partial t = 0$ ja täten taulukon 3.4.1 kaavan (18) perusteella

$$\frac{\partial Q}{\partial s} = 0 \quad (4.3.35)$$

eli $Q = \langle v \rangle A$ on vakio s :n suhteen. Liikkeyhtälö saadaan muotoon

$$\frac{\partial \langle v \rangle}{\partial t} + \langle v \rangle \frac{\partial (\beta \langle v \rangle)}{\partial s} + \frac{1}{\rho} \frac{\partial \langle p \rangle}{\partial s} + g \frac{dz}{ds} + \frac{4}{\rho} \frac{\tau_w}{dh} = 0, \quad (4.3.36)$$

[0(2), 0(3), 0(4), 0(5)]

jotta päästäisiin eteenpäin, on keskinäisräisille seinämäleikkausjämvitykselle eritettävä jokin konstitutiivinen yhteys. Tavallisesti kirjoitetaan

$$\boxed{\tau_w = f \rho \frac{\langle v \rangle^2}{8}} \quad (4.3.37)$$

jossa f on dimensioton suure, ms. kitkahäviö-
kertoin (engl. friction coefficient, friction factor, resistance coefficient). (Tämän kaavan termiä f nimitetään tavallisesti Moodyn kertoimeksi tai myös Darcy-Weisbach-kertoimeksi. Joskus taas

käytetään erityismuotoa $\tau_w = f' g \langle v \rangle^2 / 2$,
missä f' on ns. Fanningin kerroin ja siis
 $f = 4f'$.) Kaavaa (4.3.37) ei pidä käyttää
mikrikään luonnolaikri vaan pikemminkin
kertoimen f määritelmäksi. Newtonilaisella
vakiotiheystellä f riippuu prismatti-
sessa putkessa Reynoldsin luvusta, poikki-
leikkauspiunnan muodosta ja seinämän karhe-
udesta. Kertoimesta f on olemassa parhaat
tiedot ympyräpoikkileikkauksen tapauksessa.
 f saadaan määritettyä analyyttisesti vain
Laminaarisessa tapauksessa; ks. esimerkit 4.3.9
ja 4.3.10. Kertoimeen f palataan tarkemmin koh-
dassa 4.5.2.

Kaavaa (4.3.37) on tarkasti ottaen täydennettävä
sanoamalla, että leikkausjännityksen suunta on
vastakkainen kuin virtaussuunta, jos virtaus-
suunta on etukäteen tuntematon, kaava on syytä
erittää muodossa

$$\tau_w = f g \frac{|\langle v \rangle| \langle v \rangle}{g}, \quad (4.3.38)$$

joka pitää huolen τ_w :n oikeasta merkistä.

Yhtälöstä (4.3.36) saadaan tavallinen käyt-
tämän sovellutuskaava asettamalla $\beta = 1$
(Näin on likimain turbulentsissa virtauksessa.
lisäksi, jos A riippuu vain lievästi s :stä,
 $\langle v \rangle = Q/A$ on myös vakio s :n suhteen ja jos
 β riippuu vain lievästi s :stä, termi $\partial(\beta \langle v \rangle) / \partial s$
häviää.) ja ottamalla huomioon kaava
(4.3.38) saadaan

$$\boxed{\frac{\partial \langle v \rangle}{\partial t} + \langle v \rangle \frac{\partial \langle v \rangle}{\partial s} + \frac{1}{g} \frac{\partial \langle p \rangle}{\partial s} + g \frac{dz}{ds} + \frac{f}{2d_h} \langle v \rangle \langle v \rangle = 0.} \quad (4.3.39)$$

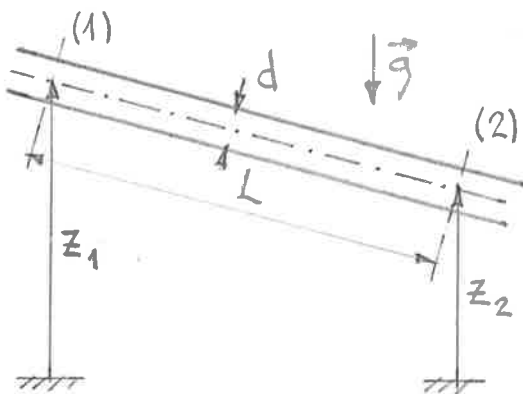
[0(2), 0(3), 0(4), 0(5)]

Tämä yhtälö on laajassa käytössä epästationaarisia putkivirtauksia analysoidessa (25). Kitkakerroin on saatu yleensä stationaaristen kokeiden perusteella, mutta samaa arvoa käytetään tavallisesti myös epästationaarisissa tapauksissa, vaikka tämä ei ole välttämättä oikein. Usein käytetään vielä kaavan (3.4.34) mukaista merkintää ja kirjoitetaan

$$\frac{\partial \langle v \rangle}{\partial t} + \langle v \rangle \frac{\partial \langle v \rangle}{\partial s} \equiv \frac{d \langle v \rangle}{dt}, \quad (4.3.40)$$

joka tulos voidaan sijoittaa yhtälöön (4.3.39). Integroimalla yhtälöä s :n suhteen voidaan johtaa eräs yleistetty Bernoullin muoto. Tätä samoin kuin muitakin putkivirtauksen sovellutuksia käsitellään lisää kohdassa 4.5.2.

Esimerkki 4.3.5. Vakiotiheydteen pyörvä vi-



(a)

taus suorassa vakio-
ympyräpoikkileikkauk-
sen omaavassa put-
kessa. johdetaan poikki-
leikkauksissa 1 ja 2
valitsevien paineiden
 $\langle p \rangle_1$ ja $\langle p \rangle_2$ välinen
paine-eron (kuva (a))
 $\Delta \langle p \rangle \equiv \langle p \rangle_1 - \langle p \rangle_2$ (a)
lauseke.

Tässä on käytetty merkintää Δ erotukseksi tavanomaisesta muutoksen tunnuksesta δ ; siis esimerkiksi $\Delta\langle p \rangle = \langle p \rangle_2 - \langle p \rangle_1$.

Otrikossa mainittujen otakrumien johdosta keskinopeus $\langle v \rangle$ on jatkuvuusyhtälön perusteella vakio sekä s:n että t:n suhteen. Liikkeyhtälö (4.3.39) saa muodon (jaetaan vielä g:llä ja merkitään $\langle p \rangle = p_d \equiv p$ eli p merkitsee painetta juuri poikki-leikkauksen keskipisteen kohdalla ja otakrumiaan viitauksen suunta samaksi kuin suunta 1 \rightarrow 2.)

$$\frac{1}{8g} \frac{dp}{ds} + \frac{dz}{ds} + \frac{f}{2gd} \langle v \rangle^2 = 0. \quad (b)$$

Integroimalla tämä yhtälö puolittain välin (s_1, s_2) yli s:n suhteen saadaan yhtälö

$$\frac{1}{8g} \int_1^2 p + \int_1^2 z + \frac{f}{2gd} \langle v \rangle^2 \Big|_1^2 = 0,$$

$$\frac{1}{8g} (p_2 - p_1) + z_2 - z_1 + \frac{f}{2gd} \langle v \rangle^2 L = 0, \quad (c)$$

jossa $L = \Delta s = s_2 - s_1$. Paine-eroksi $\Delta p = p_1 - p_2$ tulee

$$\Delta p = 8g (z_2 - z_1) + \Delta p_i, \quad (d)$$

jossa

$$\Delta p_i = f \frac{L}{d} \frac{8 \langle v \rangle^2}{2}. \quad (e)$$

Suunta Δp_i voidaan nimittää paine-häviöksi (engl. pressure loss), koska se selvästikin kuvaa paine-eroa, joka syn-

tyy kitkan johdosta. Jos kitkaa ei olisi, kaavasta (d) nähdään, että paine-ero olisi sama kuin staattisessa tapauksessa.

Yhtälö (c) kirjoitetaan usein myös muodossa

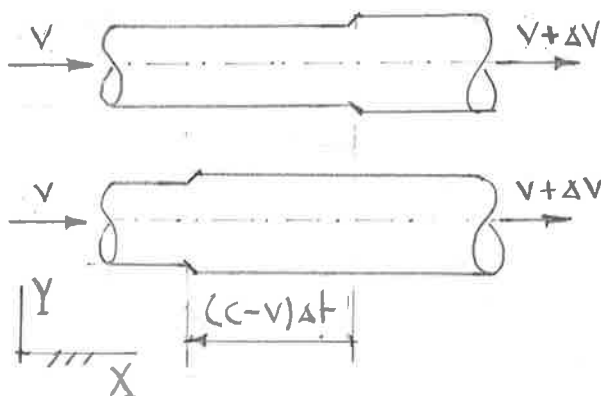
$$\frac{p_1}{\rho g} + z_1 = \frac{p_2}{\rho g} + z_2 + h_L \quad (f)$$

jossa termi

$$h_L = \frac{\Delta p_L}{\rho g} = f \frac{L}{d} \frac{\langle v \rangle^2}{2g} \quad (g)$$

on ns. korkeushäviö (engl. head loss). Nimitys johtuu siitä, että yhtälön (f) eri termeillä on pituuden dimensio ja termejä kuvataan tavallisesti pystysuunnassa mitattuina korkeuksina; ks. tarkemmin kohdat 4.3.2 ja 4.5.2.

Esimerkki 4.3.6. Paineaaltojen etenemisnopeus.



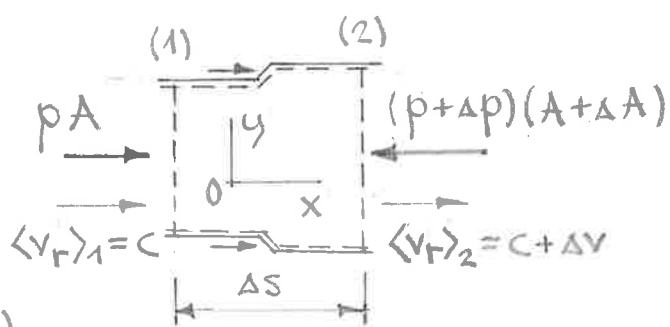
(a)

naatiston suhteen. Putken oikeassa päässä syntyy äkillinen häiriö; esimerkiksi venttiiliä suljetaan nopeasti tietty määrä, jonka johdosta nopeus, paine, tiheys ja poikki-

Tarkastellaan kuvan (a) esittämää tapausta, jossa neste virtaa suorassa, ominaisuuksiltaan muuttumattomassa putkessa vakio-
kerkinopeudella $v (\equiv \langle v \rangle)$ vasemmalta oikealta kiinteään XY -koordina-

leikkauspinta-ala muuttuvat määriillä Δv , Δp , $\Delta \rho$ ja ΔA ja nämä muutokset alkavat edetä nesteeseen suhteeseen nopeudella c vasemmalle. johdetaan c :n lauseke.

Differentiaalilähtömuotoa ei voida soveltaa, koska se edellyttää ko. funktioilta riittävästi jatkuvuutta, joten tässä on lähdettävä liikkeelle yleisestä muodosta (4.3.7). Kärittelyä voidaan kuitenkin helpottaa vastaavaan tapaan kuin esimerkissä 4.3.2. Väriön absoluuttinen nopeus



(b)

xy -koordinaatiston annetaan liikkua samoin tasaisella nopeudella $c-v$ vasemmalle eli koordinaatiston origon absoluuttinen nopeus $\vec{V}_0 = -(c-v)\vec{i} = (v-c)\vec{i}$. Nesteeseen absoluuttinen nopeus leikkauksissa 1 ja 2 on $\vec{V}_1 = v\vec{i}$ ja $\vec{V}_2 = (v+\Delta v)\vec{i}$. Suhteellisen liikkeen kaava D (2.3.30) on tässä $\vec{V}_r = \vec{V} - \vec{V}_0$, joten suhteellinen virtausnopeus leikkauksissa 1 ja 2 on

$$\left. \begin{aligned} \langle \vec{v}_r \rangle_1 &= v\vec{i} - (v-c)\vec{i} = c\vec{i}, \\ \langle \vec{v}_r \rangle_2 &= (v+\Delta v)\vec{i} - (v-c)\vec{i} = (c+\Delta v)\vec{i}. \end{aligned} \right\} \quad (a)$$

Koska kyseessä on edelleen inertiaalikoordinaatisto, näennäisvoimia ei synny. Virtaus on pyripää valitus kontrollialueen kannalta ja täyttää kaavan (4.3.14) johdossa aset-

* ↓ samat vaatimukset. Sovelletaan ensimmäistä kaavaa (4.3.15) (Otetaan $\beta_1 = \beta_2 = 1$, $p \equiv \langle p \rangle$)

$$pA - (p + \Delta p)(A + \Delta A) = \rho c A (c + \Delta v - c),$$

$$-\Delta p A = \rho c \Delta v A \quad (b)$$

Kuvan (b) esittämässä vapaakappalekuviassa ei ole otettu huomioon vaippapintaan vaikuttavia leikkauksenjänteitä, koska niiden vaikutus on vähäinen kontrollialueen lyhyen pituuden vuoksi. Samoin yhtälössä (b) ei ole otettu huomioon vaipan pakumuksen kohdalla normaalijännityksen aiheuttamaa veto-voimaa, koska pakumus on käytännössä hyvin pieni.

Jatkuvuusyhtälö (3.4.24) eli $w = \text{vakio}$ on tässä otaksumien (2) ja (3) jälkeen $\rho Q = \rho \langle v \rangle A = \text{vakio}$ eli

$$\rho c A = (\rho + \Delta \rho)(c + \Delta v)(A + \Delta A),$$

$$0 = \rho c \Delta A + \rho \Delta v (A + \Delta A) + \Delta \rho (c + \Delta v)(A + \Delta A) \quad (c)$$

Koska käytännössä $\Delta A \ll A$, kaavoissa (b) ja (c) on jätetty ΔA A:n nimellä "sopivasti" pois, jolloin yhtälöistä (b) ja (c) saadaan

$$\Delta v = -\frac{\Delta p}{\rho c} \quad (d)$$

$$\frac{\Delta \rho}{\rho} = -\frac{\Delta v A + c \Delta A}{(c + \Delta v) A} \quad (e)$$

Koska nesteiden tiheyden muutokset otetaan huomioon, otetaan myös käyttöön yhtälö (1.3.14) pieniä tiheyden äärellisiä muutoksia koskevana:

$$\Delta p = \frac{K \Delta g}{g} \quad (f)$$

Näistä yhtälöistä saadaan aluksi

$$\frac{\Delta p}{K} = \frac{\frac{\Delta p}{g c} A - c \Delta A}{(c - \frac{\Delta p}{g c}) A} = \frac{\Delta p A - g c^2 \Delta A}{(g c^2 - \Delta p) A} \quad (g)$$

josta seuraa

$$g c^2 = \frac{\Delta p (1 + \frac{\Delta p}{K})}{\frac{\Delta p}{K} + \frac{\Delta A}{A}} = \frac{\Delta p}{\frac{\Delta p}{K} + \frac{\Delta A}{A}} \quad (h)$$

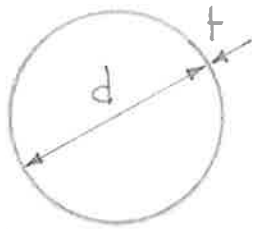
Paineen muutos Δp on yleensä pieni verrattuna väriaineen nesteeseen puristuvuuskerrotimeen K , jonka johdosta $\Delta p/K$ on jätetty yksösen nimellä pois. Samoin voidaan tehdä kaasujen yhteydessä, jos rajoitetaan pienten painehäiriöiden - äänen kulku - liikkeeseen. Jos seinämät voidaan ottaa äärettömän jäykiksi (tämä on kaasuilla normaalityössä), $\Delta A = 0$ ja saadaan kaavan (1.3.20) mukainen tulos

$$c = \sqrt{\frac{K}{g}} \quad (i)$$

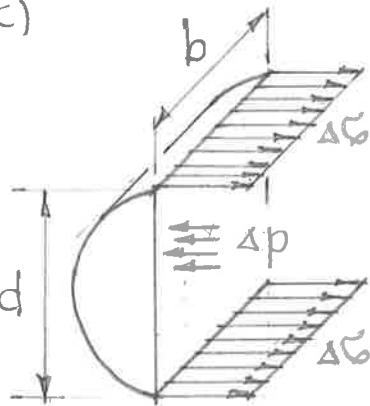
eli häiriö etenee äänen nopeudella.

Jos seinämä on joustava, häiriöiden etenemisnopeus pienenee arvoon (i) verrattuna. Pinta-alan muutoksen ΔA määrittämiseen paineen muutoksen Δp johdosta on rakenteiden mekaniikkaan kuuluva tehtävä. Tulos riippuu putken materiaalista, muodosta (teräsputki, kalliottumeli jne.) sekä vielä putken pituussuuntaisesta tuennasta. Tarkastellaan hieman yksin-

kertaisinta mahdollista tapausta, jossa on



(c)



(d)

kyrjymys kimmoisesta materiaalista (kimmokerroin = E) olevasta ohutseinäisestä putkesta (paksuus = t), jonka poikkileikkaus on ympyrä (halkaisija = d) (kuva (c)).

Kuvasa (d) on esitetty vaakakappalekuvio putken osalle, jonka pituus on b ja joka on saatu ajatella putki ja sen sisältämä neste halkaistuksi ja tarkasteltavaksi toista puolis-

koa. Tavallisesti jätetään lasjenemiseen liittyvät hitausvoimat pois käsitteystä, jolloin saadaan staattinen tapaus. Paineen muutokseen Δp liittyvä putken kehän suunnaisen jännityksen muutos $\Delta \sigma$ on jakautunut kimmoisuuden perusteella miltei tasaisesti seinämän paksuudelle, joten saadaan tasapainoyhtälö

$$\Delta \sigma \cdot 2bt - \Delta p \cdot bd = 0,$$

$$\Delta \sigma = \frac{1}{2} \frac{d}{t} \Delta p.$$

(j)

Jos otakritaan tapaus, jossa putken siirtymistä putken akselin suunnassa ei ole mitenkään estetty, putken akselin suunnaiset normaalijännitykset häviävät ja kehän suunnainen venymän muutos $\Delta \epsilon = \Delta \sigma / E$. Tästä seuraa kehän pituuden muutos $\Delta \epsilon \cdot \pi d$ eli saadaan yhtälö

$$\pi(d + \Delta d) - \pi d = \Delta \epsilon \cdot \pi d,$$

(k)

joten $\Delta d = \Delta \varepsilon \cdot d$. Pinta-alan muutos on likimain yhtä kuin kehän pituus πd kertaa väteen muutos $\Delta d/2$:

$$\begin{aligned} \Delta A &\approx \pi d \frac{\Delta d}{2} = \pi d \frac{\Delta \varepsilon \cdot d}{2} = \frac{1}{2} \pi d^2 \cdot \Delta \varepsilon = 2A \Delta \varepsilon \\ &= 2A \frac{\Delta \sigma}{E} = 2A \cdot \frac{1}{2} \frac{d}{rE} \Delta p = A \frac{d}{rE} \Delta p. \end{aligned} \quad (1)$$

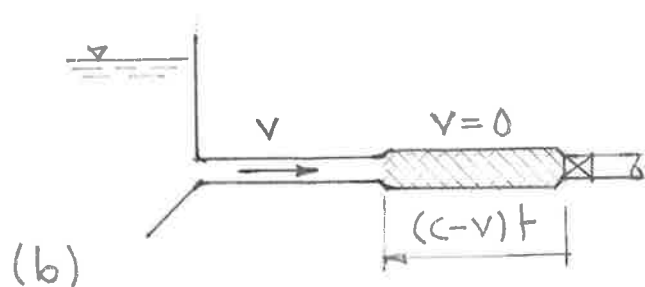
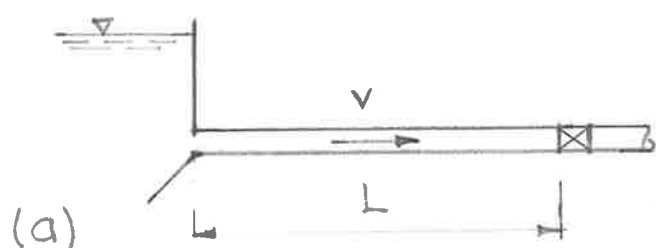
Kun tämä tulos sijoitetaan kaavaan (h), saadaan etenemisnopeuden lauseke

$$c = \frac{\sqrt{K/\rho}}{\left[1 + \frac{Kd}{Et}\right]^{1/2}}. \quad (m)$$

Epästationaarisia putkivirtauksia käsitellään periaatteessa kahdella eri tavalla tilanteesta riippuen (25). Yksinkertaisempi tapa, ns. jäykän mallin teoria (engl. rigid water column theory, surge theory) pitää ko. nestettä täysin kokoonpuristumattomana ja samoin putkien seinämiä täysin jäykkinä. Monimutkaisempi tapa, ns. joustavan mallin teoria (engl. elastic theory, water hammer theory) ottaa huomioon sekä ko. nesteen kokoonpuristuvuuden että putkien seinämien muodonmuutokset. Jälkimmäistä teoriaa joudutaan soveltamaan tapauksissa, joissa virtausnopeuksien ja paineiden ajalliset muutokset ovat suhteellisen nopeita, jotta yleensä päästäisiin realistisiin tuloksiin.

Tarkastellaan tähän liittyen kuvan 4.3.5 esittämää tapausta, jossa neste virtaa vakio-keskinopeudella $v \equiv \langle v \rangle$ suoraa vakio-

leikkauksen omaavaa putkea pitkin. Jos kuvan



(a) esittämä venttiili suljetaan hetkellä $t=0$ periaatteessa äärettömän nopeasti, venttiilin kohdalla olevan nesteen nopeus putoaa nolliin ja hetkellä $t < L/(c-v)$ syntyy kuvassa (b) näkyvä nopeusjakautuma; ks. esimerkki 4.3.6. Häiriön

Kuva 4.3.5 Veri-isku.

etenemisnopeus c tulee teoriassa äärettömän

suureksi, jos käytetään jäykän mallin teoriaa (ks. kaava (m), esimerkki 4.3.6, aseta $K \rightarrow \infty$, suhde $K/E = \text{vakio.}$) Toisin sanoen koko pituuden L omaava veripatsas pysähtyy äärettömän nopeasti eli systeemin massakeskiön kihtyvyys tulee äärettömäksi, joten massakeskiön liikelain perusteella venttiilin kohdalle syntyy äärettömän suuri paine. Tilanne on epärealistisessaan analoginen jäykkien kappaleiden sysäyksen kanssa; mt. kohta D.7.9. Vaikkei venttiiliä voidakaan sulkea käytännössä äärettömän nopeasti, niin joka tapauksessa tämän tyyppisissä tapauksissa on sovellettava joustavan mallin teoriaa. Kuvan 4.3.5 esittämän tapaisista ilmiöistä käytetään nimitystä painerysäys tai veri-isku. Käytännössä nesteen virtausnopeus v on paineaaltojen etenemisnopeuteen c verrattuna yleensä mitättömän pieni ja termi $c-v$ voidaan

kovata termillä c .

Johdetaan vielä joustavan mallin teoriaan liittyvät yhtälöt! Liikkeyhtälönä pidetään edelleen nūttävällä tarkkuudella yhtälöä (4.3.39), vaikka se johdettiin nakiotiheysmesteen ja jäykän seinämän tapauksessa, sillä tavanomaisen putkimateriaalien ja nesteiden yhteydessä käytännössä esiintyvät suhteelliset $\rho:m$ ja $A:m$ muutokset ovat yleensä alle 0,5% (25).

* Sen sijaan jatkuvuusyhtälöä on kehitettävä edelleen. Lähdetään yhtälöstä (3.4.33) kirjoittamalla:

$$\frac{\partial}{\partial t}(\rho A) + \frac{\partial}{\partial s}(\rho \langle v \rangle A) = 0,$$

$$\rho \frac{\partial A}{\partial t} + A \frac{\partial \rho}{\partial t} + \langle v \rangle A \frac{\partial \rho}{\partial s} + \rho \frac{\partial (\langle v \rangle A)}{\partial s} = 0,$$

$$\frac{1}{A} \frac{\partial A}{\partial t} + \frac{1}{\rho} \frac{\partial \rho}{\partial t} + \langle v \rangle \frac{1}{\rho} \frac{\partial \rho}{\partial s} + \frac{1}{A} \frac{\partial (\langle v \rangle A)}{\partial s} \approx 0. \quad (4.3.41)$$

Tässä yläviivat nūttävät alkutilan summeisiin. On tehty tavomainen otaksuma, että $s:m$ suhteen lasketuissa derivaatoissa saadaan tehdä approksimaatio $\rho \approx \bar{\rho} = \text{vakio}$, $A \approx \bar{A}$.

Barotrooppisella homogeenisellä nesteellä saadaan kaavasta (1.3.14)

$$\frac{1}{\rho} \frac{\partial \rho}{\partial t} = \frac{1}{K} \frac{\partial \langle p \rangle}{\partial t} \quad (4.3.42)$$

Kimmoisen seinämän tapauksessa putken poikkileikkauksiinta-alan pieni muutos ΔA on suoraan verrannollinen vastaavassa kohdassa

tapaukseen paineen muutokseen $\Delta\langle p \rangle$ eli

$$\frac{\Delta A}{A} = \frac{1}{k} \Delta\langle p \rangle, \quad (4.3.43)$$

jossa k on putken ominaisluvusta ja pituus-suuntaisesta tuennasta riippuva kerroin. Jatkamalla tämä yhtälö puolitettain ajan muutoksella Δt ja antamalla $\Delta t \rightarrow 0$ saadaan yhtälö

$$\frac{1}{A} \frac{\partial A}{\partial t} = \frac{1}{k} \frac{\partial \langle p \rangle}{\partial t}. \quad (4.3.44)$$

Kun lausekkeet (4.3.42) ja (4.3.44) sijoitetaan yhtälöön (4.3.41), saadaan

$$\left(\frac{1}{k} + \frac{1}{k}\right) \frac{\partial \langle p \rangle}{\partial t} + \frac{1}{A} \frac{\partial (\langle v \rangle \bar{A})}{\partial s} = 0. \quad (4.3.45)$$

Vertaamalla esimerkiksi 4.3.6 kaavaa (h) kaavaan (4.3.43) havaitaan, että jatkuvuusyhtälöstä tulee lopuksi

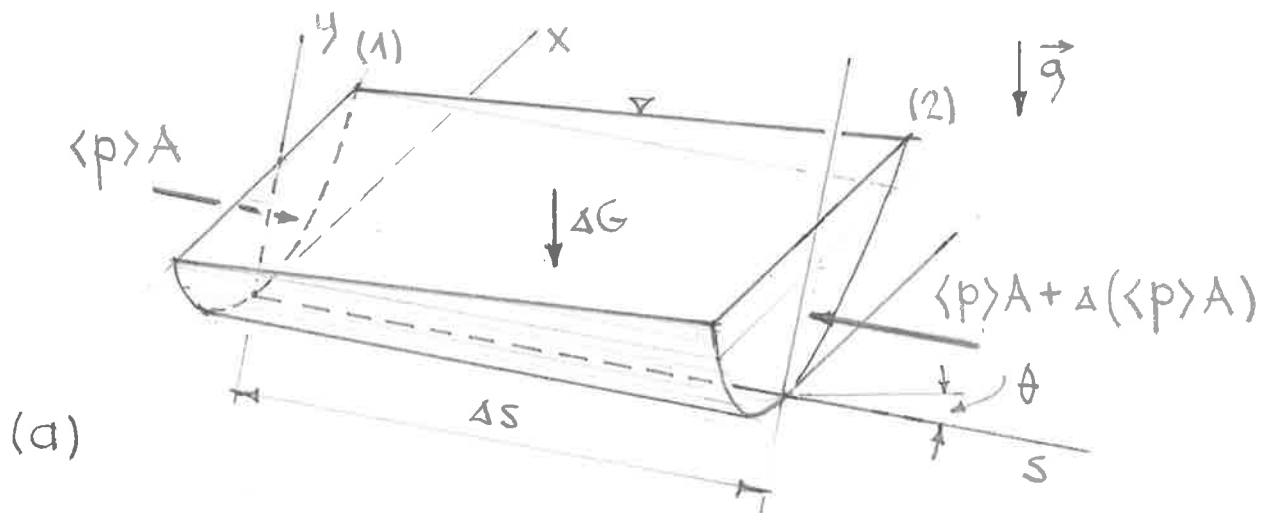
$$*\uparrow \quad \boxed{\frac{1}{\rho c^2} \frac{\partial \langle p \rangle}{\partial t} + \frac{1}{A} \frac{\partial (\langle v \rangle \bar{A})}{\partial s} = 0.} \quad (4.3.46)$$

Ylläviivat on jätetty pois, joten A viittaa tässä alkutilassa tunnettuun poikkileikkauspinta-alaan.

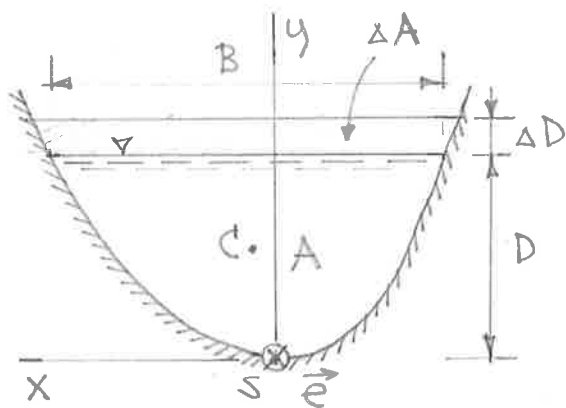
Joustavan mallin teoria perustuu osittaisdifferentiaaliyhtälöiden (4.3.39) ja (4.3.46) käsittelyyn, joka täytyy suorittaa numeerisesti tietokoneen avulla. Jäykän mallin teoriassa $c = \infty$ ja jatkuvuusyhtälö palautuu muotoon

$$\frac{\partial (\langle v \rangle \bar{A})}{\partial s} = 0. \quad (4.3.47)$$

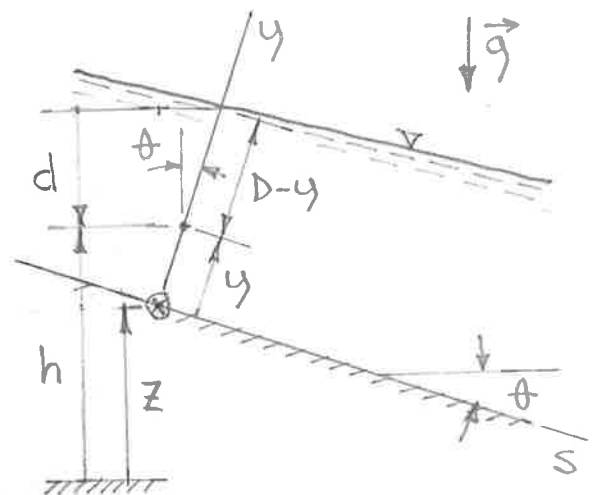
Avouomavirtaus, $[0(2), 0(3), 0(4), 0(5)']$. Käytetään samoja merkintöjä kuin kohdassa 3.4.1. Tarkastellaan yhtälön (4.3.21) vasemman puolen $\lim_{\Delta S \rightarrow 0} \Delta F_e / \Delta S$ laskemista kuvan 4.3.6 (a) esittämän



(a)



(b)



(c)

Kuva 4.3.6 (a) Vapaakappalekuvio. (b) Uoman poikkileikkaus. (c) Uoma sivulta katsottuna.

vapaakappalekuvion avulla. Yksinkertaisuuden vuoksi on otettu tapaus, jossa uoma on geometrialtaan muuttumaton. Jokin on periaatteessa vastaava kuin putkivirtauksen yhteydessä. Poikkileikkauspinta A voi kuitenkin nyt muuttua kun syvyys D muuttuu $s:n$ suhteen. Termiksi

(4.3.27) saadaan nyt ensin

$$\begin{aligned}\Delta F_e^p &= -\Delta(\langle p \rangle A) = -\Delta(p_c A) = -\Delta(\rho g d_c A) \\ &= -\rho g \Delta[(D-y_c) \cos\theta \cdot A] = -\rho g \cos\theta \cdot \Delta(DA - y_c A) \\ &= -\rho g \cos\theta \cdot \Delta(DA - S).\end{aligned}\quad (4.3.48)$$

Tässä on otettu huomioon, että paine jakautuu aikaisemmin eritetyistä syistä johtuen hydrostaattisesti kussakin poikkileikkauksessa eli

$$p = \rho g d = \rho g (D-y) \cos\theta, \quad (4.3.49)$$

kun käytetään kuvassa 3.4.6 (c) näkyviä merkintöjä. Tunnus C viittaa poikkileikkauksen pintakerkioon ja $S = y_c A$ on pinnan ms. lineaarinen momentti eli staattinen momentti $\int y dA = \int_0^D B(y) y dy$ x -akseliin suhteen. On lisäksi otaksuttu, että kaltevuuskulma θ on välillä ΔS riittäväällä tarkkuudella vakio. Nyt

$$\begin{aligned}\Delta(DA - S) &= -(DA - S) + [(D + \Delta D)(A + \Delta A) - (S + \Delta S)] \\ &= \Delta D \cdot A + D \cdot \Delta A + \cancel{\Delta D \cdot \Delta A} - \Delta S \\ &\approx \Delta D \cdot A + D \cdot \Delta A - D \cdot \Delta A \\ &\approx A \frac{\Delta D}{\Delta S} \Delta S.\end{aligned}\quad (4.3.50)$$

Tässä on jätetty kahden pienen suureen tulo vähäisenä ilman virheitä rajalla pois sekä lisäksi on käytetty hyväksi kuvan 3.4.6 (b) perusteella ymmärrettäviä yhteyksiä $\Delta A \approx B \cdot \Delta D$, $\Delta S \approx D \cdot B \cdot \Delta D \approx D \cdot \Delta A$, joten lopuksi

$$\Delta F_e^p \approx -\rho g \cos\theta \cdot A \frac{\Delta D}{\Delta S} \Delta S. \quad (4.3.51)$$

* ∇ Osuksille ΔF_e^B ja $(\Delta F_m^S)_e$ saadaan suoraan approksimaatiot (4.3.25) ja (4.3.30). Osalle ΔS_m vaikuttavia voimia ei ole piirretty näkyviin kuvaan 4.3.6 (a). Tämä on toimittu ilmanpaine vertailupaineena olevan mitta-paineen avulla, joten \vec{T} on nolla vapaan pinnan alueella (paitsi, jos tunteista johtuvat leikkausvoimat tulee ottaa huomioon). Seinämän alueella termit $\tau_i \vec{e}_i$ ja $\zeta \vec{n}$ ovat edelleen kohtisuorassa akselia vastaan, joten ne eivät anna osuuksia liikeyhtälöön.

Täten yhteensä

$$\Delta F_e = \Delta F_e^B + \Delta F_e^P + (\Delta F_m^S)_e$$

$$\approx (g g A \sin \theta - g g \cos \theta \cdot A \frac{\Delta D}{\Delta S} - \tau_w l_w) \Delta S \quad (4.3.52)$$

ja raja-arvo

$$\lim_{\Delta S \rightarrow 0} \frac{\Delta F_e}{\Delta S} = g g A \sin \theta - g g \cos \theta \cdot A \frac{\partial D}{\partial S} - \tau_w l_w. \quad (4.3.53)$$

Sijoittamalla lauseke (4.3.53) yhtälöön (4.3.21) sekä järjestelemällä hieman termejä saadaan differentiaaliyhtälö - ms. avouomavirtauksen liikeyhtälö vakiotiheysnesteelle

$$\boxed{\frac{1}{A} \left[\frac{\partial}{\partial t} Q + \frac{\partial}{\partial s} (\beta Q \langle v \rangle) \right] + g \cos \theta \frac{\partial D}{\partial s} + g \frac{dz}{ds} + \frac{4 \tau_w}{g d_h} = 0.} \quad [0(2), 0(3), 0(4), 0(5)] \quad (4.3.54)$$

Kehitetään tätä eteenpäin. Yhtälön vasemman

puolen kakarulkulauseke

$$\begin{aligned} & \left[\frac{\partial}{\partial t} \langle v \rangle A + \frac{\partial}{\partial s} (\beta A \langle v \rangle^2) \right] = \\ & \langle v \rangle \frac{\partial A}{\partial t} + \beta \langle v \rangle \frac{\partial (A \langle v \rangle)}{\partial s} + A \frac{\partial \langle v \rangle}{\partial t} + A \langle v \rangle \frac{\partial (\beta \langle v \rangle)}{\partial s} = \\ & \langle v \rangle \left(\frac{\partial A}{\partial t} + \beta \frac{\partial Q}{\partial s} \right) + A \left(\frac{\partial \langle v \rangle}{\partial t} + \langle v \rangle \frac{\partial (\beta \langle v \rangle)}{\partial s} \right) \approx \\ & A \left(\frac{\partial \langle v \rangle}{\partial t} + \langle v \rangle \frac{\partial (\beta \langle v \rangle)}{\partial s} \right). \end{aligned} \quad (4.3.55)$$

On sovellettu tulon derivoimissääntöä ja otak-
suttu, että $\beta \approx 1$ lausekkeessa $\partial A / \partial t + \beta \partial Q / \partial s$,
jolloin se häviää jatkuvuusyhtälön (3.4.38)
perusteella. Liikkeyhtälö on nyt (mt. putki-
vintauksen yhtälö (4.3.36)

$$\begin{aligned} & \frac{\partial \langle v \rangle}{\partial t} + \langle v \rangle \frac{\partial (\beta \langle v \rangle)}{\partial s} + \\ & + g \cos \theta \frac{\partial D}{\partial s} + g \frac{dz}{ds} + \frac{4\tau_w}{\rho d_h} = 0. \end{aligned} \quad (4.3.56)$$

* ↑

Käytännössä kaltevuuskulma θ on yleensä hyvin
pieni, joten voidaan asettaa $\cos \theta \approx 1$. (Lisäksi
syvyys D voidaan mitata tällöin riittävässä
tarkkuudella pystymorassa suunnassa.) Kun
otetaan käyttöön konstitutiivinen yhteys (4.3.38) ja
otaksutaan, että $\beta = 1$, saadaan tavallinen avo-
vintauksen liikkeyhtälö

$$\left[\frac{\partial D}{\partial s} + \frac{1}{g} \left(\frac{\partial \langle v \rangle}{\partial t} + \langle v \rangle \frac{\partial \langle v \rangle}{\partial s} \right) + \frac{dz}{ds} + S_f = 0, \right] \quad (4.3.57)$$

[0(2), 0(3), 0(4), 0(5)]

jossa lyhennysmerkkiä S_f - ns. kitkakaltevuus
(engl. friction slope) - tarkoittaa nimenomaan

$$S_f = \frac{f}{2g d_h} \langle v \rangle \langle v \rangle. \quad (4.3.58)$$

Avouomavirtauksen analysointi perustuu osittais-differentiaaliyhtälöiden (4.3.57) ja (3.4.44) käsittelyyn, joka täytyy suorittaa numeerisesti tietokoneen avulla. Tuntemattomina ovat funktiot $D(s, t)$ ja $\langle v \rangle(s, t)$. Pyynnässä virtauksessa yhtälöt tulevat paljon yksinkertaisimmiksi ja tuntemattomina ovat funktiot $D(s)$ ja $\langle v \rangle(s)$.

Seinäämäleikkausjännitys käsitellään alan kirjallisuudessa usein Moodyn kitkakeräviöker-toimen sijasta erityyppisillä kaavoilla; mainittakoon Chezy'n ja Manningin kaavat (11).

Avouomavirtauksen tyyppi riippuu ms. Frouden luvusta (engl. Froude number)

Fr , joka on yleisesti

$$Fr = \frac{v}{\sqrt{gL}}$$

(4.3.59)

jossa v on karakteristinen virtausnopeus, L karakteristinen pituus ja g painovoiman kiihtyvyyden. Avouomavirtauksen Frouden luku määritellään tavallisesti kaavalla

$$Fr = \frac{\langle v \rangle}{\sqrt{gD_h}}$$

(4.3.60)

eli otetaan $v =$ keskinopeus $\langle v \rangle$ ja $L =$ hydraulinen syvyys D_h . Avouomavirtauksen sanotaan olevan verkavirtausta (engl. tranquil flow, subcritical flow) tai kiitovirtausta (engl. rapid flow, supercritical flow) sen mukaan,

onko $Fr < 1$ vai > 1 . Tavallisimmin luonnossa on kyseessä verkkavirtaus. Voidaan osoittaa (ks. esimerkki 4.3.8), että termi \sqrt{gDh} kuvaa pienten häiriöiden etenemisnopeutta c mer-teen suhteen avoimassa. Kiihkovirtauksessa $Fr = \langle v \rangle / c > 1$ eli $\langle v \rangle > c$, mikä merkitsee, että häiriöt eivät pysty etenemään absoluuttisesti mitattuna vastavirtaan päin. Verkkavirtauksessa häiriöt etenevät myös vasta- virtaan. Tämä ero käyttäytymisessä tulee näky- viin myös ko. differentiaalisyhtälöiden ratkaisumenetelmissä.

Edellä on koko ajan otaksuttu, että paine- jakautuma kussakin poikkileikkauksessa on hydrostaattinen. Jos uomien pohjan kaarevuus pystytarvossa on riittävästi suuri, tätä otak- sumaa on tarkennettava (26).

Esimerkki 4.3.7. johdetaan pyörävän avo- uomavirtauksen vallitsevat yhtälöt yksin- kertaisuuden vuoksi tapauksessa, jossa uoman geometria on $S:M$ suhteen muuttumaton.

Jatkuvuusyhtälö (3.4.46) on nyt

$$D_h \frac{d\langle v \rangle}{ds} + \langle v \rangle \frac{dD}{ds} = 0. \quad (a)$$

Liikkeyhtälö (4.3.57) on pyörävässä virtauksessa

$$\frac{dD}{ds} + \frac{1}{g} \langle v \rangle \frac{d\langle v \rangle}{ds} + \frac{dz}{ds} + S_f = 0. \quad (b)$$

Ratkaistaan $d\langle v \rangle / ds$ edellisestä yhtälöstä ja sijoitetaan se jälkimmäiseen:

$$\frac{dD}{ds} + \frac{1}{g} \langle v \rangle \left(-\frac{1}{D_h} \langle v \rangle \frac{dD}{ds} \right) + \frac{dz}{ds} + S_f = 0,$$

$$\left(1 - \frac{\langle v \rangle^2}{g D_h} \right) \frac{dD}{ds} + \frac{dz}{ds} + S_f = 0,$$

$$(1 - Fr^2) \frac{dD}{ds} + \frac{dz}{ds} + S_f = 0. \quad (c)$$

Derivaatan dD/ds kertoimen $(1 - Fr^2)$ merkin määntään riippuvan siitä, onko kyseessä verkasvitausta vai kiihtovitausta. Rajatapauksessa $Fr = 1$ termiä dD/ds ei voida ratkaista yhtälöstä (c).

Jos virtaama $Q = \text{vakio}$ pidetään annettuna

$$Fr^2 = \left(\frac{Q}{A} \right)^2 \frac{1}{g D_h} = \frac{Q^2 B}{A^2 g A} = \frac{Q^2 B}{g A^3} \quad (d)$$

ja yhtälö (c) voidaan esittää muodossa

$$\frac{dD}{ds} = - \frac{\frac{dz}{ds} + S_f}{1 - \frac{Q^2 B}{g A^3}}. \quad (e)$$

Tätä voidaan sitten integroida numeerisesti askel askelulta, kun D on annettu tietyllä s :n arvolla ($A = A(D)$, $B = B(D)$, $S_f = S_f(\langle v \rangle) = S_f(Q/A) = S_f(D)$ yhtälön oikealla puolella.), jonka tuloksena saadaan lopuksi vapaan pinnan asema $D(s)$.

Tarkastellaan vielä tasaista virtausta. Se on määritelty s. 3.65. Yhtälö (a) toteutuu itsestään ja yhtälö (b) saa muodon

$$\frac{dz}{ds} + S_f = 0, \quad (f)$$

$$-\sin\theta + \frac{F}{2g d h} \langle v \rangle^2 = 0,$$

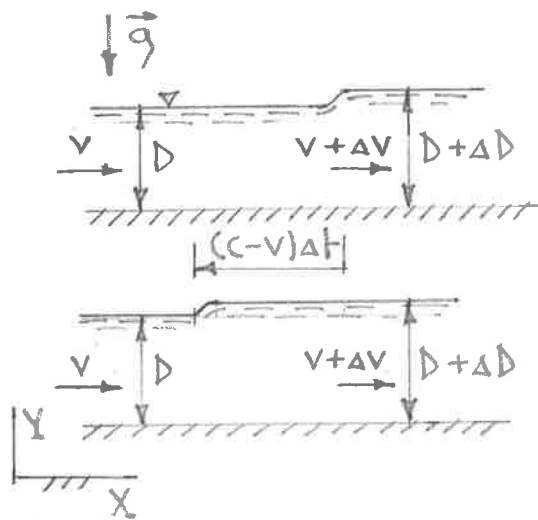
(g)

josta saadaan nopeuslaki

$$\langle v \rangle = \left(\frac{2g d h \sin\theta}{F} \right)^{\frac{1}{2}}$$

(h)

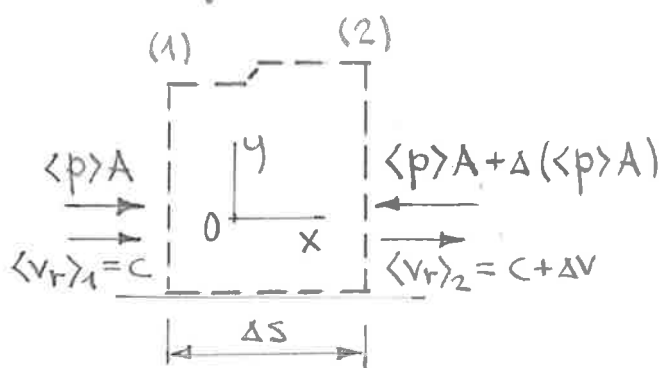
Esimerkki 4.3.8. Pienen häiriön etenemisnopeus.



(a)

Tarkastellaan kuvan (a) esittämää tapausa, jossa neste virtaa suorassa, geometrialtaan muuttumattomassa avoimessa vakio-kerkinopeudella $v (\equiv \langle v \rangle)$ vasemmalta oikealle kiinteän XY -koordinaatiston suhteen. Uoman oikeassa päässä synnytetään äkillinen häiriö; esimerkiksi patolukun asemaa muutetaan nopeasti tietty määrä, jonka johdosta nopeus ja syvyys muuttuvat määriksi Δv ja ΔD ja nämä muutokset alkavat edetä nesteen suhteen nopeudella c vasemmalle. johdetaan c :n lauseke.

Käsitteily käy vastaavasti kuin esimerkissä



(b)

4.3.6. Kuvasa (b) esitetty kontrollialue liikkuu tasaisella nopeudella $c - v$ vasemmalle. Ulkoisten voimien resultantiksi x -akselin suunnassa

saadaan suoraan kaavan (4.3.51) perusteella

$$F_x = -\Delta(\langle p \rangle A) = -\rho g A \Delta D. \quad (a)$$

Soveltamalla euvimäistä kaavaa (4.3.15)

(Otetaan $\beta_1 = \beta_2 = 1$) saadaan

$$\begin{aligned} -\rho g A \Delta D &= \rho c A (c + \Delta v - c), \\ -g \Delta D &= c \Delta v. \end{aligned} \quad (b)$$

Jatkuvuusyhtälö (3.4.25) antaa

$$\begin{aligned} cA &= (c + \Delta v)(A + \Delta A), \\ cA &= cA + c \Delta A + \Delta v A + \Delta v \Delta A, \\ 0 &= c \Delta A + \Delta v A. \end{aligned} \quad (c)$$

Ratkaisemalla yhtälöstä (c) Δv ja sijoittamalla se yhtälöön (b) saadaan

$$\begin{aligned} -g \Delta D &= c \left(-c \frac{\Delta D}{A} \right), \\ g &= c^2 \frac{B}{A} \end{aligned} \quad (d)$$

eli

$$c = \sqrt{g \frac{A}{B}} = \sqrt{g D_h}. \quad (e)$$

4.3.2 Paikallinen muoto

Cauchyn liikeyhtälöt. Liikemäärän taseen periaate $\vec{F} = \dot{\vec{p}}$ on lausekkeiden (4.3.2)... (4.3.5) avulla esitettyinä

$$\int \rho \vec{B} dV + \int \vec{T} dS = \frac{d}{dt} \int \rho \vec{v} dV. \quad (4.3.61)$$

Pintaintegraali

$$\begin{aligned} \int \vec{T} dS &= \int (n_x \vec{T}^{(x)} + n_y \vec{T}^{(y)} + n_z \vec{T}^{(z)}) dS \\ &= \int \left(\frac{\partial \vec{T}^{(x)}}{\partial x} + \frac{\partial \vec{T}^{(y)}}{\partial y} + \frac{\partial \vec{T}^{(z)}}{\partial z} \right) dV. \end{aligned} \quad (4.3.62)$$

On sovellettu kaavoja (4.2.4) ja (L.1.4). Kun taas yhtälön (4.3.61) oikeaan puoleen sovelletaan Reynoldsin lausetta (3.3.64), saadaan yhtälö

$$\int \left(\rho \vec{B} + \frac{\partial \vec{T}^{(x)}}{\partial x} + \frac{\partial \vec{T}^{(y)}}{\partial y} + \frac{\partial \vec{T}^{(z)}}{\partial z} \right) dV = \int \rho \frac{d\vec{v}}{dt} dV.$$

Näin ollen liikemäärän taseen paikalliseksi muotoiksi tulee

$$\boxed{\rho \vec{B} + \frac{\partial \vec{T}^{(x)}}{\partial x} + \frac{\partial \vec{T}^{(y)}}{\partial y} + \frac{\partial \vec{T}^{(z)}}{\partial z} = \rho \vec{a}.} \quad (4.3.63)$$

Tämä on ns. Cauchyn liikeyhtälö — tarkemmin Cauchyn I liikelaki — (Cauchy v. 1827), joka pätee siis mielivaltaiselle kontinuumille. Vastaavat komponenttiyhtälöt ovat (ks. kaavat (4.2.2))

$$\begin{aligned} \rho B_x + \frac{\partial \sigma_x}{\partial x} + \frac{\partial \tau_{yx}}{\partial y} + \frac{\partial \tau_{zx}}{\partial z} &= \rho a_x, \\ \rho B_y + \frac{\partial \tau_{xy}}{\partial x} + \frac{\partial \sigma_y}{\partial y} + \frac{\partial \tau_{zy}}{\partial z} &= \rho a_y, \\ \rho B_z + \frac{\partial \tau_{xz}}{\partial x} + \frac{\partial \tau_{yz}}{\partial y} + \frac{\partial \sigma_z}{\partial z} &= \rho a_z. \end{aligned} \quad (4.3.64)$$

Nämä yhtälöt esiintyvät saman näköisinä myös pienten siirtymien teorian mukaisessa rakenteiden mekaniikassa. Vastaavissa kiihtyvyyden lausekkeissa on kuitenkin selvä ero; Eulerin erityyksessä käytetään kaavoja (3.3.21) tai (3.3.23).

Cauchyn likeyhtälö voidaan johtaa havainnollisemmin soveltamalla liikemäärän taseen periaatetta suoraan differentiaaliseen ainealkioon vastaavaan tapaan kuin mestestatikkassa kohdassa 2.1; tasapainoyhtälöt (2.1.12) ja (2.1.13) ovat luonnollisesti Cauchyn likeyhtälöiden (4.3.63) ja (4.3.64) erikoistapauksia. Taulukossa 4.3.1 on vertailtu tämän ajattelutavan mukaisia termejä vastaaviin partikkelisysteemin suureisiin.

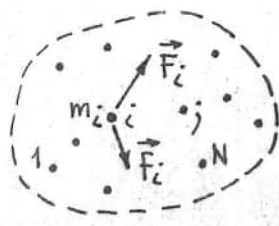
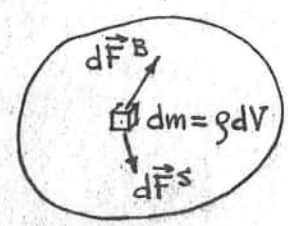
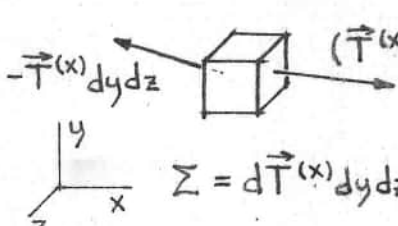
* \downarrow Cauchyn likeyhtälön täysin yleinen muoto on

$$\rho \vec{B} + \vec{\nabla} \cdot \tilde{\sigma} = \rho \vec{a}, \quad (4.3.65)$$

jossa termi $\vec{\nabla} \cdot \tilde{\sigma}$ on jännitystensorin $\tilde{\sigma}$ divergenssi.

Sylinterikoordinaatissa Cauchyn likey-

* Taulukko 4.3.1 Cauchyn liikeyhtälön johtaminen

Partikkelisysteemi	Kontinuumi
 $\vec{F}_i = \vec{B} m_i \quad (1)$ $\vec{f}_i = \sum_{\substack{j=1 \\ j \neq i}}^N \vec{F}_{ij} \quad (2)$ <p>Liikeyhtälö:</p> $\vec{F}_i + \vec{f}_i = m_i \vec{a}_i \quad (3)$	 $d\vec{F}^B = \rho \vec{B} dV \quad (1')$ $d\vec{F}^S = \vec{f} dV \quad (2')$ <p>Liikeyhtälö/dV:</p> $\rho \vec{B} + \vec{f} = \rho \vec{a} \quad (3')$
<p>Suureen \vec{f} lauseke $\vec{f} = \frac{\partial \vec{T}^{(x)}}{\partial x} + \frac{\partial \vec{T}^{(y)}}{\partial y} + \frac{\partial \vec{T}^{(z)}}{\partial z} \quad (4')$</p>  <p>saadaan tarkastelemalla kuvan esittämällä tavalla differentiaalisen ainealkion tahkoihin vaikuttavia voimia.</p> $\Sigma = d\vec{T}^{(x)} dy dz = \frac{\partial \vec{T}^{(x)}}{\partial x} dx dy dz = \frac{\partial \vec{T}^{(x)}}{\partial x} dV$	

yhtälön komponenttimuodot tulevat olemaan (20)

$$\left. \begin{aligned} \rho B_r + \frac{\partial \sigma_r}{\partial r} + \frac{1}{r} \frac{\partial \tau_{\phi r}}{\partial \phi} + \frac{\partial \tau_{zr}}{\partial z} + \frac{\sigma_r - \sigma_\phi}{r} &= \rho a_r \\ \rho B_\phi + \frac{\partial \tau_{r\phi}}{\partial r} + \frac{1}{r} \frac{\partial \sigma_\phi}{\partial \phi} + \frac{\partial \tau_{z\phi}}{\partial z} + 2 \frac{\tau_{r\phi}}{r} &= \rho a_\phi \\ \rho B_z + \frac{\partial \tau_{rz}}{\partial r} + \frac{1}{r} \frac{\partial \tau_{\phi z}}{\partial \phi} + \frac{\partial \sigma_z}{\partial z} + \frac{\tau_{rz}}{r} &= \rho a_z \end{aligned} \right\} (4.3.66)$$

* ↑ Kiertävyyskomponenttien a_r , a_ϕ ja a_z lausekkeet saadaan kaavoista (3.3.25).

Cauchyn liikeyhtälöitä mimitetään usein lyhyesti vain liikeyhtälöiksi tai liikemäärä-yhtälöiksi.

Navier-Stokesin yhtälöt. Otaksumalla Stokesin kitkalakia muodattava neste ja sijoittamalla lausekkeet (4.2.9), (4.2.19) ja (3.3.23) Cauchyn likeyhtälöihin (4.3.64) saadaan nestemekanikan tärkeimmät kaavat, ns. Navier-Stokesin yhtälöt (Navier n. 1822, Stokes n. 1845). Kirjoitetaan ne tässä näkyviin yksinkertaisemman muokoin tapauksessa, jossa viskositeetti μ voidaan ottaa vakioksi. Sijoittamalla sijoitukset saadaan lopuksi

$$\begin{aligned} \rho \frac{dv_x}{dt} &= \rho B_x - \frac{\partial p}{\partial x} + \mu \left(\frac{\partial^2 v_x}{\partial x^2} + \frac{\partial^2 v_x}{\partial y^2} + \frac{\partial^2 v_x}{\partial z^2} \right) + \frac{\mu}{3} \frac{\partial}{\partial x} (\vec{\nabla} \cdot \vec{v}), \\ \rho \frac{dv_y}{dt} &= \rho B_y - \frac{\partial p}{\partial y} + \mu \left(\frac{\partial^2 v_y}{\partial x^2} + \frac{\partial^2 v_y}{\partial y^2} + \frac{\partial^2 v_y}{\partial z^2} \right) + \frac{\mu}{3} \frac{\partial}{\partial y} (\vec{\nabla} \cdot \vec{v}), \\ \rho \frac{dv_z}{dt} &= \rho B_z - \frac{\partial p}{\partial z} + \mu \left(\frac{\partial^2 v_z}{\partial x^2} + \frac{\partial^2 v_z}{\partial y^2} + \frac{\partial^2 v_z}{\partial z^2} \right) + \frac{\mu}{3} \frac{\partial}{\partial z} (\vec{\nabla} \cdot \vec{v}). \end{aligned} \quad (4.3.67)$$

Vastaavan vektoriyhtälön nähdään olevan

$$\rho \frac{d\vec{v}}{dt} = \rho \vec{B} - \vec{\nabla} p + \mu \nabla^2 \vec{v} + \frac{\mu}{3} \vec{\nabla} (\vec{\nabla} \cdot \vec{v}), \quad (4.3.68)$$

jossa Laplacen operaattori

$$\nabla^2 = \frac{\partial^2}{\partial x^2} + \frac{\partial^2}{\partial y^2} + \frac{\partial^2}{\partial z^2}. \quad (4.3.69)$$

Kokoontumattoman nesteen tapauksessa dilataationopeus $\vec{\nabla} \cdot \vec{v}$ häviää ja kaavat yksinkertaistuvat hieman.

Navier-Stokesin yhtälöissä esiintyy visi

tuntematonta paikan ja ajan funktiota: v_x, v_y, v_z, p ja ρ . Navier-Stokesin yhtälöitä on kolme; jatkuvuusyhtälö ja barotrooppinen tilanyhtälö antavat kaksi tarvittavaa lisäyhtälöä tuntemattomien määrittämiseksi. Jos joudutaan käyttämään yleisempää tilanyhtälöä, lämpötila T tulee uudeksi lisätuntemattomaksi, jota vastaten on otettava käyttöön energian taseen periaatteesta johdettu ns. energiayhtälö. Vakioitiheysteellä tuntemattomia ovat vain v_x, v_y, v_z, p ja ratkaisuun tarvitaan periaatteessa Navier-Stokesin yhtälöiden lisäksi vain kokoonpuristumattomuusehto $\nabla \cdot \vec{v} = 0$. Käytännössä Navier-Stokesin yhtälöiden analyyttinen ratkaisu tunnetaan hyvin harvoissa tapauksissa; niiden määrä on alle kymmenen, kun lasketaan mukaan fyysikaalisesti kiinnostavat epälineaariset tapaukset (23).

* Turbulenssin vaikutus. Turbulenttisen virtauksen tarkastelussa on edullista muuntaa Cauchyyn likeyhtälön (4.3.63) kihtilyyppistermi $\rho \vec{a}$ hieman toiseen muotoon. Jos yhtälön (4.3.61) oikeaan puoleen sovelletaan Reynoldsin Laureen muotoa (3.3.62), saadaan ($F \triangleq \rho \vec{v}$)

$$\frac{d}{dt} \int \rho \vec{v} dV = \int \left[\frac{\partial (\rho \vec{v})}{\partial t} + \frac{\partial (\rho \vec{v} v_x)}{\partial x} + \frac{\partial (\rho \vec{v} v_y)}{\partial y} + \frac{\partial (\rho \vec{v} v_z)}{\partial z} \right] dV. \quad (4.3.70)$$

Sijoittamalla tähän vielä Lauseke $\vec{v} = v_x \vec{i} + v_y \vec{j} + v_z \vec{k}$

Komponenttiyhtälöt (4.3.64) saadaan muotoon

$$\left. \begin{aligned} \rho B_x + \frac{\partial \tau_{xx}}{\partial x} + \frac{\partial \tau_{yx}}{\partial y} + \frac{\partial \tau_{zx}}{\partial z} &= \\ \frac{\partial(\rho v_x)}{\partial t} + \frac{\partial(\rho v_x v_x)}{\partial x} + \frac{\partial(\rho v_y v_x)}{\partial y} + \frac{\partial(\rho v_z v_x)}{\partial z}, \\ \rho B_y + \frac{\partial \tau_{xy}}{\partial x} + \frac{\partial \tau_{yy}}{\partial y} + \frac{\partial \tau_{zy}}{\partial z} &= \\ \frac{\partial(\rho v_y)}{\partial t} + \frac{\partial(\rho v_x v_y)}{\partial x} + \frac{\partial(\rho v_y v_y)}{\partial y} + \frac{\partial(\rho v_z v_y)}{\partial z}, \\ \rho B_z + \frac{\partial \tau_{xz}}{\partial x} + \frac{\partial \tau_{yz}}{\partial y} + \frac{\partial \tau_{zz}}{\partial z} &= \\ \frac{\partial(\rho v_z)}{\partial t} + \frac{\partial(\rho v_x v_z)}{\partial x} + \frac{\partial(\rho v_y v_z)}{\partial y} + \frac{\partial(\rho v_z v_z)}{\partial z}. \end{aligned} \right\} (4.3.71)$$

Tämä termien $\rho a_x, \rho a_y, \rho a_z$ muuntaminen olisi voitu suorittaa myös käyttämällä jatkuvuusyhtälöä apuna.

Pytetään keskivoimonttujen ja lausuttuihin likeyhtälöihin ja otetaan siis yhtälöiden (4.3.71) molemmista puolesta aikakeskiarvot, jotta käsittely tulisi kohtuullisen yksinkertaiseksi, rajoitetaan nakiotikeynnesteen tapaukseen. Satunnaisuusneiksi jäävät jännityskomponentit, nopeuskomponentit ja vielä mahdollisesti kenttävoiman intensiteetti; tavallisesti kuitenkin kyseessä on deterministinen suure kuten painovoima. Kaavakokoelman (3.5.16) sääntöjä soveltamalla saadaan helposti tulos

$$\rho \bar{B}_x + \frac{\partial \bar{\tau}_{xx}}{\partial x} + \frac{\partial \bar{\tau}_{yx}}{\partial y} + \frac{\partial \bar{\tau}_{zx}}{\partial z} = \\ \frac{\partial(\rho \bar{v}_x)}{\partial t} + \frac{\partial(\rho \bar{v}_x \bar{v}_x)}{\partial x} + \frac{\partial(\rho \bar{v}_y \bar{v}_x)}{\partial y} + \frac{\partial(\rho \bar{v}_z \bar{v}_x)}{\partial z} +$$

$$+ \frac{\partial(\rho \overline{v_x' v_x'})}{\partial x} + \frac{\partial(\rho \overline{v_y' v_x'})}{\partial y} + \frac{\partial(\rho \overline{v_z' v_x'})}{\partial z},$$

(4.3.72)

...
 Koska tiheys ρ on vakio, se voitaisiin pitää myös derivointimerkkien ulkopuolella. Havaitaan, että liikeyhtälöihin ilmestyi myös heilaheluterminien yhdistelmiä $\overline{v_x' v_x'}$, $\overline{v_y' v_x'}$ jne. On tapana käyttää lyhennysmerkkiä

$$\begin{array}{l} \sigma_x^+ = -\rho \overline{v_x' v_x'}, \quad \tau_{yz}^+ = \tau_{zy}^+ = -\rho \overline{v_y' v_z'} = -\rho \overline{v_z' v_y'}, \\ \sigma_y^+ = -\rho \overline{v_y' v_y'}, \quad \tau_{zx}^+ = \tau_{xz}^+ = -\rho \overline{v_z' v_x'} = -\rho \overline{v_x' v_z'}, \\ \sigma_z^+ = -\rho \overline{v_z' v_z'}, \quad \tau_{xy}^+ = \tau_{yx}^+ = -\rho \overline{v_x' v_y'} = -\rho \overline{v_y' v_x'}. \end{array} \quad (4.3.73)$$

Termeillä on jännityksen dimensio ja suunita (4.3.73) mimitetäänkin määrällisjännitykiksi, turbulenssiksi lisäjännitykiksi tai tavallisimmin Reynoldsin jännitykiksi.

Kohdassa 3.5.2 osoitettiin (esimerkki 3.5.3, kaava (e)), että vakiotiheyteen virtauksessa kokoonpuristumattomuusehto oli myös keskiaavonopeuksia koskevana muotoa

$$\boxed{\frac{\partial \bar{v}_x}{\partial x} + \frac{\partial \bar{v}_y}{\partial y} + \frac{\partial \bar{v}_z}{\partial z} = 0.} \quad (4.3.74)$$

Tämän perusteella yhtälön (4.3.72) oikean puolen ensimmäinen rivi

$$\begin{aligned} & \rho \left[\frac{\partial \bar{v}_x}{\partial t} + \frac{\partial(\bar{v}_x \bar{v}_x)}{\partial x} + \frac{\partial(\bar{v}_y \bar{v}_x)}{\partial y} + \frac{\partial(\bar{v}_z \bar{v}_x)}{\partial z} \right] \\ &= \rho \left[\frac{\partial \bar{v}_x}{\partial t} + \bar{v}_x \frac{\partial \bar{v}_x}{\partial x} + \bar{v}_y \frac{\partial \bar{v}_x}{\partial y} + \bar{v}_z \frac{\partial \bar{v}_x}{\partial z} + \bar{v}_x \left(\frac{\partial \bar{v}_x}{\partial x} + \frac{\partial \bar{v}_y}{\partial y} + \frac{\partial \bar{v}_z}{\partial z} \right) \right] \end{aligned}$$

$$= \rho \frac{d\bar{v}_x}{dt} = \rho \bar{a}_x, \quad (4.3.75)$$

jossa siis merkkiä \bar{a}_x tarkoittaa keskiarvo-
nopeuskentän avulla laskettua kiihtyvyyttä.
Kun otetaan huomioon kaava (4.3.75) ja lyhen-
nysmerkinnot (4.3.73), yhtälöt (4.3.72) saadaan
muotoon

$$\rho \bar{B}_x + \frac{\partial(\bar{c}_x + \bar{c}_x^+)}{\partial x} + \frac{\partial(\bar{c}_{yx} + \bar{c}_{yx}^+)}{\partial y} + \frac{\partial(\bar{c}_{zx} + \bar{c}_{zx}^+)}{\partial z} = \rho \bar{a}_x, \quad (4.3.76)$$

...

Nämä ovat vakiotiheydelleen turbulentsin viir-
tauksen keskiarvoosuusille kirjoitetut Cauchyn
liikkeyhtälön komponenttilyhtälöt karteesisessa
suorakulmaisessa koordinaatistossa eritettynä.
Yleisen erityksen (4.3.65) vastineeksi tulee

$$\rho \bar{\vec{B}} + \vec{\nabla} \cdot (\bar{\vec{c}} + \bar{\vec{c}}^+) = \rho \bar{\vec{a}}, \quad (4.3.77)$$

jossa $\bar{\vec{c}}^+$ on Reynoldsin jännityksiä vastaava
jännitystensori. Täten muodollisesti saadaan
aivan samannäköiset liikkeyhtälöt kuin ennen-
kin; keskiarvojännityksiä on ainoastaan täy-
dennettävä Reynoldsin jännityksillä (3.4.73).
Ne edustavat kuitenkin yleisessä tapauksessa
kuutta lisätuntematonta, joiden käsittely on pidem-
mälle menevän turbulenssiteorian ydinkohtia.

Siirrytään tämän jälkeen tarkastelemaan Newtonin
nestettä eli siis Stokerin kitkalakia muodat-
tavaa nestettä vakiotiheydellä tapauksessa. Otak-
taan lisäksi, että viskositeetti on myös vakio
eikä ole siis satunnaisuus. (jos esimerkiksi
lämpötila T heilautelisi voimakkaasti, visko-
siteetti $\mu = \mu(T)$ voisi käyttäytyä samoin.)

Ottamalla konstitutiivisten yhteyksien (4.2.19) aika-kerkiarvot saadaan täten

$$\left. \begin{aligned} \bar{\sigma}_x^* &= 2\mu \frac{\partial \bar{v}_x}{\partial x}, & \bar{\tau}_{yz} &= \mu \left(\frac{\partial \bar{v}_y}{\partial z} + \frac{\partial \bar{v}_z}{\partial y} \right), \\ \dots & & \dots & \end{aligned} \right\} \quad (4.3.78)$$

Koska $\bar{\sigma}_x = -\bar{p} + \bar{\sigma}_x^*$, ..., niin saadaan vielä

$$\left. \begin{aligned} \bar{\sigma}_x &= -\bar{p} + \bar{\sigma}_x^*, \\ \dots & \end{aligned} \right\} \quad (4.3.79)$$

Kun yhteydet (4.3.78) ja (4.3.79) sijoitetaan yhtälöihin (4.3.), saadaan lopuksi ns. Reynoldsin likeyhtälöt

$$\begin{aligned} \rho \frac{d\bar{v}_x}{dt} &= \rho \bar{B}_x - \frac{\partial \bar{p}}{\partial x} + \mu \left(\frac{\partial^2 \bar{v}_x}{\partial x^2} + \frac{\partial^2 \bar{v}_x}{\partial y^2} + \frac{\partial^2 \bar{v}_x}{\partial z^2} \right) + \\ &+ \frac{\partial \bar{\sigma}_x^t}{\partial x} + \frac{\partial \bar{\tau}_{yx}^t}{\partial y} + \frac{\partial \bar{\tau}_{zx}^t}{\partial z}, \\ \rho \frac{d\bar{v}_y}{dt} &= \rho \bar{B}_y - \frac{\partial \bar{p}}{\partial y} + \mu \left(\frac{\partial^2 \bar{v}_y}{\partial x^2} + \frac{\partial^2 \bar{v}_y}{\partial y^2} + \frac{\partial^2 \bar{v}_y}{\partial z^2} \right) + \\ &+ \frac{\partial \bar{\tau}_{xy}^t}{\partial x} + \frac{\partial \bar{\sigma}_y^t}{\partial y} + \frac{\partial \bar{\tau}_{zy}^t}{\partial z}, \\ \rho \frac{d\bar{v}_z}{dt} &= \rho \bar{B}_z - \frac{\partial \bar{p}}{\partial z} + \mu \left(\frac{\partial^2 \bar{v}_z}{\partial x^2} + \frac{\partial^2 \bar{v}_z}{\partial y^2} + \frac{\partial^2 \bar{v}_z}{\partial z^2} \right) + \\ &+ \frac{\partial \bar{\tau}_{xz}^t}{\partial x} + \frac{\partial \bar{\tau}_{yz}^t}{\partial y} + \frac{\partial \bar{\sigma}_z^t}{\partial z}. \end{aligned} \quad (4.3.80)$$

Ne on kirjoitettu tässä siis kun ρ ja μ ovat vakioita. Vastaava yleinen koordinaattistosta riippumaton muoto on

$$\rho \bar{\mathbf{a}} = \rho \bar{\mathbf{B}} - \bar{\nabla} \bar{p} + \mu \nabla^2 \bar{\mathbf{v}} + \bar{\nabla} \cdot \bar{\boldsymbol{\sigma}}^t. \quad (4.3.81)$$

Täten muodollisesti saadaan jälleen aivan

Navier-Stokes-tyyppiset yhtälöt; Reynoldsin jännitykset (4.3.73) ovat vain lisänä.

Boussinesq (v. 1877) ehdotti, että Reynoldsin jännityksille kirjoitettaisiin erityys

$$\tau_{yz}^+ = \eta \left(\frac{\partial \bar{v}_y}{\partial z} + \frac{\partial \bar{v}_z}{\partial y} \right), \quad (4.3.82)$$

...

joissa η on ns. pyöreviskoriteetti (ks. kaavaan 4.3.35 liittyvä teksti). Näin saataisiin täysin Navier-Stokes-tyyppiset yhtälöt, joissa vain todellinen viskoriteetti μ olisi korvattu termillä $\mu + \eta$. Kaavojen (4.3.82) erittämisen siis merkitsee, että se, mitä emme kunnolla tiedä, on kätkeyty kertoimeen η . Monasti valitaan vielä eri jännityskomponenteille eri pyöreviskoriteetit, koska vain yhden arvon käyttö yksinkertaisiksi ilmeisestikin kaavojen (4.3.73) erittämisen kunden tuntemattoman funktion käyttäytymistä aivan liian.

Tunnetuin Reynoldsin jännitysten arvioimiseen liittyvä käsite on ns. sekoittumispituus - (engl. mixing length) otaksuma (Prandtl v. 1933). Tätä käytetään seinämien läheisyydessä ta-paktuwan turbulentsin virtauksen käsitteilyssä.

Kun virtausta mitataan hyvän erotuskyvyn omaavalla laitteella, havaitaan, että myös laminaariselta näyttävässä virtauksessa esiintyy pientä heilaktelua, joka karkaa Reynoldsin luvun kasvaessa. Tarkasti ottaen täytyy siis olla käytettävissä jokin heilaktelun suuruutta kuvaava mitta, jonka avulla virtaus kussakin pisteessä voidaan luokitella joko laminaariseksi tai

turbulenttiseksi. Ominaisliike-energia $1/2 \cdot v^2 dm/dm = 1/2 \cdot v^2$ sopii tähän tarkoitukseen. Ominaisliike-energian aikakerkiarvo

$$\begin{aligned} \frac{1}{2} \overline{v^2} &= \frac{1}{2} (\overline{v_x^2 + v_y^2 + v_z^2}) = \frac{1}{2} (\overline{v_x v_x} + \overline{v_y v_y} + \overline{v_z v_z}) \\ &= \frac{1}{2} (\overline{v_x v_x} + \overline{v_y v_y} + \overline{v_z v_z} + \overline{v_x' v_x'} + \overline{v_y' v_y'} + \overline{v_z' v_z'}) \\ &= \frac{1}{2} (\overline{v_x^2} + \overline{v_y^2} + \overline{v_z^2} + \overline{v_x'^2} + \overline{v_y'^2} + \overline{v_z'^2}) \\ &= \frac{1}{2} \overline{v^2} + \frac{1}{2} (\overline{v_x'^2} + \overline{v_y'^2} + \overline{v_z'^2}). \end{aligned} \quad (4.3.83)$$

Havaitaan, että ominaisliike-energian kerkiarvo $1/2 \cdot \overline{v^2}$ on yhtä kuin keskiarvonopeuden avulla laskettu ominaisliike-energia $1/2 \cdot \overline{v^2}$ plus heilautelu- nopeuksista kertyvä positiivinen lisätermi. (Positiivisen sumeen kuten $v_x'^2 = v_x' v_x'$ aikakerkiarvo on positiivinen. Tämän perusteella Reynoldsin jännitysten normaalikomponentit $\overline{\sigma_x^t}$, $\overline{\sigma_y^t}$ ja $\overline{\sigma_z^t}$ ovat siis negatiivisia.) Kaavan (4.3.83) esittämä tulos on analoginen kaavan (a) esimerkki D 6.3.4 kanssa.

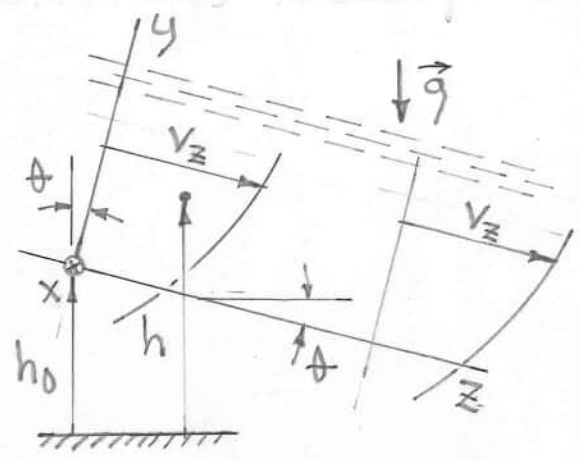
Virtauksen ns. turbulenssiaste (engl. degree, level, intensity of turbulence) määritellään lausekkeena

$$\frac{1}{\sqrt{3}} \frac{|\overline{v_x'^2} + \overline{v_y'^2} + \overline{v_z'^2}|}{\overline{v}} = \frac{\sqrt{\overline{v_x'^2} + \overline{v_y'^2} + \overline{v_z'^2}}}{\sqrt{3(\overline{v_x^2} + \overline{v_y^2} + \overline{v_z^2})}}. \quad (4.3.84)$$

Tämän arvoa $\approx 0,0001$ voidaan pitää käytännössä rajana, jonka alapuolella virtaus on laminaarista (4).

Suora yhdensuuntaisvirtaus. Otrikon esittämässä tapauksessa virtaviivat ovat siis yh-

yhdensuuntaisia suoria. lisäksi otakritaan



vakiotiheydelle ja vakiopainovoimakenttä.
 Tästä yksinkertaisesta tapauksesta saadaan erille eräitä havainnollisia etenkin yksi-dimensionoisen virtauksen käsitteilyssä tarpeellisia tuloksia.

Kuva 4.3.7

3) Otetaan z-akseli (kuva 4.3.7) virtaviivojen suunnaiseksi, jolloin siis ensin (Poiketaan tilapäisesti edellä käytetyistä merkinnöistä $s \rightarrow z, z \rightarrow h_0$)

$$v_x = 0, v_y = 0, v_z = v_z(x, y, z, t). \quad (4.3.85)$$

Kokoapinistumattomuusehto (3.4.63) yksinkertaistun muotoon

$$\frac{\partial v_z}{\partial z} = 0, \quad (4.3.86)$$

jonka perusteella v_z ei riipu muuttujasta z :

$$v_z = v_z(x, y, t). \quad (4.3.87)$$

Täten nopeusjakautuma on virtaussuuntaa vastaan kohtisuorilla poikkileikkaustasoilla eri kohdissa samalla ajan hetkellä muuttumaton (kuva 4.3.7).

Katsotaan sitten Navier-Stokesin likeyhtälöitä (4.3.67). Kiihtyvyyshakemattomat (3.3.23) ovat

$$\frac{dv_x}{dt} = 0, \quad \frac{dv_y}{dt} = 0, \quad \frac{dv_z}{dt} = \frac{\partial v_z}{\partial t}. \quad (4.3.88)$$

ja liikeyhtälöt ovat siis

$$\left. \begin{aligned} 0 &= gB_x - \frac{\partial p}{\partial x}, \\ 0 &= gB_y - \frac{\partial p}{\partial y}, \\ g \frac{\partial v_z}{\partial t} &= gB_z - \frac{\partial p}{\partial z} + \mu \left(\frac{\partial^2 v_z}{\partial x^2} + \frac{\partial^2 v_z}{\partial y^2} \right). \end{aligned} \right\} \quad (4.3.89)$$

Kahden ensimmäisen yhtälön nähdään olevan täsmälleen samoja kuin nestestatikassa (vt. kaavat (2.1.13)), jonka johdosta syntyvässä painejakautumalla on osittain tuttuja piirteitä.

Kuvan 4.3.7 esittämässä tapauksessa mielivaltaisen nestealkion korkeusasema

$$h(y, z) = h_0 + y \cos \theta - z \sin \theta \quad (4.3.90)$$

ja kenttävoiman intensiteetin komponenteiksi saadaan kaavoja (2.1.35) soveltamalla

$$\left. \begin{aligned} B_x = g_x &= -g \frac{\partial h}{\partial x} = 0, \\ B_y = g_y &= -g \frac{\partial h}{\partial y} = -g \cos \theta, \\ B_z = g_z &= -g \frac{\partial h}{\partial z} = g \sin \theta. \end{aligned} \right\} \quad (4.3.91)$$

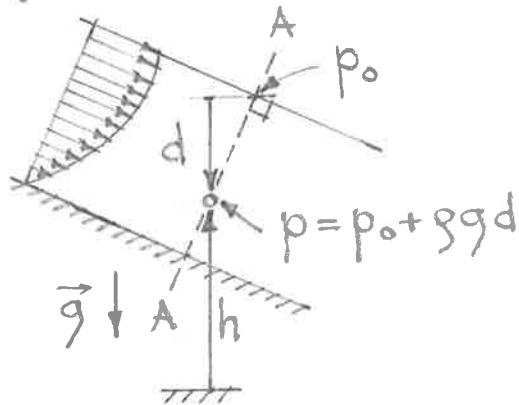
Nämä lopputulokset nähdään oikeiksi suoraan kuvaa 4.3.7 tarkastelemalla. Ensimmäiset kaksi yhtälöä (4.3.89) saadaan nyt muotoihin (g ja g ovat vakioita)

$$-\frac{\partial}{\partial x} (ggh + p) = 0, \quad -\frac{\partial}{\partial y} (ggh + p) = 0, \quad (4.3.92)$$

joiden perusteella sulussa oleva summe $ggh + p$ tai vielä tiheydellä g jaettu summe

$$\frac{p}{g} + gh = c \quad (4.3.93)$$

on kullakin poikkileikkaustasolla vakio, jonka arvo voi kylläkin vaihdella eri tasoilla. Vertaamalla tulosta kaavaan (2.2.1) todetaan, että kaikilla virtaussuuntaa vastaan kohtisuorilla poikkileikkaustasoilla vallitsee hydrostaattinen painejakautuma.



Kuva 4.3.8

jos esimerkiksi sovelletaan kaavaa (2.2.5), jossa p_0 on poikkileikkauksen tietystä pisteestä vallitseva paine, syvyys d on tällöin mitattava kuvan 4.3.7 erittämällä tavalla.

Virtausta vastaan jännityskenttä saadaan Stokerin kittikalain (4.2.19) avulla:

$$\left. \begin{aligned} \sigma_x &= -p + 2\mu \frac{\partial v_x}{\partial x} = -p, \\ \sigma_y &= -p + 2\mu \frac{\partial v_y}{\partial y} = -p, \\ \sigma_z &= -p + 2\mu \frac{\partial v_z}{\partial z} = -p, \\ \tau_{yz} &= \mu \left(\frac{\partial v_y}{\partial z} + \frac{\partial v_z}{\partial y} \right) = \mu \frac{\partial v_z}{\partial y}, \\ \tau_{zx} &= \mu \left(\frac{\partial v_z}{\partial x} + \frac{\partial v_x}{\partial z} \right) = \mu \frac{\partial v_z}{\partial x}, \\ \tau_{xy} &= \mu \left(\frac{\partial v_x}{\partial y} + \frac{\partial v_y}{\partial x} \right) = 0. \end{aligned} \right\} \quad (4.3.94)$$

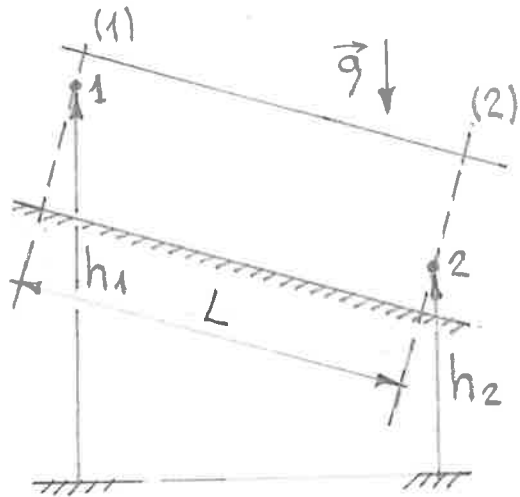
Täten deviaationormaalijännityskomponentit häviävät x , y - ja z -akselien suunnissa ja siis erityisesti virtaussuuntaa vastaan kohtisuorilla poikkileikkaustasoilla normaalijännityskomponentti $\sigma = -p$.

Edellä esitetyt kaksi alleviivattua tulosta ovat usein käytössä periaatteiden äärellisten muotojen sovellutuksissa; etenkin tämä koskee yleistetyn Bernoullin yhtälön johtoa. Niitä voidaan soveltaa riittäväällä tarkkuudella myös turbulentsin virtauksen yhteydessä; ks. Lähde (27, s. 82).

Tarkastellaan sitten viimeistä liikeyhtälöä (4.3.89) ykinkertaisuuden vuoksi vain stationaarisessa tapauksessa, jolloin se on muotoa

$$\frac{\partial p}{\partial z} = \rho g \sin \theta + \mu \left(\frac{\partial^2 v_z}{\partial x^2} + \frac{\partial^2 v_z}{\partial y^2} \right). \quad (4.3.95)$$

Oikea puoli ei riipu lainkaan muuttujasta z eli se on vakio z :n suhteen ja paineen täytyy siis olla korkeintaan lineaarinen z :n funktiona. Lähtemällä tällaisesta paineen lausekkeesta ja ottamalla vielä tulos (4.3.93) huomioon saadaan lopuksi kuvassa



4.3.9 esitettyjen kahden pisteen paine-erolle $\Delta p = p_1 - p_2$ lauseke

$$\Delta p = \rho g (h_2 - h_1) - \mu L \left(\frac{\partial^2 v_z}{\partial x^2} + \frac{\partial^2 v_z}{\partial y^2} \right). \quad (4.3.96)$$

Oikean puolen ensimmäinen termi esittää

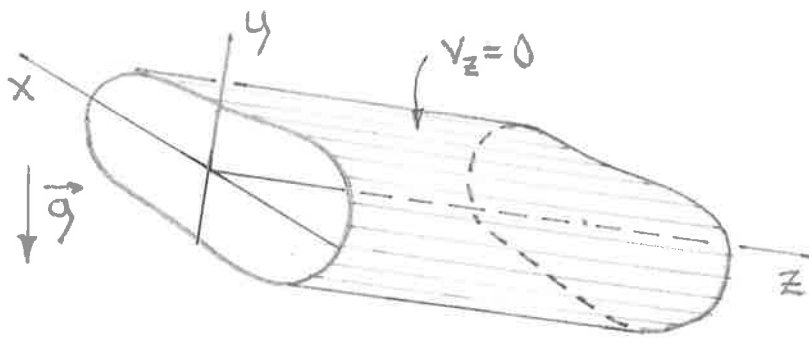
Kuva 4.3.9

hydrostaattista paine-eroa, joka esiintyisi lepotilassa olevassa nesteessä ($v_z \equiv 0$). jälkimmäinen termi esittää näin ollen itse liikkeen vaatimaa kitkasta johtuvaa ns. painehäviötä

$$\Delta p_r = -\mu L \left(\frac{\partial^2 v_z}{\partial x^2} + \frac{\partial^2 v_z}{\partial y^2} \right) \quad (4.3.97)$$

jonka nähdään olevan suoraan verrannollinen suureisiin μ , L ja v_z ; mt. esimerkki 4.3.5.

Tarkastellaan viimeiseksi edellisten tulosten

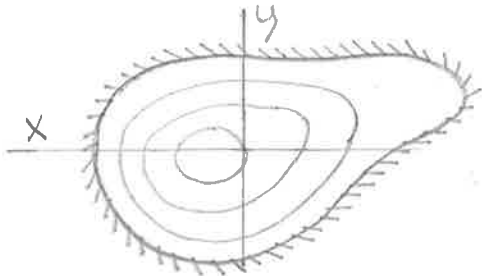


erikoistapa-
uksena putki-
virtausta
poikkileik-
kauksestaan
muuttumat-
tomassa suo-
rassa putkessa

Kuva 4.3.10

(kuva 4.3.10). Kun kyseessä on pysyvä vir-
taus pitkässä putkessa, putken päistä vir-
taukseseen syntyvät häiriöt eivät enää vai-
kuta virtaukseen, joka on yhdensuuntaisvirta-
usta, sillä Navier-Stokesin yhtälöt toteutuvat
tällä valinnalla täsmällisesti, kunhan vain
löydetään funktio $v_z(x, y)$ siten, että yhtälö
(4.3.95) toteutuu. Lisäksi v_z :n tulee hävitä
putken poikkileikkauksen reunalla; todellisen
nesteen nopeus häviää kiinteällä seinämällä.
Funktio v_z ratkaistaan yhtälöstä (4.3.97) pitäen
suureita Δp_r , μ ja L annettuina. Kyseessä on
Poissonin yhtälö, jonka ratkaisemiseksi on
olemassa tehokkaita numeerisia menetelmiä.
Ratkaisun tyyppin ymmärtämistä voi helpot-
taa, kun muistetaan, että ongelma on
matemaattisesti sama kuin poikkileikkauksen
reunan varaan pingoitettun kalvon poikit-
taissuuntien määrittäminen tasaisen poikit-
taiskuurmituksen johdosta. Täten nopeus

on karkeasti sanoen

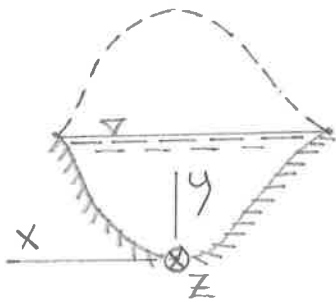


suurimmillaan pisteissä, jotka ovat mahdollisimman kaukana alueen reunasta. Kuva 4.3.11 esittää kaaviollisesti tiettyyn poikkileikkausmuotoon mahdollisesti liittyviä nopeuden V_z tasa-avokäyriä.

Kuva 4.3.11

tyviä nopeuden V_z tasa-avokäyriä.

Tasainen avouomavirtaus voidaan ajatella myös putkivirtauksen osakri-



muodostamalla kuviteltu putki kuvan 4.3.12 esittämällä tavalla peilaamalla uoman reuna vapaan pinnan suhteen lisäreunakri. Vapaalla pinnalla tulee olla

Kuva 4.3.12

$$\tau_{yx} = 0, \quad \tau_{yz} = 0, \quad (4.3.98)$$

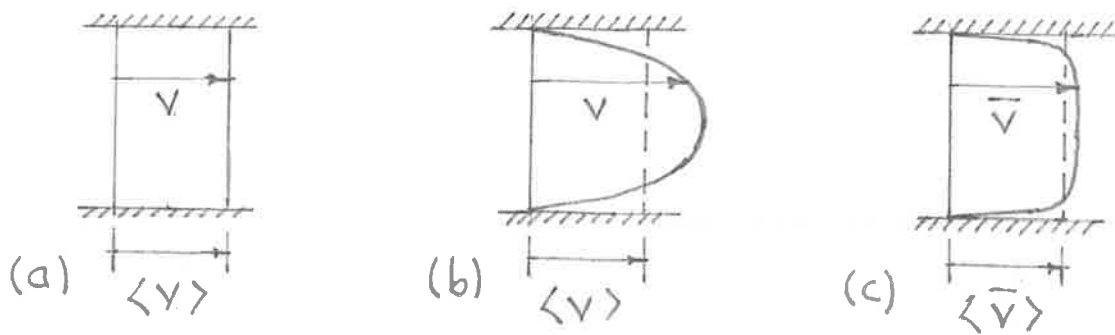
kun mahdollisesta tulesta aiheutuva pintakitka jätetään huomiotta. Kaavojen (4.3.94) perusteella ensimmäinen yhtälö toteutuu automaattisesti ja toinen saa muodon

$$\frac{\partial V_z}{\partial y} = 0, \quad (4.3.99)$$

joka toteutuu symmetriasyistä kuvitellussa putkivirtauksessa.

Turbulenttinen putkivirtaus ei ole keskiavonopeuden kannalta enää yhden-suuntaisvirtausta paitsi ympyräpoikkileikkauksen tapauksessa. Reynoldsin jännitysten aiheuttamat paine-erot synnyttävät poikkileikkauksen suuntaisia virtauksia, ns. sekundäärivirtaus. Virtausnopeus jakautuu turbulenttisesti vira-

uksessa huomattavasti tasaisemmin kuin lami-
naarisessa virtauksessa. Itse asiassa turbulent-

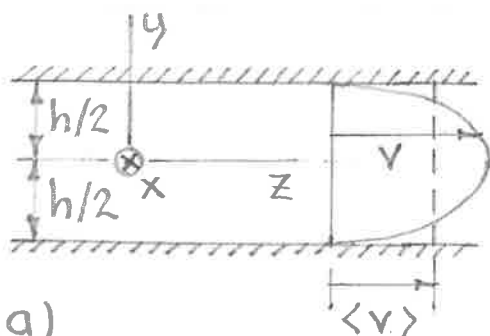


Kuva 4.3.13 Nopeusjakautuma (a) ideaaliseen
virtauksessa, (b) todelliseen nesteeseen laminaarisessa (c)
turbulentissa virtauksessa.

tinen nopeusjakautuma on hyvin lähellä ide-
aaliseen yhtälöiden avulla saatavaa täy-
sien tasaista nopeusjakautumaa (kuva 4.3.13).

Griffaisdifferentiaaliyhtälö (4.3.97) on ratkaista-
vissa analyttisesti joidenkin yksinkertaisten poikki-
leikkausmuotojen yhteydessä, joista käsitellään
tässä kaksi tapausa.

Esimerkki 4.3.9. Tasovirtaus kahden yhden-



(a)

suuntaisen levyn välissä.
Kuvan (a) esittämässä
tapauksessa v_z (merkitään
 $= v$) riippuu vain muuttu-
jasta y . Parabolinen arvoas-
yite

$$v = \frac{3}{2} \langle v \rangle \left[1 - \left(\frac{y}{h/2} \right)^2 \right] \quad (a)$$

totenttaa reunaehdot $v(-h/2) = 0$, $v(h/2) = 0$ ja
antaa

$$\frac{\partial^2 v_z}{\partial x^2} + \frac{\partial^2 v_z}{\partial y^2} = \frac{d^2 v}{dy^2} = \frac{3}{2} \langle v \rangle \left(-\frac{2}{h^2/4} \right) = -\frac{12}{h^2} \langle v \rangle, \quad (b)$$

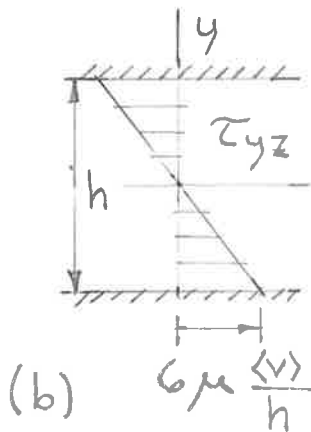
joka on vakio kuten pitääkin. Kaavan (4.3.97) perusteella painekäviö

$$\Delta p_i = -\mu L \left(-\frac{12}{h^2} \langle v \rangle \right) = \frac{12\mu L}{h^2} \langle v \rangle. \quad (c)$$

leikkausjännitys τ_{yz} on (ks. kaavat (4.3.94))

$$\begin{aligned} \tau_{yz} &= \mu \frac{\partial v_z}{\partial y} = \mu \frac{dv}{dy} = \mu \cdot \frac{3}{2} \langle v \rangle \left(-\frac{2y}{h^2/4} \right) \\ &= -6\mu \frac{y}{h/2} \frac{\langle v \rangle}{h}. \end{aligned} \quad (d)$$

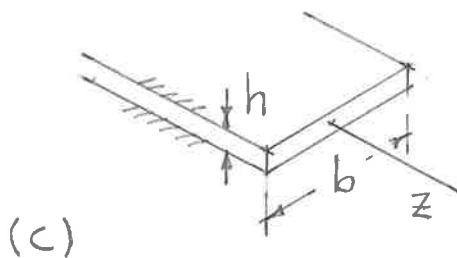
Täten leikkausjännitys on jakautunut lineaarisesti y -akselin suunnassa ja saa itseisarvoltaan maksimiarvon $6\mu \langle v \rangle / h$ seinämien kohdalla. (kuva (b)).



(b)

Johdetaan kitkakäviökeh-
toimen lauseke. Määritelmän
(4.3.37) perusteella

$$f = \frac{\tau_w}{\rho \langle v \rangle^2 / 8}. \quad (e)$$



(c)

Tarkastellaan kuvan (c)
esittämää kaistaa, jonka
leveys on b . Poikkileikkauk-
selle saadaan arvot

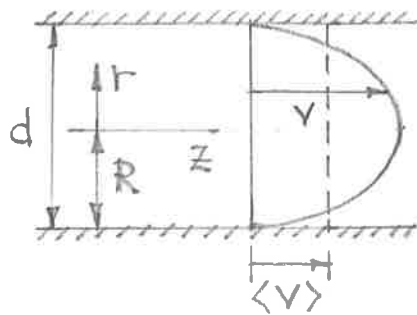
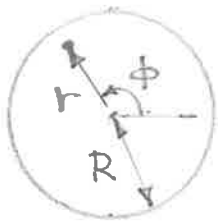
$$A = bh, \quad l_w = 2b, \quad d_h = \frac{4A}{l_w} = \frac{4bh}{2b} = 2h. \quad (f)$$

Tässä ei oteta huomioon kaistan päiden osuutta
määrän piirin laskemisessa, koska kyseessä on
periaatteessa äärettömän leveä tapaus, jolloin
reunojen vaikutus häviää. Seinämäleikkaus-
jännitys $\tau_w = 6\mu \langle v \rangle / h$ ja kaavasta (e) saa-
daan

$$f = \frac{6\mu \langle v \rangle / h}{\rho \langle v \rangle^2 / 8} = 96 \frac{\mu}{\rho \cdot 2h \langle v \rangle} = 96 \frac{\mu}{\rho d_h \langle v \rangle} = \frac{96}{Re}, \quad (g)$$

jossa Reynoldsin luvun (1.1.4) karakteristiseksi pituudeksi on otettu hydraulinen halkaisija d_h ja karakteristiseksi nopeudeksi on otettu keskinopeus.

* Esimerkki 4.3.10. Ympyräpoikkileikkaus. Käytetään sylinterikoordinaatteja (kuva (a)). Symmetriasyistä $v_r = v_\phi = 0$ ja akselin suuntainen nopeuskomponentti v_z (merkitään v) on pelkästään säteen r funktio: $v = v(r)$.



(a)

tään säteen r funktio: $v = v(r)$.

Kaavoista (3.3.52) saadaan ainoaksi nolasta eroavaksi muodonsuunnansopeuskomponentiksi

$$g_{rz} = \frac{\partial v_z}{\partial r} = \frac{dv}{dr} \quad (a)$$

ja taas kaavoista (4.2.22) seuraa ainoaksi nolasta eroavaksi deviaatiojännityskomponentiksi termi

$$\tau_{rz} = \mu g_{rz} = \mu \frac{dv}{dr}. \quad (b)$$

Viimeinen Cauchyyn likeyhtälöistä (4.3.66) saa pyörpöävän virtauksen muodon

$$\rho g \cos \theta - \frac{\partial p}{\partial z} + \frac{d\tau_{rz}}{dr} + \frac{\tau_{rz}}{r} = 0, \quad (c)$$

josta tulee Lausekkeen (b) sijoituksen jälkeen yhtälö (Navier-Stokesin yhtälö)

$$\frac{\partial p}{\partial z} = \rho g \cos \theta + \mu \left(\frac{1}{r} \frac{dv}{dr} + \frac{d^2 v}{dr^2} \right). \quad (d)$$

Tämä on yhtälön (4.3.95) vastine ja tämän kaavan (4.3.97) vastineeksi saadaan nyt

$$\Delta p_i = -\mu L \left(\frac{1}{r} \frac{dv}{dr} + \frac{d^2v}{dr^2} \right). \quad (e)$$

Itse asiassa tämä tulos olisi saatu suoraa kirjoittamalla kaava (4.3.97) muotoon $\Delta p_i = -\mu L \nabla^2 v$ ja etsimällä Laplace-operaattorin lauseke sylinterikoordinaatissa pyörähdyssymmetrisessä tapauksessa.

Jälleen parabolinen hyvin arvattu yrite

$$v = 2 \langle v \rangle \left[1 - \left(\frac{r}{R} \right)^2 \right] \quad (f)$$

totenttaa reunaehdon $v(R) = 0$ ja antaa

$$\frac{1}{r} \frac{dv}{dr} + \frac{d^2v}{dr^2} = 2 \langle v \rangle \left[\frac{1}{r} \left(-\frac{2r}{R^2} \right) - \frac{2}{R^2} \right] = -\frac{8}{R^2} \langle v \rangle, \quad (g)$$

joka on vakio kuten pitääkin olla. Painehäviö

$$\Delta p_i = -\mu L \left(-\frac{8}{R^2} \langle v \rangle \right) = \frac{8\mu L}{R^2} \langle v \rangle. \quad (h)$$

leikkausjännitys

$$\tau_{rz} = \mu \frac{dv}{dr} = \mu \cdot 2 \langle v \rangle \left(-\frac{2r}{R^2} \right) = -4\mu \frac{r}{R} \frac{\langle v \rangle}{R} \quad (i)$$

riippuu lineaarisesti säteestä r . Sen itseisarvo on seinämän kohdalla $4\mu \langle v \rangle / R$, joka on siis seinämäleikkausjännityksen τ_w arvo. Kitkahäviökertoimeksi saadaan

$$\begin{aligned} f &= \frac{\tau_w}{\rho \langle v \rangle^2 / 8} = \frac{4\mu \langle v \rangle / R}{\rho \langle v \rangle^2 / 8} = 32 \frac{\mu}{\rho R \langle v \rangle^2} \\ &= 64 \frac{\mu}{\rho d \langle v \rangle^2} = \frac{64}{Re}, \end{aligned} \quad (j)$$

jossa Reynoldsin luvun karakteristiseksi pituusdeksi on otettu halkaisija d (on tämä sama kuin d_h) ja karakteristiseksi nopeudeksi keskinopeus $\langle v \rangle$.

Eulerin liikeyhtälöt. Tarkastellaan kitkatto-
maki otaksuttua virtausta eli ns. ideaali-
nesteen virtausta. Vallitsevat liikeyhtälöt saa-
daan joko Navier-Stokerin yhtälöistä asetta-
malla viskositeetti μ nollakri tai sitten
suoraan Cauchy'n yhtälöistä asettamalla $\sigma_x =$
 $= \sigma_y = \sigma_z = -p$, $\tau_{yz} = \tau_{zx} = \tau_{xy} = 0$, jolloin saadaan
ns. Eulerin liikeyhtälö (Euler v. 1755)

$$\boxed{\rho \frac{d\vec{v}}{dt} = \rho \vec{B} - \nabla p} \quad (4.3.100)$$

eli komponenttiyhtälöt

$$\left. \begin{aligned} \rho \frac{dv_x}{dt} &= \rho B_x - \frac{\partial p}{\partial x}, \\ \rho \frac{dv_y}{dt} &= \rho B_y - \frac{\partial p}{\partial y}, \\ \rho \frac{dv_z}{dt} &= \rho B_z - \frac{\partial p}{\partial z}. \end{aligned} \right\} \quad (4.3.101)$$

Klassillinen hydromekaniikka käsittelee näitä
yhtälöitä ja aiheesta on julkaistu valtava
määrä kirjallisuutta. Tulosten käyttökelpoisuus
rajoittuu kuitenkin vain sellaisiin tilanteisiin,
joissa todellinen virtaus muistuttaa kitkatonta
virtausta; siis lähinnä rajakerrosvirtauksen
ulkopuolinen alue.

* \downarrow ns isotrooppisessa tubulenssissa Reynoldin
jännitykset ovat muotoa (27)

$$\sigma_x^t = \sigma_y^t = \sigma_z^t, \quad \tau_{yz}^t = \tau_{zx}^t = \tau_{xy}^t = 0. \quad (4.3.102)$$

Tällöin Reynoldin jännityksiin liittyvä paine

$$p^t \equiv -\frac{1}{3}(\sigma_x^t + \sigma_y^t + \sigma_z^t) = -\sigma_x^t = -\sigma_y^t = -\sigma_z^t. \quad (4.3.103)$$

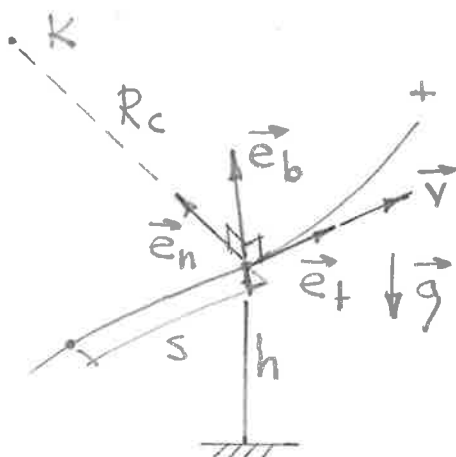
Suurella Reynoldsin luvun arvoilla keskiarvo-
napenkriin liittyvät keskiarvojämmitykset (4.3.78)
ovat usein hyvin pieniä Reynoldsin jämmityk-
siin verrattuna. Jos niiden osuus jätetään
 pois, Reynoldsin yhtälöstä (4.3.81) tulee iso-
trooppisessa turbulenssissa yhtälö

$$\rho \frac{d\vec{v}}{dt} = \rho \vec{B} - \vec{\nabla}(\bar{p} + p^+), \quad (4.3.104)$$

joka on tyypiltään vastaava kuin Eulerin
yhtälö (4.3.100). Koska turbulenssi on raja-
kerroksen ulkopuolella usein verraten lähellä
isotrooppista tapautta, yhtälö (4.3.104)
selittää osittain, miksi keskiarvovirtaus
on rajakerroksen ulkopuolella käsiteltävissä
* ↑ ideaalivesteen virtauksena.

Yhtälöiden (4.3.101) vastineet on helppo kir-
joittaa eri koordinaattijärjestelmissä proji-
kioimalla yhtälön (4.3.100) molemmat puolet
eri koordinaattiakselien suunnille ja muista-
malla että p :n gradientin $\vec{\nabla}p$ komponentti
tietylle suunnalle on yhtä kuin p :n deri-
vaatta ko. suuntaan.

Ratakoordinaatteja käyttäen saadaan vi-
taussuunnaltaan pyörvässä
tai pyörvässä virtauk-
sessa kaavojen (3.3.31)
perusteella yhtälöt (kuva
4.3.14)



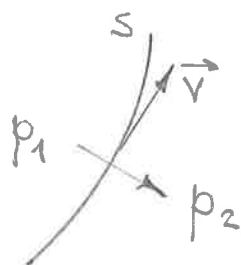
Kuva 4.3.14

$$\left. \begin{aligned} \rho \left(\frac{\partial v}{\partial t} + v \frac{\partial v}{\partial s} \right) &= \rho B_s - \frac{\partial p}{\partial s} \\ \rho \frac{v^2}{R_c} &= \rho B_n - \frac{\partial p}{\partial h} \\ 0 &= \rho B_b - \frac{\partial p}{\partial b} \end{aligned} \right\} (4.3.105)$$

joissa käsiteltävien tunnusmerkkien merkitys on ilmeinen. Jos käsitellään vain painovoimakenttää ja jaetaan yhtälöt puolittain tiheydellä ρ saadaan tavansaomaiset ratakoordinaateissa lausutut Eulerin yhtälöt ($B_s = -g \partial h / \partial s$, $B_n = -g \partial h / \partial n$, $B_b = -g \partial h / \partial b$, sillä konservatiivisen ominaiskappalevoiman (2.1.28) komponentit tietyssä suunnassa s on $-\vec{\nabla} \Omega \cdot \vec{e}_s = -\partial \Omega / \partial s$)

$$\left. \begin{aligned} \frac{\partial v}{\partial t} + v \frac{\partial v}{\partial s} &= -g \frac{\partial h}{\partial s} - \frac{1}{\rho} \frac{\partial p}{\partial s} \\ \frac{v^2}{R_c} &= -g \frac{\partial h}{\partial n} - \frac{1}{\rho} \frac{\partial p}{\partial n} \\ 0 &= -g \frac{\partial h}{\partial b} - \frac{1}{\rho} \frac{\partial p}{\partial b} \end{aligned} \right\} \quad (4.3.106)$$

Keskimmäisen kaavan perusteella huomataan, että liikkeen johdosta paine karkaa säteittäisessä suunnassa vintaviivojen koveralta kuperalle puolelle kuljettaessa (kuva 4.3.15). Jos vintaviivat ovat yhdensuuntaisia suoria (ja painovoimaa ei oteta huomioon), paine on siis kohtisuoraan vintaviivoja vastaan kuljettaessa vakio.

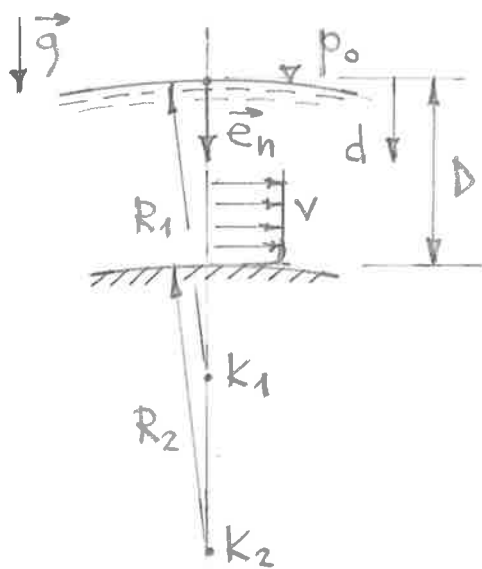


$$p_2 > p_1$$

Kuva 4.3.15

Esimerkki 4.3.11. Käyräviivainen avouomavirtaus. Arvioidaan uoman ja vapaan pinnan kaarevuuden vaikutusta painejakautumaan kuvan (a) esittämässä tapauksessa. Otakutaan vakiotiheydeneste, pyörvä virtaus, vakio-

nopeusjakautuma poikkileikkauksessa ja että



virtaviivojen kaarevuus muuttuu lineaarisesti syvyyden d funktiona vapaalla pinnalla olevasta arvosta $1/R_1$ pohjassa olevaan arvoon $1/R_2$:

$$\frac{1}{R_c} = \left(1 - \frac{d}{D}\right) \frac{1}{R_1} + \frac{d}{D} \frac{1}{R_2}. \quad (a)$$

(a)

Keskimmäinen kaava (4.3.106) saa muodon

$$(n \hat{=} d, h \hat{=} -d)$$

$$\frac{v^2}{R_c} = g - \frac{1}{g} \frac{\partial p}{\partial d}$$

$$\frac{\partial p}{\partial d} = g g - g v^2 \left[\left(1 - \frac{d}{D}\right) \frac{1}{R_1} + \frac{d}{D} \frac{1}{R_2} \right]. \quad (b)$$

Integroidaan tämä puolittain d :n suhteen 0:sta d :hen

$$\int_0^d p = \int_0^d g g d - g v^2 \int_0^d \left[\left(d - \frac{1}{2} \frac{d^2}{D}\right) \frac{1}{R_1} + \frac{1}{2} \frac{d^2}{D} \frac{1}{R_2} \right] d$$

$$p - p_0 = g g d - g v^2 d \left[\left(1 - \frac{1}{2} \frac{d}{D}\right) \frac{1}{R_1} + \frac{1}{2} \frac{d}{D} \frac{1}{R_2} \right]$$

$$p_g = g g d - g v^2 \left[\frac{d}{R_1} + \frac{1}{2} \left(\frac{d}{R_2} - \frac{d}{R_1} \right) \frac{d}{D} \right]. \quad (c)$$

Hydrostaattiseen painejakautumaan tulee siis korjaustermi, jonka arvo pohjassa on

$$-g v^2 \left[\frac{D}{R_1} + \frac{1}{2} \left(\frac{D}{R_2} - \frac{D}{R_1} \right) \frac{D}{D} \right] = -\frac{1}{2} g v^2 \left(\frac{D}{R_1} + \frac{D}{R_2} \right). \quad (d)$$

Koska avoimavirtaus on oleellisesti kitkal-

lista virtausta, kyseessä on vain suureusluokka-
arvio. Jos otetaan numeroarvot

$$\rho = 1000 \text{ kg/m}^3, \quad v = 2 \text{ m/s}, \quad D = 2 \text{ m},$$

$$R_1 = 4 \text{ m}, \quad R_2 = 2 \text{ m},$$

hydrostaattisesta painejakautumasta tulee
pohjalla paineen arvo

$$p = \rho g D = 1000 \frac{\text{kg}}{\text{m}^3} 9,81 \frac{\text{m}}{\text{s}^2} 2 \text{ m} = 19620 \text{ Pa}$$

$$= 0,196 \text{ bar.}$$

Korjaustermin arvo on pohjalla

$$\Delta p = -\frac{1}{2} \rho v^2 \left(\frac{D}{R_1} + \frac{D}{R_2} \right) = -\frac{1}{2} 1000 \frac{\text{kg}}{\text{m}^3} 4 \frac{\text{m}^2}{\text{s}^2} \left(\frac{1}{2} + 1 \right)$$

$$= -3000 \text{ Pa} = -0,030 \text{ bar.}$$

Täten korjaustermin suhteellinen arvo

$$\frac{\Delta p}{p} 100 = -\frac{0,030}{0,196} \cdot 100 = -15\%$$

Bernoullin yhtälö. Kirjallisuudessa esiintyy
suuri määrä enemmän tai vähemmän saman-
näköisiä kaavoja, jotka kaikki kulkevat
Bernoullin yhtälön nimellä. Tavallisimmin ne
koskevat kitkatonta virtausta, mutta eräs
versio - ks. kohta 4.5.2 - liittyy myös kit-
kalliseen tapaukseen. Lähteen (28) mukaan
D. Bernoulli (1700-82) ei tuntenut nimeään kan-
tavaa yhtälöä.

Lähdetään (9) kitkattoman nesteen liikeyhtälöstä
(4.3.100) ja sijoitetaan siihen kiihtyvyyden lau-
seke (3.3.49) sekä jaetaan yhtälö vielä puo-
littain tiheydellä ρ :

$$\frac{\partial \vec{v}}{\partial t} + \vec{v} \frac{v^2}{2} + 2\vec{\omega} \times \vec{v} = \vec{B} - \frac{1}{\rho} \vec{\nabla} p. \quad (4.3.107)$$

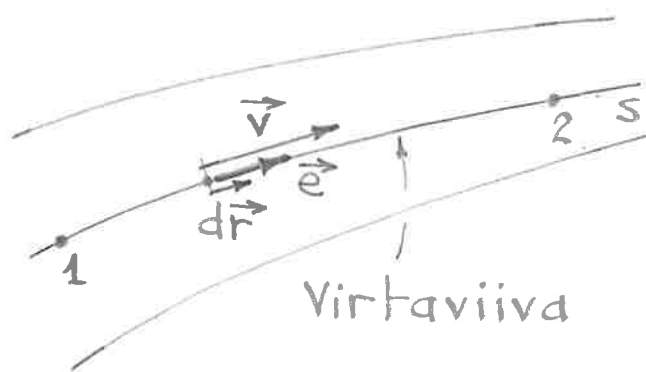
Otaksutaan lisäksi, että (b) voimakenttä on konservatiivinen ja että kyrämykseenä on (c) barotrooppinen homogeeninen neste, jolloin (ks. kaavat (2.1.28) ja (2.1.41))

$$\vec{B} = -\vec{\nabla} \Omega, \quad \frac{1}{\rho} \vec{\nabla} p = \vec{\nabla} \Psi \quad (4.3.108)$$

ja likeyhtälö saa muodon

$$\frac{\partial \vec{v}}{\partial t} + 2\vec{\omega} \times \vec{v} + \vec{\nabla} \left(\frac{v^2}{2} + \Psi + \Omega \right) = \vec{0}. \quad (4.3.109)$$

Halutun yhteyden syntyy ottamalla yhtälön kummankin puolen skalaariset viivaintegraalit tietyllä hetkellä — aika siis "jäädytetään" integrointia suoritettaessa — pitkin tiettyä nesteessä olevaa tietä, jolloin saadaan edelleen yhtälö, jonka oikea ja siis myös vasen puoli on nolla. Tie valitaan kulkemaan pitkin jotain viivaviivaa mielivaltaisesta pisteestä 1 toiseen mielivaltaiseen pisteeseen 2 (kuva 4.3.16). Tämä valinta tehdään, koska silloin päästään eroon kulmanopeusvektorin $\vec{\omega}$ sisältävästä termistä $2\vec{\omega} \times \vec{v} \cdot d\vec{r}$;



Kuva 4.3.16 Integroimistie.

vektorit \vec{v} ja $d\vec{r}$ ovat tällöin yhdensuuntaisia ko. skalaarikolmitulossa. Saadaan siis yhtälö

$$\int_1^2 \frac{\partial \vec{v}}{\partial t} \cdot d\vec{r} + \int_1^2 \vec{\nabla} \left(\frac{v^2}{2} + \Psi + \Omega \right) \cdot d\vec{r} = 0. \quad (4.3.110)$$

Koska mielivaltaiselle funktiolle $f(x, y, z, t)$ pätee

$$\int_1^2 \vec{\nabla} f \cdot d\vec{r} = \int_1^2 \left(\frac{\partial f}{\partial x} \vec{i} + \frac{\partial f}{\partial y} \vec{j} + \frac{\partial f}{\partial z} \vec{k} \right) \cdot (dx \vec{i} + dy \vec{j} + dz \vec{k})$$

$$= \int_1^2 \left(\frac{\partial f}{\partial x} dx + \frac{\partial f}{\partial y} dy + \frac{\partial f}{\partial z} dz \right)$$

$$= \int_1^2 df = \int_1^2 f = f_2 - f_1, \tag{4.3.111}$$

yhtälö saa muodon

$$\boxed{\frac{v_1^2}{2} + \Psi_1 + \Omega_1 = \frac{v_2^2}{2} + \Psi_2 + \Omega_2 + \int_1^2 \frac{\partial v}{\partial t} ds.} \tag{4.3.112}$$

Tulos on eräs Bernoullin yhtälö (muoto 1). Se koskee siis tietyllä hetkellä kahdessa samalla virtaviivalla olevassa pisteessä laskettuja suureiden v , Ψ ja Ω arvoja, kun otaksumat (a), (b) ja (c) ovat voimassa. Tämä vektori \vec{e} on suunnattu kuvan 4.3.16 esittämällä tavalla, jolloin $\vec{v} = v\vec{e}$, $d\vec{r} = ds\vec{e}$ ja $\frac{\partial \vec{v}}{\partial t} \cdot d\vec{r} = \frac{\partial v}{\partial t} \cdot ds$.

Tämä Bernoullin yhtälö näkyy usein myös muodossa

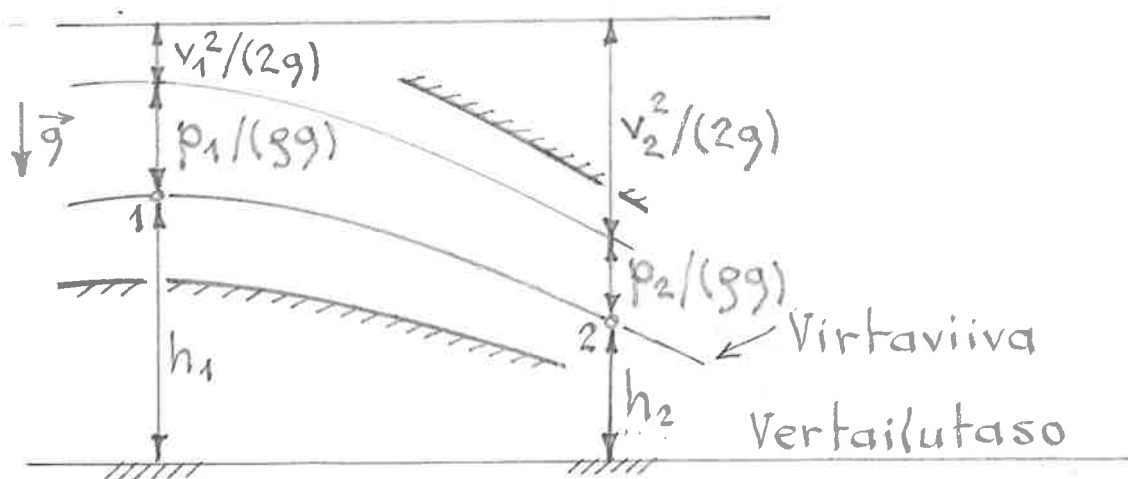
$$\frac{v^2}{2} + \Psi + \Omega + \int \frac{\partial v}{\partial t} ds = C = \text{vakio tietyllä virtaviivalla tietyllä hetkellä.} \tag{4.3.113}$$

Kaava saadaan yhtälöstä (4.3.112) ajattelemalla piste 1 kiinnitetyksi ja poistamalla mielivaltaisen pisteen 2 tunnus.

Tavallisiin sovellutuskaava syntyy otaksumalla yhtälössä (4.3.112) lisäksi (d) pyrpyä vi-
taus ($\partial v / \partial t = 0$), (e) vakiopainovoima-
kenttä ($\Omega = gh$) ja (f) vakiotiheys neste ($\Psi =$
 ρ/g) ja jakamalla vielä yhtälö puolitt-
tain painovoiman kiihtyvyydellä g :

$$\boxed{\frac{v_1^2}{2g} + \frac{p_1}{\rho g} + h_1 = \frac{v_2^2}{2g} + \frac{p_2}{\rho g} + h_2.} \quad (4.3.114)$$

Yhtälön termeillä on pituuden laatu. Tähän
liittyen näitä termejä on tapana havainnol-
listaa kuvan 4.3.17 tapaisella erityyksellä; li-
sänä tavanomaisia nimityksiä, jotka vaih-



h = asemakorkeus (engl. elevation head, geo-
metrical head)

$p/(\rho g)$ = painekorkeus (engl. pressure head)

$v^2/(2g)$ = nopeuskorkeus (engl. velocity head)

$p/(\rho g) + h$ = pietsometrinen korkeus (engl. piezo-
metric head)

$v^2/(2g) + p/(\rho g) + h$ = kokonaiskorkeus (engl. total
head)

Kuva 4.3.17 Bernoullin yhtälön termejä.

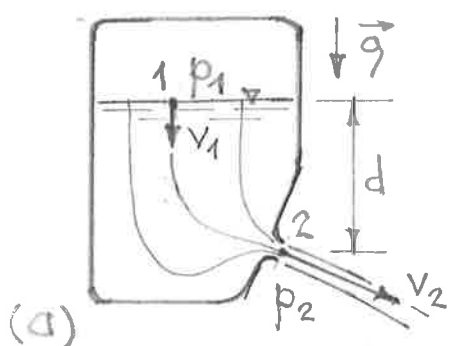
televat melko paljon eri lähteissä. Yhtälö (4.3.114) voidaan siis ilmaista sanomalla, että kokonaiskorkeus on tietyllä virtaviivalla vakio.

Yhtälö (4.3.112) voidaan johtaa myös suorittamalla integraali pitkin tiettyä pyörreviivaa. Pyörreviiva (engl. vortex line) on viiva, jonka kuhunkin pisteeseen kuuluva kulmanopeusvektori sivuaa tätä viivaa. (Vastaavasti kuin määriteltiin virtaputki ja virtasäie voidaan myös määritellä pyörreputki ja pyörresäie.)

Kun nimittään suoritetaan integraali pitkin pyörreviivaa, skalaarikolmitulo $2\vec{\omega} \times \vec{v} \cdot d\vec{r}$ häviää jälleen, koska vektorit $\vec{\omega}$ ja $d\vec{r}$ ovat yhdensuuntaiset.

Olipa Bernoullin yhtälö kirjoitettu korkeaan tiettyä virtaviivaa tai pyörreviivaa miin sen soveltamisessa tarvitaan siis periaatteessa tieto nopeuskentästä, jotta virtaviivat ja pyörreviivat olisivat selville. Täten Bernoullin yhtälön soveltaminen vaatii kohtuullisen hyvän arvauksen nopeuskentästä. Todellisessa virtauksessa Bernoullin yhtälöön syntyy kitkasta johtuva lisätermi (ks. kohta 4.5.2), joka on yleensä vaikea arvioida.

Esimerkki 4.3.12. Purkautuminen aukosta. Kuvan



(a) esittämässä säiliössä oleva neste purkautuu säiliön seinämässä olevan pienen aukon (poikkileikkauspinta-ala = A) kautta ulos. Määritetään vastaava

4.81

virtaama Q . Otakutsaan vakiotiheysteen kit-
katon virtaus.

Vapaa pinta laskeutuu hitaasti alaspäin, joten sillä olevien partikkelien nopeusvektorit osoittavat suunnilleen alaspäin. Vapaalta pinnalta lähtevät virtaviivat kulkevat kaikki lopuksi aukon kautta. (Tarkastellaan vastaotakrumana pinnalta lähtevää virtasäiettä, joka päättyisi seinämään, jolla todellisen nesteen nopeus häviää ja sovelletaan jatkuvuusyhtälöä, jolloin nopeus häviää kaikilla virtasäikeillä. Idealinesteen mahdollisissa seinämit ovat virtaputken seinämiä.)

Sovelletaan Bernoullin yhtälöä (4.3.114) kuvassa esitetyille pisteille 1 ja 2. Yhtälössä tulisi esiintyä vielä termi $\int_1^2 \rho v \cdot ds / g$, koska kyseessä on tarkasti ottaen epästationaarinen virtaus, mutta kun aukon pinta-ala A on pieni säiliön poikkileikkauksen pinta-alaan A_s verrattuna, vapaa pinta laskee hitaasti ja kyseessä on likimain stationaarinen tapaus. Saadaan yhtälö

$$\frac{v_1^2}{2g} + \frac{p_1}{\rho g} + h_1 = \frac{v_2^2}{2g} + \frac{p_2}{\rho g} + h_2,$$

$$v_2^2 = v_1^2 + \frac{2(p_1 - p_2)}{\rho} + 2g(h_1 - h_2),$$

$$v_2 = \left[v_1^2 + 2(p_1 - p_2)/\rho + 2gd \right]^{1/2} \quad (a)$$

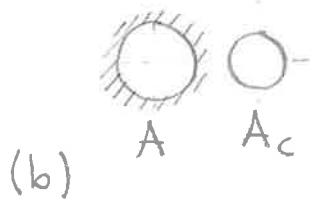
Jatkuvuusyhtälön perusteella $v_1 = v_2 (A/A_s)$, jos otakutsaan, että nopeus on tasaisesti jakautunut vapaalla pinnalla ja aukossa. Yleensä esitetään $v_1 \approx 0$, kun $A \ll A_s$. Jos purkautuva nestesuikku on aukon kohdalla likimain yhdensuuntaisvirtausta, p_2 on yhtä

kuin ulkoilman paine p_0 . Jos säiliö on avoin, on samoin $p_1 = p_0$. Tällöin siis

$$v_2 = \sqrt{2gd}. \quad (b)$$

Tämä on ms. Toricellin kaava. Käytännössä kitkan vaikutus pienentää hieman tätä arvoa.

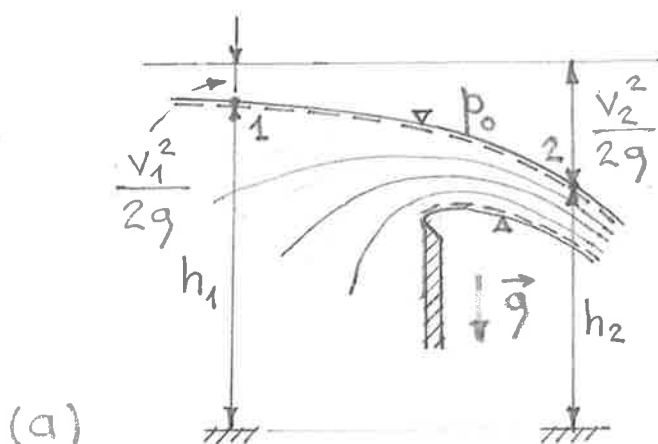
Edellä oli otaksuttu, että aukko on juoksevasti muotoiltu, jolloin suihku on tyypiltään yhdensuuntaisvirtausta heti aukon kohdalla. Käytännössä suihku kurontuu aukon jälkeen ja on sovellettava poikkileikkauspinta-alaa A_c , joka on määritettävä kokeellisesti. Virtaama voidaan esittää joko tapauksessa muodossa



$$Q = \mu A \sqrt{2gd}, \quad (c)$$

jossa kerroin μ , ms. ulovirtauskerroin, sisältää sekä kitkan että kurontumisen vaikutuksen. Kuvan (b) esittämässä aukkotyyppissä $\mu \approx 0,6$.

Esimerkki 4.3.13. Vapaa pinta. Kuva (a) esittää



virtausta teräväreunaisen ylisyökrypadon kohdalla. Pisteessä 1 vapaalla pinnalla on mitattu virtausnopeuden arvo v_1 .

Vapaan pinnan muoto tunnetaan samoin mit-

tausten perusteella. Mikä on virtausnopeuden arvo mielivaltaisessa vapaalla pinnalla olevassa pisteessä 2?

Otaksutaan vakiotiheyste ja pyörvä taso-

virtaus. Stationaarissa tapauksessa vapaan



(b)

pinnan tiettyyn pisteeseen liittyvän virtausnopeusvektorin on oltava aina

pinnan tangenttitason suunn-

tainen (kuva (b)), sillä muulloin pinnan muodostavilla nestealkioilla olisi tietty normaali-

nopeus eikä pinta siis pyryisi paikoillaan. Tämän perusteella tietyn vapaan pinnan pisteen kautta kulkeva virtaviiva kulkee jatkuvasti pitkin vapaata pintaa ja erityisesti kuvan (a) tapauksessa pisteet 1 ja 2 ovat siis samalla virtaviivalla. Otaksutaan, että virtaus tapahtuu kitkattomasti ja sovelletaan Bernoullin yhtälöä (4.3.114):

$$\frac{v_1^2}{2g} + h_1 = \frac{v_2^2}{2g} + h_2, \quad (a)$$

josta saadaan

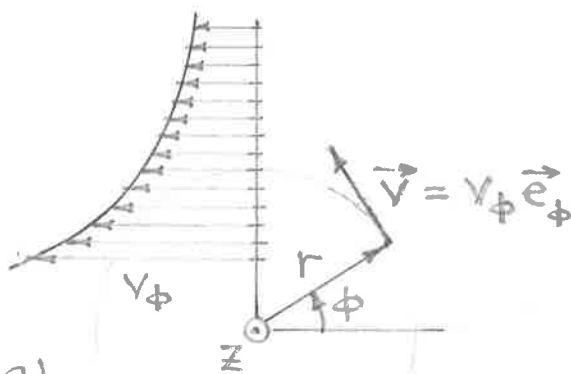
$$v_2 = [v_1^2 + 2g(h_1 - h_2)]^{1/2}. \quad (b)$$

Edellä on toimittu ilmapaine referenssiarvona otetun mittapaineen avulla, jolloin painekorkeusermit häviävät. Yhtä hyvin voidaan käyttää myös absoluuttista painetta p_0 , sillä vastaatavat painekorkeudet kumoavat toisensa yhtä suurina termeinä.

Pyörteetön virtaus. Virtausta sanotaan pyörteettömäksi, jos kulmanopeusvektori

$$\boxed{\vec{\omega} \equiv \frac{1}{2} \nabla \times \vec{v} = \vec{0}} \quad (4.3.115)$$

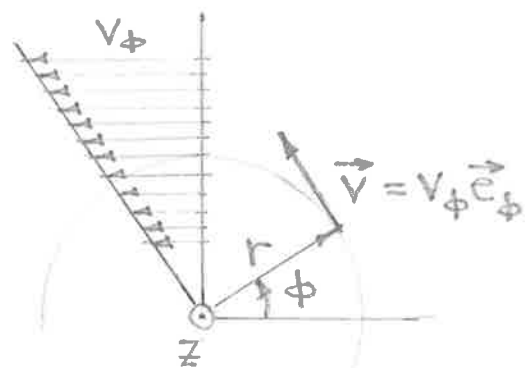
tietyssä alueessa (ks. kohta 3.3.5). Jos $\vec{\omega} \neq \vec{0}$ virtauksen sanotaan vastaavasti olevan pyörteellistä. Termiä pyörteetön ei tule ottaa kovin kuvaannollisesti. Tähän liittyvät kuvassa 4.3.18 esitetyt esimerkit. Kummassakin



(a)

$$v_\phi = \frac{r_0}{r} v_0$$

$$\vec{\omega} = \vec{0}$$



(b)

$$v_\phi = \frac{r}{r_0} v_0$$

$$\vec{\omega} = \frac{v_0}{r_0} \vec{e}_z$$

Kuva 4.3.18 Esimerkki (a) pyörteettömästä ja (b) pyörtellisestä virtauksesta.

tapauksessa on kyse tasovirtauksesta, jossa partikkelit ovat tasaisessa ympyräliikkeessä z -akselin ympäri. Ainoa nollasta eroava sylinterikoordinaattien nopeuskomponentti v_ϕ riippuu vain muuttujasta r : $v_\phi = v_\phi(r)$. Kaavojen (3.3.51) perusteella ainoa nollasta eroava $\vec{\omega}$:n komponentti on tässä

$$\omega_z = \frac{1}{2} \frac{1}{r} \frac{d(rv_\phi)}{dr}$$

(4.3.116)

ja suorittamalla laskelmat saadaan kuvaruonäkkyvät tulokset. Suureet r_0 ja v_0 ovat mielivaltaisia pituuden ja nopeuden referenssiarvoja. Maallikko kuvaini ilmeisestikin kumpaakin viitasta z -akselin ympäri tapahtuvana pyöritelmä. Jälkimmäinen tapaus vastaa jäykkän kappaleen rotaatiota z -akselin ympäri kulmanopeudella $v_0/r_0 \cdot \vec{e}_z$. Kätevässä suorakulmaisessa koordinaatistossa pyöritettävyyden merkitsee, että yhtälöt

$$\frac{\partial v_z}{\partial y} - \frac{\partial v_y}{\partial z} = 0, \quad \frac{\partial v_x}{\partial z} - \frac{\partial v_z}{\partial x} = 0, \quad \frac{\partial v_y}{\partial x} - \frac{\partial v_x}{\partial y} = 0 \quad (4.3.117)$$

totentuvat (ks. kaavat (3.3.37)).

Kitkallinen virtaus ei ole yleensä pyöritöntä. On kuitenkin olemassa merkittävä lause, ns. Kelvinin tai Thomsonin sirkulaation pysyvyyshause (engl. Thomson's theorem on the permanence of circulation; Thomson v. 1868 tai Lordi Kelvin), jota ei käsitellä eikä johdeta tässä (ks. Lähde (14)). Lauseesta seuraa mm., että edellisen kohdan otaksumien (a), (b) ja (c) vallitessa virtaus säilyy jatkuvasti pyöritöntänä, jos se on ollut jollakin hetkellä pyöritöntä. Tämän tuloksen tärkein sovellutus on tapaus, jossa neste on lähtenyt liikkeelle täydellisestä lepotilasta. Lepotilassa $\vec{v} \equiv \vec{0}$ ja kulmanopeusvektori häviää varmasti, joten syntyvä liike on edellytysten (a), (b) ja (c) vallitessa pyöritöntä. Myös tapauksessa $\vec{v} = \text{vakio}$ eli suorassa yhdensuun-

täivintauksessa, jossa vauhti on sama kaikilla, $\vec{\omega} = \vec{0}$. Esimerkiksi siipiprofiilin analysoidaan usein juuri siten, että ne kohteavat tällaisen virtauksen, jolloin virtaus säilyy siipiprofiilin ympärilläkin pyörteettömänä paitsi rajakerroksen sisällä, jossa pyörteisyyttä on voimakasta.

Kun puhutaan yleisesti ideaalivirran virtauksesta eikä mitään tarkempaa sanaa, tällä tarkoitetaan tavallisesti vakioviskositeettisen kitkattomaa ja pyörteetöntä virtausta. Vallitsevat yhtälöt ovat kokoontumattomuusehto

$$\vec{\nabla} \cdot \vec{v} = \frac{\partial v_x}{\partial x} + \frac{\partial v_y}{\partial y} + \frac{\partial v_z}{\partial z} = 0 \quad (4.3.118)$$

sekä pyörteettömyysehdot (4.3.117). Yhtälöt ovat nestemekanikan kannalta poikkeuksellisesti lineaarisia, joka helpottaa ratkaisuyrityksiä huomattavasti. Tuntemattomia on kolme, v_x, v_y, v_z ja yhtälöitä neljä. Tämä selittyy sillä, että yhtälöt (4.3.117) eivät ole riippumattomia; esimerkiksi eliminoimalla v_z kahdesta ensimmäisestä yhtälöstä derivointien avulla päädytäänkin muuttujan z suhteen derivoituneeseen kolmanteen yhtälöön.

Nopeuspotentiaali. Käytännössä ei kuitenkaan pyritä ratkaisemaan suoraan tuntemattomia v_x, v_y ja v_z , vaan yleensä otetaan käyttöön tietty apumuuttuja, ns. nopeuspotentiaali (engl. velocity potential) $\phi(x, y, z, t)$ siten, että

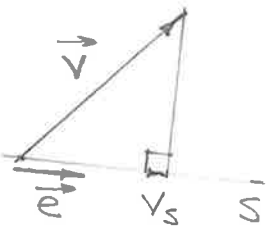
$$\vec{v} = -\vec{\nabla} \phi$$

(4.3.119)

eli

$$v_x = -\frac{\partial \phi}{\partial x}, \quad v_y = -\frac{\partial \phi}{\partial y}, \quad v_z = -\frac{\partial \phi}{\partial z}. \quad (4.3.120)$$

Nopeusvektorin komponentti tietyyn suuntaan s (kuva 4.3.19) on $v_s = \vec{v} \cdot \vec{e}$.



Kuva 4.3.19

Toisaalta funktion ϕ differentiaali muutoksen $d\vec{s} = ds\vec{e} = dx\vec{i} + dy\vec{j} + dz\vec{k}$ johdosta on

$$\begin{aligned} d\phi &= \frac{\partial \phi}{\partial x} dx + \frac{\partial \phi}{\partial y} dy + \frac{\partial \phi}{\partial z} dz \\ &= \vec{\nabla} \phi \cdot d\vec{s} = \vec{\nabla} \phi \cdot ds\vec{e} \\ &= -\vec{v} \cdot \vec{e} ds = -v_s ds. \end{aligned} \quad (4.3.121)$$

Täten

$$\boxed{v_s = -\frac{\partial \phi}{\partial s}} \quad (4.3.122)$$

eli nopeuden skalaarikomponentti tietyyn suuntaan on yhtä suuri kuin nopeuspotentiaalin miinusmerkkinen derivaatta tähän suuntaan. Kaavat (4.3.120) ovat tämän tuloksen erikoistapauksia.

Usein miinusmerkkiä ei sisällytetä näihin määritelmiin. Sijoittamalla lauseke (4.3.119) yhtälön (4.3.115) vasemmalle puolelle tai sijoittamalla samoin lausekkeet (4.3.120) yhtälöiden (4.3.117) vasemmalle puolelle havaitaan, että yhtälöt toteutuvat. Täten nopeuspotentiaalin käyttö takaa automaattisesti pyöriteettömyysehdon toteutumisen — pyöriteettä viittausta mimitetäänkin monasti potentiaalivirtausseksi —, ja jäljelle jää vain kokoonpuristumattomuusehto (4.3.118), joka tulee muo-

toon

$$\boxed{\nabla^2 \phi = 0}$$

(4.3.123)

eli

$$\frac{\partial^2 \phi}{\partial x^2} + \frac{\partial^2 \phi}{\partial y^2} + \frac{\partial^2 \phi}{\partial z^2} = 0. \quad (4.3.124)$$

Funktio ϕ ratkaistaan tästä tutusta Laplacen differentiaaliyhtälöstä tietyjen reunaehtojen alaisena yleensä jostain numeerisista menetelmistä käyttäen, jonka jälkeen nopeus saadaan helposti kaavan (4.3.119) avulla.

Kun paineen arvo tunnetaan yhdessä alueen pisteessä, paine kaikkialla muualla saadaan Bernoullin yhtälön (muoto 2) avulla, joka johdetaan seuraavassa.

Tehdään samat otaksumat kuin muotoa 1

lettaessa: (a) kittaton virtaus (b) konser-
tiivinen voimakenttä, (c) barotrooppinen
homogeeninen neste plus lisäksi tässä (g) pyör-
teisen virtaus. Lähdetään likeyhtälöstä (4.3.109):

$$-\frac{\partial}{\partial t} \vec{\nabla} \phi + 2\vec{\omega} \times \vec{v} + \vec{\nabla} \left(\frac{v^2}{2} + \psi + \Omega \right) = \vec{0}, \quad (4.3.125)$$

jossa on otettu huomioon otaksuma (d). Derivointi ajan ja paikan suhteen ovat vaihdannaisia operaatioita ja siis

$$\frac{\partial}{\partial t} \vec{\nabla} \phi = \frac{\partial}{\partial t} \left(\vec{i} \frac{\partial \phi}{\partial x} + \vec{j} \frac{\partial \phi}{\partial y} + \vec{k} \frac{\partial \phi}{\partial z} \right)$$

$$\begin{aligned}
 &= \vec{i} \frac{\partial}{\partial x} \left(\frac{\partial \phi}{\partial t} \right) + \vec{j} \frac{\partial}{\partial y} \left(\frac{\partial \phi}{\partial t} \right) + \vec{k} \frac{\partial}{\partial z} \left(\frac{\partial \phi}{\partial t} \right) \\
 &= \vec{\nabla} \frac{\partial \phi}{\partial t},
 \end{aligned} \tag{4.3.126}$$

joten likeyhtälö saadaan muotoon

$$\vec{\nabla} \left(-\frac{\partial \phi}{\partial t} + \frac{v^2}{2} + \Psi + \Omega \right) = \vec{0}. \tag{4.3.127}$$

Kun nyt otetaan yhtälön kummankin puolen skalaariset viivaintegraalit pisteestä 1 pisteeseen 2 pitkin mielivaltaista nesteessä olevaa tietä, saadaan Bernoullin yhtälö (muoto 2) (Yhtälön termit $v^2/2$ voidaan tavittamalla korvata merkinnoilla $(\vec{\nabla} \phi) \cdot (\vec{\nabla} \phi)/2$.)

$$\boxed{-\left(\frac{\partial \phi}{\partial t}\right)_1 + \frac{v_1^2}{2} + \Psi_1 + \Omega_1 = -\left(\frac{\partial \phi}{\partial t}\right)_2 + \frac{v_2^2}{2} + \Psi_2 + \Omega_2.} \tag{4.3.128}$$

Se koskee siis tietyllä hetkellä kahdessa alueen mielivaltaisessa pisteessä laskettuja suureiden $\partial \phi / \partial t$, v , Ψ ja Ω arvoja, kun otaksumat (a), (c) ja (g) ovat voimassa.

Yhtälö kirjoitetaan usein myös muodossa

$$-\frac{\partial \phi}{\partial t} + \frac{v^2}{2} + \Psi + \Omega = C = \text{vakio koko alueessa tietyllä hetkellä.} \tag{4.3.129}$$

Kaava saadaan suoraan yhtälöstä (4.3.127) jonka mukaan sulussa olevan lausekkeen täytyy olla paikan suhteen vakio. Stationaarissa tapauksessa $\partial \phi / \partial t = 0$ ja C on vakio myös ajan suhteen.

Tavallisin sovellutuskaava syntyy jälleen otaksumalla lisäksi (d) pyörvä vääntös, (e) vakiopainovoimakenttä ja (f) vakiotiheys ja jakamalla yhtälö puolittain painovoiman kiihtyvyydellä g :

$$\boxed{\frac{v_1^2}{2g} + \frac{p_1}{\rho g} + h_1 = \frac{v_2^2}{2g} + \frac{p_2}{\rho g} + h_2.} \quad (4.3.130)$$

Kaavan termit voidaan taas havainnollistaa kuvan 4.3.17 avulla; ainoa ero on vain siinä, että pisteiden 1 ja 2 ei tarvitse enää sijaita samalla virtaviivalla.

Virtafunktio. Tasovirtauksessa ja pyörähdyssymmetrisessä virtauksessa erittäin hyödyllinen toinen yleinen apumuuttuja on ns. virtafunktio (engl. stream function) ψ . Karteesisessa suorakulmaisessa xy -koordinaatistossa $\psi(x, y, t)$ määritellään kaavoilla

$$\boxed{v_x = \frac{\partial \psi}{\partial y} \quad v_y = -\frac{\partial \psi}{\partial x}} \quad (4.3.131)$$

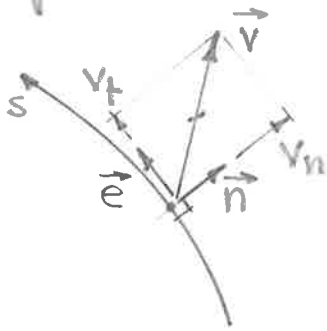
joiden sijoitus kokoonpuristumattomuusyhtälöön

$$\frac{\partial v_x}{\partial x} + \frac{\partial v_y}{\partial y} = 0 \quad (4.3.132)$$

osoittaa, että virtafunktion käyttö takaa automaattisesti kokoonpuristumattomuusehdon toteutumisen. Kokoonpuristumattomuus on nestemekanikassa paljon yleisempi ja realistisempi otaksuma kuin pyörteettämyys, joten virtafunktio on tässä suhteessa tärkeämpi apuväline kuin nopeuspotentiaali.

Toisaalta vnitafunktio ei yleisty ykrinker-taisella tavalla kolmeen dimensioon. Määritelmässä (4.3.131) valitaan kirjallisuudessa plus- ja miinusmerkkien paikat usein käänteisesti.

Vnitafunktiolla on se havainnollinen merkitys, että sen tasa-avokäyrät ovat samalla vnta-niivoja. Tarkastellaan tämän todistamiseksi



Kuva 4.3.20

kuva 4.3.20. Olkoon s suunnattu käyrä, jonka tiettyyn pisteeseen asetetaan positiiviseen suuntaan osoittava yksikkötangenttivektori \vec{e} sekä tästä myötäpäivään 90° kääntymällä yksikkönormaali-vektori \vec{n} . Kun merkitään $\vec{n} =$

$n_x \vec{i} + n_y \vec{j}$, niin kuvan perusteella $\vec{e} = -n_y \vec{i} + n_x \vec{j}$.
Funktio Ψ differentiaali muutoksen

$$\begin{aligned} d\vec{s} &= dx \vec{i} + dy \vec{j} \\ &= ds \vec{e} = -n_y ds \vec{i} + n_x ds \vec{j} \end{aligned} \quad (4.3.133)$$

johdosta on

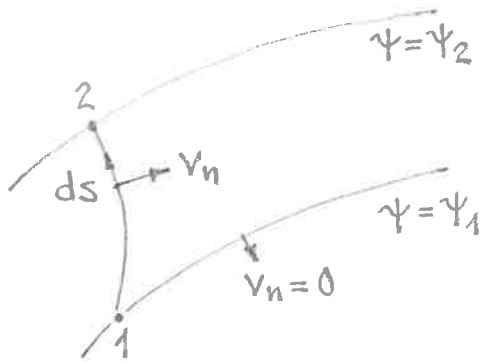
$$\begin{aligned} d\Psi &= \frac{\partial \Psi}{\partial x} dx + \frac{\partial \Psi}{\partial y} dy = -v_y dx + v_x dy = v_y n_y ds + v_x n_x ds \\ &= (v_x n_x + v_y n_y) ds = \vec{v} \cdot \vec{n} ds = v_n ds, \end{aligned} \quad (4.3.134)$$

joten

$$\boxed{v_n = \frac{\partial \Psi}{\partial s}} \quad (4.3.135)$$

eli nopeuden skalaarikomponentti tiettyyn suuntaan on yhtä suuri kuin vnitafunktion derivaatta tästä suunnasta 90° vastapäivään kiertettyyn suuntaan. Kaavat (4.3.131) ovat tämän tuloksen erikoistapauksia.

Olkoon sitten funktiolla Ψ pisteessä 1 arvo Ψ_1 (kuva 4.3.21). Funktiion Ψ arvo mielivaltaisessa toisessa pisteessä 2



$$\begin{aligned}\Psi_2 &= \Psi_1 + \int_1^2 \frac{\partial \Psi}{\partial s} ds \\ &= \Psi_1 + \int_1^2 v_n ds. \quad (4.3.136)\end{aligned}$$

Jos integroimistieksi otetaan itse virtaviiva, nopeuskomponentti v_n

Kuva 4.3.21

- on nolla virtaviivan määritelmän perusteella ja siis virtaviivalla Ψ on vakio kuten piti todistaaakin. Kun integrointi suoritetaan virtaviivalta eroavaan pisteeseen 2, saadaan

$$\boxed{\Psi_2 - \Psi_1 = \int_1^2 v_n ds} \quad (4.3.137)$$

ilmaisee virtaviivojen $\Psi = \Psi_2$ ja $\Psi = \Psi_1$ välistä kulkevan virtaaman z -akseliin suunnaitta leveyttä kohti.

- On helppo todeta, että virtafunktion ja nopeuspotentiaalin tasa-arvokäyrät leikkaavat toisensa kohtisuoraan.

Kitkattoman kokoonpuristumattoman pyörteetön tasovirtauksen käsitteily tulee virtafunktion avulla hyvin samantapaiseksi kuin nopeuspotentiaalia käytettäessä. Pyörteetömyysehdoista (4.3.117) jää jäljelle vain viimeinen:

$$\frac{\partial v_y}{\partial x} - \frac{\partial v_x}{\partial y} = 0, \quad (4.3.138)$$

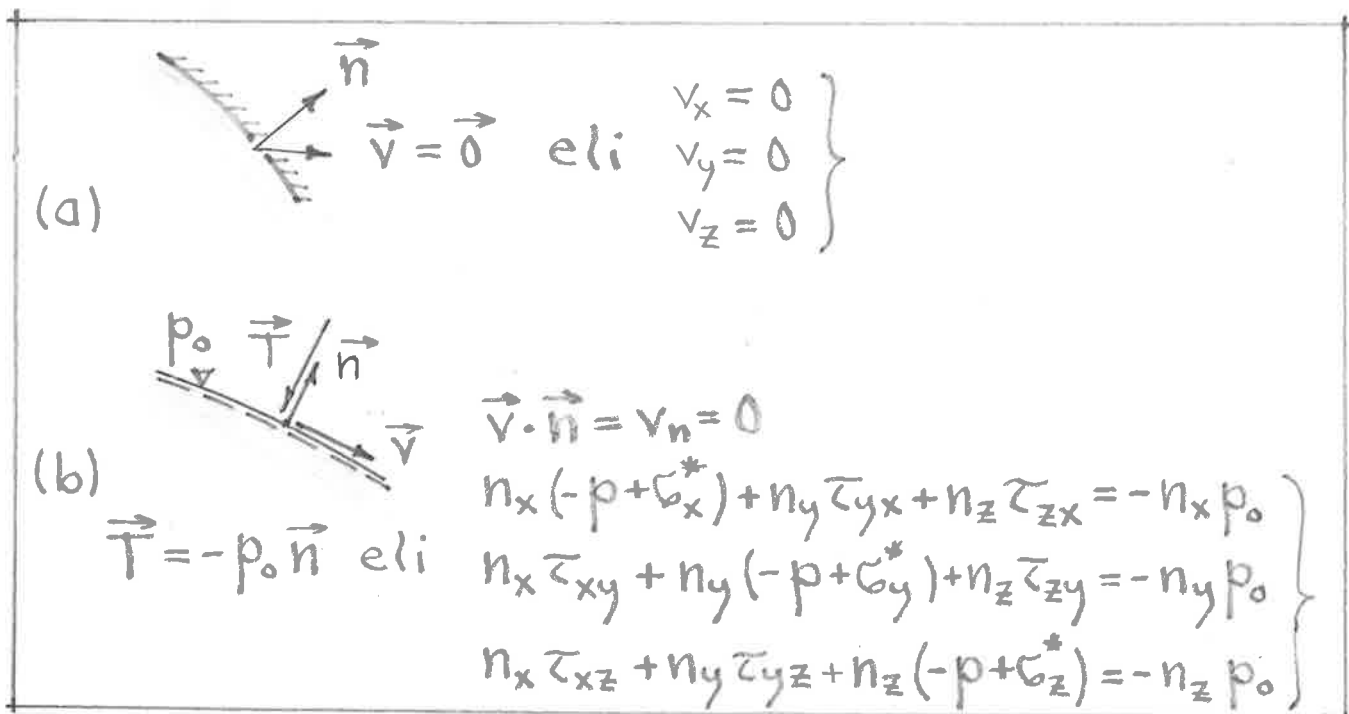
josta tulee siis kaksidimensioinen Laplacen yhtälö

$$\boxed{\frac{\partial^2 \psi}{\partial x^2} + \frac{\partial^2 \psi}{\partial y^2} = 0.}$$

(4.3.139)

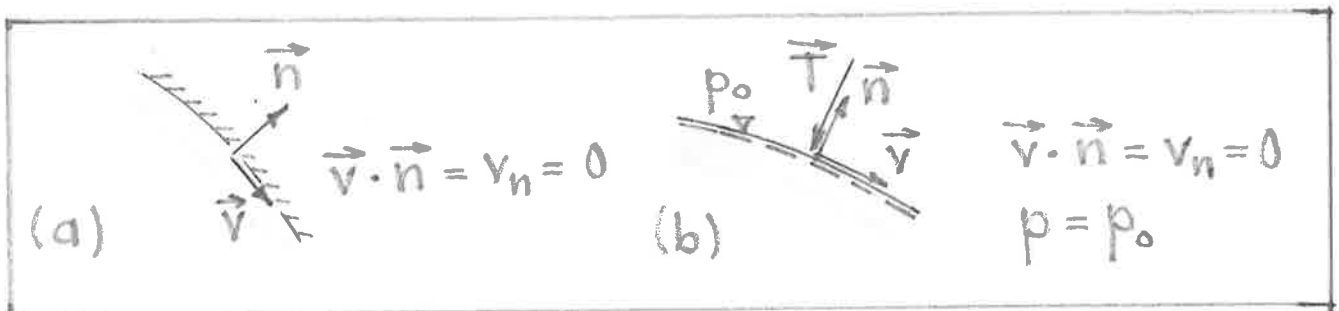
Nopeuspotentiaalilla ja virtafunktiolla on käyttöä myös suotavintauksen yhteydessä.

* Reunaehdot. Tämä kohta ei liity suoranaisesti liikemäärän taseen periaatteeseen. Neste-
mekaniikan tehtävissä esiintyvät ns. reuna-
ehdot (engl. boundary condition) — ts. tarkas-
teltavan alueen reunapinnalla tunnetuista
suureista saatavat yhtälöt — voivat kos-
kea yleisesti joko virtausnopeutta tai trak-
tiota tai vielä niiden tiettyjen komponenttien



Kuva 4.3.22 Todellisen nesteen reunaehdot
(a) kiinteän seinämän ja (b) stationaarisen
vapaan pinnan tapauksessa.

yhdistelmää. Esimerkiksi Navier-Stokesin yhtälöiden yhteydessä tavallisia reunaehtoja ovat kuvassa 4.3.22 näkyvät tapaukset. Sijoittamalla traktioreunaehtoihin vielä derivatiojännityskomponenttien Stokesin kitkailain mukaiset lausekkeet näihinkin ehtoihin ilmestyy virtausnopeus. Kuva 4.3.23 esittää taas vastaavia reunaehtoja kitkattoman virtauksen yhteydessä. Ehtojen lukumäärä on alentunut kahdella. Tämä seikka on yhteydessä

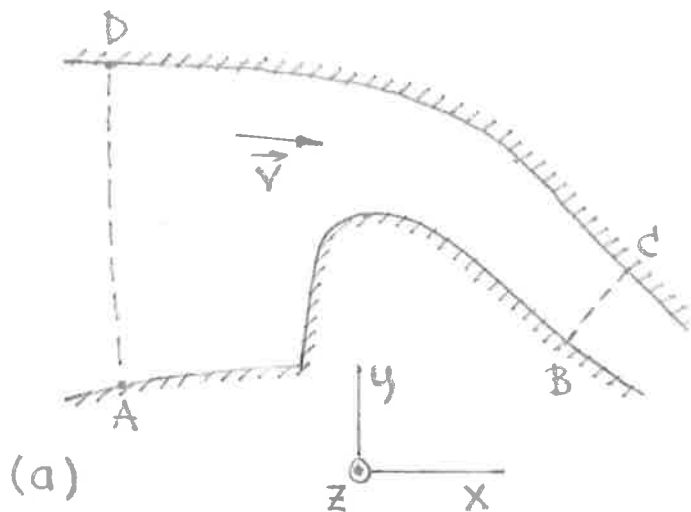


Kuva 4.3.23 Ideaalivirteen reunaehdot (a) kiinteän seinämän ja (b) stationaarisen vapaan pinnan tapauksessa.

vallitsevien differentiaaliyhtälöiden kertaluku; Navier-Stokesin yhtälöt ovat paikkakoordinaattien suhteen toista ja Eulerin yhtälöt ensimmäistä kertalukua.

Epästationaarisissa ongelmissa tarvitaan vielä reunaehtojen lisäksi ms. alkuehdot (engl. initial conditions), ts. tiedot systeemin tilasta hetkellä, jona ko. ilmiötä ruvetaan tarkastella. Alkuehtoina voi olla mm. nopeuskenttä hetkellä $t=0$.

* | Esimerkki 4.3.14. Nopeuspotentiaalien käyttö.



(a)

Kuva (a) esittää seinämien AB ja CD rajoittamaa z -akselin suunnassa muutumatonta aluetta, jossa virtauksen otaksutaan olevan xy -tasossa tapahtuvaa kitkattoman vakio-tiheystilteen pyörteistä tasovirtausta. Tarkastellaan virtauksen määrittämistä tehtävää nopeuspotentiaalia käytettävänä.

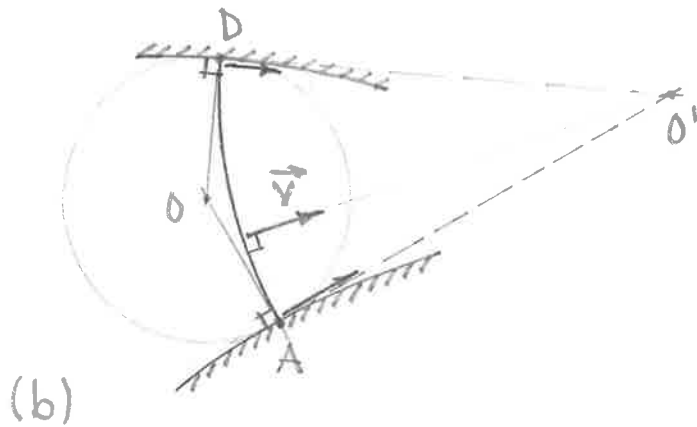
Tehtävänä oli siis määrittää funktio $\phi(x, y)$ — myös riippuvuus ajasta saisi olla mukana, sillä tämä ei muuttaini käsitteilyä — sopivasti valitussa xy -tasossa alueessa. Juvii alueen valinta onkin nestemekanikan tehtävissä usein esiintyvä vaikea ongelma, sillä alueen reunalla täytyy otaksua "hyvää makua" käyttäen tiettyjä suhteita tunnetuiksi, jotta ylipäänsä ratkaisu olisi saatavissa; vit. kohta D 4.4.2 s. 164.

Tässä tapauksessa seinämät AB ja CD muodostavat erään selvän reunan osan, jolla nopeuskomponentti reunan normaalin suunnassa häviää ja saadaan siis reunaehdot

$$v_n = 0 \text{ reunalla AB ja CD.} \quad (a)$$

Reunaviivojen BC ja DA valinta on epämääräisempää. Eiäs mahdollisuus on otaksua, että kohdilla, joilla seinämät ovat jonkin mat-

kaa likimain yhdensuuntaisia, virtauskiin on likimain yhdensuuntaisvirtausta. Kuva (b)



(b)

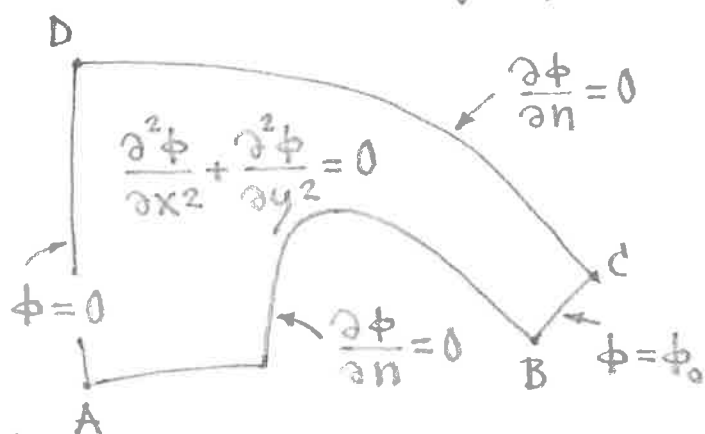
esittää tähän liit-
tevä periaatteessa
mahdollista konstruk-
tiota. Valitaan toi-
selta reunalta piste
A. Piirretään pisteen
A kautta reunan nor-
maali. Piirretään pis-
teen A kautta kulke-

via yhä suurempisäteisiä ympyröitä, joiden kes-
kipiste on normaalilla, kunnes saadaan ym-
pyrä, joka sivuaa toista reunaa ja saa-
daan piste D. Alueen rajaksi otetaan O' -
keskeinen ympyränkaari DA. Otaksutaan,
että tällä reunan osalla virtausnopeus-
vektoreiden vaikutusosuus kulkevat aina pis-
teen O' kautta. Tällöin tangentiaalinenopeus v_t
häviää. Tämä pitää täsmällisesti paikkansa
pisteissä A ja D, koska kiinteät seinämät
ovat ideaalivirtauksessa yleensä virtaputkia
ja tässä reumat siis virtaviivoja. Näin on
saatu likimääräiset reunaehdot

$$v_t = 0 \text{ reunalla BC ja DA.} \quad (b)$$

Reunaehdot täytyy vielä lausua nopeuspo-
tentiaalin ϕ avulla. Kaavan (4.3.122) perusteella
reunaehdot (a) merkitsevät, että nopeus-
potentiaalin derivaatan normaalin n suun-
taan eli n_s , normaaliderivaatan $\partial\phi/\partial n$
tulee hävitä. Reunaehdot (b) taas mer-
kitsevät, että nopeuspotentiaalin derivaatan
reunan tangenttiin suunnassa tulee hävitä eli

mopeuspotentiaalin tulee siis olla vakio osilla DA ja BC. Tiettyyn nopeuspotentiaalin lausekkeeseen voidaan lisätä tai vähentää mielivaltainen vakio ilman, että derivaamalla saatu nopeus (4.3.119) muuttuu; sit. vertailupisteen valinta potentiaalienergian käsitteen yhteydessä. Tällä perusteella voidaan ϕ :lle ottaa vaikka esimerkiksi arvo nolla osalla DA. Osalla BC ϕ :lle otetaan mielivaltainen vakioarvo ϕ_0 . Syntyvän reuna-avotehtävän



(c)

matemaattinen asetelma näkyy kuvassa (c). Ratkaisun löydyttyä tavallisimmin elementti- tai differenssimenetelmällä voidaan laskea viitasma leikkauksen

BC läpi lausekkeesta

$$Q_0 = b \int_B^C v_n ds = -b \int_B^C \frac{\partial \phi}{\partial n} ds, \quad (f)$$

jossa b on alueen leveys z -akselin suunnassa. Jos tehtävässä oli alunperin annettu viitamaakri arvo Q , on vain keuhottava ensin saatu nopeuskenttä luovuttaa Q/Q_0 . Tämä perustuu kuvan (c) tehtävän lineaarisuuteen; ratkaisu riippuu lineaarisesti arvosta ϕ_0 . Jos paine tunnetaan esimerkiksi pisteessä D, Bernoullin yhtälön (4.3.130) vasen puoli voidaan laskea ($D \hat{=} 1$) ja tämän jälkeen paine kaikkialla alueessa mm. mahdollisen kavitaatiovaaran selvittämiseksi.

Jos kuvan (a) seinämä CD korvataan vapaalla pinnalla, tehtävä vaikuttaa oleellisesti. Vapaan pinnan asema on lisätunteaton, joka pyritään sovittamaan iteratiivisesti paikoilleen käyttäen ehtona tietoa, että Bernoullin yhtälöstä lasketun paineen tulee yhtyä vapaalla pinnalla ulkoiseen ilmapaineeseen.

* Esimerkki 4.3.15. Vuitafunktion käyttö. Tarkastellaan esimerkkiä 4.3.14 uudestaan nyt vain vuitafunktion liittyvien reunaehtojen kannalta.

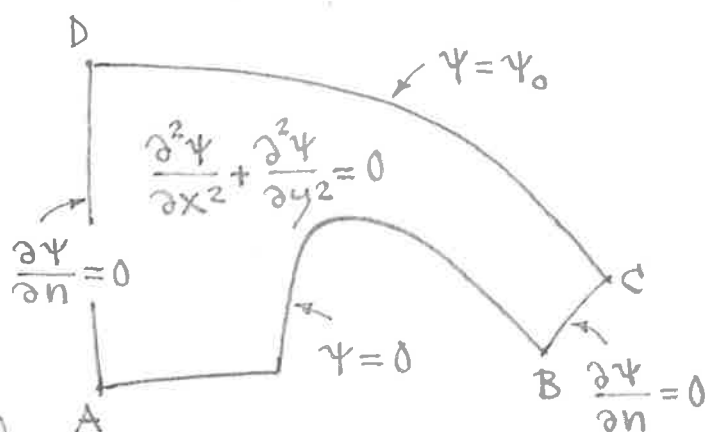
Reunaehdot

$$v_t = 0 \text{ reunalla BC ja DA} \quad (a)$$

merkitsevät kaavan (4.3.137) perusteella, että normaaliderivaatan $\partial\psi/\partial n$ tulee hävitä. Reunaehdot

$$v_n = 0 \text{ reunalla AB ja CD} \quad (b)$$

merkitsevät vastaavasti, että vuitafunktion derivaatan reunan tangentin suunnassa tulee hävitä eli vuitafunktion tulee olla vakio osilla AB ja CD. Esimerkiksi osalle AB $\psi = m$ arvo



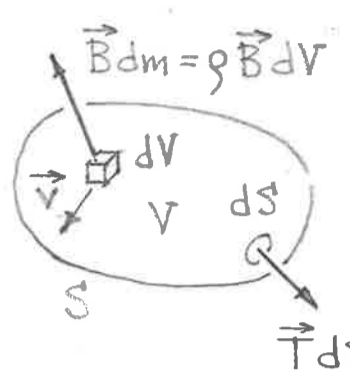
(a)

arvo voidaan ottaa vaikka molla. Jos vuitaama Q on annettu, voidaan kaavan (4.3.61) tulkinna perusteella ottaa $\psi = m$ arvoksi reunalla CD $\psi_0 = Q/b$.

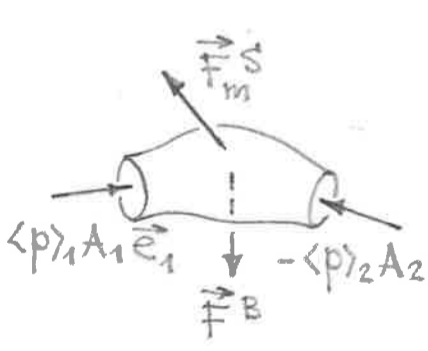
Kuva (a) esittää syntyvän reuna-arvoehtojen asetelman.

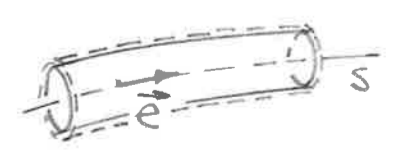
Taulukko 4.3.2 Liikemäärän taseen periaatteen eri muotoja.

Äärellinen muoto

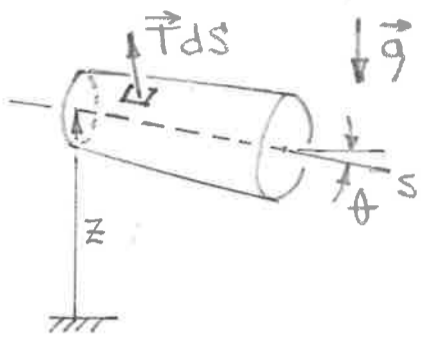
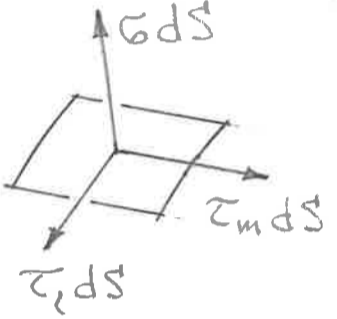
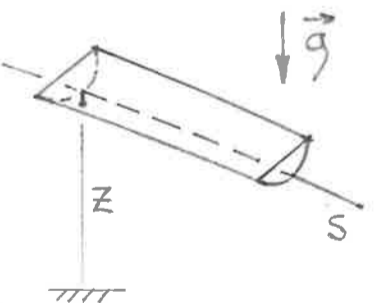
<p><u>Yleinen tapaus</u></p> 	<p>Yleinen muoto $\vec{F} = \int \frac{\partial(\rho \vec{v})}{\partial t} dV + \int \rho \vec{v} v_n ds. \quad (1)$ Pysyvä virtaus $\vec{F} = \int \rho \vec{v} v_n ds. \quad (2)$ Vakiotiheysnestie $\vec{F} = \rho \left(\int \frac{\partial \vec{v}}{\partial t} dV + \int \vec{v} v_n ds \right). \quad (3)$ Pysyvä virtaus $\vec{F} = \rho \int \vec{v} v_n ds. \quad (4)$ </p>	<p>Liikemäärän taseen periaate: $\vec{F} = \dot{\vec{p}}.$ Ulkoisten voimien resultantti $\vec{F} = \vec{F}^B + \vec{F}^S,$ $\vec{F}^B = \int \rho \vec{B} dV,$ $\vec{F}^S = \int \vec{T} ds.$ Liikemäärä $\vec{p} = \int \rho \vec{v} dV.$ </p>
--	--	--

<p><u>Otaksumaluetelo</u></p> <p>O(5): \vec{B} on konservatiivinen, jolloin $\vec{B} = -\vec{\nabla} \Omega. \quad (5)$ O(5'): $\vec{B} = \vec{g}$, jolloin $\Omega = gh, \quad \vec{B} = -g \vec{\nabla} h. \quad (6)$ Otaksumista (3) ja (5') seuraa vakiotiheysnesteen tapauksessa, että poikkileikkauksessa vaikuttava normaalijännitys $c = -p \quad (7)$ ja että poikkileikkauksessa vallitseva painejakautuma on hydrostaattinen, jolloin $\frac{p}{\rho} + gh = \text{vakio kussakin poikkileikkauksessa,} \quad (8)$ $\langle p \rangle = p_c. \quad (9)$ </p>	<p>Tuloksia (7), (8) ja (9) käytetään hyväksi likimääräisinä myös kokoonpuristuvassa virtäyksessä. Indeksillä c viitataan pintakeskiöön.</p>
--	--

<p><u>Standardikontrollialue, [O(1), O(2), O(3)]</u></p>  <p>Yleinen muoto $\vec{F} = \int \frac{\partial(\rho \vec{v})}{\partial t} dV - \beta_1 \rho_1 Q_1 \langle v \rangle_1 \vec{e}_1 + \beta_2 \rho_2 Q_2 \langle v \rangle_2 \vec{e}_2. \quad (10)$ Pysyvä virtaus $\vec{F} = \rho Q (\beta_2 \langle v \rangle_2 \vec{e}_2 - \beta_1 \langle v \rangle_1 \vec{e}_1). \quad (11)$ </p>	<p>Liikemäärän korjaustekijä $\beta = \frac{\langle v^2 \rangle}{\langle v \rangle^2} = \frac{\int v^2 dA}{A \langle v \rangle^2}.$ Liikemäärävirta $\rho \int v^2 dA \vec{e} = \beta \rho Q \langle v \rangle \vec{e}.$ </p>
--	---

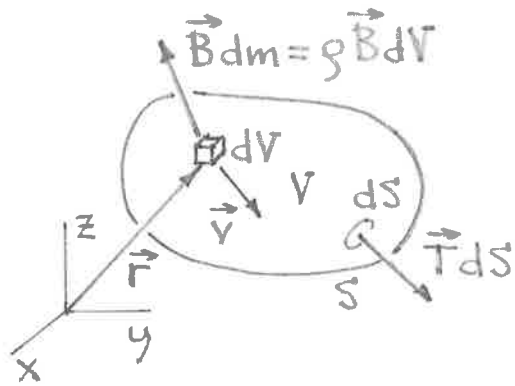
<p><u>Yleinen yksidimensiainen virtaus, [O(2), O(3), O(4)]</u></p>  <p>Yleinen muoto $\vec{F} = \int_1^2 \frac{\partial}{\partial t} (\rho Q) \vec{e} ds - \beta_1 \rho_1 Q_1 \langle v \rangle_1 \vec{e}_1 + \beta_2 \rho_2 Q_2 \langle v \rangle_2 \vec{e}_2. \quad (12)$ Differentiaaliyhtälömuoto $\lim_{\Delta s \rightarrow 0} \frac{\Delta F_e}{\Delta s} = \frac{\partial}{\partial t} (\rho Q) + \frac{\partial}{\partial s} (\beta \rho Q \langle v \rangle). \quad (13)$ </p>	<p>Yksikkövektori $\vec{e} = \vec{e}(s).$ ΔF_e on Δs-pituisen kontrollialueen sisällä olevaan kapaleeseen vaikuttavien ulkoisten voimien resultantin komponentti vektorin</p>
---	---

Taulukko 4.3.2 Jatkoa

Äärellinen muoto	
<p>Yleinen yksidimensioinen virtaus, [0(2), 0(3), 0(4)], jatkoa</p> <p>Pysyvä virtaus</p> $\lim_{\Delta S \rightarrow 0} \frac{\Delta F_e}{\Delta S} = \rho Q \frac{d}{ds} (\beta \langle v \rangle). \quad (14)$	<p>\vec{e} suunnalle.</p>
<p>Putkivirtaus, [0(2), 0(3), 0(4), 0(5)]</p>  <p>Liikkeyhtälö</p> $\frac{1}{A} \left[\frac{\partial}{\partial t} (\rho Q) + \frac{\partial}{\partial s} (\beta \rho Q \langle v \rangle) \right] + \frac{\partial \langle p \rangle}{\partial s} + \rho g \frac{dz}{ds} + \frac{4 \tau_w}{d_h} = 0. \quad (15)$ <p>Vakiotiheysneste ja jäykkä seinämä</p> $\frac{\partial \langle v \rangle}{\partial t} + \langle v \rangle \frac{\partial \langle v \rangle}{\partial s} + \frac{1}{\rho} \frac{\partial \langle p \rangle}{\partial s} + g \frac{dz}{ds} + \frac{4 \tau_w}{\rho d_h} = 0. \quad (16)$  <p>Tavanomainen käyttökaava ($\beta=1$, $\tau_w = f \rho \langle v \rangle \langle v \rangle / 8$)</p> $\frac{\partial \langle v \rangle}{\partial t} + \langle v \rangle \frac{\partial \langle v \rangle}{\partial s} + \frac{1}{\rho} \frac{\partial \langle p \rangle}{\partial s} + g \frac{dz}{ds} + \frac{f}{2 d_h} \langle v \rangle \langle v \rangle = 0. \quad (17)$ <p>Joustavan mallin teoriassa jatkuvuusyhtälö saa muodon</p> $\frac{1}{\rho c^2} \frac{\partial \langle p \rangle}{\partial t} + \frac{1}{A} \frac{\partial (\langle v \rangle A)}{\partial s} = 0. \quad (18)$	<p>Akselin kaltevuuskulma on θ, joten $\sin \theta = -\frac{dz}{ds}$.</p> <p>Jännitys</p> $\vec{T} = \tau_x \vec{e}_x + \tau_m \vec{e}_m + G \vec{n}.$ <p>Keskimääräinen seinämäleikkausjännitys</p> $\tau_w = -\frac{1}{\langle w \rangle} \int \tau_m dl.$ <p>Konstitutiivisessa kaavassa</p> $\tau_w = f \rho \frac{\langle v \rangle \langle v \rangle}{8}$ <p>suure f on ns. kitkahäviökerroin.</p> <p>Yhtälöä (17) sovelletaan myös joustavan mallin teoriassa.</p> <p>Termi c on paineaaltojen etenemisnopeus putkessa.</p>
<p>Avouomavirtaus, [0(2), 0(3), 0(4), 0(5)]</p>  <p>Vakiotiheysnesteen liikkeyhtälö</p> $\frac{1}{A} \left[\frac{\partial}{\partial t} Q + \frac{\partial}{\partial s} (\beta Q \langle v \rangle) \right] + g \cos \theta \frac{dD}{ds} + g \frac{dz}{ds} + \frac{4 \tau_w}{\rho d_h} = 0 \quad (19)$ <p>Tavanomainen käyttökaava ($\beta=1$, $\tau_w = f \rho \langle v \rangle \langle v \rangle / 8$, $\cos \theta \approx 1$)</p> $\frac{dD}{ds} + \frac{1}{g} \left(\frac{\partial \langle v \rangle}{\partial t} + \langle v \rangle \frac{\partial \langle v \rangle}{\partial s} \right) + \frac{dz}{ds} + S_f = 0. \quad (20)$ <p>Pysyvä virtaus</p> $\frac{dD}{ds} + \frac{1}{g} \langle v \rangle \frac{d \langle v \rangle}{ds} + \frac{dz}{ds} + S_f = 0. \quad (21)$	<p>Termi</p> $S_f = \frac{f}{2g d_h} \langle v \rangle \langle v \rangle$ <p>on ns. kitkakaaltevuus.</p> <p>Avouomavirtauksen Frouden luku</p> $Fr = \frac{\langle v \rangle}{\sqrt{g D_h}}.$ <p>Verkasvirtaus, kun $Fr < 1$.</p> <p>Kiitovirtaus, kun $Fr > 1$.</p>

* 4.4 Kulmaliikemäärän tase

Kulmaliikemäärän taseen periaatteessa (1.2.4)



peruspisteenä voi olla kiinteä piste tai kappaleen massakeskiö, joista vain edellisellä on yleensä käyttöä kontinuumimekaniikassa. Kun peruspisteeksi otetaan koordinaatiston origo (kuva 4.4.1), yhtälö

○ Kuva 4.4.1 Kontinuumikappale.

$\vec{M} = \dot{\vec{L}}$ tulee muotoon

$$\boxed{\int \rho \vec{r} \times \vec{B} dV + \int \vec{r} \times \vec{T} dS = \frac{d}{dt} \int \rho \vec{r} \times \vec{v} dV} \quad (4.4.1)$$

Tästä saadaan sitten Reynoldsin lausetta soveltamalla ja tiettytyyppinen kontrollialue valitsemalla erilaisia versioita vastaavaan

○ tapaan kuin lineaarisen liikemäärän periaatteen yhteydessä kohdassa 4.3.1. Tavallisimmat sovellukset koskevat virtausta pumpeissa ja turbiineissa ja joudutaan yleensä valitsemaan inertiaalikoordinaatiston suhteen rotaatioissa oleva kontrollialue; ei jatketa tässä käsitelyä.

Vastaavasti johtamalla yhtälöstä (4.4.1) Reynoldsin ja Gaussin lauseiden avulla paikallinen muoto saadaan lopuksi parittaisten leikkausjännitysten yhtäsuuruutta koskevat kaavat (4.2.8).

4.5 Mekaanisen energian tase

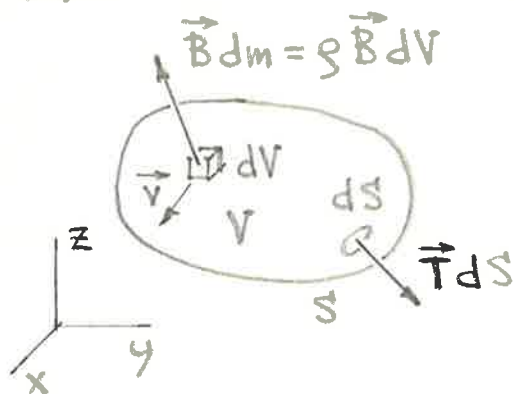
4.5.1 Yleistä

Tarkastellaan, minkälaisen muodon partikkelimekaniikassa johdettu ns. energian periaate (ks. kaava D (6.3.31))

$$\boxed{P = \dot{T}} \quad (4.5.1)$$

saadaan kontinuumimekaniikassa. Kaava johdetaan manipuloimalla Cauchy'n likeyhtälöä, joten kyrpy-
mykässä ei ole uuri aksiooma. Kaavaa tullaan nimittämään tässä mekaanisen energian taseen periaatteeksi, jotta sen ero vartinaisen aksiooman (1.2.6) kanssa korostuisi. Kaavan erikoistapauksena saadaan ns. yleistetty Bernoullin yhtälö, jolla on tärkeä merkitys käytännössä.

Kappaleen liike-energia



Kuva 4.5.1 Kontinuumikappale.

$$\left. \begin{aligned} T &= \frac{1}{2} \int \rho v^2 dV, \\ &= \frac{1}{2} \int \rho \vec{v} \cdot \vec{v} dV, \\ &= \frac{1}{2} \int \rho (v_x^2 + v_y^2 + v_z^2) dV \end{aligned} \right\} (4.5.2)$$

Summa P on kappaleeseen vaikuttavien ulkoisten ja sisäisten voimien yhteinen teho:

$$\boxed{P = P_{\text{ext}} + P_{\text{int}}.} \quad (4.5.3)$$

Ulkoisten voimien teho P_{ext} koostuu (kuva 4.5.1)

kappalevoimien tehosta P_{ext}^B ja pintavoimien te-
hosta P_{ext}^S :

$$\boxed{P_{\text{ext}} = P_{\text{ext}}^B + P_{\text{ext}}^S} \quad (4.5.4)$$

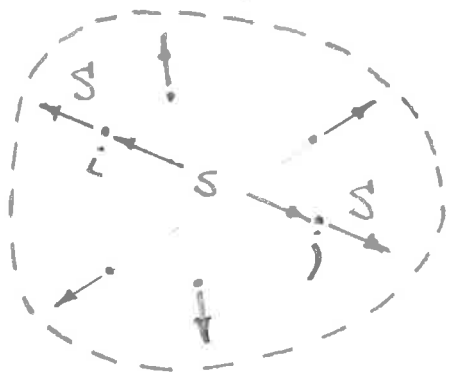
jossa

$$\left. \begin{aligned} P_{\text{ext}}^B &= \int \rho \vec{B} \cdot \vec{v} dV, \\ &= \int \rho (B_x v_x + B_y v_y + B_z v_z) dV \end{aligned} \right\} \quad (4.5.5)$$

ja

$$\left. \begin{aligned} P_{\text{ext}}^S &= \int \vec{T} \cdot \vec{v} dS, \\ &= \int (T_x v_x + T_y v_y + T_z v_z) dS. \end{aligned} \right\} \quad (4.5.6)$$

Sisäisten voimien tehon P_{int} lauseke ei ole sitä-
vastoin heti nähtävissä kontinuumin tapa-
uksessa. Partikkelisysteemiä sen lausekkeeksi
saatiin lopuksi (vt. kaava D (6.3.13); $f \hat{=} S$,
 $g \hat{=} s$)



Kuva 4.5.2 Partik-
kelisysteemi.


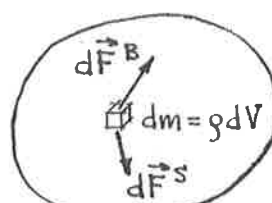
$$P_{\text{int}} = \sum_{ij} S_{ij} \quad (4.5.7)$$

jossa summa otetaan
systemin kaikkien par-
tikkeliparien yli; ku-
vaan 4.5.2 on piirretty
näkyvien selvyyden vuok-
si vain osa parittai-
sista voimista S .

Kontinuumin sisäisten (makroskooppisten)
voimien tehon lauseke saadaan esille joh-
tamalla kaava (4.5.1) vastaavasti kuin
partikkelisysteemin yhteydessä. johto on

* Taulukko 4.5.1 Mekaanisen energian faseen periaatteen johtaminen

* Taulukko 4.5.1 Mekaanisen energian taseen periaatteen johtaminen

Partikkelisysteemi	Kontinuumi
 $\vec{F}_i = \vec{B} m_i \quad (1)$ $\vec{F}_i = \sum_{\substack{j=1 \\ j \neq i}}^N \vec{f}_{ij} \quad (2)$ <p>Liikkeyhtälö:</p> $\vec{F}_i + \vec{f}_i = m_i \vec{a}_i \quad (3)$	 $d\vec{F}^B = \rho \vec{B} dV \quad (1')$ $d\vec{F}^S = \vec{f} dV \quad (2')$ <p>Liikkeyhtälö/dV:</p> $\rho \vec{B} + \vec{f} = \rho \vec{a} \quad (3')$
<p>Kerrotaan kunkin partikkelin i liikkeyhtälö (3) puolittain skalaarisesti partikkelin nopeudella \vec{v}_i ja lasketaan kaikki näin saadut yhtälöt puolittain yhteen:</p> $\sum \vec{F}_i \cdot \vec{v}_i + \sum \vec{f}_i \cdot \vec{v}_i = \sum m_i \vec{a}_i \cdot \vec{v}_i$ $= \frac{d}{dt} \frac{1}{2} \sum m_i \vec{v}_i \cdot \vec{v}_i. \quad (4)$	<p>Kerrotaan kunkin kontinuumi-alkion liikkeyhtälö (3') puolittain skalaarisesti alkion nopeudella \vec{v} ja integroidaan näin saatu yhtälö puolittain yli kappaleen tilavuuden:</p> $\int \rho \vec{B} \cdot \vec{v} dV + \int \vec{f} \cdot \vec{v} dV = \int \rho \vec{a} \cdot \vec{v} dV$ $= \frac{d}{dt} \frac{1}{2} \int \rho \vec{v} \cdot \vec{v} dV. \quad (4')$
<p>Tämä tulos on mekaanisen energian taseen periaate</p> $\boxed{P \equiv P_{\text{ext}} + P_{\text{int}} = \dot{T}} \quad (5)$ <p>Termi $P_{\text{int}} = \sum \vec{f}_i \cdot \vec{v}_i$ saadaan differentiaaligeometrista tarkastelua soveltamalla käyttökelpoisempaan muotoon</p> $\boxed{P_{\text{int}} = \sum_{ij} S_{ij} \dot{s}_{ij}} \quad (7)$	<p>Tämä tulos on myös mekaanisen energian taseen periaate</p> $\boxed{P \equiv P_{\text{ext}} + \int \vec{f} \cdot \vec{v} dS = \dot{T}} \quad (5')$ <p>mutta siinä ei näy selvästi jako $P = P_{\text{ext}} + P_{\text{int}}$. Termi $\int \vec{f} \cdot \vec{v} dV$ saadaan Gaussin lausetta soveltamalla käyttökelpoisempaan muotoon</p> $\int \vec{f} \cdot \vec{v} dS = P_{\text{ext}}^S - \int \{c\}^T \{d\} dV, \quad (6')$ <p>joten kontinuumilla</p> $\boxed{P_{\text{int}} = - \int \{c\}^T \{d\} dV.} \quad (7')$

eritetty taulukossa 4.5.1, jossa on vielä ker-
 nattu vertailun vuoksi partikkelisysteemin yhte-
 ydessä tarvittavat vastaavat vaiheet. Kaavan
 (4') oikea puoli on saatu Reynoldsin lauseen
 muodon, (3.3.64) avulla ($f \hat{=} \vec{v} \cdot \vec{v}$):

$$\begin{aligned} \dot{T} &= \frac{d}{dt} \frac{1}{2} \int \rho \vec{v} \cdot \vec{v} dV = \frac{1}{2} \int \rho \frac{d}{dt} (\vec{v} \cdot \vec{v}) dV \\ &= \frac{1}{2} \int \rho (\vec{a} \cdot \vec{v} + \vec{v} \cdot \vec{a}) = \int \rho \vec{a} \cdot \vec{v} dV. \end{aligned} \quad (4.5.8)$$

Termin $\int \vec{f} \cdot \vec{v} dV$ muuntaminen vaatii pitkähkön
 käsitteilyn, joka on eritetty liitteessä L.3. Saa-
 daan lopputulos

$$\int \vec{f} \cdot \vec{v} dV = P_{\text{ext}}^S - \int \{\sigma\}^T \{d\} dV, \quad (4.5.9)$$

jonka sijoitus yhtälöön (5') ja vertailu
 yhtälöön (5) kanssa antaa tulkinnan: konti-
numin sisäisten voimien tehon lauseke

$$\boxed{P_{\text{int}} = - \int \{\sigma\}^T \{d\} dV.} \quad (4.5.10)$$

Integrandia $\{\sigma\}^T \{d\}$ — sisäisten voimien miinus-
 merkkinen teho tilavuutta kohti — mimitetään
 tässä jännitystehon tiheydeksi (engl. stress
 power density). Ottamalla huomioon lyhen-
 nysmerkinnät

$$\left. \begin{aligned} \{\sigma\}^T &= [\sigma_x, \sigma_y, \sigma_z, \tau_{yz}, \tau_{zx}, \tau_{xy}], \\ \{d\}^T &= [d_x, d_y, d_z, g_{yz}, g_{zx}, g_{xy}], \\ \{\sigma^*\}^T &= [\sigma_x^*, \sigma_y^*, \sigma_z^*, \tau_{yz}, \tau_{zx}, \tau_{xy}] \end{aligned} \right\} \quad (4.5.11)$$

sille saadaan mm. lausekkeet (mt. esimerkki D
6.3.3, kaava (m))

$$\{\sigma\}^T\{d\} = \sigma_x d_x + \sigma_y d_y + \sigma_z d_z + \tau_{yz} g_{yz} + \tau_{zx} g_{zx} + \tau_{xy} g_{xy}, \quad (4.5.12)$$

$$= (-p + \sigma_x^*) d_x + (-p + \sigma_y^*) d_y + (-p + \sigma_z^*) d_z +$$

$$+ \tau_{yz} g_{yz} + \tau_{zx} g_{zx} + \tau_{xy} g_{xy},$$

$$= -p(d_x + d_y + d_z) + \sigma_x^* d_x + \sigma_y^* d_y + \sigma_z^* d_z +$$

$$+ \tau_{yz} g_{yz} + \tau_{zx} g_{zx} + \tau_{xy} g_{xy},$$

$$= -p \vec{v} \cdot \vec{v} + \{\sigma^*\}^T \{d\}. \quad (4.5.13)$$

Tarkastellaan jännitystekon tiheyden lauseketta vielä tarkemmin tietyissä erikoistapauksissa:

(1) Ideaalinersteellä $\{\sigma^*\} = \{0\}$, joten

$$\{\sigma\}^T \{d\} = -p \vec{v} \cdot \vec{v}. \quad (4.5.14)$$

(2) Kokooppuristumattomalla ideaalinersteellä on li-
säksi $\vec{v} \cdot \vec{v} = 0$ ja siis

$$\{\sigma\}^T \{d\} = 0 \quad (4.5.15)$$

eli sisäisten voimien teho häviää kokonaan.

(3) Newtonin nesteen tapauksessa saadaan si-
joittamalla Stokerin kitkalain (4.2.15) mukaiset
deviaatiojännityskomponenttien lausekkeet kaa-
naan (4.5.13) lopuksi tulos

$$\{\sigma\}^T \{d\} = -p \vec{v} \cdot \vec{v} + \mu \Phi, \quad (4.5.16)$$

jossa nureen Φ , ns. dissipaatiofunktio (engl.
dissipation function) ($[\Phi] = \bar{s}^2$) lauseke on (ks. L.4)

$$\Phi = 2(d_x^2 + d_y^2 + d_z^2) + g_{yz}^2 + g_{zx}^2 + g_{xy}^2 - \frac{2}{3}(d_x + d_y + d_z)^2 \quad (4.5.17)$$

$$= 2 \left[\left(\frac{\partial v_x}{\partial x} \right)^2 + \left(\frac{\partial v_y}{\partial y} \right)^2 + \left(\frac{\partial v_z}{\partial z} \right)^2 \right] + \left(\frac{\partial v_y}{\partial z} + \frac{\partial v_z}{\partial y} \right)^2 + \left(\frac{\partial v_z}{\partial x} + \frac{\partial v_x}{\partial z} \right)^2 + \left(\frac{\partial v_x}{\partial y} + \frac{\partial v_y}{\partial x} \right)^2 - \frac{2}{3} \left(\frac{\partial v_x}{\partial x} + \frac{\partial v_y}{\partial y} + \frac{\partial v_z}{\partial z} \right)^2 \quad (4.5.18)$$

(4) Kokoospuristumattomalla Newtonin nesteellä

$$\{\sigma\}^T \{d\} = \mu \Phi, \quad (4.5.19)$$

jossa vielä dissipaatiofunktion lausekkeista (4.5.17) ja (4.5.18) häviää dilataationopeuteen liittyvä termi.

Mekaanisen energian taseen periaate kontinuumille saadaan nyt kirjoitettua kaavojen (4.5.4) ja (4.5.10) avulla täysin yleisessä muodossa

$$\boxed{P_{\text{ext}}^B + P_{\text{ext}}^S = \dot{T} + \int \{\sigma\}^T \{d\} dV} \quad (4.5.20)$$

sekä vielä erityisesti Newtonin nestettä koskevassa muodossa

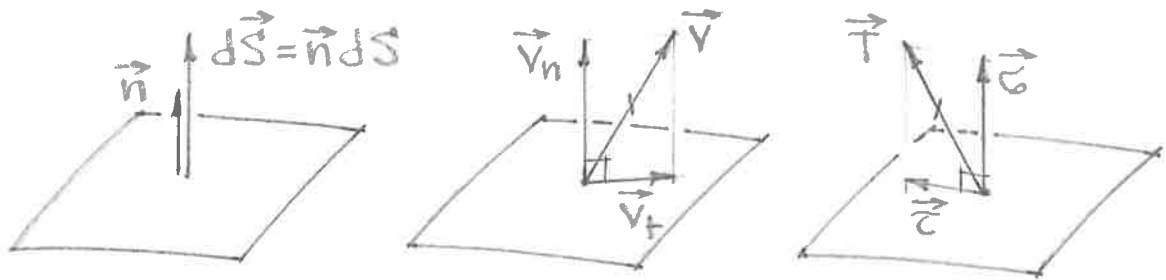
$$\boxed{P_{\text{ext}}^B + P_{\text{ext}}^S = \dot{T} - \int p \vec{\nabla} \cdot \vec{\nabla} dV + \int \mu \Phi dV} \quad (4.5.21)$$

Ideaalinesteen tapaus saadaan ottamalla $\mu = 0$ ja kokoospuristumattoman nesteen tapaus ottamalla $\vec{\nabla} \cdot \vec{\nabla} = 0$.

Nimitys dissipaatiofunktio selittyy seuraavasti.

Suureen Φ lausekkeen termejä järjestelemällä voidaan osoittaa (ks. L.4), että Φ on aina ei-negatiivinen. Kokoonpuristumattoman nesteen tapauksessa tämä näkyy moraankääntästä (4.5.17) ja tällöin vielä Φ on nollainen, kun kaikki muodonmuutosnopeuskomponentit häviävät eli kun neste liikkuu kuten jäykkä kappale. Muulloin Φ on positiivinen. Koska todellisella nesteellä viskositeetti μ on samoin positiivinen, integraali $\int \mu \Phi dV$ on aina ei-negatiivinen ja normaalissa liikkeessä siis vielä positiivinen. (jos $\mu = \text{vakio}$, $\int \mu \Phi dV = \mu \int \Phi dV$). Integraali esittää nesteen sisäisen kitkan vaikutusta, joka pienentää jatkuvasti kappaleen mekaanista energiaa $E = T + V^*$. On kysymys ms. palautumattomasta prosessista (engl. irreversible process). Jos virtauskenttä vaihdetaan vastakkaiseksi — siis $v_x \rightarrow -v_x$, $v_y \rightarrow -v_y$, $v_z \rightarrow -v_z$ — muiden suureiden pysyessä muuttumattomina, termien P_{ext}^B , P_{ext}^S , $\int p \vec{v} \cdot \vec{v} dV$ nähdään vaihtavan merkinsä, mutta dissipaatiotermi $\int \mu \Phi dV$ ei muuta arvoaan. Dissipaatiotermiä nimitetään usein myös häviötermiksi tai häviöksi (engl. loss). Dissipaatiossa kappaleen mekaanista energiaa muuttuu sisäenergiaksi, lämpötila kohoaa ja energia siirtyy lämpönä ympäristöön. Dissipatio on yleensä tietyn tuloksen saavuttamisen kannalta haitallinen ilmiö; esimerkiksi tietyn pumpun tehon tawe alenisi, jos yhtälössä (4.5.21) voitaisiin asettaa $\mu = 0$.

Kehitetään yhtälöä (4.5.21) edelleen eteenpäin. Pintavoimien tehon lauseke (4.5.6) voidaan saattaa jatkossa hyödylliseen havainnolliseen muotoon, kuvassa 4.5.3 esitettyjen



Kuva 4.5.3 Nopeus- ja jännitysvektorin normaali- ja tangentiaalivektoreikomponentit.

merkkintöjen perusteella

$$\begin{aligned} P_{\text{ext}}^S &= \int \vec{T} \cdot \vec{v} dS = \int (\vec{G} + \vec{\zeta}) \cdot (\vec{v}_n + \vec{v}_t) dS \\ &= \int (\vec{G} \cdot \vec{v}_n + \vec{G} \cdot \vec{v}_t + \vec{\zeta} \cdot \vec{v}_n + \vec{\zeta} \cdot \vec{v}_t) dS \end{aligned} \quad (4.5.22)$$

eli

$$\boxed{P_{\text{ext}}^S = P_{\text{ext}}^G + P_{\text{ext}}^{\zeta}} \quad (4.5.23)$$

jossa on käytetty merkkintöjä

$$P_{\text{ext}}^G = \int \vec{G} \cdot \vec{v}_n dS = \int G v_n dS, \quad (4.5.24)$$

$$P_{\text{ext}}^{\zeta} = \int \vec{\zeta} \cdot \vec{v}_t dS \quad (4.5.25)$$

Normaalijännityskomponentti

$$G = -p + G^*, \quad (4.5.26)$$

jossa G^* on siis kitkan eli viskoosisuuden aiheuttama deviaationormaalijännityskomponentti. Se jätetään usein paineen hinnalla huomiotta kaavassa (4.5.26), jolloin saadaan likikaava

$$P_{\text{ext}}^{\dot{V}} = - \int p v_n dS$$

4.110
(4.5.27)

Esimerkki 4.5.1. Tasainen paine. johdetaan kappaleen pintaan vaikuttavan tasaisen paineen p_0 (kuva (a)) synnyttämän tehon lauseke



Teho P on kaavan (4.5.24) perusteella tässä

$$P = \int \dot{V} v_n dS = - \int p_0 v_n dS = - p_0 \int v_n dS. \quad (a)$$

Termille $\int v_n dS$ saadaan tulkitta seuraavasti. Kappaleen tilavuuden V lauseke on

$$V = \int dV. \quad (b)$$

Sovelletaan tähän Reynoldsin Lausetta (3.3.60) ($f \hat{=} 1$), jolloin saadaan

$$\dot{V} = \int v_n dS. \quad (c)$$

Täten tasaisen paineen teho

$$P = - p_0 \dot{V} \quad (d)$$

eli teho on yhtä suuri kuin paine kertaa kappaleen tilavuuden muutoksen miinusmerkkisenä. Vastaavasti paineen tekemä differentiaalinen työ

$$dW = - p_0 dV. \quad (e)$$

Tämä tulos on tuttu lämpöopin kaarien muutosten tarkasteluista. Vakiotiheysnesteellä termi $\int v_n dS$ häviää yhtälön (3.4.5) perusteella. Täten vakiotiheysnesteeseen

virtauksen yhteydessä voidaan toimia absoluuttisen paineen sijasta pelkästään mittapaineen avulla tekemällä vihetta teko-termien laskemisessa. Tämä tulos syntyy siis kirjoittamalla $p = p_0 + p_g$, jossa $p_g = p - p_0$ on mittapaine ja p_0 on valittu vakiovertailupaine.

4.5.2 Yleistetty Bernoullin yhtälö

Yleinen tapaus. Lähtökohdaksi otetaan yhtälö

(4.5.21) täydennettynä kaavalla (4.5.23) eli saadaan

$$P_{\text{ext}}^B + P_{\text{ext}}^G + P_{\text{ext}}^T = \dot{T} - \int p \vec{v} \cdot \vec{v} dV + \int \mu \Phi dV. \quad (4.5.28)$$

Tehdään otaksuma (5) eli että kyseessä on konservatiiivinen voimakenttä, jolloin ulkoisten voimien potentiaalienergia on kaavan (2.1.32) mukaan

$$V^* = \int \rho \Omega dV. \quad [0(5)] \quad (4.5.29)$$

Kappalevoimien differentiaalinen työ $dW_{\text{ext}}^B = -dV^*$ (vt. kaava D (5.2.11)) ja ajan differentiaalilla dt jakamalla saadaan tulos

$$\boxed{P_{\text{ext}}^B = -\dot{V}^*} \quad [0(5)] \quad (4.5.30)$$

Käytännössä wakiopainovoimakentän tapaus on kaikkein tavallisin, jolloin kaavan (2.1.33) mukaisesti saadaan

$$V^* = \int \rho g h dV. \quad [0(5')] \quad (4.5.31)$$

Yhtälö (4.5.28) tulee kaavan (4.5.30) perusteella muotoon

$$P_{\text{ext}}^{\text{G}} + P_{\text{ext}}^{\text{T}} = \frac{d}{dt} \int \rho \left(\frac{1}{2} v^2 + \Omega \right) dV - \int p \vec{\nabla} \cdot \vec{v} dV + \int \mu \Phi dV. \quad [0(5)] \quad (4.5.32)$$

* ↓ Barotrooppisen homogeenisen nesteen tapauksessa termiä $-\int p \vec{\nabla} \cdot \vec{v} dV$ voidaan työstää edelleen. Saadaan

$$\begin{aligned} - \int p \vec{\nabla} \cdot \vec{v} dV &= - \int p \left(\frac{\partial v_x}{\partial x} + \frac{\partial v_y}{\partial y} + \frac{\partial v_z}{\partial z} \right) dV = \\ &= - \int \left[\frac{\partial (p v_x)}{\partial x} + \frac{\partial (p v_y)}{\partial y} + \frac{\partial (p v_z)}{\partial z} \right] dV + \int (v_x \frac{\partial p}{\partial x} + v_y \frac{\partial p}{\partial y} + v_z \frac{\partial p}{\partial z}) dV = \\ &= - \int (n_x p v_x + n_y p v_y + n_z p v_z) dS + \int \left(\frac{dp}{dt} - \frac{\partial p}{\partial t} \right) dV = \\ &= - \int p v_n dS + \int \frac{dp}{dt} dV - \int \frac{\partial p}{\partial t} dV. \end{aligned} \quad (4.5.33)$$

Toisaalta

$$\begin{aligned} \frac{d}{dt} \int \rho \Psi dV &= \int \rho \frac{d\Psi}{dt} dV = \int \rho \frac{d\Psi}{dp} \frac{dp}{dt} dV = \\ &= \int \rho \frac{1}{\rho} \frac{dp}{dt} dV = \int \frac{dp}{dt} dV. \end{aligned} \quad (4.5.34)$$

Näin ollen termi

$$-\int p \vec{\nabla} \cdot \vec{v} dV = \frac{d}{dt} \int \rho \Psi dV - \int \frac{\partial p}{\partial t} dV - \int p v_n dS. \quad (4.5.35)$$

Kun tämä tulos sijoitetaan yhtälöön (4.5.32) ja otetaan huomioon lausekkeet (4.5.24) ja (4.5.26), saadaan yhtälö

$$P_{\text{ext}}^{\text{T}} + \int \rho^* v_n dS = \frac{d}{dt} \int \rho \left(\frac{1}{2} v^2 + \Psi + \Omega \right) dV - \int \frac{\partial p}{\partial t} dV + \int \mu \Phi dV. \quad [0(5)] \quad (4.5.36)$$

* ↑

Siihytään käsittelemään jatkoissa ykriker-
taisuuden vuoksi vain vakiopainovoimakem-
täisä olevaa vakiotiheystettä, jolloin
 $\Omega = gh$ ja $\vec{v} \cdot \vec{v} = 0$ ja yhtälö (4.5.32) ykri-
kertaistuu muotoon

$$P_{\text{ext}}^{\text{G}} + P_{\text{ext}}^{\text{Z}} = \frac{d}{dt} \int \rho \left(\frac{1}{2} v^2 + gh \right) dV + \int \mu \Phi dV. \quad [0(5')] \quad (4.5.37)$$

Lisäksi voidaan tarvittaessa käyttää hyväksi
tulosta $\partial \rho / \partial t = 0$ sekä siirtää ρ integraalien
ulkopuolelle.

- Soveltamalla Reynoldsin lausetta (3.3.60) yh-
tälön (4.5.37) oikean puolen ensimmäiseen
termiin saadaan

$$P_{\text{ext}}^{\text{G}} + P_{\text{ext}}^{\text{Z}} = \int \frac{\partial}{\partial t} \left[\rho \left(\frac{1}{2} v^2 + gh \right) dV + \right. \\ \left. + \int \rho \left(\frac{1}{2} v^2 + gh \right) v_n dS + \int \mu \Phi dV. \quad (4.5.38)$$

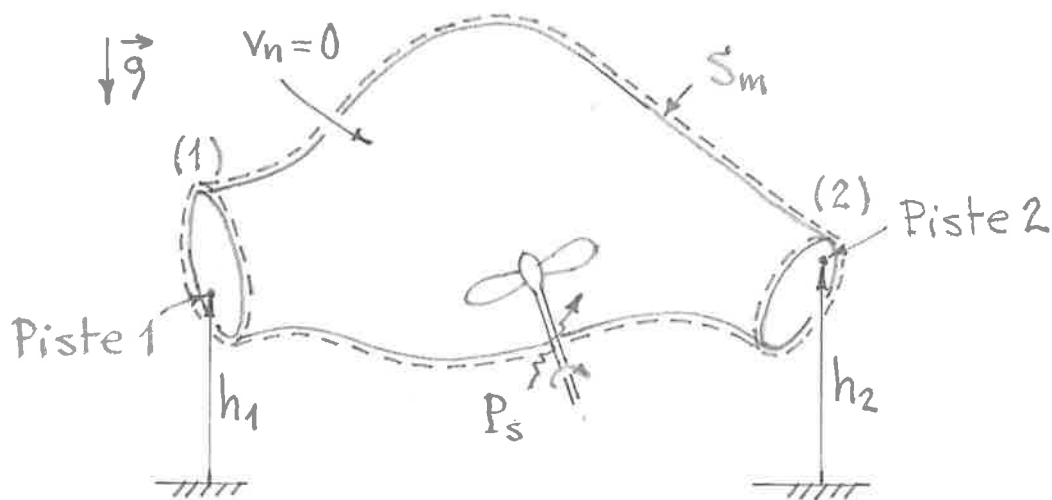
eli

$$P_{\text{ext}}^{\text{G}} + P_{\text{ext}}^{\text{Z}} = \frac{1}{2} \int \rho \frac{\partial v^2}{\partial t} dV + \int \rho \left(\frac{1}{2} v^2 + gh \right) v_n dS + \\ + \int \mu \Phi dV. \quad [0(5')] \quad (4.5.39)$$

Johdossa on käytetty hyväksi sitä, että
suureet ρ , g ja h eivät riipu ajasta. Tiheys
 ρ saa olla yhtälössä (4.5.39) myös inte-
graalien ulkopuolella.

Standardikontrollialue, [0(1), 0(2), 0(3), 0(5')]. Otak-
suma (2) seuraavasti automaattisesti vakio-

tiheyimesteen mallista. Tarkastellaan jälleen jo



Kuva 4.5.4 Standardikontrollialue.

kohdissa 3.4.1 ja 4.3.1 esitetyn tyyppistä kontrollialuetta (kuva 4.5.4), mutta nyt lisäksi kontrollipiirran waipan läpi voi kulkea turbiinin tai pumpun akseli, jota seikkaa kuvataan usein kuvarra esitetyn symbolisen potkurin avulla.

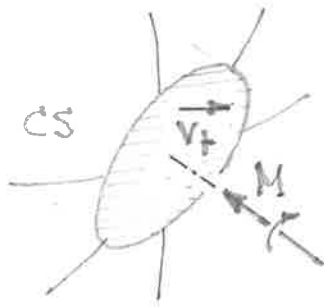
Kaavojen (3.4.6) ja (3.4.9) avulla yhtälö (4.5.39) saa ensim muodon

$$P_{\text{ext}}^{\zeta} + P_{\text{ext}}^{\tau} = \frac{1}{2} \int_{\mathcal{V}} \rho \frac{\partial v^2}{\partial t} dV - \int_{A_1} \rho \left(\frac{1}{2} v^2 + gh \right) v dA + \int_{A_2} \rho \left(\frac{1}{2} v^2 + gh \right) v dA + \int_{\mathcal{V}} \mu \Phi dV. \quad (4.5.40)$$

Vaipan yli otettu pintaintegraali häviää siis otakuman (1) perusteella.

Tarkastellaan sitten termejä P_{ext}^{ζ} ja P_{ext}^{τ} kaavojen (4.5.24) ja (4.5.25) avulla. Ne häviävät aina waipalla, jos se yhtyy kiinteään seinämään. Tällöin nimittäin todellisella nesteellä $v_n = 0$

ja $v_t = 0$ sekä taas ideaalivertteillä $v_n = 0$ ja $\tau = 0$.



Kuva 4.5.5 Kontrollipinta akselin kohdalla.

Sen sijaan sillä kontrollipinnan alueella, joka muodostuu mahdollisen turbiinin tai pumpun akselin ajattelusta leikkauspinnasta (kuva 4.5.5), nopeuskomponentti v_t — ja jos kontrollipinta leikkaa akselin

- vinosti myös nopeuskomponentti v_n — on nollasta eroava akselin pyöriessä. Akselin leikkauksen kautta tapahtuvaa systeemin saamaa tehoa tullaan merkitsemään tässä tunnukseksi

$$P_s$$

$$(4.5.41)$$

ja sitä tullaan nimittämään akselitehoksi (engl. shaft power). Yleisemmin tähän termiin lasketaan myös mukaan mahdolliset muut kiinteästä aineesta olevien kontrollipinnan leikkaavien osien antamat tehot (vt. kuva 3.3.12). Termi P_s saadaan edelleen periaatteessa lausekkeiden (4.5.24) ja (4.5.25) avulla, joissa vain nyt \vec{v} ja $\vec{\tau}$ ovat kiinteässä aineessa vallitsevia jännityksiä. Pyörivän akselin tapauksessa tulee

$$P_s = M\omega,$$

$$(4.5.42)$$

jossa M on ko. leikkauksessa vallitseva vääntömomentti ja ω akselin kulmanopeus. Turbiinilla P_s on negatiivinen ja pumpulla positiivinen.

Jäljellä on vielä termien $P_{\text{ext}}^{\text{G}}$ ja $P_{\text{ext}}^{\text{T}}$ tarkastelu poikkileikkauksissa 1 ja 2. Glagruman (3) perusteella ensimmäinkin $v_t = 0$ ja siis $P_{\text{ext}}^{\text{T}}$ häviää. Lisäksi kaavojen (4.3.94) perusteella $\sigma = -p$ eli deviaationormaalijännityskomponentti σ^* häviää. Täten edellä esitellyjen tulosten avulla pintavoimien yhteinen teho

$$\begin{aligned} P_{\text{ext}}^{\text{G}} + P_{\text{ext}}^{\text{T}} &= - \int_{A_1} p v_n dA - \int_{A_2} p v_n dA + P_s \\ &= \int_{A_1} p v dA - \int_{A_2} p v dA + P_s. \end{aligned} \quad (4.5.43)$$

Sijoittamalla tämä lauseke yhtälöön (4.5.40) ja järjestelemällä hieman termejä saadaan tulos

$$\begin{aligned} \frac{1}{2} \int_{A_1} \rho v^3 dA + \int_{A_1} (p + \rho g h) v dA &= \\ \frac{1}{2} \int_{A_2} \rho v^3 dA + \int_{A_2} (p + \rho g h) v dA &= \\ + \frac{1}{2} \int \rho \frac{\partial v^2}{\partial t} dV - P_s + \int \mu \Phi dV. \end{aligned} \quad (4.5.44)$$

Vielä kaavan (4.3.93) perusteella termi $p + \rho g h$ on vakio poikkileikkauksen alueella, joten se voidaan siirtää integraalimerkin ulkopuolelle.

Termi $\frac{1}{2} \rho \int v^3 dA$ esittää poikkileikkauksen läpi kulkevaa liike-energiavirtaa (engl. kinetic energy flow rate) (W). On tapana määritellä ns. liike-energian korjaustekijä

(engl. kinetic energy correction factor) α kaavalla

$$\alpha = \frac{\langle v^3 \rangle}{\langle v \rangle^3} = \frac{\frac{1}{A} \int v^3 dA}{\left(\frac{1}{A} \int v dA\right)^3} = \frac{\int v^3 dA}{A \langle v \rangle^3} \cdot [0(2), 0(3)] \quad (4.5.45)$$

Tämän merkinnän avulla liike-energiaväitä

$$\begin{aligned} \frac{1}{2} \rho \int v^3 dA &= \frac{1}{2} \rho \alpha A \langle v \rangle^3 = \frac{1}{2} \alpha \rho A \langle v \rangle \langle v \rangle^2 \\ &= \frac{1}{2} \alpha \rho Q \langle v \rangle^2 = \frac{1}{2} \alpha W \langle v \rangle^2. \quad [0(2), 0(3)] \quad (4.5.46) \end{aligned}$$

Jos nopeusjakautuma poikkileikkauksessa on tasainen, kerroin $\alpha = 1$. Laminaarisessa putkivirtauksessa $\alpha = 2$, kun putken poikkileikkaus on ympyrä. Turbulenttisessa virtauksessa $\alpha \approx 1,07$; usein otetaan $\alpha = 1$.

Ottamalla edellä eritetty lisätulos ($p + \rho gh =$ vakio) sekä merkintä (4.5.45) huomioon ja jakamalla yhtälö (4.5.44) vielä puolittain termillä $\rho g Q = \rho g \int v dA = \rho g \langle v \rangle A$, joka on tässä sama vakio kummankin poikkileikkauksen kohdalla kaavan (3.4.25) johdosta, saadaan lopputulokset

$$\boxed{\begin{aligned} \alpha_1 \frac{\langle v \rangle_1^2}{2g} + \frac{p_1}{\rho g} + h_1 &= [0(1), 0(2), 0(3), 0(5')] \\ \alpha_2 \frac{\langle v \rangle_2^2}{2g} + \frac{p_2}{\rho g} + h_2 + \frac{\int \frac{\partial v^2}{\partial t} dV}{2gQ} - \frac{P_s}{\rho g Q} + h_L & \end{aligned}} \quad (4.5.47)$$

jossa lyhennysmerkintä h_L , ns. korkeushäviö (engl. head loss), on siis termi

$$\boxed{h_L = \frac{\int \mu \Phi dV}{\rho g Q}} \quad (4.5.48)$$

Yhtälöä (4.5.47) nimitetään tässä yleistetyksi Bernoullin yhtälöksi (engl. generalized Bernoulli equation, engineering Bernoulli equation) tai Bernoullin yhtälöksi (muoto 3). Se koskee siis kahdessa valitun kontrollialueen poikkileikkauksissa sijaitsevilla pisteillä (ks. kuva 4.5.4) laskettuja suureiden p ja h arvoja ja ko. poikkileikkauksissa vallitsevia virtauksen keskinopeuksia.

Epästationaarisessa tapauksessa esiintyvä termi $\partial v^2 / \partial t$ on yleensä vaikea arvioida, joten yhtälöä sovelletaan tavallisesti vain pysyvän virtauksen yhteydessä. Pumpun tai turbiinin johdosta syntyvän termin P_s esiintyessä virtaus ei ole yleensä tarkkaan otettuna koskaan aivan stationaarista mutta usein kylläkin jaksollista. Jos tällöin käsitellään yhden tai useamman jakson ajan yli otettuja aikakerkiovoja, integraali $\int \partial v^2 / \partial t dV$ häviää ja yhtälöä voidaan soveltaa kuten stationaarisessa tapauksessa.

Yhtälön johto oli tietyistä yksinkertaisuuksista huolimatta melko raskas. Eri otaksumien merkitykset johdon yhteydessä on kuitenkin syytä pitää mielessä, sillä käytännön hydraulikka perustuu hyvin voimakkaasti yleistetyn Bernoullin yhtälön soveltamiseen. Soveltaminen taas on oleellisesti kiinni korkeushäviötermistä h_f . Kaava (4.5.48) osoittaa, että myös tämä termi on aina ei-negatiivinen (virtaus määrä-

tettiin tapahtuakiri suuntaan $1 \rightarrow 2$, jolloin Q on positiivinen) ja käytännössä positiivinen. Jos tarkka nopeusjakautuma tunnettaisiin, dissipatiiofunktio voitaisiin laskea kaavasta (4.5.18) ja h_1 saataisiin selville integroimalla. Käytännössä tämä ei kuitenkaan ole, vaan sen sijaan h_1 joudutaan arvioimaan kokellisten ja teoreettisten tutkimusten antamien kaavojen ja diagrammien avulla, joiden käyttöä selostetaan hydraulikan oppikirjoissa ja opintojaksoissa sekä hieman myös tässäkin jatkossa.

Yleistetty Bernoullin yhtälö johdettiin Lähtemällä liikkeelle Cauchyyn likeyhtälöistä, jotka olivat taasen saatu liikemäärän taseen periaatteen paikallisena muotona. Täten on ymmärrettävää, että liikemäärän taseen periaatteen äärellisten muotojen ja yleistetyn Bernoullin yhtälön käyttö johtavat usein käytännössä samanaarvoisiin kaavoihin. Joskus kuitenkin toista näistä mahdollisuuksista on helpompi soveltaa kuin toista. Valinta tapahtuu sen mukaan onko ko. tapauksessa helpompaa arvioida systeemiin vaikuttavat voimat vai dissipatio. Esimerkiksi verikynnyksen kärittelyssä (ks. esimerkki 4.3.4) lyhyen kontrollialueen reunalla vaikuttavien leikkausjännitysten osuus voidaan katsoa vähäiseksi ja jättää liikemäärän taseen periaatetta käytettäessä huomiotta. Verikynnyksessä käytännössä havaittu voimakas pyönteily merkitsee sitä vastoin suunta dissipatiota, joten termin h_2 osuus olisi vaikea arvioida,

jos ylitettäisiin soveltaa yleistettyä Bernoullin yhtälöä.

Häviötermien laskeminen. Tarkastellaan yhtälöä (4.5.47) stationaarissa tapauksessa ja kirjoitetaan se muotoon

$$\alpha_1 \frac{\langle v \rangle_1^2}{2g} + \frac{p_1}{\rho g} + h_1 = \alpha_2 \frac{\langle v \rangle_2^2}{2g} + \frac{p_2}{\rho g} + h_2 - h_s + h_c, \quad (4.5.49)$$

jossa lyhenne merkintä

$$h_s = \frac{P_s}{\rho g Q}. \quad (4.5.50)$$

Yhtälön eri termeillä on pituuden dimensio, joten niitä voidaan havainnollistaa samaan tapaan kuin tehtiin kuvassa 4.3.17. Kun yhtälöä sovelletaan putkivirtauksessa, paineen p ja korkeuden h arvot ajatellaan tavallisesti lasketuiksi virtausakselilla, jolloin akselin korkeusarvoa tullaan merkitsemään tässä kuten edellä tunnuksella z ja yhtälö kirjoitetaan seuraavasti (merkintä p korvataan myös kuten edellä tunnuksella $\langle p \rangle$):

$$\boxed{\alpha_1 \frac{\langle v \rangle_1^2}{2g} + \frac{\langle p \rangle_1}{\rho g} + z_1 = \alpha_2 \frac{\langle v \rangle_2^2}{2g} + \frac{\langle p \rangle_2}{\rho g} + z_2 - h_s + h_c.} \quad (4.5.51)$$

Korkeushäviön määrittämistä käsitelläänkin tässä vain putkivirtauksen yhteydessä.

Tarkastellaan kuvan 4.5.6 esittämää esimerkkitapausta, joka pyrkii havainnollistamaan kaaviollisesti yhtälön (4.5.51) termejä. Todettakoon seuraavaa. Yhtälö voidaan varustaa indeksein 1 ja 2 sijasta mielivaltaisia poikkileikkauksia i ja j vastaa-

villa indekseillä i ja j ja samoin termit h_s ja h_t voidaan erittää tarvittaessa muodossa $(h_s)_i-j$ ja $(h_t)_i-j$. Energiaviiva laskentua varten virtaussuuntaan kuljettaessa (koska $h_t > 0$), pitää mahdollisesti pumppejen kohdilla. Ihanteellisessa kitkattomassa virtauksessa energia-viiva olisi vaakasuorassa. Käytännössä on ollut vanha perinne, että asetetaan $\alpha = 1$ ja tästä aiheutuvat virheet otetaan huomioon korkeushäviö-termissä h_t . Samoin turbulenssi tulee otetuksi automaattisesti huomioon, kun sovelletaan yhtälöä (4.5.51) ja määritetään h_t korkeellisesti.

Korkeushäviö-termiin h_t ajatellaan kertyvän ms. seinämäkitkahäviöistä h_f (engl. head loss caused by boundary resistance, frictional head loss) ja ms. paikallisista häviöistä h_p (engl. minor loss, loss in fittings) eli

$$h_t = h_f + h_p. \quad (4.5.52)$$

Termi h_f kertyy enemmän tai vähemmän suorista putken osista ja termi h_p kaikista virtaukseen venttiilien, mutkien, supistumien, laajentumien yms. häiriöitä aiheuttavien muutosten johdosta.

Suorassa vakio poikkileikkauksen omaavassa putkessa seinämäkitkahäviö

$$h_f = f \frac{L}{d_h} \frac{\langle v \rangle^2}{2g} \quad (4.5.53)$$

jossa L on putken pituus, d_h putken hydrau-

linen halkaisija ja f Moodyn kitkahäviökerroin.
Bernoullin yhtälö (4.5.51) saa tällöin tapauksessa muodonsa ($\langle v \rangle_1 = \langle v \rangle_2$)

$$\frac{\langle p \rangle_1}{\rho g} + z_1 = \frac{\langle p \rangle_2}{\rho g} + z_2 + h_l \quad (4.5.54)$$

ja vertaamalla tätä esimerkiksi 4.3.5 yhtälöihin (f) ja (g) havaitaan kaavan (4.5.53) oikeellisuus ainakin ympyräpoikkileikkauksen tapauksessa.

Kukin paikallinen häviö esitetään muodossa

$$h_p = \xi \frac{\langle v \rangle^2}{2g} \quad (4.5.55)$$

jossa yleensä kokeellisesti saadun kertoimen ξ arvo riippuu tapauksesta. Jos poikkileikkauksen pinta-ala muuttuu ko. häiriön kohdalla, on erikseen mainittava kummalta puolelta häiriötä nopeus on otettava.

Yleisesti tietyltä virtausväliltä kertyvä korkeushäviö voidaan siis kirjoittaa muotoon

$$h_l = \frac{1}{2g} \left(\sum f_i \frac{L_i}{(dh)_i} \langle v \rangle_i^2 + \sum \xi_j \langle v \rangle_j^2 \right) \quad (4.5.56)$$

jossa i viittaa suoriin putkiosuuksiin ja j häiriökohtiin.

Taulukossa 4.5.2 on esitetty kitkahäviökertoimen f määrittämistä. Kaavat on kehitetty ympyräpoikkileikkaukselle, mutta niitä voidaan soveltaa myös tapauksissa, joissa poikkileikkauksen muoto ei ole liian soikea tai epä-säännöllinen. Karkeana ohjeena voidaan

Taulukko 4.5.2 Kitkahäviökerroin $f(23), (29)$

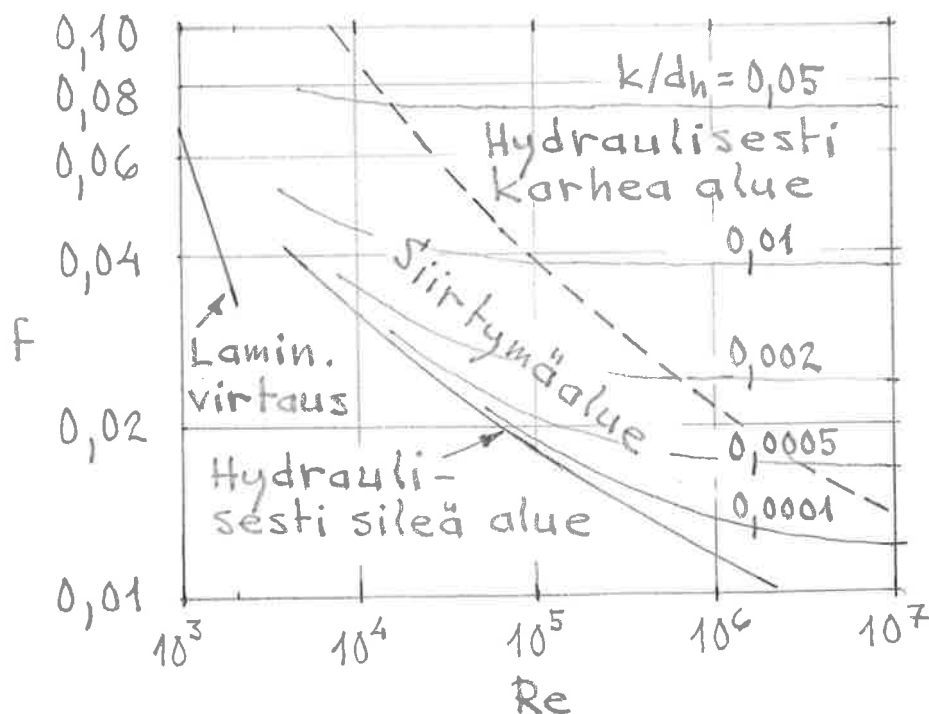
Laminaarinen virtaus	$f = \frac{64}{Re} \quad (Re < 2100)$	(1)
Turbulenttinen virtaus, hydraulisesti sileä alue	$f = \frac{0,316}{Re^{0,25}} \quad (4000 < Re < 10^5)$	(2)
	$\frac{1}{\sqrt{f}} = 2 \log(Re\sqrt{f}) - 0,8 \quad (Re > 4000)$	(3)
Turbulenttinen virtaus, siirtymäalue hydraulisesti sileän ja karheen alueen välillä	$\frac{1}{\sqrt{f}} = -2 \log\left(\frac{k/d_h}{3,7} + \frac{2,52}{Re\sqrt{f}}\right) \quad (Re > 4000)$	(4)
	$= 1,14 - 2 \log\left(\frac{k}{d_h} + \frac{9,35}{Re\sqrt{f}}\right)$	(4')
Turbulenttinen virtaus, hydraulisesti karhea alue	$\frac{1}{\sqrt{f}} = 1,14 - 2 \log\left(\frac{k}{d_h}\right) \quad (Re > 4000)$	(5)
	$= 1,14 + 2 \log\left(\frac{d_h}{k}\right)$	(5')
Kaavoja (4) ja (4') voidaan soveltaa koko turbulenttisen virtauksen alueella. Reynoldsin luku $Re = \frac{\rho d_h \langle v \rangle}{\mu} = \frac{d_h \langle v \rangle}{\nu} \quad (6)$	Joitakin ekvivalentin karheuden k arvoja	
	Vedetty putki (messinki, lasi)	0,0015 mm
	Teräs	0,05
	Valurauta	0,45
	Betoni	0,3...3
	Niitattu teräs	0,9...9

pitää, että ehdon $\sqrt{A}/d_h \leq 2$ tulee olla voimassa (4). Tämä edellyttää korkeaa turbulenttista virtausta. Laminaarisessa tapauksessa f riippuu voimakkaasti poikkileikkauksen muodosta, kuten voidaan todeta jo esimerkkien 4.3.9 ja 4.3.10 tulosten perusteella; ympyräpoikkileikkaukselle $f = 64/Re$ ja hyvin leveälle suorakaidepoikkileikkaukselle $f = 96/Re$.

Summa k ($[k] = m$) on ns. ekvivalentti karheus (engl. roughness), joka ottaa huomioon putken seinämässä esiintyvien pienten epäsäännöllisyyksien vaikutuksen. Karheuden vaikutusta tutki ensimmäisenä järjestelmällisesti Nikuradse (v. 1933). Hänen kokeissaan muuten sileän putken pintaan liimattiin tasarakaisia halkaisijan k omaavia hiekkejä ja suoritettiin suoraan f mittauksia. Kokeet osoittivat, että f

riippuu vain Reynoldsin luvusta Re ja ns. suh-
teellisesta karkeudesta (engl. relative roughness)
 k/d_h . Turbulenttisessa virtauksessa voidaan erottaa
kolme erityyppistä aluetta. Ns. hydraulisesti ri-
leässä alueessa (Itse asiassa tämä on käyrä
 f, Re -tasossa; ks. kuva 4.5.7, jossa taulukon
4.5.2 kaavat on esitetty graafisessa muodossa
pitäen suhteellista karkeutta k/d_h käyrä-
parametrina) f ei riipu suhteellisesta karkeu-
desta ja sanotaan, että putki on hydrau-
lisesti sileä (engl. hydraulically smooth). Ns
hydraulisesti karheassa alueessa f ei riipu Rey-
noldsin luvusta. Ns. siirtymäalueessa f riip-
puu sekä Reynoldsin luvusta että suhteelli-
sesta karkeudesta.

Näitä tuloksia selitetään seuraavasti. Turbu-
lenttisessa virtauksessa esiintyy aina aivan
seinämän läheisyydessä ohut kerros, jossa vir-
taus on laminaarista, ns. Laminaarinen ala-



Kuva 4.5.7 Moodyn käyrästä kaaviollisesti.

kerros (engl. lamina sublayer), koska seinämä estää turbulenttiseen virtaukseen liittyvän heilahtelun. Jos pinnan karheus on niin pientä, että kaikki epätasaisuudet jäävät laminaarisen alakerroksen sisään, suhteellisen karheuden avulla ei ole merkitystä ja turbulenttisen virtauksen kannalta kyseessä on samanarvoinen tilanne kuin jos putki olisi täysin sileä. Samoin laminaarisessa tapauksessa putken karheudella ei ole merkitystä. Kun Reynoldsin luku tietyllä putkella kasvaa, laminaarinen alakerros ohenee, epätasaisuudet tunkeutuvat turbulenttisen virtauksen puolelle vaikuttaen siihen ja saavutetaan siirtymäalue. Riittävän suurella Reynoldsin luvulla f tulee vakioiksi ja ollaan hydraulisesti karheassa alueessa.

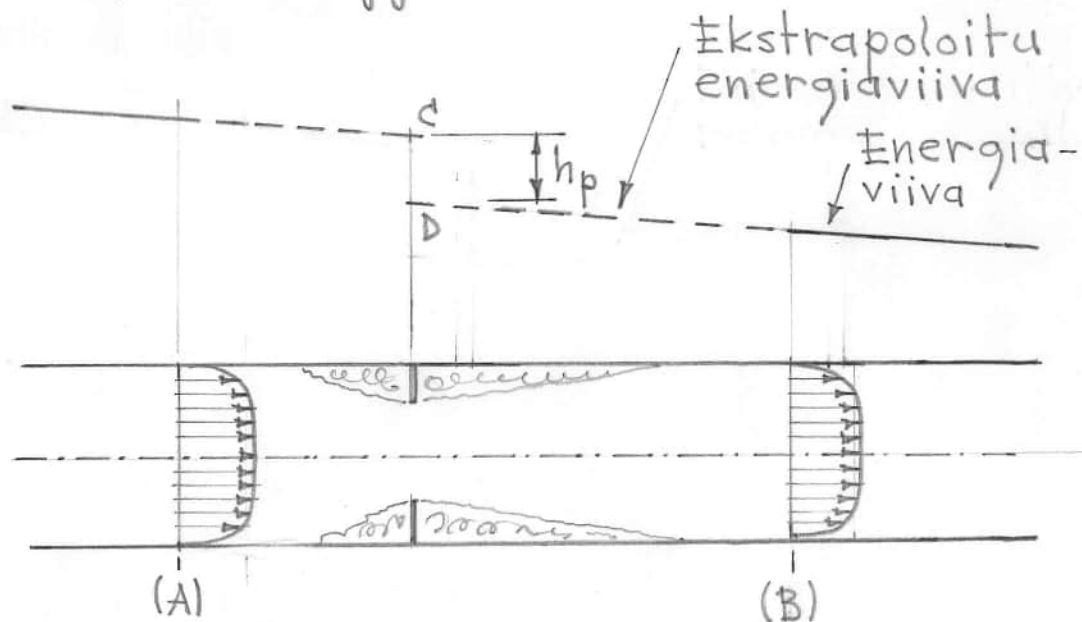
Taulukon 4.5.2 kaavat (3) ja (4) ovat f :n suhteen implisiittisiä ja joudutaan iteroimaan. Helpommin tulos saadaan graafisesti, jos käytävissä on kuvan 4.5.7 kaaviollista eritystä täydellisempi Moodyn käyrästä. Laminaarisen ja turbulenttisen virtauksen välialueella $2100 < Re < 4000$ kitkahäviökertoimelle ei voida erittää mitään yksikäsitteisiä arvoja.

Käytännössä esiintyvien pintojen karheutta ei voida kuvata tarkasti vain yhden parametrin k/d_h avulla, koska kyseessä on selvästi Nikuradsen koejärjestelyä monimutkaisempi tilanne. Pintojen k -arvot määritetäänkin tavallisesti mittaamalla häviö ja vertaamalla tulosta hiekkakarhentetulla putkella saatuun tulokseen, jolloin saadaan

selville ms. ekvivalentti: karheus k . Taulukossa 4.5.2 ja kuvassa 4.5.6 eritetyt tulokset eivät liitykään suoraan Nikuradsen koetuloksiin, vaan mitä on modifioitu enemmän käytäntöä vastaaviksi. Suuresta k eritetyt arviot ovat ymmärrettävästi melko epämääräisiä, mutta on huomattava, että f ei riipu kuitenkään kovin voimakkaasti k :sta.

Kaavan (4.5.53) erittämä seinämäkitkahäviö on siis suoraan verrannollinen putken pituuteen $ko.$ välillä. Tämä tulos selittää kuvassa 4.5.6 näkyvän energiaviivan likimain suoraviivaisen kaltevan kulun kohdissa, joissa putki on ominaisuuksiltaan muuttumaton.

Siirrytään tämän jälkeen paikallisten häviöiden (4.5.55) käsitteeseen. Tarkastellaan esimerkkinä



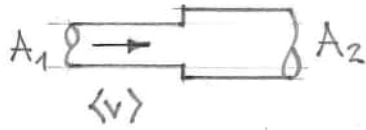
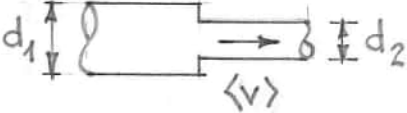
Kuva 4.5.8 Vintauksen häviökohta.

kuvan 4.5.8 erittämän paikallisen supistuman aiheuttamaa vintauksen häviötä. On ilmeistä, että tietyllä välillä AB vintausta

ei voida pitää riittävällä tarkkuudella yh-
densuuntaisvintauksena, joten tällä välillä
yhtälön (4.5.51) termeillä ei ole täsmällistä
merkitystä. Ottamalla poikkileikkaukset riittävän
etäälle häiriökohdasta yhtälö on kuitenkin
käytettävissä. Häviöllä $h_1 = \int \mu \Phi dV / (ggQ)$ on
ko. välillä luonnollisesti tietty yksikäsitteinen
arvo, mutta sen sijaan kaavan (4.5.52) esittämä
jako ei ole täysin selvä. Jos suoritetaan kuvan
4.5.8 mukainen koefäjäjestely, energiaviivat voi-
daan piirtää näkyvien mittauksista saatujen
tulosten perusteella riittävän kaukana häiri-
östä. Tämän jälkeen ekstrapoloidaan energia-
viivat kummaltakin puolelta, kunnes ne
kohtaavat häiriökohdan teoreettisen keskuk-
sen ja määritellään hp pisteiden C ja D pysty-
suorana etäisyytenä. Tämä siis merkitsee,
että seinämäkirkkahäviö lasketaan suorille putken
osille ajatellen vintauksen tapahtuvan häiriötö-
mänä aina teoreettiseen keskipisteeseen saakka.
Jos häiriökohdista sijaitsee verrattain lähel-
kään niin, ettei vintaus ehdi niiden välillä
raukoittua yhdensuuntaisvintaukseksi, erillisistä
kokeista mitattujen termien hp summeeraaminen
ei tietenkään tuota enää välttämättä riittävän
tarkkaa tulosta. Kuvarissa 4.5.6 energia- ja paine-
viivojen muutokset häiriöiden kohdilla on esitetty
epämääräisinä viivoina, mutta tavallisesti ne
esitetään kuvan 4.5.8 mukaisesti äkillisinä hyp-
päyksinä.

Taulukkoon 4.5.3 on kerätty joitakin kaavan
(4.5.55) kertoimen ξ -ms. häviökertoim (engl.
Loss coefficient) arvoja. Ne vaihtelevat melko

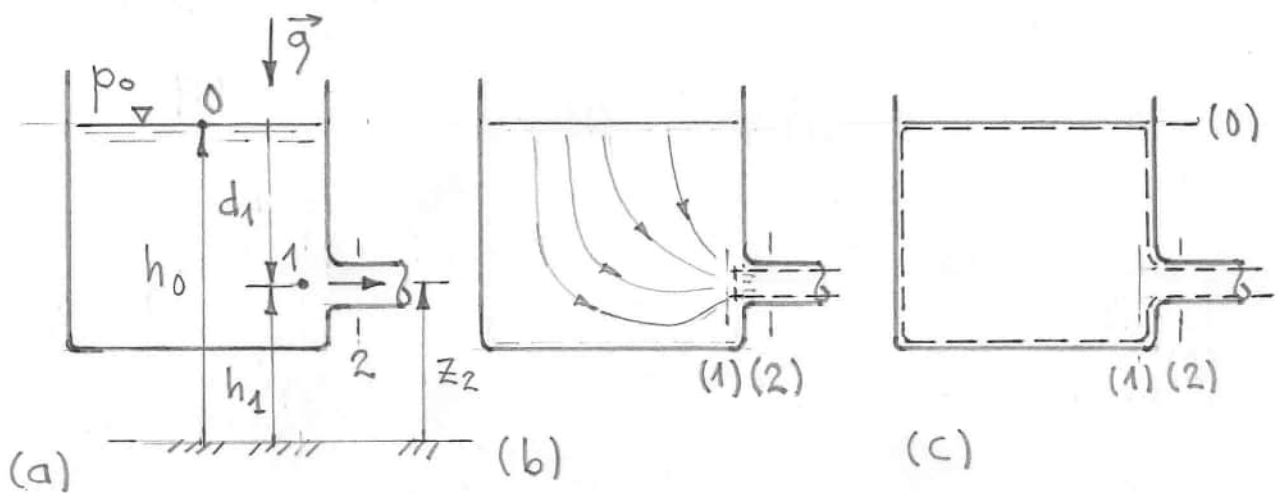
Taulukko 4.5.3 Häviökertoimen ξ arvoja (17), (30)

Äkillinen laajentuma		
	$\xi = \left(1 - \frac{A_1}{A_2}\right)^2$	
Äkillinen supistuma	d_2/d_1	ξ
	0,8	0,13
	0,6	0,28
	0,4	0,38
	0,2	0,45
	0,1	0,50
	0,0	0,50
Taite (90°)	$\xi = 0,9$	
Sulkuventtiili (avoin)	$\xi = 0,2$	
Palloventtiili (avoin)	$\xi = 10$	

paljon eri lähteissä. Kertoimien arvot riippuvat periaatteessa häiriön geometriasta, pinnan suhteellisesta karheudesta ja Reynoldsin luvusta. Käytännössä kertoimet ovat tietyllä geometrialla miltei vakioita, kun Reynoldsin luku on kohtuullisen suuri. Taulukon arvot vastaavat tätä tapausa. Todettakoon, että häiriökoh-tien juoksevammalla muotoilulla häviöitä voi daan pienentää oleellisesti.

Putkivirtaus alkaa tavallisesti tietystä al-taasta tai säiliöstä ja päättyy vastaa-vasti penkautumisella toiseen altaaseen tai säiliöön tai ritteen suikkuna erilaiseen mes-teeseen (tavallisesti vesisuikku ilmaan). Vir-tauksen alkun ja loppun liittyvät käsit-tet mieluhäviö (engl. inlet loss) ja pen-kautumishäviö (engl. exit loss) vaativat lisä-käsitteilyä.

Esimerkki 4.5.2. Virtaus säiliöstä putkeen. Tarkastellaan mielikuvion käsitteilyä kuvan (a) mukaisesti.



- (a) Säiliö ja siitä lähtevä putkivirtaus.
 (b) Eräs kontrollialueen valinta (c) Toinen kontrollialueen valinta.

seura esimerkitapauksessa. Kuvissa (b) ja (c) on esitetty kaksi mahdollisuutta valita yleistetyin Bernoullin yhtälön yhteydessä käytettävän kontrollialueen alkuosa. Ensimmäisessä tapauksessa kontrollialue alkaa heti ennen mielua; poikkileikkaus 1. Voisi ajatella, että kun säiliö on suuri mitoiltaan putken poikkileikkausmittaan verrattuna, neste on miltei lepotilassa ja vallitsee hydrostaattinen painejakautuma. Saataisiin $\langle p \rangle_1 \approx p_0 + \rho g d_1$. Tämä on kuitenkin huono approksimaatio. Havainnot ovat osoittaneet, että virtaus säiliössä on tällaisessa tapauksessa miltei kitkatonta ja pyörteetöntä aina putken suunaukalle saakka. Täten säiliössä voidaan soveltaa Bernoullin yhtälöä (muotoa 1 tai 2) kahden mielivaltaisen pisteen suhteen. Esimerkiksi yhtälö (4.3.130) antaa pisteille 0 ja 1 yhteyden

$$\frac{v_0^2}{2g} + \frac{p_0}{\rho g} + h_0 = \frac{v_1^2}{2g} + \frac{p_1}{\rho g} + h_1, \quad (a)$$

$$p_1 = p_0 + \rho g(h_0 - h_1) - \frac{v_1^2}{2g},$$

$$\langle p \rangle_1 \approx p_0 + \rho g d_1 - \frac{v_1^2}{2g} \quad (b)$$

Tämä paineen arvo on realistisempi. En siis vielä otakuttu, että $v_0 \approx 0$. Yleistettyä Bernoullin yhtälön kokonaiskorkeuden arvoksi saadaan leikkauksessa 1 yhtälön (a) perusteella

$$d_1 \frac{\langle v \rangle_1^2}{2g} + \frac{\langle p \rangle_1}{\rho g} + z_1 \approx \frac{v_1^2}{2g} + \frac{p_1}{\rho g} + h_1 = \frac{p_0}{\rho g} + h_0, \quad (c)$$

jossa nyt oikean puolen arvo tunnetaan. Jos toimitaan mittapaineen avulla pitäen vapaalla pinnalla olevaa painetta p_0 referenssipaineena, kokonaiskorkeus leikkauksessa 1 on yhtä kuin vapaan pinnan korkeusarvo h_0 . Kuvan 4.5.6 energiaviiva on piirretty juuri näin alkaen.

Putken alussa syntyvä meluhäviö $h_p = \xi \langle v \rangle^2 / 2g$ ilmaisee siis häviön lyhyellä välillä $1 \rightarrow 2$; otetaan $\langle v \rangle = \langle v \rangle_2 = \langle v \rangle_1$. Hyvin muotoillussa aukossa $\xi \approx 0,05$, äkillisesti alkavassa aukossa $\xi \approx 0,5$.

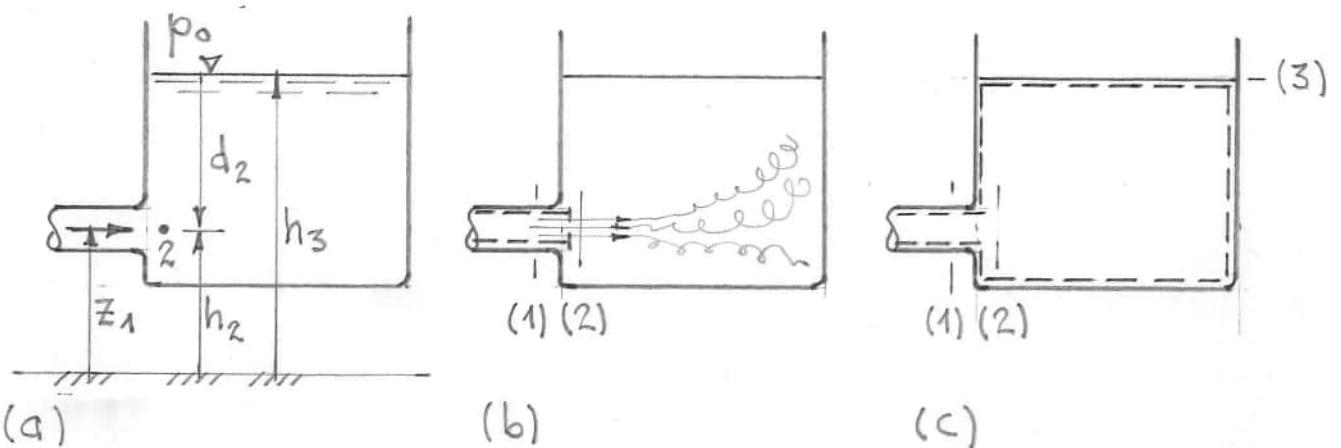
Usein yleistettyä Bernoullin yhtälöä sovelletaan ajatellen kuvan (c) tapaan vapaa pinta ensimmäiseksi poikkileikkaukseksi. Koska sillä

$$d_0 \frac{\langle v \rangle_0^2}{2g} + \frac{\langle p \rangle_0}{\rho g} + z_0 \approx 0 + \frac{p_0}{\rho g} + h_0 = \frac{p_0}{\rho g} + h_0, \quad (d)$$

kokonaiskorkeus tulee samaksi kuin leikkauksessa 1. Myös mun käsitteily tulee samaksi kuin edellisessä tapauksessa, koska välillä

$0-1 (h_c)_{0-1} \approx 0$ säiliössä tapahtuvan Lähes
kitkattoman virtauksen johdosta.

Esimerkki 4.5.3. Pukautuminen. Tarkastellaan
vastaavantyyppistä tapausta kuin edellisessä



(a) Säiliö ja siihen saapuva putkivirtaus. (b)
Eräs kontrollialueen valinta. (c) Toinen kontrolli-
alueen valinta.

esimerkissä. Mitä ehtoja syntyy kuvan (b) esit-
tämässä poikkileikkauksessa 2? Havainnot ovat
osoittaneet, että virtauksen pukautuminen säiliöön
tapahtuu suihkuna, joka väkijonon leviää ja
hajoaa voimakkaasti pyörteille. Virtauskent-
tää ei siis saada edellisen esimerkin
kentästä vaihtamalla vain virtausnopeuden
suunnat. (Tulitikku voidaan sammuttaa puhalt-
tamalla mutta ei henkeä vetämällä (31).) Suih-
kun paine on havaintojen ja myös laskelmien
perusteella sama kuin paine ympäristössä suih-
kun reunan kohdalla. Kyseessä on aluksi liki-
mäin yhden suunnan virtaus. Poikkileikkauksen 2
yläpuolella vallitsee likimain hydrostaattinen
painejakautuma — voidaan karkeasti ajatella
että suihku voitaisiin korvata umpinaisella

putkella, jolloin tila sen ympärillä pysyi samana kuin lepatilassa - ja saadaan nyt realistinen otaksuma

$$\langle p \rangle_2 \approx p_0 + \rho g d_2, \quad (a)$$

jota käytetään hyväksi yleistetyn Bernoullin yhtälön reunaehtona.

Ns. purkautumiskäviö $h_p = \xi \langle v \rangle^2 / (2g)$, jossa otetaan tavallisesti $\xi = 1$. On tärkeä huomata, että purkautumiskäviötä ei tule ottaa mukaan, jos kontrollialue lopetetaan poikkileikkaukseen 2, sillä neste virtaa juoksevana suikkuna poikkileikkauksen 1 ja 2 välisen osuuden ilman oleellisia häiriöitä. (Näin ei luonnollisestikaan ole enää, jos aukon pinta-alassa on samalla muutoksia.) Nieluhäviön syntyminen selittyy sillä, että aukon kohdalla ei suunnilta saapuvien virtavivojen täytyy muuttua lyhyellä matkalla nopeasti suunnitansa ja tämä synnyttää pyörteilyä.

Purkautumiskäviökertoimen $\xi = 1$ valinta on tarkoitettu käytettäväksi kuvan (c) kontrollialueen yhteydessä, jolloin vapaa pinta on viimeinen poikkileikkaus. Tämä havaitaan kirjoittamalla yleistetty Bernoullin yhtälö välille 2-3:

$$\alpha_2 \frac{\langle v \rangle_2^2}{2g} + \frac{\langle p \rangle_2}{\rho g} + z_2 = \alpha_3 \frac{\langle v \rangle_3^2}{2g} + \frac{\langle p \rangle_3}{\rho g} + z_3 + (h_c)_{2-3},$$

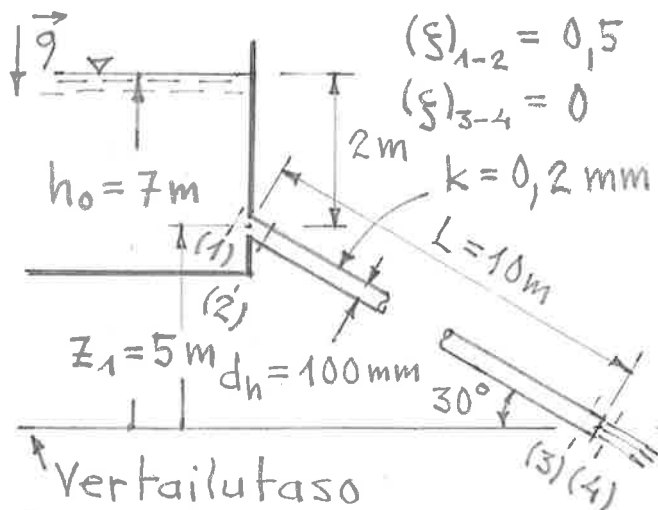
$$\alpha_2 \frac{\langle v \rangle_2^2}{2g} + \frac{p_0}{\rho g} + d_2 + h_2 = \frac{p_0}{\rho g} + h_2 + d_2 + (h_c)_{2-3},$$

$$(h_c)_{2-3} = \alpha_2 \frac{\langle v \rangle_2^2}{2g}. \quad (b)$$

En siis otaksuttu, että vapaa pinta on likimain lepotilassa. Kaavan (b) perusteella purkautumishäviökertois $\xi = \alpha \approx 1$. Täten purkautumishäviö ei ole varsinlaisessa putkessa syntyvä paikallinen häviö kuten nieluhäviö, vaan se syntyy välillä 2-3 tapaktuvasta dissipatiivista, jossa putkesta saapuvien nestealkioiden liike-energia vähitellen häviää kokonaan kitkan johdosta muuttuen sisäenergiaksi.

Jos suihke purkautuu toisenlaiseseen nesteeseen, ehdoksi sumauksen kohdalla saadaan edelleen, että paine suihkussa on sama kuin ympäristön paine, kun kyseessä on subsoninen virtaus.

Esimerkki 4.5.4. Virtsaman määrittäminen. Kuva (a) esittää tapausta, jossa vesi purkautuu suoraan altaasta suoraa putken kautta suihkuna ulos. Määritetään virtsaman Q .



(a)

oliin kitkaton virtaus, esimerkissä 4.3.12 esitetty Toricellin kaava (b) antaisi

$$\langle v \rangle = \sqrt{2gh_0} = \left(2 \cdot 9,81 \frac{\text{m}}{\text{s}^2} \cdot 7 \text{ m} \right)^{1/2} = 11,72 \text{ m/s.} \quad (a)$$

Putken poikkileikkauspinta-ala

$$A = \frac{\pi d_h^2}{4} = \frac{\pi \cdot 0,1^2 \text{ m}^2}{4} = 0,00785 \text{ m}^2, \quad (b)$$

joten virtaaman arvo olisi

$$Q = \langle v \rangle A = 11,72 \frac{\text{m}}{\text{s}} \cdot 0,00785 \text{ m}^2 = 0,0918 \frac{\text{m}^3}{\text{s}} = 331 \frac{\text{m}^3}{\text{h}}. \quad (c)$$

Yleistetty Bernoullin yhtälö välille 1-4 kirjoitettuna:

$$\alpha_1 \frac{\langle v \rangle_1^2}{2g} + \frac{\langle p \rangle_1}{\rho g} + z_1 = \alpha_4 \frac{\langle v \rangle_4^2}{2g} + \frac{\langle p \rangle_4}{\rho g} + z_4 - 0 + (h_L)_{1-4},$$

$$h_0 = 1 \frac{\langle v \rangle^2}{2g} + \frac{0}{\rho g} + 0 + (h_p)_{1-2} + (h_f)_{2-3},$$

$$h_0 = \frac{\langle v \rangle^2}{2g} + (\xi)_{1-2} \frac{\langle v \rangle^2}{2g} + f \frac{L}{d_h} \frac{\langle v \rangle^2}{2g}. \quad (d)$$

En toimitettu mittapaineen avulla, käytetty edellisissä esimerkeissä selostettuja reunaehtoja ja asetettu $\alpha_4 = 1$. Keskinopeuden lauseke on siis

$$\langle v \rangle = \left[\frac{2gh_0}{1 + (\xi)_{1-2} + f \frac{L}{d}} \right]^{1/2} = \left[\frac{1}{1 + (\xi)_{1-2} + f \frac{L}{d}} \right]^{1/2} \cdot 11,72 \frac{\text{m}}{\text{s}}. \quad (e)$$

Usein laskelmat aloitetaan kitkakeriö-kertoimen f keskimääräisellä arvolla 0,03 (ks. kuva 4.5.6). Termi

$$1 + (\xi)_{1-2} + f \frac{L}{d} = 1 + 0,5 + f \cdot 100 \quad (f) \\ = 1 + 0,5 + 3 = 4,5.$$

ja keskinopeuden arvoiksi saadaan kaavasta (e) $\langle v \rangle = 5,52 \text{ m/s}$. Vastaava Reynoldsin luku

$$Re = \frac{d_h \langle v \rangle}{\nu} = \frac{0,1 \text{ m} \langle v \rangle}{1,30 \cdot 10^{-6} \text{ m}^2/\text{s}} = 76920 \frac{\text{s}}{\text{m}} \langle v \rangle \quad (g)$$

tulee olemaan $Re = 4,25 \cdot 10^5$. Kaavan (g) lauseke on saatu otaksumalla veden lämpötilaksi 10°C ja ottamalla ν taulukosta 1.3.1. Putken pinnan suhteellinen karheus $k/d_h = 0,002$.

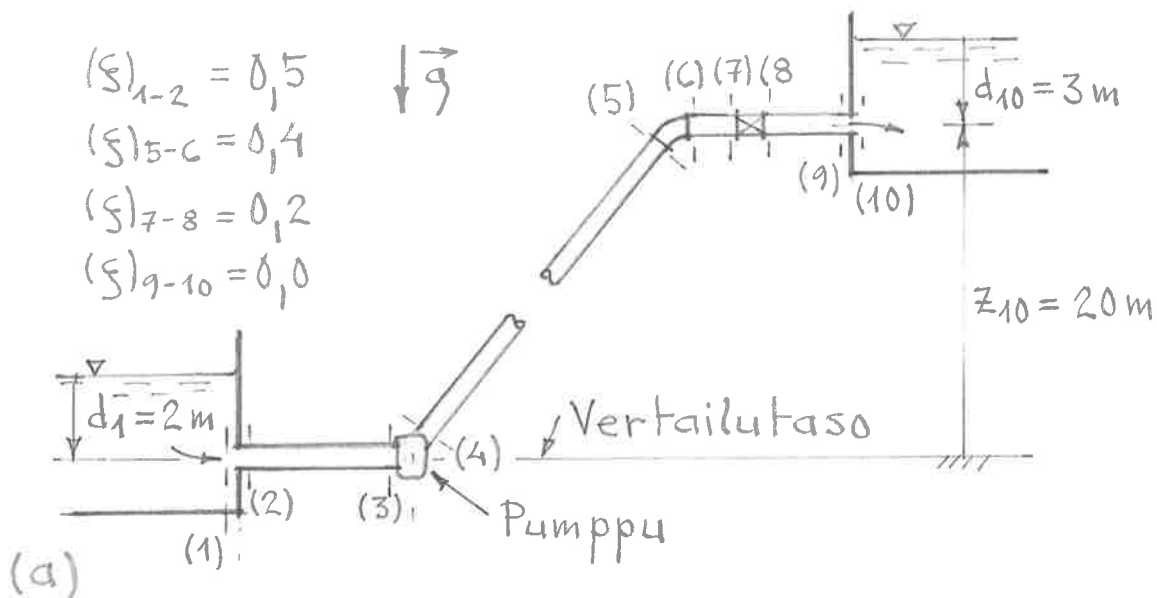
Kunnallisesta Moodyn käyrästä saadaan näitä arvoja vastaavaksi kitkahäviökerroimen uudeksi arvoksi $f = 0,024$. Sama tulos seuraa taulukon 4.5.2 kaavasta (4) aloittamalla sen oikealla puolella arvolla $f = 0,03$, laskemalla uusi f :n arvo $f = 0,0238$ jne. Iteraatio voidaan pysäyttää tässä jo toisen kierroksen jälkeen.

Termi (f) on nyt 3,9 ja keskinopeudeksi tulee $\langle v \rangle = 5,93 \text{ m/s}$. Vastaava Reynoldsin luvun arvo on $Re = 4,56 \cdot 10^5$. Kitkahäviökerroimen arvo muuttuu niin vähän, ettei laskelmia ole syytä enää toistaa. Täten virtaamaksi saadaan

$$Q = \langle v \rangle A = 5,93 \frac{\text{m}}{\text{s}} \cdot 0,00785 \text{ m}^2 = 0,047 \frac{\text{m}^3}{\text{s}} = 168 \frac{\text{m}^3}{\text{h}} \quad (\text{h})$$

Kitka pienentää siis kaavan (c) mukaista arvoa voimakkaasti. Kaavan (f) perusteella huomataan, että seinämäkitkahäviöllä on tässä esimerkissä 4,8-kertainen arvo mellehäviöön verrattuna.

Esimerkki 4.5.5. Pumpun teho. On määritettävä kuvassa (a) esitetystä tapauksesta tarvittava pumpun teho P_s , jotta saavutettaisiin massa-virta $\langle w \rangle = 20000 \text{ kg/h}$. Kyseessä on vakio-
tiheysneste $\rho = 950 \text{ kg/m}^3$, $\mu = 9 \cdot 10^{-4} \text{ Pa}\cdot\text{s}$. Virtaus alkaa ja päättyy suuniin avoimiin säiliöihin.



Kuussa (a) esitettyjen tietojen lisäksi putkista tunnetaan taulukon (b) meljäävä suurinmäisensä

Putki	L (m)	d_h (mm)	k (mm)	$A/10^2$ (m^2)	$\langle v \rangle$ (m/s)	$Re/10^4$ (—)	k/d_h (—)
2-3	20	150	0,1	1,767	0,331	5,24	0,00067
4-9	500	100	0,1	0,785	0,745	7,86	0,001

(b)

sarakkeessa annetut arvot. Koska massavirta $\langle w \rangle = \rho Q = \rho \langle v \rangle A$ on jatkuvuusyhtälön perusteella vakio, on helppoa laskea keskinopeus

$$\langle v \rangle = \langle w \rangle / (\rho A) \quad (a)$$

sekä muut taulukon (b) lukuarvot. Taulukon 4.5.2 kaavasta (4) saadaan kitkahäviökerroimen arvot $(f)_{2-3} = 0,023$, $(f)_{4-9} = 0,023$.

Korkeushäviöksi koko välillä 1-10 saadaan kaavaa (4.5.55) soveltamalla

$$\begin{aligned}
 (h_L)_{1-10} = & \frac{1}{2 \cdot 9,81 \text{ m/s}^2} \left[0,023 \cdot \frac{20}{0,15} \cdot (0,331)^2 \frac{\text{m}^2}{\text{s}^2} + \right. \\
 & \left. + 0,023 \cdot \frac{500}{0,1} \cdot (0,745)^2 \frac{\text{m}^2}{\text{s}^2} + 0,5 \cdot (0,331)^2 \frac{\text{m}^2}{\text{s}^2} + \right.
 \end{aligned}$$

$$\begin{aligned}
 & + (0,4 + 0,2) (0,745)^2 \frac{\text{m}^2}{\text{s}^2} \\
 & = 0,05097 (0,34 + 63,83 + 0,05 + 0,33) \text{ m} \\
 & = 3,29 \text{ m.} \quad (\text{b})
 \end{aligned}$$

Tässä siis seinämäkitkahävien osuus on paljon suurempi kuin paikallisten häviöiden.

Yleistetty Bernoullin yhtälö välille 1-10 kirjoitettuna ($\alpha = 0$, mittapaine):

$$\frac{\langle v \rangle_1^2}{2g} + \frac{\langle p \rangle_1}{\rho g} + z_1 = \frac{\langle v \rangle_{10}^2}{2g} + \frac{\langle p \rangle_{10}}{\rho g} + z_{10} - (h_s)_{3-4} + (h_L)_{1-10}$$

$$d_1 = \frac{\langle v \rangle_{4-9}^2}{2g} + \frac{\rho g d_{10}}{\rho g} + z_{10} - (h_s)_{3-4} + (h_L)_{1-10}, \quad (\text{c})$$

josta saadaan

$$\begin{aligned}
 (h_s)_{3-4} & = \frac{\langle v \rangle_{4-9}^2}{2g} + z_{10} + d_{10} - d_1 + (h_L)_{1-10} \\
 & = \frac{(0,745)^2}{2 \cdot 9,81} \text{ m} + 20 \text{ m} + 3 \text{ m} - 2 \text{ m} + 3,29 \text{ m} = 24,3 \text{ m.} \quad (\text{d})
 \end{aligned}$$

Kaavan (4.5.50) perusteella vaadittava pumpun teho

$$\begin{aligned}
 P_s & = \rho g Q h_s = \langle w \rangle g h_s \\
 & = \frac{20000 \text{ kg}}{3600 \text{ s}} \cdot 9,81 \frac{\text{m}}{\text{s}^2} \cdot 24,3 \text{ m} = 1324 \frac{\text{kg m}}{\text{s}^2} \frac{\text{m}}{\text{s}} \\
 & = 1324 \frac{\text{Nm}}{\text{s}} = 1324 \text{ W} = 1,32 \text{ kW.} \quad (\text{e})
 \end{aligned}$$

Käytännössä pumpun tehoon tulee olla jonkin verran tätä suurempi, koska myös välillä 3-4 syntyy häviöitä, jotka täytyisi arvioida erikseen pumpusta annettujen tietojen perusteella.

* Huomautuksia. Häviötermit on esitetty edellä siten, että niillä on pituuden dimensio ja on puhuttu korkeushäviöistä, jos esimerkiksi yhtälö (4.5.51) kerrotaan puolittain suurella g , saadaan muoto

$$\alpha_1 g \frac{\langle v \rangle_1^2}{2} + \langle p \rangle_1 + g z_1 = \alpha_2 g \frac{\langle v \rangle_2^2}{2} + \langle p \rangle_2 + g z_2 + \frac{P_s}{Q} + \Delta p_i, \quad (4.5.57)$$

jossa termeillä on nyt paineen dimensio ja jossa häviötermiä

$$\Delta p_i = g h_i = \int \mu \Phi dV / Q \quad (4.5.58)$$

nimitetään painehäviöksi.

Jos lähdetään liikkeellä kitkallisen virtauksen liikeyhtälöstä (4.3.68), toimitaan kuten Bernoullin yhtälön muotoa 1 johdettaessa tehdyn vain otaksumat (b) ja (c), saadaan yhtälön (4.3.112) vastineeksi yhtälö

$$\frac{v_1^2}{2} + \Psi_1 + \Omega_1 = \frac{v_2^2}{2} + \Psi_2 + \Omega_2 + \int_1^2 \frac{\partial v}{\partial t} ds + \frac{1}{g} \int_1^2 (\mu \nabla^2 \vec{v} + \frac{\mu}{3} \nabla (\nabla \cdot \vec{v})) \cdot d\vec{r}, \quad (4.5.59)$$

joka olisi jälleen eräs Bernoullin yhtälö (muoto 4). Käytännössä viimeisen termin arvioiminen on vaikeaa, joten tällä muodolla on käyttöä lähinnä vain, jos viimeinen termi voidaan otaksumat tietyistä syistä vähäisenä mollaksi.

Soveltamalla ykridimensioista Reynoldsin lausetta (L.2.16) yhtälön (4.5.37) oikean puolen tilavuusintegraaliin voidaan johtaa yleistä

yksidimensioista virtausta ja sen erikoistapa-
uksina putkivirtausta ja avoimavirtausta
koskevia differentiaalimuotoisia mekaanisen
energian taseen periaatteen eri versioita. Ne
eivät kuitenkaan poikkea käytännössä
jo liikemäärän taseen periaatteen avulla
johdetuista tuloksista, joten kehittelyä
ei jatketa tässä.

Taulukossa 4.5.4 on esitetty yhteenveto mekaa-
nisen energian taseen periaatteen eri muodoista.

Taulukko 4.5.4 Mekaanisen energian taseen periaatteen eri muotoja.

Yleistä

Yleinen tapaus

Mekaanisen energian taseen periaate

$$P = \dot{T} \quad (1)$$

ei ole uusi aksiooma, sillä se saadaan manipuloimalla Cauchyn liikeyhtälöä.

Kappaleen liike-energia

$$T = \frac{1}{2} \int \rho v^2 dV = \frac{1}{2} \int \rho \vec{v} \cdot \vec{v} dV = \frac{1}{2} \int \rho (v_x^2 + v_y^2 + v_z^2) dV. \quad (2)$$

Kappaleeseen vaikuttavien ulkoisten ja sisäisten voimien yhteinen teho

$$P = P_{\text{ext}} + P_{\text{int}}, \quad (3)$$

$$P_{\text{ext}} = P_{\text{ext}}^B + P_{\text{ext}}^S, \quad (4)$$

$$P_{\text{ext}}^B = \int \rho \vec{B} \cdot \vec{v} dV = \int \rho (B_x v_x + B_y v_y + B_z v_z) dV, \quad (5)$$

$$P_{\text{ext}}^S = \int \vec{T} \cdot \vec{v} dS = \int (T_x v_x + T_y v_y + T_z v_z) dS, \quad (6)$$

$$P_{\text{ext}}^S = P_{\text{ext}}^G + P_{\text{ext}}^T, \quad (7)$$

$$P_{\text{ext}}^G = \int \rho v_n dS \approx - \int p v_n dS, \quad (8)$$

$$P_{\text{ext}}^T = \int \vec{\tau} \cdot \vec{v}_t dS, \quad (9)$$

$$P_{\text{int}} = - \int \{\epsilon\}^T \{d\} dV. \quad (10)$$

Jännitystehon tiheys

$$\{\epsilon\}^T \{d\} = \epsilon_x d_x + \epsilon_y d_y + \epsilon_z d_z + \tau_{yz} g_{yz} + \tau_{zx} g_{zx} + \tau_{xy} g_{xy} \quad (11)$$

$$= -p \vec{v} \cdot \vec{v} + \{\epsilon^*\}^T \{d\}, \quad (12)$$

$$= -p (d_x + d_y + d_z) + \epsilon_x^* d_x + \epsilon_y^* d_y + \epsilon_z^* d_z + \tau_{yz} g_{yz} + \tau_{zx} g_{zx} + \tau_{xy} g_{xy} \quad (13)$$

Newtonin nesteellä

$$\{\epsilon\}^T \{d\} = -p \vec{v} \cdot \vec{v} + \mu \Phi, \quad (14)$$

jossa dissipaatiofunktio

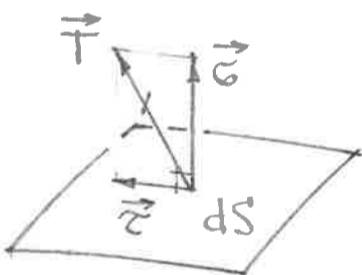
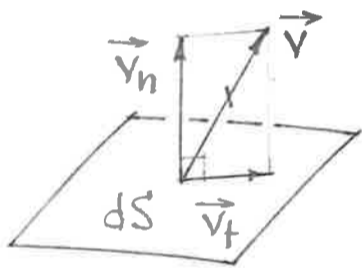
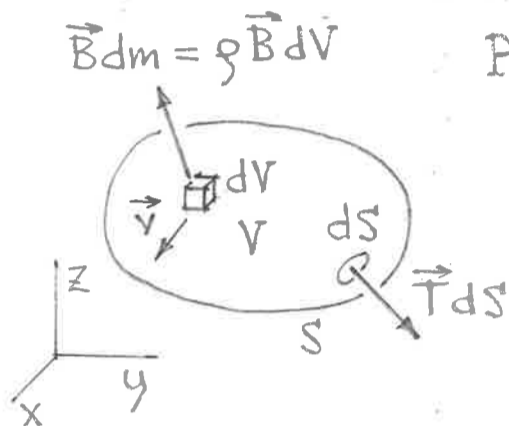
$$\Phi = 2(d_x^2 + d_y^2 + d_z^2) + g_{yz}^2 + g_{zx}^2 + g_{xy}^2 - \frac{2}{3}(d_x + d_y + d_z)^2. \quad (15)$$

Yleinen muoto

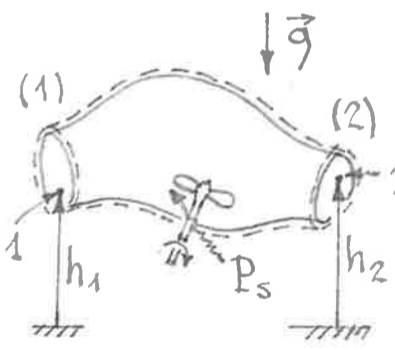
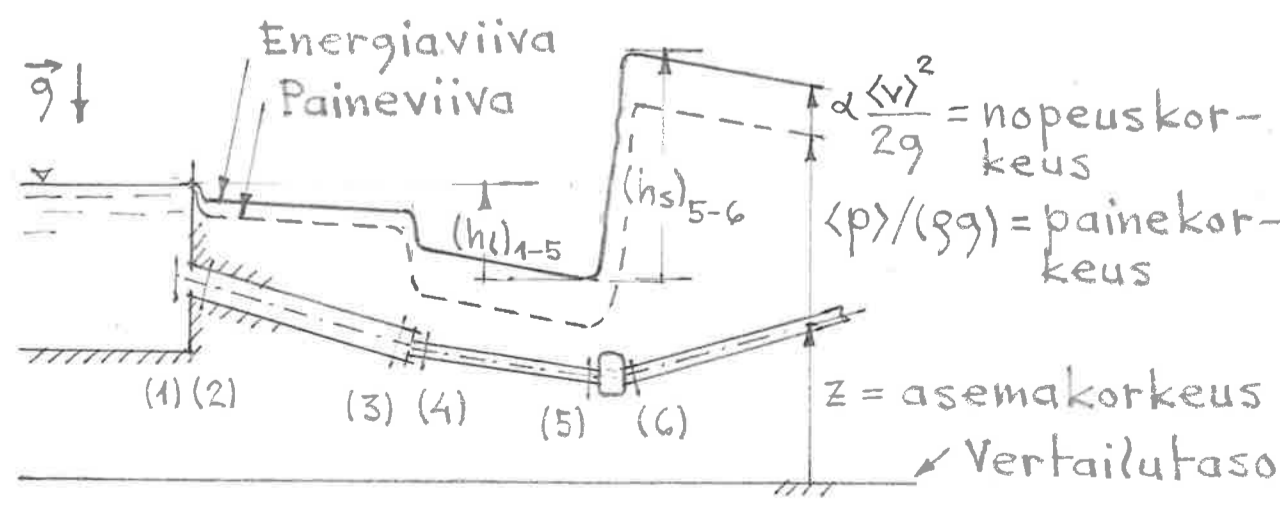
$$P_{\text{ext}}^B + P_{\text{ext}}^S = \dot{T} + \int \{\epsilon\}^T \{d\} dV. \quad (16)$$

Newtonin nestettä koskeva muoto

$$P_{\text{ext}}^B + P_{\text{ext}}^S = \dot{T} - \int p \vec{v} \cdot \vec{v} dV + \int \mu \Phi dV. \quad (17)$$



Taulukko 4.5.4 Jatkoa

Yleistetty Bernoullin yhtälö	
<p><u>Otaksumaluettele</u></p> <p>Otaksumasta (5) seuraa, että</p> $P_{ext}^B = -\dot{V}^*$ <p>ja otaksumasta (5') seuraa, että</p> $P_{ext}^B = -\frac{d}{dt} \int \rho g h.$	<p>Potentiaalienergia</p> $V^* = \int \rho \Omega dV.$ <p>Vakiopainovoimakentässä</p> $V^* = \int \rho g h dV.$
<p><u>Yleinen tapaus</u></p> <p>Perusmuoto</p> $P_{ext}^B + P_{ext}^G + P_{ext}^T = \dot{T} - \int \rho \vec{v} \cdot \vec{v} dV + \int \mu \Phi dV. \quad (20)$ <p>Vakiotiheysneste [0(5')]</p> $P_{ext}^G + P_{ext}^T = \frac{d}{dt} \int \rho \left(\frac{1}{2} v^2 + gh \right) dV + \int \mu \Phi dV, \quad (21)$ $P_{ext}^G + P_{ext}^T = \frac{1}{2} \int \rho \frac{\partial v^2}{\partial t} dV + \int \rho \left(\frac{1}{2} v^2 + gh \right) v_n dS + \int \mu \Phi dV. \quad (22)$	
<p><u>Standardikontrollialue, [0(1), 0(2), 0(3), 0(5')]</u></p> <p>Vakiotiheysneste</p>  $\alpha_1 \frac{\langle v \rangle_1^2}{2g} + \frac{p_1}{\rho g} + h_1 =$ $\alpha_2 \frac{\langle v \rangle_2^2}{2g} + \frac{p_2}{\rho g} + h_2 + \frac{\int \rho \frac{\partial v^2}{\partial t} dV}{2gQ} - \frac{P_s}{\rho g Q} + h_L. \quad (23)$	<p>Liike-energian korjaustekijä</p> $\alpha = \frac{\langle v^3 \rangle}{\langle v \rangle^3} = \frac{\int v^3 dA}{A \langle v \rangle^3}.$ <p>Liikemäärävirta</p> $\frac{1}{2} \rho \int v^3 dA = \frac{1}{2} \alpha \rho Q \langle v \rangle^2.$ <p>Korkeushäviö</p> $h_L = \frac{\int \mu \Phi dV}{\rho g Q}.$
<p><u>Häviötermien laskeminen, [0(1), 0(2), 0(3), 0(5')]</u></p> <p>Vakiotiheysnesteen stationaarinen putkivirtaus</p> $\alpha_1 \frac{\langle v \rangle_1^2}{2g} + \frac{\langle p \rangle_1}{\rho g} + z_1 = \alpha_2 \frac{\langle v \rangle_2^2}{2g} + \frac{\langle p \rangle_2}{\rho g} + z_2 - h_s + h_L. \quad (24)$  <p>Energiaviiva Paineviiva</p> <p>$\alpha \frac{\langle v \rangle^2}{2g} =$ nopeuskorkeus $\langle p \rangle / (\rho g) =$ painekorkeus</p> <p>$z =$ asemakorkeus Vertailutaso</p>	<p>Termi</p> $h_s = P_s / (\rho g Q).$ <p>Kokonaiskorkeushäviö</p> $h_L = h_f + h_p.$ <p>Seinämaikitkahäviö</p> $h_f = f \frac{L}{d_h} \frac{\langle v \rangle^2}{2g}.$ <p>Paikallinen häviö</p> $h_p = \xi \frac{\langle v \rangle^2}{2g}.$

* 4.6 Energian tase

4.6.1 Äärellinen muoto

Energian taseen periaatteen (1.2.6)

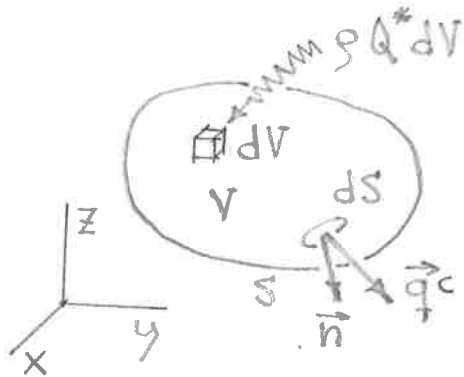
$$P_{\text{ext}} + P_Q = \dot{T} + \dot{U} \quad (4.6.1)$$

termit P_{ext} ja \dot{T} ovat olleet jo erillä lausekkeissa (4.5.4)... (4.5.6) ja (4.5.2).

Kappaleen sama lämpöteho P_Q saadaan periaatteessa lausekkeena (1.3.38), jossa $\vec{q} = \vec{q}_c + \vec{q}_r$. Koska säteily on vaikea käsitellä tässä muodossa, kirjoitetaan tavallisimmin kuitenkin

$$P_Q = \int \vec{n} \cdot \vec{q}_c dS + \int \rho Q^* dV. \quad (4.6.2)$$

Tässä Q^* on ns. lämpölähteen antoisuus massaa kohti (engl. heat source per unit mass) ($[Q^*] = \text{W/kg}$). Täten säteilyosuus pyritään erittämään tavalla, jota on kuvattu symbolisesti kuvassa 4.6.1. Samoin mahdollinen kemiallinen tai radioaktiivinen lämmönkehitys – jos näitä ei ilmaista sisäenergian avulla – eritetään termin Q^* avulla.



Kuva 4.6.1 Kappaleen saaman lämpötehon osuudet.

Kappaleen sisäenergian U lauseke on taas kohdan 1.3 mukaisesti (kaava (1.3.30))

$$U = \int \rho u dV. \quad (4.6.3)$$

Yleinen periaate (4.6.1) kirjoitetaan tässä vielä vertailun vuoksi mekaanisen energian taaseen periaatteen yhtälöä (4.5.20) muistuttavassa muodossa

$$\boxed{\dot{P}_{\text{ext}}^{\text{B}} + \dot{P}_{\text{ext}}^{\text{S}} = \dot{T} + \dot{U} - \dot{P}_Q} \quad (4.6.4)$$

Kun tätä yhtälöä työstetään vastaavaan tapaan kuin mitä tehtiin yleistettyä Bernoullin yhtälöä johdettaessa, päästään lopuksi samantapaiseen enemmän termejä sisältävään äärelliseen sovellutusmuotoon; jätetään tässä käsittelemättä.

4.6.2 Paikallinen muoto

Paikallisen muodon johtaminen tapahtuu kätevimmin vähentämällä ensin yhtälöt (4.6.4) ja (4.5.20) puolittain toisistaan (mt. esimerkki D 6.3.3, kaava (n)):

$$\dot{U} = \dot{P}_Q + \int \{\mathcal{G}\}^T \{d\} dV. \quad (4.6.5)$$

Kun tähän sijoitetaan lausekkeet (4.6.2) ja (4.6.3), saadaan

$$\frac{d}{dt} \int \rho u dV = - \int \vec{n} \cdot \vec{q}^c dS + \int \rho Q^* dV + \int \{\mathcal{G}\}^T \{d\} dV, \quad (4.6.6)$$

$$\int \rho \frac{du}{dt} dV = \int (-\vec{\nabla} \cdot \vec{q}^c + \rho Q^* + \{\mathcal{G}\}^T \{d\}) dV. \quad (4.6.7)$$

On sovellettu Reynoldsin lausetta (3.3.64) ($F \triangleq u$) ja Gaussin lausetta (L.1.3) ($\vec{q}^c \triangleq \vec{F}$).

Näin ollen saadaan energian taseen periaatteen yleinen paikallinen muoto

$$\boxed{\rho \frac{du^*}{dt} = -\vec{\nabla} \cdot \vec{q} + \rho Q^* + \{\sigma\}^T \{d\}}, \quad (4.6.8)$$

jota nimitetään kirjallisuudessa usein lyhyesti energiayhtälöksi (engl. energy equation)

Kun sitten otakutaan konstitutiiviseksi yhteyksiä ominaisenergiaa differentiaalilausekke (1.3.28), Fourierin laki (1.3.40) ja Newtonin nestelle pätevä tulos (4.5.16), saadaan nestemekanikassa käytetty muoto

$$\rho \left(c_v \frac{dT}{dt} + \frac{p}{\rho^2} \frac{d\rho}{dt} - \frac{T K_T \gamma_p}{\rho^2} \frac{d\rho}{dt} \right) + \vec{\nabla} \cdot (k \vec{\nabla} T) + \rho Q^* - p \vec{\nabla} \cdot \vec{v} + \mu \Phi, \quad (4.6.9)$$

$$\boxed{\rho c_v \frac{dT}{dt} + T K_T \gamma_p \vec{\nabla} \cdot \vec{v} = \vec{\nabla} \cdot (k \vec{\nabla} T) + \rho Q^* + \mu \Phi} \quad (4.6.10)$$

On käytetty hypoteesi dilataationopeuden lausekkeita (3.4.59).

Yhtälö (4.6.10) esiintyy nestemekanikassa lähes lukemattomissa eri muodoissa johtuen eri merkinnöistä ja mahdollisista yksinkertaistuksista. Suorakulmaisessa karteisessa koordinaatistossa saadaan erityisotakutaan Lämmönjohtavuus k vakioiksi -

$$\rho c_v \left(\frac{\partial T}{\partial t} + v_x \frac{\partial T}{\partial x} + v_y \frac{\partial T}{\partial y} + v_z \frac{\partial T}{\partial z} \right) + T K_T \beta p \cdot$$

$$\cdot \left(\frac{\partial v_x}{\partial x} + \frac{\partial v_y}{\partial y} + \frac{\partial v_z}{\partial z} \right) = k \left(\frac{\partial^2 T}{\partial x^2} + \frac{\partial^2 T}{\partial y^2} + \frac{\partial^2 T}{\partial z^2} \right) +$$

$$+ \rho Q^* + \mu \Phi. \quad (4.6.11)$$

Jos neste ei liiku — ts. konvektiivista Lämmön siirtymistä ei tapahdu —, energia-yhtälöstä tulee kiinteän aineen mekaniikasta tuttu ns. Fourierin Lämmönjohtumisyhtälö

$$\rho c_v \frac{\partial T}{\partial t} = k \left(\frac{\partial^2 T}{\partial x^2} + \frac{\partial^2 T}{\partial y^2} + \frac{\partial^2 T}{\partial z^2} \right) + \rho Q^*. \quad (4.6.12)$$

KIRJALLISUUTTA

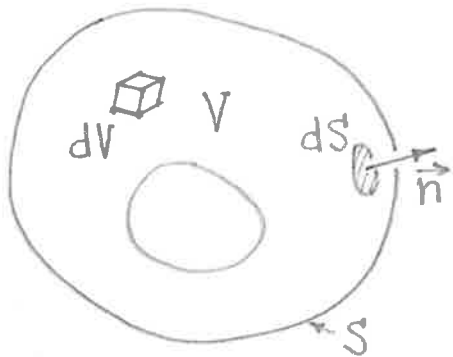
1. Gutinen, H., Vulli, P., Lujousopin perusteet. Kustannusyhtiö 1979, 368 s.
2. Linnaluoto, V., Kaasudynamiikka. Luku teoksessa Tekniikan Käsikirja 1. Gummerus 1973.
3. Reynolds, W.C., Perkins, H.C., Engineering Thermodynamics. McGraw-Hill 1970,
4. Liu, P.-C., Fluid Mechanics. An Introductory Course. The Iowa State University Press, Ames 1979, 468 s.
5. Ziegler, H., An Introduction to Thermomechanics. North-Holland 1977, 308 s.
6. Zemansky, M.W., Heat and Thermodynamics. McGraw-Hill 1957, 484 s.
7. Streeter, V.L., Fluid Mechanics. McGraw-Hill 1971, 751 s.
8. Condon, E.U., Kinematics and Dynamics. Luku teoksessa Handbook of Physics. McGraw-Hill 1958.
9. Launder, B.E., Spalding, D.B., Mathematical Models of Turbulence. Academic Press 1972, 169 s.
10. Laitinen, E., Mäkelä, M., Soirinen, L., Tuomola, S., Kaavasto. Tammiteknikka 1978, 199 s.
11. Horia, L., Hydraulikka. Luku 2 teoksessa Vesirakennus. Suomen rakennusinsinöörin liitto 1973, s. 75... 119.

12. Wong, H.Y., Handbook of Essential Formulae and Data on Heat Transfer for Engineers. Longman 1977, 236 s.
13. Fysiikan nimenimet kansainvälisen standardin ISO 31 mukaan. SFS 3655 Suomen Standardisointilautakunta 1976, 59 s.
14. Väisälä, K., Vektorianalyysi. Werner Söderström 1954, 159 s.
15. Prandtl, L., Tietjens, O.G., Fundamentals of Hydro- and Aeromechanics. Dover 1957, 270 s.
16. Ryti, H. Standardi-ilmakehä. Juku teoksessa Tekniikan käsikirja 2. Gummerus 1973, s. 187... 192.
17. Li, W.-H., Lam, S.-H., Principles of Fluid Mechanics. Addison-Wesley 1976, 374 s.
18. Prager, W., Introduction to Mechanics of Continua. Ginn 1961, 230 s.
19. Schade, H., Kunz, E., Strömungslehre. Walter de Gruyter 1980, 544 s.
20. Bird, R.B., Stewart, W.E., Lightfoot, E.N., Transport Phenomena. Wiley 1960, 780 s.
21. Yliver, A., Kimmo- ja lujuusoppi I. Werner Söderström 1969, 476 s.
22. Hansen, A.G., Fluid Mechanics. Wiley 1967, 531 s.
23. Denn, M.H., Process Fluid Mechanics. Prentice-Hall 1980, 383 s.

24. Shames, J. H., Mechanics of Fluids. McGraw-Hill 1962, 558 s.
25. Watters, G. Z., Modern Analysis and Control of Unsteady Flow in Pipelines. Ann Arbor Science 1979, 251 s.
26. Chow, V. T., Open-Channel Flow. Luku teoksessa Streeter, V. L. (toim.), Handbook of Fluid Dynamics. McGraw-Hill 1961.
27. de Méhauté, B., An Introduction to Hydrodynamics & Water Waves. Springer 1976, 315 s.
28. Tokaty, G. A., A History & Philosophy of Fluid-mechanics. Foulis 1971, 241 s.
29. Jeppson, R. W., Analysis of Flow in Pipe Networks. Ann Arbor Science 1976, 164 s.
30. Rouse, H., Elementary Mechanics of Fluids. Dover, 1946.
31. Batchelor, G. K., An Introduction to Fluid Dynamics. Cambridge University Press 1967, 615 s.
32. Niskanen, E., Hydromekaniikka. Luku teoksessa Tekniikan käsikirja 1. Gummerus 1973.
33. Kaufmann, W., Fluid Mechanics. McGraw-Hill 1963, 432 s.

* LIITTEETL.1 Gaussin lause

Yleistetty Gaussin lause on (vt. kuva L.1.1)



Kuva L.1.1

$$\boxed{\int \vec{\nabla} * \vec{F} dV = \int d\vec{S} * \vec{F}} \quad (\text{L.1.1})$$

eli

$$\int \vec{\nabla} * \vec{F} dV = \int \vec{n} * \vec{F} dS. \quad (\text{L.1.2})$$

Gaussin lause on

$$\int \vec{\nabla} \cdot \vec{F} = \int \vec{n} \cdot \vec{F} dS \quad (\text{L.1.3})$$

Suure \vec{F} on mielivaltainen jatkuva (derivaatat paloittain jatkuvia) paikan funktio. Tähti voi merkitä pistettä, ristia tai tyhjää, jolloin viimeisessä tapauksessa \vec{F} on kovuuttava skalaarifunktiolla (tai yleisemmin: jos vektori, kyseessä on dyadi). Suure \vec{F} saa luonnollisesti riippua myös ajasta t ; kaavat pätevät kullakin ajan hetkellä.

Gaussin lauseen ehkä helpoiten muistissa pysyvät muodot ovat kartesisisessä suorakulmaisessa koordinaatistossa (peräkkäinillä valinnoilla $\vec{F} = f(x, y, z) \vec{i}$ jne.) syntyvät kaavat

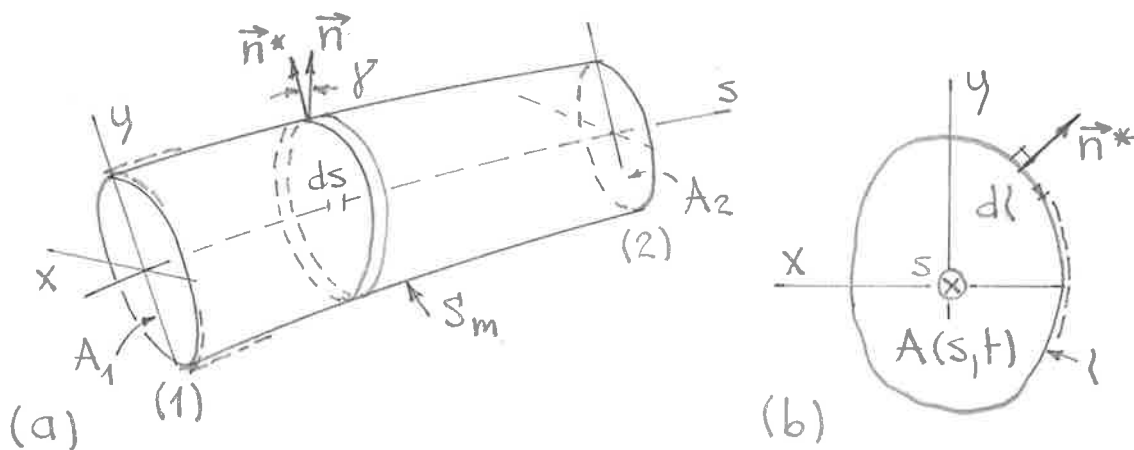
$$\int \frac{\partial F}{\partial x} dV = \int n_x F dS, \quad \int \frac{\partial F}{\partial y} dV = \int n_y F dS, \quad \int \frac{\partial F}{\partial z} dV = \int n_z F dS. \quad (\text{L.1.4})$$

Suure F saa olla tässä myös vektori.

L.2 Yksidimensioiden Reynoldsin lause

Yksidimensioiset virtaustapaukset — kuten putki-
virtaus ja avouonavirtaus — ovat käytännössä
erittäin tärkeitä. Täten on syytä kehittää
johdonmukainen tapa muuntaa kolme-
dimensionissa johdetut tulokset yhtä dimensiota
koskeviksi.

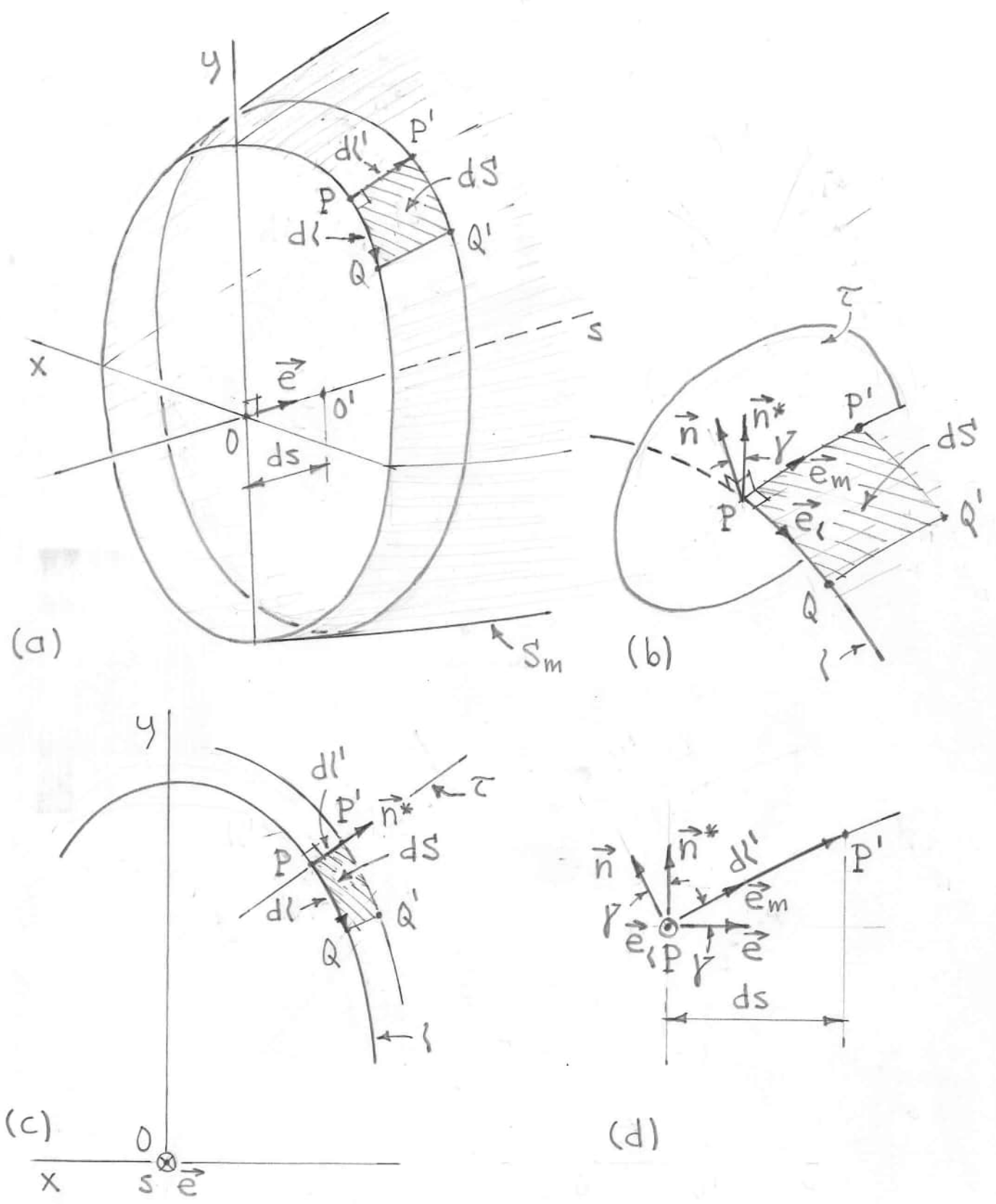
Kuvassa L.2.1 on esitetty uudesta kohdassa



Kuva L.2.1 (a) Kontrollialue. (b) Tyypillinen
poikkileikkaus.

3.4.1 tarkastelun alaiseksi otettu geomet-
rialtaan putkimainen kontrollialue.

Kuvassa L.2.2 näkyy vaipalla olevan mieli-
valtaisen pisteen P ympäristön yksityiskohtia.
Virtausakseli otakruttuu tässä tarkastelussa
alukri suoraksi. Pisteiden O ja O' kautta kulkevat
akselia vastaan kohtisuorassa olevat poikkileik-
kaustasot sekä ensimmäisen poikkileikkauspinnan
reunakäyrältä valittujen pisteiden P ja Q kautta
asetetut ko. käyrää vastaan kohtisuorassa ole-
vat tasot leikkaavat vaippapinnasta suora-



Kuva L.2.2 (a) Vaipan geometriaa. (b) Pisteeseen P kautta kulkeva, reunakäyrää vastaan kohtisuorassa oleva taso τ . (c) Pisteeseen O kautta kulkeva poikkileikkaustaso. (d) Tasossa τ olevia sumeita.

kulmaisen differentiaalisen pinta-alkion $PQQ'P'$, jonka pinta-ala

$$dS = dl dl' = dl \frac{ds}{\cos \gamma} = \frac{1}{\cos \gamma} dl ds, \quad (L.2.1)$$

jossa kulman γ merkitys selviää kuvan L.2.2 (d) avulla. Täten kontrollipinnan yli otettu integraali

eli
$$\int f dS = \int_{S_m} f dS + \int_{A_1} f dA + \int_{A_2} f dA, \quad (L.2.2)$$

$$\int f dS = \int_1^2 \left(\int \frac{f}{\cos \gamma} dl \right) ds + \langle f \rangle_1 A_1 + \langle f \rangle_2 A_2. \quad (L.2.3)$$

Merkintä $\int () dl$ tarkoittaa poikkileikkauksen piiriin yli otettua suureen $()$ integraalia ja merkintä $\int_1^2 () ds$ taas akselin pituuden yli poikkileikkauksesta 1 poikkileikkaukseen 2 eli $s:M$ arvosta s_1 arvoon s_2 otettua suureen $()$ integraalia. Termi $\int (f/\cos \gamma) dl ds$ on siis etäisyydellä ds toivistaan olevien poikkileikkaustasojen väipasta leikkaaman vyön yli otettu integraali.

Vastaavasti kontrollitilavuuden ylitse otettu integraali

eli
$$\int f dV = \int_1^2 (\int f dA) ds \quad (L.2.4)$$

$$\int f dV = \int_1^2 \langle f \rangle A ds. \quad (L.2.5)$$

Termi $(\int f dA) ds$ on siis etäisyydellä ds toivistaan olevien poikkileikkaustasojen erottaman levyä yli otettu integraali.

Kaavat (L.2.3) ja (L.2.5) ovat täysin tarkat,

kun akseli on suora. Jos geometria on pyö-
nähdyssymmetrinen (virtausakseli symmetria-
 akselina), γ ja $\cos\gamma$ ovat kussakin poikki-
 leikkauksessa vakioita ja $\cos\gamma$ voidaan viedä
 piiriin yli otetun integraalin ulkopuolelle.
 Jos geometria on prismaattinen, $\gamma=0$ ja $\cos\gamma=1$.
 Lähdetään tämän jälkeen kehittämään Rey-
 noldsin Lausetta (3.3.60). Saadaan aluksi

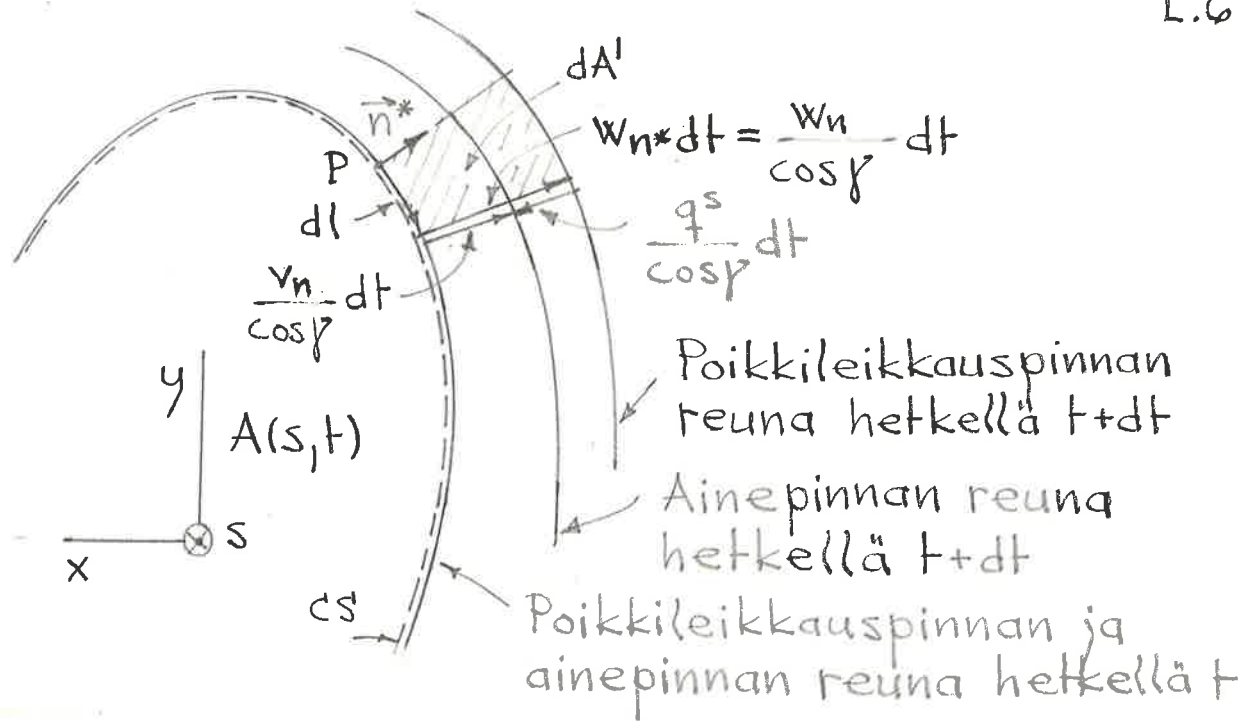
$$\begin{aligned} \frac{d}{dt} \int f dV &= \int \frac{\partial f}{\partial t} dV + \int f v_n dS \\ &= \int_1^2 \left\langle \frac{\partial f}{\partial t} \right\rangle A ds + \int_1^2 \left(\int \frac{f v_n}{\cos\gamma} d\ell \right) ds + \\ &\quad - \langle f v_e \rangle_1 A_1 + \langle f v_e \rangle_2 A_2, \end{aligned} \tag{L.2.6}$$

jossa on siis sovellettu kaavoja (L.2.5),
 (L.2.3) ja (3.4.9).

Kaavan (L.2.6) muuntamiseksi tarkastellaan apu-
 tehtävänä funktion

$$I(s, t) = \int_{A(s, t)} f(x, y, s, t) dA = \langle f \rangle A \tag{L.2.7}$$

orittaisderivaatan $\partial I / \partial t = \partial (\langle f \rangle A) / \partial t$ Larke-
 mista. Kysymyksessä on jälleen Leibnizin sää-
 nön (3.3.55) tapainen tilanne. Johto on saman-
 tyyppinen kuin kuvan 3.3.10 yhteydessä suo-
 ritettu käsittely. Tarkastellaan kuvaa L.2.3,
 joka esittää tyypillistä poikkileikkausta kah-
 della perättäisellä ajan hetkellä t ja $t+dt$.
 Ajan differentiaalisen dt kuluessa kontrollijoi-
 nan sisällä hetkellä t olleen nesteen- eli
 siis valitun systeemin eli kappaleen-
 liike kuvattava vaipalle kerokseen, jonka



Kuva L.2.3 Poikkileikkauspinnan muuttuminen ajan suhteen tietyssä kohdassa $s = \text{vakio}$.

pakkaus on $v_n dt$ ja poikkileikkauksen ke-
noksen, jonka pakkaus on $v_n / \cos \gamma \cdot dt$ (mt. kuva
L.2.2 ja kohta 3.5.1). Vektorit \vec{n} ja \vec{n}^* ovat
waipan tietyssä pisteessä olevat waipan ul-
koinen yksikkönormaalivektori ja poikki-
leikkauksen reunakäyrän poikkileikkaustarossa
oleva ulkoinen yksikkönormaalivektori, joten
$$\cos \gamma = \vec{n}^* \cdot \vec{n}. \quad (L.2.8)$$

Jos poikkileikkauksen määrittelemän matemaat-
tisen waippapinnan siirtymänopeus pinnan
normaalin suunnassa on W_n , poikkileikkaus-
pinta kasvaa ajassa dt kenokella, jonka
pakkaus on $W_n / \cos \gamma \cdot dt$. Jos kohdassa 3.5.1
eritetty termi q^s on nollla — sanotaan lyhy-
esti ei suotovirtausta —

$$W_n = v_n.$$

(L.2.9)

Suotovirtaustapauksessa

$$w_n = v_n + q^s.$$

L.7
(L.2.10)

Lasketaan ensin pinta-alan kasvun liittyvä suureen $\int f dA$ muutos. Kuvan L.2.3 pinta-alkio $dA' = dl w_n / \cos \gamma \cdot dt$, joten siihen liittyy määrä $f w_n / \cos \gamma \cdot dl dt$ ja integrointi yli reunakäyrän piirin antaa tämän muutoksen

$$dI' = \left(\int \frac{f w_n}{\cos \gamma} dl \right) dt \quad (L.2.11)$$

Hetkellä t vallitsevan reunakäyrän sisällä syntyy muutos

$$dI'' = \int \left(\frac{\partial f}{\partial t} dt \right) dA = \left(\int \frac{\partial f}{\partial t} dA \right) dt. \quad (L.2.12)$$

Kun koko muutos $dI = dI' + dI''$ jaetaan ajan differentiaalilla dt ja otetaan huomioon, että tarkastellaan muutosta, jossa s on kiinteä, saadaan siis tulos

$$\boxed{\frac{\partial}{\partial t} \int f dA = \int \frac{\partial f}{\partial t} dA + \int \frac{f w_n}{\cos \gamma} dl} \quad (L.2.13)$$

eli

$$\frac{\partial}{\partial t} (\langle f \rangle A) = \left\langle \frac{\partial f}{\partial t} \right\rangle A + \int \frac{f w_n}{\cos \gamma} dl. \quad (L.2.14)$$

Kun tästä kaavasta ratkaistaan $\left\langle \frac{\partial f}{\partial t} \right\rangle A$ ni-
joitetaan yhtälöön (L.2.6), saadaan yksi-
dimensionen Reynoldsin lause

$$\boxed{\frac{d}{dt} \int f dV = \int_1^2 \frac{\partial}{\partial t} (\langle f \rangle A) ds - \int_1^2 \left(\int \frac{f q^s}{\cos \gamma} dl \right) ds + \langle f v_e \rangle_1 A_1 + \langle f v_e \rangle_2 A_2.} \quad (L.2.15)$$

L.8

Tavallisesti termi $q^s = w_n - v_n$ häviää ja saadaan Reynoldsin lauseen muoto

$$\boxed{\frac{d}{dt} \int f dV = \int_1^2 \frac{\partial}{\partial t} (\langle f \rangle A) ds + \langle f v_e \rangle_1 A_1 - \langle f v_e \rangle_2 A_2.} \quad (L.2.16)$$

Saadut tulokset ovat tähän asti täysin tarkkoja, kun viitauksakseli on suora. Kun viitauksakseli on vain lievästi kaareva, voidaan näitä kaavoja soveltaa edelleen enemmän tai vähemmän hyvinä approksimaatioina.

L.3 Termin $\int \vec{f} \cdot \vec{v} dV$ muuntaminen

$$\begin{aligned} 1. \quad & \int \vec{f} \cdot \vec{v} dV = \int \left(\frac{\partial \vec{T}^{(x)}}{\partial x} + \frac{\partial \vec{T}^{(y)}}{\partial y} + \frac{\partial \vec{T}^{(z)}}{\partial z} \right) \cdot \vec{v} dV, \\ 2. \quad & = \int \left[\frac{\partial}{\partial x} (\vec{T}^{(x)} \cdot \vec{v}) + \frac{\partial}{\partial y} (\vec{T}^{(y)} \cdot \vec{v}) + \frac{\partial}{\partial z} (\vec{T}^{(z)} \cdot \vec{v}) \right] dV + \\ & - \int \left(\vec{T}^{(x)} \cdot \frac{\partial \vec{v}}{\partial x} + \vec{T}^{(y)} \cdot \frac{\partial \vec{v}}{\partial y} + \vec{T}^{(z)} \cdot \frac{\partial \vec{v}}{\partial z} \right) dV, \\ 3. \quad & = \int (n_x \vec{T}^{(x)} \cdot \vec{v} + n_y \vec{T}^{(y)} \cdot \vec{v} + n_z \vec{T}^{(z)} \cdot \vec{v}) dS + \\ & - \int \left(\sigma_x \frac{\partial v_x}{\partial x} + \tau_{xy} \frac{\partial v_y}{\partial x} + \tau_{xz} \frac{\partial v_z}{\partial x} + \right. \\ & \quad \left. + \tau_{yx} \frac{\partial v_x}{\partial y} + \sigma_y \frac{\partial v_y}{\partial y} + \tau_{yz} \frac{\partial v_z}{\partial y} + \right. \\ & \quad \left. + \tau_{zx} \frac{\partial v_x}{\partial z} + \tau_{zy} \frac{\partial v_y}{\partial z} + \sigma_z \frac{\partial v_z}{\partial z} \right) dV, \\ 4. \quad & = \int (n_x \vec{T}^{(x)} + n_y \vec{T}^{(y)} + n_z \vec{T}^{(z)}) \cdot \vec{v} dS + \\ & - \int \left[\sigma_x \frac{\partial v_x}{\partial x} + \sigma_y \frac{\partial v_y}{\partial y} + \sigma_z \frac{\partial v_z}{\partial z} + \right. \\ & \quad \left. + \tau_{yz} \left(\frac{\partial v_y}{\partial z} + \frac{\partial v_z}{\partial y} \right) + \tau_{zx} \left(\frac{\partial v_z}{\partial x} + \frac{\partial v_x}{\partial z} \right) + \tau_{xy} \left(\frac{\partial v_x}{\partial y} + \frac{\partial v_y}{\partial x} \right) \right] dV, \end{aligned}$$

$$5. = \int \vec{T} \cdot \vec{\nu} dS + \\ - \int (\sigma_x dx + \sigma_y dy + \sigma_z dz + \tau_{yz} g_{yz} + \tau_{zx} g_{zx} + \tau_{xy} g_{xy}) dV,$$

$$6. = P_{\text{ext}}^S - \int \{\sigma\}^T \{d\} dV.$$

Käytetyt askeleet:

1. Sijoitetaan \vec{F} :n lauseke (4') taulukko 4.3.1.
2. Manipulointi, jotta saataisiin Gaussin lausetta varten sopiva muoto.
3. Sovelletaan Gaussin lausetta (L.1.4) otetaan huomioon lausekkeet (4.2.2) ja (3.3.5).
4. Otetaan $\vec{\nu}$ yhteiseksi tekijäksi ja otetaan huomioon kaavat (4.2.8).
5. Otetaan huomioon kaava (4.2.4) ja määritelmät (3.3.41).
6. Käytetään lyhennysmerkitöjä (4.5.6) ja (4.5.11).

L.4 Dissipaatiofunktion Φ lauseke

$$1. \Phi = \frac{1}{\mu} \{\sigma^*\}^T \{d\},$$

$$2. = \frac{1}{\mu} (\sigma_x^* dx + \sigma_y^* dy + \sigma_z^* dz + \\ + \tau_{yz} g_{yz} + \tau_{zx} g_{zx} + \tau_{xy} g_{xy}),$$

$$\begin{aligned}
 3. \quad &= 2d_x^2 - \frac{2}{3}(d_x + d_y + d_z)d_x + \\
 &+ 2d_y^2 - \frac{2}{3}(d_x + d_y + d_z)d_y + \\
 &+ 2d_z^2 - \frac{2}{3}(d_x + d_y + d_z)d_z + \\
 &+ g_{yz}^2 + g_{zx}^2 + g_{xy}^2,
 \end{aligned}$$

$$\begin{aligned}
 4. \quad &= 2(d_x^2 + d_y^2 + d_z^2) + g_{yz}^2 + g_{zx}^2 + g_{xy}^2 + \\
 &- \frac{2}{3}(d_x + d_y + d_z)^2,
 \end{aligned}$$

$$\begin{aligned}
 5. \quad &= \frac{2}{3} [(d_x - d_y)^2 + (d_y - d_z)^2 + (d_z - d_x)^2] + \\
 &+ g_{yz}^2 + g_{zx}^2 + g_{xy}^2.
 \end{aligned}$$

Käytetyt askeleet:

1. Kaavojen (4.5.13) ja (4.5.16) mukainen määntelmä.
2. Otetaan huomioon lyhennysmerkinnät (4.5.11).
3. Sijoitetaan Stokerin kitkalain mukaiset lausekkeet (4.2.15).
4. Kehitetään lauseketta.
5. Todetaan kehittämällä oikeaksi. Tästä muodosta näkyy, että Φ on ei-negatiivinen suure.